

621. С-19 министерство высшего специального образования республики узбекистан

н.а. халилов, а.и. ханбабаев

ОБЩАЯ ЭЛЕКТРОТЕХНИКА С ОСНОВАМИ ЭЛЕКТРОНИКИ

И мательско-полиграфический творческий дом имени Гафура Гуляма
Ташкент— «ЦПИУЛ»— 2004

енелнотека ета тип в лп № 75 375 X 2103000000 — 93 Тв.зак. — 2004 © Издательско-полиграфический M352(04) - 2004

творческий дом им. Г. Гуляма, 2004 r.

ISBN 5-635-02293-6

© «ЦПИУЛ», 2004 г.

ВВЕДЕНИЕ

Электротехника как наука занимается изучением электрических и магнитных явлений и применением их на практике.

Электрическая энергия вырабатывается на разных по мощности электростанциях, может передаваться на дальние расстояния и распределяться среди различных потребителей. Электрическая энергия применяется во всех областях деятельности человечества. Устройства производственного назначения в основном приводятся в движение электродвигателями. Электрические и неэлектрические параметры измеряются и контролируются при помощи электрических приборов.

В большинстве случаев современные автоматические системы основаны на электрических и электронных элементах. Кроме того, электрическая энергия легко преобразуется в другие виды энергии.

Электроника как наука занимается изучением электронных приборов и применением их на практике. Они оспованы на изменении концентрации заряженных частиц в вакууме, газе и твердых кристаллических веществах.

Электронные приборы и устройства применяются во всех областях науки и техники. Это объясняется их высокой чувствительностью, быстродействием и универсальностью.

Электронные устройства всегда имели малые габариты и отпичались малым потреблением электроэнергии. С созданием интегральных микросхем их габариты и потребление электротергии уменьшились в тысячи раз. Современная электронная шачислительная техника основана только на интегральных микросхемах. Это дает возможность автоматизации процессов упривления, создавать разумные разноцелевые автоматы.

Данный учебник рассчитан на учащихся средних специвльных учебных заведений и может быть использован студенними высших учебных заведений неэлектрических специальпостей. Книга написана простым языком и в ней приведены более двухсот решенных задач. Все это дает возможность более петкого усвоения основ электротехники и электроники.

ГЛАВА 1

ЭЛЕКТРИЧЕСКОЕ ПОЛЕ И ДИЭЛЕКТРИКИ

Любое вещество состоит из атомов, которые состоят из ядра и вращающихся вокруг них электронов. Ядро состоит из протонов и нейтронов. Принято считать электрон отрицательно заряженным, а протон положительно. Если в атоме число протонов и электронов одинаково, то он считается электрически нейтральным. Если в атоме преобладают электроны, то он будет заряжен отрицательно и называться отрицательным ионом. Если в атоме преобладают протоны, то он будет заряжен положительно и называться положительным ионом.

Вокруг любого электрического заряда возникает электрическое поле, через которое взаимодействуют электрические заряды. Одноименно заряженные частицы отталкиваются, разноименно заряженные частицы притягиваются друг к другу. Следовательно, электрическое поле обладает энергией. При перемещении заряженных частиц совершается работа за счет энергии электрического поля.

1.1. Напряженность электрического поля. Закон Кулона

Напряженность электрического поля, являясь основным параметром заданной точки этого поля, выражается отношением силы, с которой поле действует на точечный (пробный) заряд, помещенный в данную точку поля, к величине этого заряда:

$$E = \frac{F}{q},\tag{1.1}$$

где, Е - напряженность электрического поля,

F — сила, H,

q - положительный точечный заряд, Кл.

Точечным (пробным) зарядом называют заряженное тело, размеры и заряд которого настолько малы, что не искажают исследуемое поле. В качестве пробного заряда принят положительный точечный заряд. Напряженность электрического поля является векторной величиной. Графически электрическое поле выражается линиями напряженности, которые проводят так, чтобы направление касательной в каждой ее точке совпадало с направлением вектора напряженности поля. Линии напряженности электрического поля начинаются на положительных зарядах и заканчиваются на огрицательных зарядах. Следовательно, они разомкнуты. Если во всех точках поля векторы напряженности одинаковы, то такое поле называют однородным.

Сила взаимодействия двух точечных зарядов определяется законом Кулона:

$$F = \frac{q_1 \cdot q_2}{4\pi \cdot r^3 \cdot \epsilon_a} H, \tag{1.2}$$

где, г — расстояние между зарядами q_1 , и q_2 , м; F — сила. H; ε_1 — абсолютная диэлектрическая проницаемость, она показывает зависимость силы F от окружающей среды. $\varepsilon_2 = \varepsilon_0 \varepsilon_1$ где, ε_2 — относительная диэлектрическая проницаемость, она показывает во сколько раз сила взаимодействия зарядов уменьшается в данной среде по сравнению с вакуумом.

$$\epsilon_{\rm 0} = 8.85 \cdot 10^{-12} \, \frac{{\rm Kn}}{{\rm H \cdot m}^2} \, -$$
 абсолютная диэлектрическая про-

инпасмость вакуума, называемая электрической постоянной. Напряженность в заданной точке поля равна:

$$E = \frac{q}{4\pi \cdot r^2 \cdot \epsilon_a}.$$
 (1.3)

1.2. Потенциал и напряжение

Энергия электрического поля определяется величинами шрядов, создающих его. Поля сравниваются между собой их поллействием на пробный заряд. При создании электрического поля отрицательным зарядом для введения в это поле пругого отрицательного заряда надо преодолеть силу отталки-

ГЛАВА 1

ЭЛЕКТРИЧЕСКОЕ ПОЛЕ И ДИЭЛЕКТРИКИ

Любое вещество состоит из атомов, которые состоят из ядра и вращающихся вокруг них электронов. Ядро состоит из протонов и нейтронов. Приняго считать электрон отрицательно заряженным, а протон положительно. Если в атоме число протонов и электронов одинаково, то он считается электрически нейтральным. Если в атоме преобладают электроны, то он будет заряжен отрицательно и называться отрицательным ионом. Если в атоме преобладают протоны, то он будет заряжен положительным ионом.

Вокруг любого электрического заряда возникает электрическое поле, через которое взаимодействуют электрические заряды. Одноименно заряженные частицы отталкиваются, разноименно заряженные частицы притягиваются друг к другу. Следовательно, электрическое поле обладает энергией. При перемещении заряженных частиц совершается работа за счет энергии электрического поля.

1.1. Напряженность электрического поля. Закон Кулона

Напряженность электрического поля, являясь основным параметром заданной точки этого поля, выражается отношением силы. с которой поле действует на точечный (пробный) заряд, помещенный в данную точку поля, к величине этого заряда:

$$E = \frac{F}{a},\tag{1.1}$$

где, E — напряженность электрического поля, F — сила, H,

q - положительный точечный заряд, Кл.

Точечным (пробным) зарядом называют заряженное тело, размеры и заряд которого настолько малы, что не

искажают исследуемое поле. В качестве пробного заряда принят положительный точечный заряд. Напряженность электрического поля является векторной величиной. Графически электрическое поле выражается линиями напряженности, которые проводят так, чтобы направление касательной в каждой ее точке совпадало с направлением вектора напряженности поля. Линии напряженности электрического поля начинаются на положительных зарядах и заканчиваются на отрицательных зарядах. Следовательно, они разомкнуты. Если во всех точках поля векторы напряженности одинаковы, то такое поле называют однородным.

Сила взаимодействия двух точечных зарядов определяется законом Кулона:

$$F = \frac{q_1 \cdot q_2}{4\pi \cdot r^2 \cdot \epsilon_0} H, \qquad (1.2)$$

гле, г — расстояние между зарядами \mathbf{q}_1 , и \mathbf{q}_2 , м; \mathbf{F} — сила. \mathbf{H} ; ε_a — абсолютная диэлектрическая проницаемость, она показывает зависимость силы \mathbf{F} от окружающей среды. $\varepsilon = \varepsilon$. ε , г.д., ε — относительная диэлектрическая проницаемость, она показывает во сколько раз сила взаимодействия зарядов уменьшается в данной среде по сравнению с вакуумом.

$$\epsilon_{_0} = 8.85 \cdot 10^{-12} \, \frac{\mathrm{Kn}}{\mathrm{H} \cdot \mathrm{m}^2} \, - \mathrm{абсолютная} \, \mathrm{диэлектрическая} \, \mathrm{про-}$$

нипаемость вакуума, называемая электрической постоянной. Напряженность в заданной точке поля равна:

$$E = \frac{q}{4\pi \cdot r^2 \cdot \epsilon}.$$
 (1.3)

1.2. Потенциал и напряжение

Энергия электрического поля определяется величинами прядов, создающих его. Поля сравниваются между собой их по действием на пробный заряд. При создании электричестого поля отрицательным зарядом для введения в это поле другого отрицательного заряда надо преодолеть силу отталки-

вания этого поля. В результате энергия электрического поля увеличивается. При введении в это поле положительного заряда его энергия уменьшается, т.к. расходуется на увеличение скорости вводимого заряда. В обоих случаях поле совершает работу. На рис. 1.1. положительный точечный заряд q расположен в точке М1

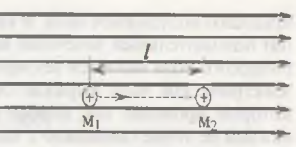


Рис. 1.1. Движение электрического заряда в однородном электрическом поле.

электрического поля. Если под воздействием сил электрического поля заряд q переместили за пределы поля, то совершенная полем работа будет равна потенциальной энергии этой точки поля. Отношение работы, которая должна быть совершена силами полядля удаления положительного пробного заряда q к величине этого заряда, называется потенциалом электрического поля в данной точке.

$$\phi_{M_i} = \frac{W_{M_i}}{\sigma}, \quad (1.4)$$

где, q - величина заряда,

 W_{MI}^- потенциальная энергия поля в точке M_I^- , ϕ_{MI}^- потенциал поля в точке M_I^- .

Размерность потенциала.

$$\phi = \frac{W}{q} = \frac{1 \cancel{L} \cancel{K}}{1 \cancel{K}} = 1 \cancel{B}$$

Если заряд q под воздействием сил электрического поля переместился из точк \mathbf{M}_1 в точку \mathbf{M}_3 , то совершенная работа будет равна изменению потенциальной энергии

$$A_{1} = W_{M1} - W_{M2} = q \cdot \phi_{M1} - q \cdot \phi_{M2} = q(\phi_{M1} - \phi_{M2}). \tag{1.5}$$

Разность потенциалов точек M_1 и M_2 называется напряжением и обозначается U_{12} . Таким образом, $A_{12} \! = \! q \cdot U_{12}$. В общем виде $A \! = \! q \cdot U$

Следовательно, работа по перемещению заряда между двумя точками поля прямо пропорциональна напряжению меж-

ду этими точками. Размерность напряжения — вольт. Однако в технике применяются и другие единицы: милливольт ($1 \text{ мB}=10^{3}\text{B}$), микровольт ($1 \text{ мкB}=10^{6}\text{B}$), киловольт ($1 \text{ кB}=10^{3}\text{B}$).

Если, например, потенциал точки M_2 будет равен 0, то $U_{12} = U_{M1} - U_{M2} = U_{M1}$. В различных точках поля значения и знаки потенциалов могут быть различными. Для сравнения потенциалов разных точек поля введено понятие точки с потенциалом, равным 0. Обычно потенциал земли принято считать равным 0.

При перемещении заряда q из точки M в точку M совершается работа

$$A = F \cdot I \tag{1.7}$$

иде F — сила поля, H l — расстояние, M

Пользуясь формулами 1.1, 1.6, найдем другое выражение напряженности

$$A=Eq = qU$$

отсюла

$$E = \frac{\mathbf{q} \cdot \mathbf{U}}{\mathbf{q} \cdot l} = \frac{\mathbf{U}}{l} \quad \frac{\mathbf{B}}{\mathbf{M}}$$

1.3. Электропроводность и электрический ток

В электрическом поле положительные заряды переменаются из точек с высоким потенциалом в точки с низким потенциалом. Отринательные заряды, наоборот, переменаются из точек с низким потенциалом в точки с высоким потенциалом. Направленное движение электрическим током. Способность вещества под действием электрического поля создавать электрический ток называется электроческого поля создавать электрический ток называется электропроводностью. По степени электропроводности вещества делятся на три вида: проводники, полупроводники и диэтектрики. Проводники обладают высокой электропроводностью и делятся на 2 рода. Все металлы и их сплавы относятся к проводникам 1 рода и в них электронов. Все кислоты и щелочи относятся к проводникам 2 рода и в них

электрический ток создаётся за счет движения ионов. Диэлектрики обладают низкой электропроводностью и они применяются в качестве электроизоляционных материалов. К ним относятся: минеральные масла, лаки, слюда, бумага, резина, стекло и т. д.

Полупроводники в обычных условиях обладают низкой электропроводностью. Однако, под воздействием температуры, электрического и магнитного полей, света резко повышают свою электропроводность.

При отсутствии электрического поля в металлических проводниках свободные электроны двигаются беспорядочно. Поэтому электрический ток будет равен нулю. При наличии внешнего электрического поля свободные электроны приобретают направленное движение и поэтому создается электрических ток. Следовательно, для безпрерывного протекания тока между концами проводника постоянно должна быть разность потенциалов.

Скорость самих электронов мала. Однако скорость передачи энергии электронами друг другу высока (30000 км/с). Электроны двигаются от точек с низким потенциалом к точкам с высоким потенциалом. Следовательно, электрический ток двигается от «—» к «+». В начале, когда электрический ток не был хорошо изучен, предполагали, что он движется от «+» к «—». Впоследствии эту условность решили сохранить.

Размерность тока — ампер. Величина тока определяется количеством электрических зарядов, проходящих через поперечное сечение проводника за 1 с. Величина тока равна 1 А если через поперечное сечение проводника за 1 с проходит электрический заряд, равный 1 к, т.е.

$$I = \frac{Q}{t} \left(\frac{K\pi}{c} \right) = A$$

 $1A=10^3$ миллиампер (mA)= 10^6 микроампер (mк A).

В проводниках второго рода электрический ток обеспечивается движением ионов. Так, например, под действием растворителя (воды) молекулы серной кислоты (H_2SO_4) распадаются на положительный $2H^+$ и отрицательный, SO_4 ионы. Под действием электрического поля положительные ионы двигаются к катоду, отрицательные ионы — к аноду. (рис.1.2). Отрицательные ионы отдают аноду свободные электроны,

которые во внешней цепи создают анод мектрический ток. Положительные ионы электролита соединяются с мектронами внешней цепи. Таким образом, в электролите ток создастся движением ионов, а во внешней цепи — движением свободных электронов.

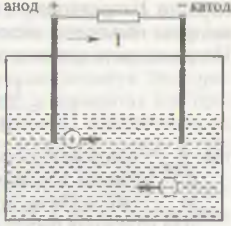


Рис. 1.2. Ток в электролите

1.4. Диэлектрик в электрическом поле

У одной группы диэлектриков, называемых неполярными, под действием внеинего электрического поля происходит смещение центров положительных и отринательных зарядов атомов (рис. 1.3, б). Такие атомы могут рассматриваться как пара разноименных точечных зарядов +q и -q, называемых электрическим диполем (рис. 1.3) Смещение орбит атомов называется поляризацией диэлектрика. Во внешнем электрическом поле электроны всех атомов смещаются одновременно. В результате создается электрический ток, называемый током смещения. Электрическое поле поляризованных атомов направлено против внешнего поля и ослабляет его.



Рис. 1.3. Атом диэлектрика:

а) цеполяризованный атом: б) поляризованный атом: в) диполь.

Способность поляризации диэлектриков во внешнем поле нанывается диэлектрической проницаемостью. Она показывает по сколько раз уменьшается внешнее поле под действием поэмризации. При превышении напряжения внешнего поля критического значения наступает пробой диэлектрика, т.е. местное его разрушение с образованием канала высокой проподимости. При этом диэлектрик теряет свои изоляционные свойства. Напряженность, при котором происходит пробой диэлектрика называется электрической прочностью диэлектрика. Напряженность пробоя диэлектрика равна.

$$E_{rp} = \frac{U_{rp}}{d} \left(\frac{\kappa B}{M} \right)$$
 (1.9)

где, E_{np} — напряженность пробоя, d — толщина изоляционного материала, U_{np} — напряжение пробоя.

Для надежной работы электрических установок необходимо, чтобы допустимое напряжение было в несколько раз меньше напряжения пробоя. Сопротивление диэлектрика с поперечным сечением 1 м2 и длиной / м называется удельным объемным сопротивлением:

$$\rho_{v} = \frac{R \cdot S}{l} \left(\frac{OM \cdot M^{2}}{M} \right) = O_{M \cdot M}. \tag{1.10}$$

1.5. Электроизоляционные материалы

1. Газообразные диэлектрики. Воздух служит природным диэлектриком в линиях электропередачи, некоторых устройствах, между открытыми проводами. Водород, азот, инертные газы также являются диэлектриками.

2. Жидкие и полужидкие диэлектрики.

Минеральные масла - продукты переработки нефти. Они в основном применяются в масляных трансформаторах, выключателях, кабелях и конденсаторах.

Совол - синтетический жидкий диэлектрик. Он применяется для пропитки и заполнения конденсаторов, так как его диэлектрическая проницаемость в 2 раза больше, чем у минерального масла.

Совтол также как и совол негорюч и, залитые им трансформаторы, безопасны в пожарном отношении.

Смолы при низких температурах - это аморфные стеклообразные массы, а при нагреве они размягчаются и становятся пластичными, а затем жидкими. Они не гидроскопичны и не растворяются в воде, но растворяются в спирте и других растворителях. Смолы являются важной составной частью многих лаков, компаундов, пластмаес, красок.

Лаки — растворы пленкообразующих веществ. Они применяются в электрических машинах и аппаратах для пропитки их обмоток с целью повышения их влагостойкости. Эмалевые лаки предназначены для создания тонких и гибких изоляционных покрытий на обмоточных проводах.

Электроизоляционным составом (компаундами) заливаются узлы электрических приборов, а также пропитываются их обмотки.

3. Твердые диэлектрики

Бумага применяется для изготовления кабелей, кон-

Электрокартон широко используют для прокладок в пазах пектрических машин, каркасов обмоток и различных изделий.

Резина обладает высокими электроизоляционными свойствами, она эластична и поэтому широко применяется в электротехнике.

Слюда - на её основе изготавливаются такие электроизоляпионные материалы, как миканит, микалекс, микафолии. сполинит, которые широко применяются в качестве изоляппонных прокладок в электрических машинах и аппаратах.

Электрофарфор широко применяется для изготовле-

Пластмассы в электротехнике применяются в качестве твёрдых и гибких конструкционных материалов

Асбест - это волокнистый минеральный материал, выдерживающий тепло до 300-400°С. Из него изготовляется пряжа, материя, шнуры, картон. В таблице 1.1. приведены данные некоторых электроизоляционных материалов, где E_ — напряженность пробоя, є — диэлектрическая проницаемость, р, – удельное объемное сопротивление.

1.6. Электрическая емкость. Конденсаторы

Способность вещества накапливать электрические заряды называется электрической емкостью. Система, состояшая из двух проводников, разделенных диэлектриком, навывается конденсатором. Проводники конденсатора на

Параметры некоторых электроизоляционных материалов

Пиологични	E		9	
Диэлектрик	103кв/м	-	OMENI	
Бумата, пропитанная маслом	10+25	3.6		
Трансформаторное масло	15+20	2,1+2.4	1012+101	
Возлух	3	- 10		
Гетинакс	10+15	4+7	108+1010	
Миканит	15+40	5+6	109+101	
Резина	15+20	3+6	1011+1012	
Стекло	10+15	6+10	1012	
Фарфор	15÷20	5,5	1012+1013	
Гекстолит	6+16	5+8	107+1010	
Совол	14+16	5.0+5,2	1012÷1011	
Совтол	13+18	4.5+4.8	1011+1012	
Полистирол	25+40	2,4+2.6	1013+1015	
Полиэтилен	35+60	2,2+2,4	1013+1015	
Фторонласт	15+20	2.8+3.0	1014+1016	
Электроизоляционный картон	8+12	3+5	106+108	

зываются его обкладками или электродами. На обкладках конденсатора накапливаются равные по количеству, но разноименные заряды. Заряд конденсатора пропорционален напряжению между его обкладками. Емкостью конденсатора называется коэффициент пропорциональности между зарядом Q и напряжением между обкладками U:

$$C = \frac{Q}{U}, \tag{1.11}$$

где Q — заряд на одной из обкладок конденсатора, U — напряжение между обкладками.

Единицей измерения электрической ёмкости является фарада

$$1\varphi = \frac{1.K\pi}{1B} = 1\frac{K}{B}.$$

Фарада очень крупная единица. Поэтому на практике пользуются микрофарадой (мкФ) или пикофарадой (пФ).

 $1 \text{ MK}\Phi = 10^{-6}\Phi$; $1 \text{ <math>\Pi}\Phi = 10^{-12}\Phi$.

Если известны площадь обкладки, расстояние между ними и тип диэлектрика, то емкость конденсатора можно определить по формуле

$$C = \varepsilon_a \cdot \frac{S}{d}$$
,

где ϵ_{u} — абсолютная диэлектрическая проницаемость,

S - площадь обкладки конденсатора, м²,

d - расстояние между обкладками, м.

1.7. Типы конденсаторов

Тип конденсатора связан с его диэлектриком. Например, в бумажных конденсаторах две длинные ленточные фольги разделены парафинированной бумагой. Конденсаторы бывают бумажные, слюдяные, стеклянные, керамические, электролитические. У электролитических конденсаторов диэлектриком служит тончайний слой окиси на поверхности алюминиевой или танталовой фольги, которая служит одним электродом. Второй обкладкой служит бумага или ткань, пропитанная густым раствором электролита. Электролитические конденсаторы могут применяться только в цепях постоянного тока.

1.8. Соединения конденсаторов

Для получения конденсаторов необходимой ёмкости на нужное напряжение применяют параллельное, последовательное или смещанное соединения конденсаторов.

Последовательное соединение конденсаторов (рис. 1.4)

При этом на обкладках всех конденсаторов будут одинаконые по величине электрические заряды. Это объясняется тем, что заряды от источника питания поступают только на внешпие обкладки соединения. Напряжения конденсаторов равны

$$U_1 = \frac{Q}{C_1}; U_2 = \frac{Q}{C_2}; U_3 = \frac{Q}{C_3}.$$
 (1.12)

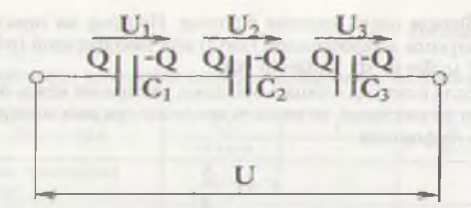


Рис. 1.4. Последовательное соединение конденсаторов

Напряжение, приложенное к цепи равно:

$$U=U_1+U_2+U_3$$
. (1.13)

Если напряжение выразим через отношения зарядов к ёмкостям, то получим:

$$\frac{Q}{C_{o6}} = \frac{Q}{C_1} + \frac{Q}{C_2} + \frac{Q}{C_3}$$
 (1.14)

или при сокращении на О:

$$\frac{1}{C_{o6}} = \frac{1}{C_1} + \frac{1}{C_2} + \frac{1}{C_3} = \frac{C_3 \cdot C_3 + C_1 \cdot C_3 + C_1 \cdot C_3}{C_1 \cdot C_2 \cdot C_3}$$
(1.15)

Следовательно, при последовательном соединении конденсаторов обратная величина их общей ёмкости равна сумме обратных величин емкостей всех конденсаторов.

Из выражения 1.15 находим общую емкость для трёх последовательно соединенных конденсаторов

$$C_{ab} = \frac{C_{1} \cdot C_{2} \cdot C_{3}}{C_{2} \cdot C_{3} + C_{1} \cdot C_{2} \cdot C_{3}}.$$

При последовательном соединении п одинаковых конденсаторов общая емкость равна:

$$C_{ab} = \frac{C}{n}$$
. (1.16)

Необходимо подчеркнуть то, что при последовательном соединении конденсаторов их общая емкость меньше меньшей.

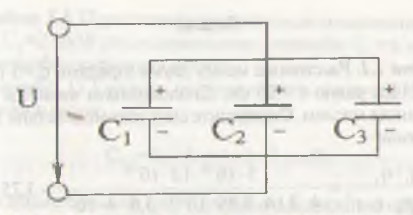


Рис. 1.5. Парадзельное соединение конденсаторов.

Параллельное соединение конденсаторов - при этом напряжения на них будут одинаковы, а заряды разные (рис. 1.5):

$$Q = C_1 U; Q = C_2 U; Q = C_3 U.$$
 (1.17)

Общий заряд конденсаторов будет равен сумме зарядов всех конденсаторов:

$$Q=Q_1+Q_2+Q_3;$$
 (1.18)

$$Q = Q_1 + Q_2 + Q_3;$$

$$CU = C_1 U + C_2 U + C_3 U.$$
(1.18)

При сокращении на U_1 получим: $C = C_1 + C_2 + C_3$. (1.20)

$$C_1 + C_2 + C_3$$
 (1.20)

Таким образом, при парадлельном соединении общая емкость схемы равна сумме емкостей всех конденсаторов.

Смешанное соединение конденсаторов - для определения общей емкости таких схем пользуются правилами последовательного и параллельного соединения.

1.9. Энергия электрического поля

С увеличением напряжения конденсатора растет его электрическая энергия

$$dW = dA = Q dU_c, \qquad (1.21)$$

где dW₃ — приращение электрической энергии, dU — приращение напряжения.

$$W_{s} = \int_{0}^{U_{s}} U_{s} \mathbf{C} \cdot dU_{s} = \frac{\mathbf{C}\mathbf{U}^{2}_{s}}{2} = \frac{\mathbf{Q} \cdot \mathbf{U}_{s}}{2} \mathbf{A} \mathbf{x}.$$

Следовательно, на конденсаторе накапливается только половина энергии, полученной от источника.

Залачи

Задача 1.1. Расстояние между двумя зарядами $q_i = 5 \cdot 10^8$ Кл и q,=12·10 8 Кл равно г =20 см. Диэлектриком является бумага, пропитанная маслом. Определите силу взаимодействия зарядов.

$$F = \frac{q_1 \cdot q_2}{4\pi \cdot \epsilon_0 \cdot \epsilon \cdot r^2} = \frac{5 \cdot 10^{-8} \cdot 12 \cdot 10^{-8}}{4 \cdot 3.14 \cdot 8.85 \cdot 10^{-12} \cdot 3.6 \cdot 4 \cdot 10^{-2}} = 3.75 \cdot 10^{-4} \, H,$$
 tak kak $\epsilon = 3.6$.

Задача 1.2. Электрическое поле действует на заряд q=1.8 10 3 Кл с силой F=5.4-10 4H. Определите напряженность электрического поля.

Решение

$$E = \frac{F}{q} = \frac{5.4 \cdot 10^{-4}}{1.8 \cdot 10^{-4}} = 0.3 \cdot B / M.$$

Задача 1.3. Пробойное напряжение резины толщиной 5 мм равно U = 8,5 кВ. Определите электрическую прочность этого диэлектрика.

$$E_{\text{max}} = \frac{U_{\text{np}}}{d} = \frac{8.5}{5 \cdot 10^{-1}} = 17 \cdot 10^2 \,\text{kB/m}.$$

Задача 1.4. Емкость конденсатора C=1,5 мкФ, заряд Q=45 105 Кл. Определите напряжение между обкладками конденсатора.

$$U = \frac{Q}{C} = \frac{4.5 \cdot 10^{-5}}{1.5 \cdot 10^{-6}} = 30 \text{ B}.$$

Задача 1.5. Емкость конденсатора С=0,35 мкФ, напряжение между обкладками U=400 В. Определите энергию электрического поля конденсатора.

Решение

$$W_{\rm s} = \frac{CU^2}{2} = \frac{0.35 \cdot 10^{-6} \cdot (400)^2}{2} = 2.8 \cdot 10^{-3} \, \text{Дж}.$$

Задача 1.6. Параллельно соединенным конденсаторам С =1 мк Φ , C_3 =2 мк Φ последовательно соединён C_3 =1 мк Φ . Определите общую емкость схемы.

Решение: 1) Емкость параллельного соединенных конденсаторов равна:

$$C_{12} = C_1 + C_2 = 1 + 2 = 3 \text{ MK}\Phi.$$

2. Общая емкость определяется следующим образом:

$$\frac{1}{C} = \frac{1}{C_{1,7}} + \frac{1}{C_{1}} = \frac{1}{3} + \frac{1}{1} = \frac{4}{3} \frac{I}{MK\Phi} \text{ win } C = \frac{3}{4} = 0.75 \text{ MKD}.$$

BHEJI OTEKA ых. ПЯ я ЛП М 75375

ГЛАВА 2

МАГНЕТИЗМ И ЭЛЕКТРОМАГНЕТИЗМ

2.1. Магнитное поле

Магнитное поле является одним из видов материи. Магнитное поле создается вокруг постоянного магнита и проводника с током, а также при изменении электрического поля. Наличие магнитного поля можно определить по воздействию на проводник с током, постоянный магнит, электромагнит. Например, в магнитном поле проводника с током магнитная стрелка располагается перпендикулярно оси проводника. Направление магнитного поля проводника со-

впадает с направлением северного полюса стрелки компаса, Графически магнитное поле изображается линиями магнитной индукции. Направление магнитного поля совпадает с направлением касательной к линиям магнитной индукции в каждой точке поля. Линии магнитной индукции всегда замкнуты. Например, линии магнитной индукции проводника с током представляют Рис. 2.1. Определение направлесобой концентрические окруж- ния магнитного поля при помощи ности, расположенные на плос- правил правой руки и буравчика. кости, перпендикулярной оси



проводника. Направление этих линий магнитной индукции определяется по правилу буравчика: если направление движения буравчика совпадает с направлением тока проводника, то направление вращения ручки буравчика покажет направление магнитных линий (рис. 2.1). Направление магнитного поля катушки можно определить по правилу правой руки: если катушку правой рукой охватить так, чтобы направления четырех пальцев совпали с направлением тока, то вытянутый большой палец покажет северный полюс магнитного поля (рис. 2.1).

2.2. Параметры магнитного поля

1. Магнитодвижущая сила (или намагничивающая сила)это способность электрического тока создавать магнитное поле. Магнитодвижущая сила (МДС) одного проводника с током равна величине этого тока:

$$F=I (A). (2.1)$$

где F-магнитодвижущая сила (МДС).

МДС катушки равна:

$$F=I\cdot w (A), \qquad (2.2)$$

где w — число витков катушки.

2. Напряженность магнитного поля — это отношение намагничивающей силы к средней длине магнитных силовых линий:

$$H = \frac{F}{I} \frac{A}{M}$$
 (2.3)

где Н - напряженность магнитного поля; І - средняя длина магнитных силовых линий.

Иногда применяется другая размерность-ЭРСТЕД

$$19 = 79.6 \frac{A}{M} = 0.8 \frac{A}{CM}.$$
 (2.4)

Напряженность магнитного поля не зависит от среды.

3. Магнитная индукция определяет интенсивность магнитного поля. Магнитная индукция-это векторная величина, её направление определяется направлением касательной к магнитным линиям в каждой точке поля. Магнитная индукция зависит от величины тока, формы проводника, магнитных свойств среды и расстояния от проводника до точки, где определяется магнитная индукция. Магнитная индукция и напряженность связаны простым соотношением:

$$B=\mu_a \cdot H.$$
 (2.5)

где μ_o — абсолютная магнитная проницаемость, она характеризует среду магнитного поля.

В различных средах магнитная индукция будет различной. В парамагнитной среде магнитная индукция по отношению к вакууму будет сильнее, а в диамагнитной — слабее. Абсолютная магнитная проницаемость вакуума называется магнитной постоянной и она равна:

$$\mu_a = 4\pi \cdot 10^{-7} \frac{\Gamma_H}{M} = (\frac{O_{M} - c}{M}).$$
(2.6)

Ом с=Гн(генри) — размерность индуктивности.

Отношение обсолютной магнитной проницаемости какого-либо вещества к магнитной постоянной называется относительной магнитной проницаемостью

$$\mu = \mu_o / \mu_o. \tag{2.7}$$

В диамагнитных материалах (медь, серебро, свинец и т. д.) μ <1, в парамагнитных материалах (алюминий, платина и т.д.) μ >1. У ферромагнитных материалов μ >>1 (несколько тысяч и более). По этой причине ферромагнитные материалы широко применяются в электротехнике, так как позволяют получать сильные магнитные поля. Размерность магнитной индукции:

$$B = \mu_u - H \frac{O_{M} \cdot c}{M} - \frac{A}{M} = \frac{B \cdot c}{M^2} = \frac{B6}{M^2} = Tecna (T).$$
 (2.8)

На практике иногда пользуются другой единицей-гауссом.

$$1rc = 10^{-4}T$$
.

4. Магнитное напряжение. По аналогии с электрическим напряжением при расчете магнитных полей пользуются понятием магнитного напряжения. Магнитное напряжение между двумя точками однородного поля по одной магнитной линии выражается произведением напряженности поля и расстояния между точками:

$$U_M = H \cdot \ell = \frac{A}{M} \cdot M = A.$$

5. Магнитный поток-произведение магнитной индукции В и величины площадки, перпендикулярной вектору этой индукции:

$$\Phi = B \cdot S = \frac{B6}{M^2} \cdot M^2 = Bc6ep(B6).$$

На практике пользуются также более мелкой единицей, называемой максвеллом

 $1B6 = 10^{8}$ максвелл(мкс).

2.3. Закон полного тока

Магнитное поле проводника с током изображается в виде концентрических окружностей, плоскость которых перпендикулярна проводнику. Напряженность на расстоянии *a* от проводника (рис. 2.2):

$$H = \frac{1}{l} = \frac{1}{2\pi \cdot a} = \frac{F}{2\pi \cdot a}$$
 (2.14)

NUM

$$1 = H \cdot l = H \cdot 2\pi \cdot a - F.$$
 (2.15)

где F — намагничивающая сила; I — длина магнитных линий. м.

Если через поверхность, ограниченную замкнутым контуром, проходят несколько проводников с гоком, то намагничивающая сила:

 $F=\Sigma I.$ (2.16)

где ΣI — полный ток — это алгебраическая сумма токов, пронизывающих поверхность, ограниченную замкнугым контуром



Рис. 2.2. Закон полного тока.

Формула 2.16 выражает закон полного тока: Намагничивающая сила вдоль контура равна полному току, проходящему сквозь поверхность, ограниченную этим контуром. Если напряженность магнитного поля на разных участках магнитных линий различна, то намагничивающая сила:

2

$$F = H_1 I_1 + H_2 I_2 + ... + H_n I_n = \sum_{n=1}^{\infty} H_n I_n.$$
 (2.17)

Закон полного тока применяется при расчетах магнитных цепей.

2.4. Магнитное поле прямолинейного проводника с током

При этом рассмотрим два случая (рис 2.3).

1) r > a где a – радиус проводника, r – расстояние, на котором определятся напряженность магнитного поля и величина магнитной индукции. По закону полного тока

$$H = \frac{I}{2\pi \cdot r}$$
 (2.18)
= $\mu_a \cdot H = \mu_a \frac{1}{2\pi r}$ (2.19)

Следовательно с увеличением г Следовательно с уволи польмагнитная индукция и напряженность внутри проводника с током.

2) r < a, т.е. находим напряженность и магнитную индукцию внутри проводника

$$H = \frac{1}{2\pi \cdot a^{\pm}} \cdot r;$$

(2.21)Следовательно, внутри проводника магнитная индукция и

напряженность магнитного поля возрастают с увеличением г. На поверхности проводника (r=a) напряженности магнитная индукция поля имеют наибольшее значения:

$$H = \frac{I}{2\pi \cdot \alpha^2} \cdot \alpha = \frac{I}{2\pi \cdot \alpha}$$
 (2.22)

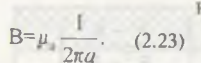


График напряженности магнитного поля внутри и вне проводника (рис. 2.4).

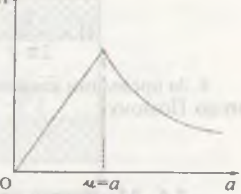


Рис. 2.4. График изменения напряженности магнитного поля проводника с током.

2.5. Магнитное поле коаксиального кабеля

Коаксиальный кабель состоит из двух изолированных проводов, имеющих общую ось (рис. 2.5). Внутренний провод-цилиндрический, наружный-трубчатый. Рассмотрим четыре случая:

1) r>r,. Согласно формуле 2.20 напряженность внугри цилиндрического провода равна:

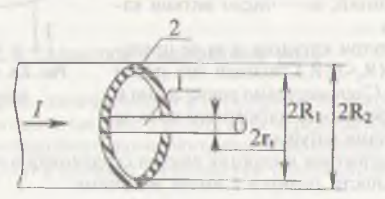


Рис. 2.5. Коакснальный кабель.

$$H = \frac{1}{2\pi \cdot r^2} \tag{2.24}$$

2) между трубчатым и цилиндрическим проводами r₁<r<R₁

$$H = \frac{I}{2\pi r}.$$
 (2.25)

3). Внугри трубчатого провода напряженность равна

$$H = \frac{1}{2\pi \cdot r} \left(1 - \frac{r^2 - R_1^2}{R_1^2 - R_2^2} \right)$$
 (2.26)

4. За пределами коаксиального кабеля полный ток равен нулю. Поэтому

H=0.

2.6. Магнитное поле катушки с кольцевым сердечником (рис 2.6)

В соответствии с законом полного тока напряженность магнитного ноля на расстоянии г от оси катушки равна:

$$H = \frac{F}{I} = \frac{1 \cdot w}{I} = \frac{I \cdot w}{2\pi \cdot r}.$$

где $I-2\pi r$ — средняя длина магнитных линий; ш - число витков ка-

Внугри катушки и за её пределами ($R_2 \le r \le R_1$) полный ток равен нулю. Следовательно равна нулю и напряженность магнитного поля за пределами катушки.

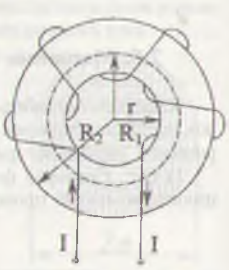


Рис. 2.6. Кольневая

Магнитная индукция внугри сердечника в любой точке окружности радиуса г имеет величину:

$$B = \mu_a \cdot H = \mu_u \frac{1 \cdot w}{l} = \mu_a \frac{1 \cdot w}{2\pi \cdot r}.$$
 (2.28)

Магнитная индукция и напряженность при т=R, будет наибольшей, а при г=R, наименьшей.

2.7. Магнитное поле цилиндрической катушки (рис. 2.7)

Цилиндрическую катушку можно рассматривать как кольцевую с достаточно большим радиусом, у которой обмотка расположена только на части сердечка длиной L

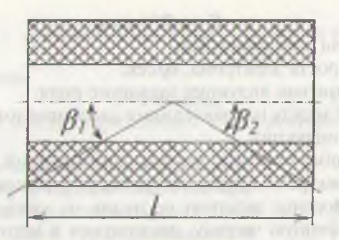


Рис. 2.7. Цилиндрическая катушка.

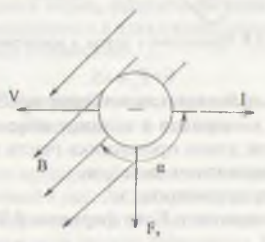
При этом магнитная индукция может быть определена по следующей формуле:

$$B = \mu_a \frac{[w]}{2I} (\cos\beta_1 + \cos\beta_2), \qquad (2.29)$$

где l= длина катушки, $l\cdot w=$ намагничивающая сила катушки.

2.8. Электрон в магнитном поле

На электрон, движущийся в магнитном поле действует электромагнитная сила (рис. 2.8). Эта сила определяется взаимодействием заданного магнитного поля и магнитного поля движущего электрона и называется силой Лоренца



Рвс. 2.8. Электрон в магинтном полс.

 $F = q \cdot B \vee \sin \alpha$

(2.30)

где q - заряд электрона, Кл;

V - скорость электрона, м/сек;

В — магнитная индукция заданного поля;

 α – утол между направлениями движения тока и вектора магнитной индукции,

Необходимо отметить, что ток, возникающий в результате движения электрона, направлен против направления его движения. Сила Лоренца действует не только на электрон, но и на любую заряженную частицу, движущуюся в магнитном поле. Направления силы Лоренца определяется по правилу левой руки.

2.9. Проводник с током в магнитном поле

Ток в проводнике создается движением электронов. На каждый электрон магнитное поле действует с определенной силой (рис 2.9). Следовательно, на проводник магнитное поле действует с определенной силой:

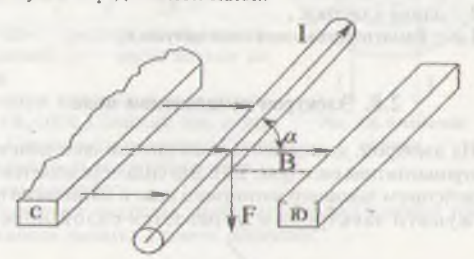


Рис. 2.9. Проводник с током в магнитном поле

$$F=F_n IS, \qquad (2.31)$$

где F — сила, действующая на один электрон, H,

п - число электронов в единице объема,

I — активная длина проводника (часть проводника, находящаяся в магнитном поле), м,

S - сечение проводника, м2.

Подставив значение $F_{_2}$ из формулы 2.30 в эту формулу, получим

$$F=q n V S B / Sin \alpha$$
, (2.32)

где q п·V= δ — плотность тока; δ -S=I — сила тока в проводнике.

Таким образом

 $F=I B / \sin \alpha$, (2.33)

где α — угол между направлением тока и вектора магнитной индукции,

В — величина магнитной индукции. Эта формула выражает закон Ампера: на проводник с током магнитное поле действует с силой, пропорциональной току проводника, его активной длине и величине магнитной индукции поля. Направление электромагни гной силы определяется по правилу левой руки: расположим ладонь левой руки так, чтобы вектор магнитной индукции входил в несчетыре вытянутых пальца совпали с направлением тока, тогда отогнутый под прямым углом большой палец укажет на-

правление электромагнитной силы (рис.

электромагнитных механизмах.



Рис. 2.10. Правило левой руки.

2.10). певой руки. Если проводник с током в однородном магнитном поле под действием электромагнитных сил перпендикулярно магнитным линиям переместится на расстояние в, то при этом будет совершена следующая работа:

2.10. Взаимодействие параллельных проводников с токами

Вокруг любого проводника с током создается магнитное поле. На приведенной в рис. 2.11 второй проводник действует магнитной поле первого проводника, на первый проводник действует магнитное поле второго проводника. Величины магнитных индукций на расстоянии а от проводников равны:

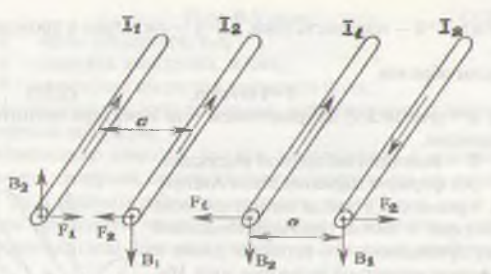


Рис. 2.11. Взаимодействие двух нарачленьных проводов с токами.

$$B_{1} = \mu_{\alpha} - H_{1} = \mu_{\alpha} \frac{1}{2 \pi \cdot \alpha},$$

$$B_{2} = \mu_{\alpha} - H_{2} = \mu_{\alpha} \frac{1}{2 \pi \cdot \alpha}.$$
(2.35)

Силы, действующие на проводники, равны:

$$F_{1} = I_{1} \cdot B_{2} \cdot \ell = \mu_{a} \frac{I_{1} \cdot I_{2}}{2\pi \cdot \alpha} \cdot I_{c}^{*} \tag{2.36}$$

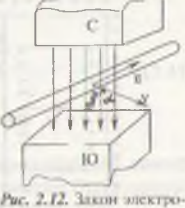
$$F_1 = I_2 \cdot B_1 \cdot I = \mu_a \cdot \frac{I_1 \cdot I_2}{2\pi \cdot a} I_1$$
 (2.37)

Следовательно, эти силы равны друг другу, $F_1 = F_2$. Если токи проводников направлены одинаково, то под действием этих сил провода притягиваются друг к другу. Если эти токи направлены противоположно друг другу, то провода отгалкиваются друг от друга.

2.11. Явление электромагнитной индукции

На электроны движущегося проводника магнитное поле действует с определенной силой, под действием которой электроны перемещаются на один конец проводника и создают там

отрицательный заряд. На другом конце проводника из-за недостатка электронов возникает положительный заряд. Таким образом, между концами проводника возникает э.д.с. (электродвижущая сила) электромагнитной индукции (рис. 2.12):



 $E=B-V\cdot Sin\alpha$, (2.38) где V= скорость перемещения проводника; $\alpha=$ угол между вектором скомагнитной индукции.

рости и вектором магнитной индукции; / – активная длина проводника.

При этом безразлично, движется проводник или изменяется магнитное поле. Направление э.д.с. определяется по правилу правой руки: если лацонъ правой руки расположить так, чтобы магнитные линии входили в неё, отогнутый под прямым уплом большой палед показал направление движения проводника, то выгинутые четыре пальца покажут направление э.д.с. Если проводник периендикулярно магнитным линиям переместился на расстояние $\Delta \sigma$ в со скоростью V, то можно написать:

$$E = B l V \sin \alpha = B l \frac{\Delta \theta}{\Delta t} = \frac{\Delta \Phi}{\Delta t}$$
 (2.39)

где sin 90°=1; V = $\frac{\Delta \sigma}{\Delta t}$; $F\Delta \sigma$ = ΔS — площадь, описанная про-

водником длиной I при его движении перпендикулярно магнитным линиям. Таким образом, э.д.с. индуктированная в проводнике, равна скорости изменения магнитного потока.

2.12. Э.д.с., наводимая в контуре

Рассмотрим движение замкнутого контура в неоднородном магнитном поле (рис. 2.13). При движении контура перпендикулярно магнитному полю на его сторонах 1 и 2 создаются э.д.с.

$$e_i = \frac{\Delta \Phi_i}{\Delta t}; e_s = \frac{\Delta \Phi_s}{\Delta t},$$
 (2.40)

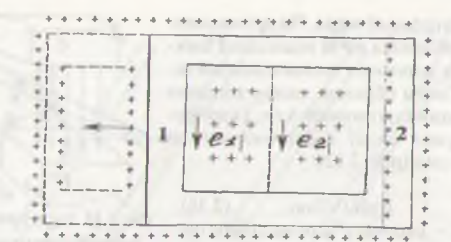


Рис. 2.13. Контур с током в магнитном поле

где $\Delta\Phi_1$ и $\Delta\Phi_2$ — магнитные потоки, пересекаемые сторонами 1 и 2 контура за время Δt . Сторону 1 пересекает магнитный поток $\Delta\Phi_1$, входящий в контур, сторону 2 пересекает магнитный поток $\Delta\Phi_2$ выходящий из контура. В соответствии с правилом буравчика направление э.д.с. е, будет положительным, а e_2 -отрицательным. Следовательно, э.д.с, наведенная в контуре, равна:

$$e = e_3 - e_1 = \frac{\Delta \Phi_3 - \Delta \Phi_1}{\Delta t} = -\frac{\Delta \Phi_1 - \Delta \Phi_2}{\Delta t} = -\frac{\Delta \Phi}{\Delta t}$$
 (2.41)

Эта выражение определяет среднее значение э.д.с за время Δt . За бесконечно малый промежуток времени dt магнитный поток изменяется на dФ. Поэтому выражение 2.41 можно написать;

$$e = -\frac{d\Phi}{dt}$$
 (2.42)

Значит, индуцированная в контуре эдс равна скорости уменьшения магнитного потока, пронизывающего контур.

Если контур состоит не из одного витка, а из w витков, то э.д.с. равна

$$e=-\omega \frac{d\Phi}{dt}.$$
 (2.43)

Произведение магнитного потока на число витков называется потокосцеплением ψ :

$$\psi = \omega \Phi$$
. (2.44)

Поэтому

$$e=-w\frac{d\Phi}{dt}=-\frac{d\Psi}{dt}.$$
 (2.45)

2.13. Принцип Ленца

На рис 2.13 магнитный поток, пересекающий контур, уменьшается. Следовательно его производная будет отрицательной: $\Delta\Phi$ <0.

Тогда, в соответствии с 2.41 э.д.с будет положительной. Ток, возникающий в контуре под действием наведенной э.д.с. направлен против уменьшения магнитного потока, пронизывающего контур.

При движении контура в противоположном направлении производная магнитного потока, пересекающего его, будет положительной: △Ф>0. Следовательно, э.д.с., наведенная в контуре, будет отрицательной. Ток, возникающий в контуре под действием наведенной э.д.с. направлен против увеличения магнитного потока, пронизывающего контур. Для определения действительного направления наведенной э.д.с. и тока можно пользоваться принципом Ленца: ток, возникающий в контуре под действием наведенной э.д.с. всегда направлен таким образом, что противодействует изменению магнитного потока, пронизывающего контур.

2.14. Потокосцепление катушки. Индуктивность (рис. 2.14, 2.15)

При прохождении тока в катушке его каждый виток охватывает магнитный поток. Этот поток называется полоком самоиндукции. Алгебраическая сумма этих потоков называется потоко-сцеплением самоиндукции. При постоянной магнитной проницаемости среды потокосцепление самоиндукции пропорционально току. Отпошение потокосцепления самоиндукции к току будет постоянной величиной и называется индуктивностью:

$$L = \frac{\Psi}{I} = \frac{B6}{A} = \frac{B \cdot c}{A} = O_M \cdot c = \Gamma enpu \ (\Gamma n), \tag{2.46}$$

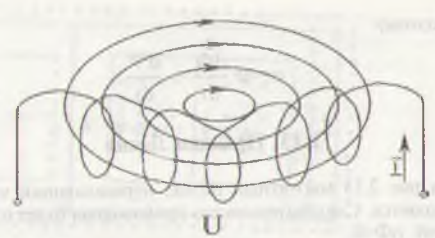


Рис. 2.14. Потокосцепление катушки.

где L - индуктивность,

ψ – потокосцепление.

Кроме генри пользуются более мелкими единицами: миллигенри (IмГн=10³ Гн), микрогенри (1мкГн=10⁶ Гн). Если в кольцевой катушке радиус витков катушки будет значительно меньше радиуса сердечника, то в каждой точке сердечника магнитные индукции будут одинаковы. Магнитный поток будет равен:

$$\Phi = \mathbf{B} \cdot \mathbf{S} = \mu \cdot \mu_0 \quad \frac{1}{l} \cdot \mathbf{w} \cdot \mathbf{S} = 4\pi \cdot 10^{-7} \mu \frac{1 \cdot w}{l} \cdot \mathbf{S}$$
 (2.47)

Рис. 2.15. Условное обозначение катушки.

где / - средняя длина магнитных линий;

1 – ток катушки;

ш – число витков катушки;

S — ссечение сердечники, м². Магнитный поток пересекает витки катушки. Поэтому потокосцепление самоиндукции будет равно:

$$\psi = \Phi \cdot w = \mu \cdot \mu_{\bullet} \cdot \frac{1 \cdot w^{\frac{1}{2}}}{l} \cdot S. \tag{2.48}$$

Таким образом, индуктивность кольцевой катушки равна:

$$L = \frac{\Psi}{I} = \mu \cdot \mu_0 \cdot \frac{w^2}{I} \cdot S \quad (\Gamma_H). \tag{2.49}$$

Если диаметр цилиндрической катушки значительно меньше сё длины, то её индуктивность вычисляется по формуле 2.49, но при этом / - длина катушки.

Индуктивность двухпроводной воздушной линии определяется по формуле

L=
$$4\pi \cdot 10^{-7} - l \cdot \ln \frac{a}{r}$$
 (Гн), (2.50)

где I — длина линии, м;

а - расстояние между проводами, м;

r — радиус провода, м.

2.15. Э.д.с. самоиндукции

При любом изменении тока контура изменяется потокосцепление.

В результате в катушке возникает э.д.с. Появление э.д.с в контуре при изменении тока в нем называется явлением самоиндукции. Э.д.с самоиндукции равна:

$$e_{\underline{t}} = -\frac{d\psi}{dt} = -\frac{d(L \cdot 1)}{dt} = -L\frac{di}{dt}, \qquad (2.51)$$

где $\frac{di}{dt}$ — скорость изменения тока в контуре.

Направление э.д.с. самоиндукции определяется по прин-

ципу Ленца: при уменьшении тока $\left(\frac{\mathrm{d}\mathrm{i}}{\mathrm{d}\mathrm{t}}\langle 0\right)$ э.д.с. будет поло-

жительной и направлена одинаково с током, при увеличении тока э.д.с. будет отрицательной и направлена против тока,

2.16. Энергия магнитного поля

Согласно принципу Ленца э.д.с. самоиндукции направлена против изменения тока. Поэтому при подключении катушки на постоянное напряжение ток в ней растет медленно (рис. 2.16 и 2.17). При подключении катушки на сопротивление R ток сразу не исчезает, т.к. этому препят-

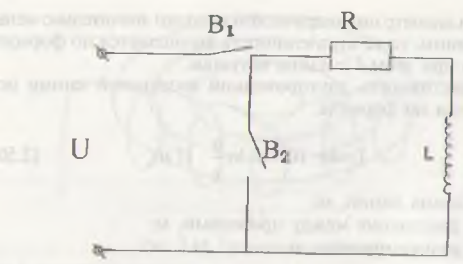


Рис. 2.16. Включение катушки на постоянное напряжение.

ствует э.д.с. самоиндукции. При прохождении тока через сопротивление R в нем выделяется тепло. Следовательно в катушке накапливается энергия. Согласно второму закону Киркгофа для рис. 2.16 можно написать уравнение:

$$U+e_L=i$$
 R или $U=i$ R-e.= i R+L $\frac{di}{dt}$. (2.52)

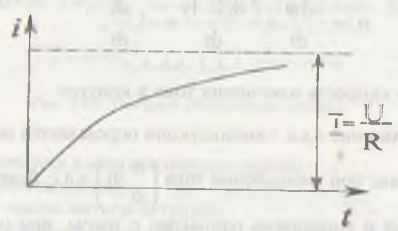


Рис. 2.17. График изменения тока при включении на постоянное напряжение.

Следовательно, часть напряжения, поданного в цепь, падает на сопротивление R (i R), другая часть уравновещивает э.д.с. самоиндукции. Умножим обе части уравнения 2.52 на i dt:

 $U\,i\,dt=i\,R\cdot dt+L\,i\cdot dt,$ (2.53) где $U\,i\,dt=$ энергия, полученная цепью от источника питания за время dt.

34

i R di — энергия, преобразованная в тепло за время di на R. I i di — i dv — приращение энергии магнитного поля. Суммируя прирашение энергии при увеличении тока от нуля до значения I_1 получим энергию, запасённую в магнитном поле цепи:

$$W_{u} = \int L \cdot i \cdot di = \frac{Li^{2}}{2} = \frac{\Psi \cdot I}{2}.$$
 (2.54)

2.17. Взаимная индукция (рис. 2.18)

Индуцирование э.д.с. в одной катушке в результате изменения тока в другой катушке называется взаимоиндукцией. Часть Ф, магнитного потока первой катушки пересекает вторую катушку и образует с витками второй катушки потокосцепление

$$\Psi_{12} = w, \ \Phi_{12}, \tag{2.55}$$

тие в. - число витков второй катушки.

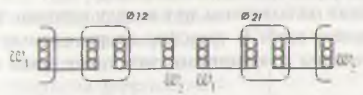


Рис. 2.18. Магнитная связь двух катушек.

Часть Φ_{31} магнитного потока второй катушки пересекаст первую катушку и образует с витками первой катушки попокосиспление:

$$\psi_{2l} = w_1 \cdot \Phi_{2l}, \qquad (2.56)$$

гле в число витков первой катушки.

Отношение потокосцепления второй катушки ψ_1 , к току первой катушки называется взаимной индуктивностью

$$M_{12} = \frac{\Psi_{12}}{L} = \frac{w_2 \cdot \Phi_{12}}{L}$$

Анплогично

$$M_{\gamma_1} = \frac{\Psi_{21}}{i_2} = \frac{w_1 \cdot \Phi_{21}}{i_2} \tag{2.57}$$

Взаимные индуктивности двух катушек равны между собой: $M_{12} = M_{21} = M (\Gamma_H).$

Взаимная индуктивность зависит от числа витков катушек, от взаимного расположения, магнитных свойств среды. При изменении тока в одной катушке изменяется потокосцепление и индущируется э.d.c. взаимной индукции в другой катушке:

$$\Theta_{\text{\tiny SM}} = -\frac{d\psi_{12}}{dt} = -M\frac{d\vec{i}_1}{dt}; \qquad (2.59)$$

$$e_{_{\rm IM}} = -\frac{\mathrm{d}\psi_{_{21}}}{\mathrm{d}t} = -\mathrm{M}\,\frac{\mathrm{d}I_{_{2}}}{\mathrm{d}t},\tag{2.60}$$

где $e_{_{
m IM}}$ и $e_{_{
m 2M}}$ — э.д.с. взаимоиндукции первой и второй катушек. Взаимная индуктивность связана с индуктивностями катушек следующим выражением:

$$M = K\sqrt{L_1 - L_2}, \qquad (2.61)$$

где К - коэффициент связи катушек.

Чем ближе расположены друг к другу катушки, тем больше их коэффициент связи. В трансформаторах с замкнутым стальным сердечником коэффициент связи почти равен единице.

2.18. Намагничивание ферромагнитных материалов

Материалы, обладающие большой магнитной проницаемостью, называются ферромагнитными. К ним относятся железо, сталь, никель, кобальт, их сплавы, а также ферриты-соединения окислов железа с окислами других металлов. Попав во внешнее магнитное поле, они резко усиливают его магнитную индукцию.

Магнитные свойства веществ зависят от магнитных свойств элементарных носителей магнетизма электронов. Электроны при вращении вокруг своей оси создают так называемые спиновые моменты. Установлено, что главную роль в намагничивании ферромагнитных материалов играют спиновые моменты. В нейтральном атоме все электронные оболочки заполнены. Однако, у атомов ферромагнитных материалов не все электронные оболочки заполнены. Например, в третьей оболочке атомов железа вместо 18 электронов имеется 14. Значит этот

атом будет обладать магнитным моментом, так как спиновые моменты 4-х электронов не компенсированы. В ферромагнитных материалах образуются такие кристаллические структуры, называемые доменами, спиновые моменты которых ориентируются параллельно.

Таким образом, эти области оказываются самопроизвольно пимастиченными.

При отсутствии внешнего магнитного поля магнитные моменты отдельных доменов имеют различные направления. Поэтому суммарный магнитный момент вещества оказывается равным нулю, т.е. материал не намагничен.

При наличии внешнего магнитного поля магнитные моменты доменов ориентируются в направлении этого поля, что ведет к намагничиванию материала. Если ферромагнитный сердечник поместить в катушку и пропускать по ней ток, это приведет к намагничиванию сердечника. Магнитное поле сердечника складывается с внешним полем катушки и усиливает его. При увеличении тока в катушке увеличивает-

си се намагничивающая сила и напряженность магнитного поля. С увеличением напряженности растет мигнитная индукция ферромагнитпого материала. Зависимость магнитпой индукции от напряженности магнитного поля при начальных II -0 и B=0 называется кривой первоначального намагничивания (рис. 2.19). Участок ОА показывает, что зависимость между напряжен-ностью и магнитной индукцией

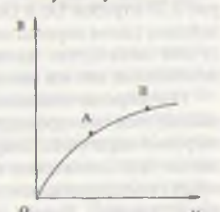


Рис. 2.19. Кривая перво-

почти пропорциональная. Участок АВ — это колено кривой нимагничивания, который характеризует замедление роста В. После точки В зависимость между напряженностью и магнитной индукцией будет вновь пропорциональной. Однако, по сравнению с участком ОА рост магнитной индукции резко вамедляется, так как сердечник насыщается. Это происходит из-за того, что практически моменты всех доменов ориситированы вдоль магнитных линий поля. Каждому ферромагнитному материалу присуша своя кривая первоначальпото намагничивания.

2.19. Циклическое перемагничивание

После достижения магнитной индукцией максимального значения начнем уменьшать напряженность магнитного поля H. Это ведет к уменьшению магнитной индукции B. Однако, прежним значениям H уже соответствуют другие значения магнитной индукции B. Таким образом, при размагничивании уменьшение индукции B идет с некоторым запаздыванием по сравнению с уменьшением напряженности H. При H=0 магнитная индукция H=0 магнитная индукция H=0 магнитная индукция H=0 магнитной индукцией (рис H=0).

Теперь начнем намагничивать сердечник в противоположном направлении, изменив направление тока в катушке. При этом изменится знак напряженности Н. Магнитная ин-

дукция продолжает уменьшаться и доходит до нуля при значении Не, называемой коэрципивной силой (на рис 2.20 отрезок Ос и Ок). При дальнейшем таком перемагничивании получим замкнутую кривую авсаека, называемую петлей гистерезиса.

При перемагничивании сердечника расходуется электроэнергия, которая нагревает сердечник. Энергия, затрачиваемая при одном цикле перемагничивания пропорционально площади петли гистерезиса. Значит, потери электроэнергии на гистерезис пропорцио-



нальны частоте тока. С целью уменьшения этих потерь сердечники трансформаторов и электрических машин выполняются из тонких листов электротехнической стали. Из-за того, что листы сердечника тонкие, их сопротивление увеличивается, что ведет к уменьшению гистерезисного тока. Поэтому потери электроэнергии на гистерезис уменьшаются.

2.20. Ферромагнитные материалы

Ферромагнитные материалы делятся на две группы: магнитомягкие и магнитотвердые (рис. 2.21).

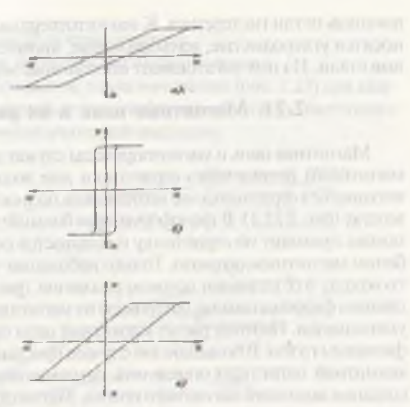


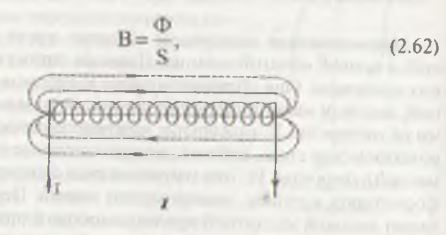
Рис. 2.21. Петли гистерезисов ферромагиитных материалов: а — электротехническая сталь; 6 — пермаллой; в — магиитотвердые материалы.

Магнитомягкие материалы обладают круго поднимаюшейся кривой намагничивания. Плошадь петли гистерезиса у них маленькая. Они обладают низким значением коэрцитивной, высокой магнитной проницаемостью и малыми потерями на гистерезис. К этой группе материалов относятся: электротехническая сталь, кобальт, железоникелевые сплавы (пермиллой), ферриты. Из них изготовляются сердечники трансформаторов, катушек, электрических машин. Пермаллой обпилает высокой магнитной проницаемостью и прямоугольной петлей гистерезиса. Он широко применяется в автоматических системах, электромашинных усилителях. Сердечники высокочастотных катушек изготовляются из магнитодиэлектриков или ферритов. Магнитодиэлектрики изготовляются из смеси мелкозернистого ферромагнитного порошка с диэлектриком: смесь формуется и прессуется. Ферритами называют митериалы, изготовляемые из смеси меди, цинка, окислов железа или никеля. Смесь прессуется и отжигается при температуре 1200°С.

Магнитотвердые материалы обладают большой коэрцитивной силой и остаточной магнитной индукцией, у них большая площадь петли гистерезиса. К магнитотвердым материалам относятся углеродистые, вольфрамовые, хромистые и кобальтовые стали. Из них изготовляют постоянные магниты.

2.21. Магнитные цепи и их расчет

Магнитная цепь и магнитопроводы служат для прохождения магнитного потока через сердечники или воздух. Например, в катушке без сердечника магнитная цепь полностью проходит по воздуху (рис. 2.22, 1). В трансформаторах большая часть магнитного потока проходит по сердечнику и называется основным или рабочим магнитным потоком. Только небольшая часть замыкается по воздуху и её называют потоком рассеяния. (рис. 2.22, 2). С насышением ферромагнитных материалов их магнитная проницаемость уменьшается. Поэтому расчет магнитной цепи производится графическим путем. В большинстве случаев при заданных величинах магнитной цепи надо определить намагничивающую силу для создания заданного магнитного потока. Магнитную цепь разбиваем на однородные участки, определяем магнитную индукцию в каждом из них.



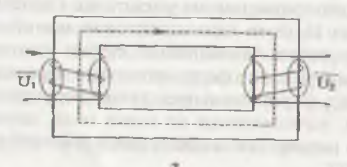


Рис. 2.22. Магнитные цепи: 1 — катушка без сердечника; 2 — трансформатор.

гле В - магнитная индукция участка;

Ф = заданное значение магнитного потока.

После этого по кривой намагничивания (рис. 2.23) для кажпого участка находим величину напряженности в соответствии с пифенным значением магнигной индукции.



Рис. 2.23. Кривые намагничевания некоторых ферромагнитных материалов.

В воздушном промежутке величина напряженности определя-

$$H_a = \frac{B_o}{\mu_o} = \frac{B_o}{4\pi \cdot 10^{-5}} = 80 \cdot 10^4 \cdot B_o \frac{A}{M},$$
 (2.63)

тис µ - магнитная проницаемость воздуха.

$$B_{o} = \frac{\Phi}{S_{o}}, \qquad (2.64)$$

 $r_{\rm H}$ S₀ — поперечное сечение воздушного промежутка. После нихождения величин напряженности на каждом участке по шкону полного тока находим намагничивающую силу:

$$F=1 w = H_0 I_0 + H_1 I_1 + H_2 I_3 + ... + H_0 I_0.$$
 (2.65)

2.22. Электромагниты

Если расположить стальной сердечник вблизи катушки с током (рис. 2.24), то он намагничивается и втягивается в катушку. Под действием электромагнитных сил сердечник

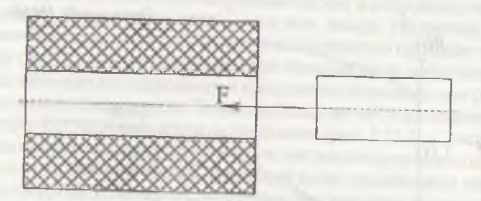


Рис. 2.24. Взаимодействие катушки с током и стального сердечника.

стремится занять положение, при котором магнитный поток через него будет максимальным. Обычно в электромагнитах сердечник установлен неподвижно и под действием электромагнитных сил притягивает к себе якорь (рис. 2.25). Сила тяги электромагнита определя-

ется по формуле: $F=4\ 10^4\ B^2\ S\ H$ (2.26) где B- магнитная индукция, T; S- сечение полюса, $M^2;$ F- сила, кг.

Электромагниты применяются в измерительных приборах, реле, автоматических устройствах.

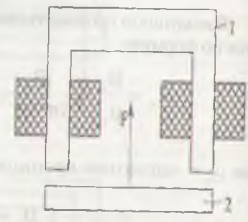


Рис. 2.25. Электромагнит: 1-сердечник; 2-якорь.

2.23. Вихревые токи (рис. 2.26)

В проводниках, сердечниках катулцек и электрических машин под действием изменяющегося магнитного поля воз-

пикают токи. Эти токи замыклются в контурах, плоскости которых перпендикулярна напривлению изменения магнитного потока и называются вихревыми токами. Вихревые токи пкже подчиняются общим пранилам и законам. Вихревые токи создают свое магнитное поле и оказывают размагничивающее лействие на магнитное поле ка-



Рис. 2.26. Вихревые токи в стальном сердечнике.

тушки, нагревают сердечники, тем самым снижают кпд электрических устройств. Эти потери называются потерями от шкуревых токов. Для уменьшения вихревых токов сердечники трансформаторов, электрических мащин выполняются из голированных друг от друга тонких листов электротехнической стали.

Вихревые токи применяются для создания вращающего момента (например, в электрических счетчиках), индукционного нагрева металлов для их плавки и закалки.

Задачи

Задача 2.1. В однородное магнитное поле с индукцией В=1,4 Тл внесен контур с площадью S=150 см², поверхность которого перпендикулярна магнитным линиям поля. Определить магнитный поток через этот контур.

Решение: Ф=В S=1,40,015=0.021 Вб.

Задача 2.2. В однородное магнитное поле индукцией B = 0.5 л введен проводник длиной I = 0.3 м и током I = 12 А перпендикулярно силовым линиям поля. Определить силу, лействующую на проводник.

Решение: F=B 1 I sinα=0.5 0.3 12 1=1.8H

Задача 2.3. Однородное магнитное поле с магнитной индукцией B=1,0 Тл действует на проводник силой F=0,5 Н. Определить величину тока проводника, если его длина $\ell=20$ см и установлен он перпендикулярно магнитным линиям поля.

Решение: F=B l-I sina

Отсюда
$$I = \frac{F}{B \cdot l \cdot \sin \alpha} = \frac{0.5}{1 \cdot 0.2 \cdot \sin 90^{\circ}} = 2.5 A.$$

Задача 2.4. Определить магнитную индукцию и напряженность магнитного поля на расстоянии $R=25\,$ см от проводника с током $I=50\,$ А.

Решение: окружающая среда—воздух, магнитная проницаемость которого равна μ_0 =1. Напряженность равна:

$$H = \frac{1}{2\pi \cdot R} = \frac{50}{2 \cdot 3,14 \cdot 0,25} = 32 \frac{A}{M}$$
, rige R=25 cm=0.25M

Магнитная индукция равна:

$$B = \mu_{\bullet} - \frac{1}{2\pi R} = 4\pi \cdot 10^{-5} \frac{1}{2\pi \cdot R} = 4 \cdot 3,14 \cdot 10^{-7} \frac{50}{2 \cdot 3,14 \cdot 0,25} = 4 \cdot 10^{-5} T_{JL}.$$

Задача 2.5. Определите напряженность магнитного поля в центре кольцеобразного проводника диаметром 25 мм и током $I=12~{\rm A}$

Решение:
$$H = \frac{1}{d} = \frac{12}{25 \cdot 10^{-3}} = 480 \text{ A/M}$$

Задача 2.6. В колытевой катушке с каркасом из гетинакса ток равен 1=1,54 А, число витков w=250, наружный диаметр Д=52 мм, внутренний d=42 мм. Определить максимальную и минимальную напряженности внутри катушки.

Решение: магнитная проницаемость гетинакса $\mu_a=1$. Напряженность на внутренней поверхности максимальна, а на наружной минимальна. Поэтому:

$$H_{\text{\tiny MARC}} = \frac{I \cdot \varpi}{2\pi \, \frac{d}{2}} \, \, \mu_{\sigma} = \frac{1.54 \cdot 250 \cdot 1}{2 \cdot 3.14 \cdot 21 \cdot 10^3} = 2918 \, \frac{A}{M} \, \, ;$$

$$H_{\text{\tiny MIRIT}} = \frac{1 \cdot w}{2\pi \frac{\mathcal{I}}{2}} \, \mu_a = \frac{1.54 \cdot 250 \cdot 1}{2 \cdot 3.14 \cdot 26 \cdot 10^{-3}} = 2362 \, \frac{A}{M} \, .$$

Задача 2.7. Расстояние между двумя проводниками длиной I=200 мм равно a=5 мм, токи проводников равны $I_1=30$ Л. $I_2=75$ Л.

Определить силу взаимодействия проводов, расположенных в воздухе.

Решение:

$$F = \mu_{\sigma} \frac{I_1 \cdot I_2}{2\pi \cdot a} \cdot l = 4\pi \cdot 10^{-7} \frac{30 \cdot 75 \cdot 200 \cdot 10^{-3}}{2,314 \cdot 5 \cdot 10^{-3}} = 18 \cdot 10^{-3} \,\text{H}.$$

Задача 2.8. В однородном магнитном поле с магнитной индукцией B=1,2 Тл со скоростью V=25 м/с движется промодник длиной l=0,3 м. Угол между магнитными линиями и плоскостью проводника $\alpha=45^\circ$. Определить э.д.с., навеленную в проводнике.

Решение:

$$I = B \cdot l \cdot V \cdot \sin \alpha = 1.2 \cdot 0.3 \cdot 25 \cdot \frac{\sqrt{2}}{2} = 6.36 B \text{ rge } \sin 45^{\circ} = \frac{\sqrt{2}}{2}.$$

Задача 2.9. В однородном магнитном поле перпендикулярно мигнитным линиям установлен четырехугольный виток проволоки. При изменении времени на величину ∆t=0,05 с магнитная индукция, изменившись на величину ∆B=0,9 Тл, навела в витке э.д.с. в 70 mB. Определить гиюшадь витка проволоки.

Решение:

$$e = \frac{\Delta \Phi}{\Delta t} = \frac{\Delta B}{\Delta t} \frac{S}{t}$$
, где $\Delta \Phi =$ производная магнитного потока.

Отсюда
$$S = \frac{e \cdot dt}{\Delta B} = \frac{0,07 \cdot 0,05}{0,9} = 0,0039 \,\text{m}^2$$
.

Задача 2.10. Магнитный поток сердечника (рис. 2.27) ринен Φ =2,2·10 ⁴ Вб, ток катушки равен I=1,2A. Сердечник инполнен из стали Э330 толщиной 2 см. Определить необходимое число витков катушки.

Решение: сердечник делится на три части, поперечные сечения которых равны:

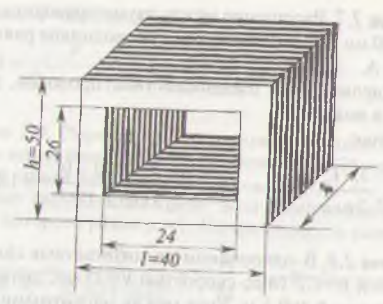


Рис. 2.27. Рисунок к задаче 2.10

$$S_{a} = \frac{40 - 24}{2} \cdot B = \frac{16}{2} 20 = 160 \,\text{m/m}^{2} = 0,00016 \,\text{m}^{2}$$

$$S_{a} = \frac{50 - 26}{2} \cdot B = 12 \cdot 20 = 0,00024 \,\text{m}^{2}$$

$$S_{o} = S_{1} = 0,00016 \,\text{m}^{2}.$$

Величина магнитной индукции каждой части равна:

$$B_{1} = \frac{\Phi}{S_{1}} = \frac{2.2 \cdot 10^{-4}}{0.00016} = 1.4 \text{ Ta};$$

$$B_{2} = \frac{\Phi}{S_{2}} = \frac{2.2 \cdot 10^{-4}}{0.00024} = 0.91 \text{ Ta}.$$

$$B_{0} = \frac{\Phi}{S_{0}} = 1.4 \text{ Ta}.$$

Из кривой намагничивания стали Э330 находим напряженности:

$$H_1 = 1800 \frac{A}{M}$$
; $H_2 = 250 \frac{A}{M}$

Напряженность воздушного промежутка равна

H =
$$80 \cdot 10^4$$
B = $80 \cdot 10^4 \cdot 1,4 = 112 \cdot 10^4 \frac{A}{M}$

Намагничивающая сила равна:

$$F = I_w = H_0 l_1 + H_1 l_1 + H_2 l_2 = 112 \cdot 10^4 \cdot 0,0005 + 1800 \cdot 0,52 + 250 \cdot 0,08 = 664 A$$

Число витков катушки равно:

$$w = \frac{F}{I} = \frac{664}{1.2} = 552$$
 витка

Задача 2.11. Потокосцепление контура равно ψ =0,01 Вб, индуктивность L=1,8мГн. Определить ток контура.

$$1 = \frac{\Psi}{L} = \frac{0.01}{1.8 \cdot 10^{-3}} = 5.5 \text{ A}.$$

Задача 2.12. Магнитная индукция в центре цилиндрической катушки равна B=1,45 Тл, длина катушки равна E=180 мм, числю витков $\omega=540$, сечение сердечника S=78,5 мм², $\mu=500$. Определить ток индуктивности и напряженность катушки в центре.

Решение:

$$1 = \mu \cdot \mu_o \frac{w^2 \cdot 5}{l} = 500 \cdot 4\pi \cdot 10^{-7} \cdot \frac{(540)^2 \cdot 78, 5 \cdot 10^{-6}}{0.18} = 0.079. \quad \Gamma_{H};$$

Tok
$$1 = \frac{\psi}{L} = \frac{B \cdot S \cdot \omega}{L} = \frac{1,45 \cdot 78,5 \cdot 10^{-6} \cdot 540}{0,079} = 0,77$$
 A.

Диаметр катушки равен:

$$S = \frac{\pi d^3}{4}$$
; $d^2 = \frac{4 \cdot S}{\pi}$; $d = \sqrt{\frac{4 \cdot S}{\pi}} = \sqrt{\frac{4 \cdot 78.5}{3.14}} = 10$ mm.

Таким образом, длина катушки намного больше ее диаметра l>>d. Поэтому напряженность в центре катушки равна:

$$H = \frac{I \cdot w}{I} = \frac{0.77 \cdot 540}{0.18} = 2309$$
 A_M.

Задача 2.13 энергия, накопленная катушкой равна W_м=5,2 Дж, индуктивность её равна L=0,3 Гн. Определить ток катушки.

Решение:

$$W_{M} = \frac{L1^{2}}{2}; I = \sqrt{\frac{2W_{M}}{L}} = 5.9 A.$$

ГЛАВА 3

ЭЛЕКТРИЧЕСКИЕ ЦЕПИ постоянного тока

3.1. Электрическое сопротивление

Известно, что электрический ток - направленное движение электрических зарядов. При этом заряды сталкиваются с узлами кристаллической решетки проводника и теряют часть своей энергии. Однако, под действием электрического поля скорость зарядов увеличивается. В результате устанавливается равномерное движение зарядов. Способность проводника препятствовать движению электрических зарядов называется электрическим сопротивлением. Сопротивление обозначается буквой R, единица измерения - Ом. Однако, на практике пользуются также другими единицами: кило-Ом (кОм)=103 Ом, мегаОм (мОм)=106 Ом. Величина, обратная сопротивлению называется электропроводностью:

$$g = \frac{1}{R} = \frac{1}{O_M} = \text{сименс (сим)}.$$
 (3.1)

Эта величина показывает способность проводника пронодить ток. Если известны геометрические размеры проводпика, материал проводника, то его сопротивление можно определить по формуле:

$$R = p O_M. (3.2)$$

где l — длина проводника, м; S — сечение проводника, мм²;

р - удельное сопротивление - это сопротивление проподника длиной 1 м, сечением 1 мм2. Из формулы 3.2 полуним размерность удельного сопротивления.

$$p = \frac{R \cdot S}{I} = \frac{OM \cdot MM}{M}$$

Под сопротивлением понимают один из параметров электрической цепи, проводников или потребителей электроэнергии, а также устройства для ограничения тока в электрической цепи, называемые резисторами. Реостаты - это переменные сопротивления, служащие для изменения тока в электрических цепях (рис. 3.1).

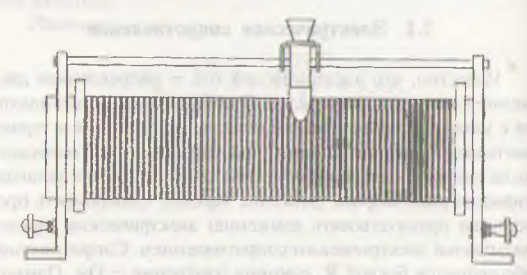


Рис. 3.1. Реостат.

Потенциометры - это переменные сопротивления, служащие для изменения тока в раднотехнических цепях.

3.2. Зависимость сопротивления от температуры

Повышение температуры металлического проводника вызывает увеличения скорости теплового движения частип. Это ведет к увеличению числа столкновений свободных электронов с узлами кристаллической решетки. При этом увеличивается сопротивление проводника.

При нагревании угля и электролитов наряду с уменьшением скорости свободных электронов увеличивается концентрация зарядов. В результате сопротивление проводника уменьшается,

Относительное прирашение сопротивления большинства металлических проводников в узких границах изменения температуры 0:100°C пропорционально приращению температуры.

$$\frac{\Delta R}{R_i} = \frac{R_2 - R_1}{R_1} = \alpha(t_1 - t_1)$$

откуда $R_{1}=R_{1}+R_{1}-\alpha$ (t,-t₁) или

$$R_2 = R_1 \left[\left(1 + \alpha \left(t_2 - t_1 \right) \right) \right] \tag{3.3}$$

где R_1 и R_2 — это сопротивления при температурах t_1 и t_2 ; α — температурный коэффициент сопротивления, он численно равен относительному приращению сопротивления при нагревании проводника на 1°С.

В таблица 3.1. даны температурные коэффициенты некоторых металлов и сплавов.

				T	аблица 3.
Материал	Плотность г/см³	Темпера- тура тура плавлиния °С	Предел прочности на разрыв кг/мм ²	Удельное сопротив- ление Ом мм²/м	Среднее значение гемпературного коэффици ента от 0 до 100°C
Алюминий	2,7	657	14+22	0,029	0,004
Бронза	8,8+8,9	900	50-60	0.021-0,4	0,004
Вольфрам	18,7	3370	415	0,056	0.00464
Константан	8,8	1200	40	0,4-0,51	0,00005
Латунъ	8,1	900	40	0,07-0,08	The Trail
Манганин	8,1	960	55	0.42	0.00006
Медь	8,8	1083	25-40	0,0175	0.004
Нихром	8,2	1360	70	1,1	0,00015
Сталь	7,8	1400	80-150	0,13-0,25	0,006
Фехраль	7,6	1450	11 -	1.4	0,00028
Хромель	7,1	1500	80	1,3	0.00004

3.3. Проводниковые материалы

В электротехнике применяются твердые, жидкие и газообразные проводники. Твердые проводники - это металлы и графит, жидкие проводники — это электролиты и расправленные металлы. В ионных приборах в качестве проводника используют газ. Металинческие проводники можно разделить на две группы. К первой группе относятся материалы с низким удельным сопротивлением, ко второй—материалы с сравнительно высоким удельным сопротивлением. К первой группе относятся такие химически чистые, металлы как медь и алюминий.

Медь как проводниковый материал наиболее широко применяется вследствие небольшого удельного сопротивления, хорошей обрабатываемости и достаточной механической прочности и стойкости к коррозии. В электротехнике применяют твердую медь марки МТ и мягкую ММ. Твердая медь применяется для контактных проводов, коллекторных пластин и т.д. Мягкая медь применяется для обмоточных проводов, из которых изготовляют обмотки электрических машин, электромагнитных аппаратов и приборов.

Кроме чистой меди применяются ее сплавы — бронза, латунь. Например, кадмиевая бронза применяется для коллекторных пластин и контактных проводов. Бериллиевая бронза применяется для токоведущих пружин, скользящих контактов, шеткодержателей. Латунь широко применяется для изготовления деталей электрических аппаратов и приборов.

Алюминий несмотря на то, что обладает худшими электрическими свойствами по сравнению с медью, также широко применяется в электротехнике. Основная причина этого — значительно меньший вес. Поэтому на воздушных судах широко применяется алюминий. Для линий электропередачи применяются алюминиевые сплавы (например алдрей). Применяются также сталеалюминевые провода, у которых внутренние проволоки стальные, а наружные — алюминиевые.

Сталь обладает значительным удельным сопротивлением и малой стойкостью к коррозии. По этой причине она используется для проводов воздушных линий передачи малой мощности (например, в городской радиосети).

Ко второй группе проводниковых материалов относятся материалы с высоким удельным сопротивлением — нихром, фехраль, манганин, константан. Нихром и фехраль применяются для изготовления обмоток нагревательных проборов и реостатов. Манганин и константан из-за их малого температурного коэффициента сопротивления применяются для изготов-

ления шунтов, добавочных сопротивлений и образцовых катушек. Электротехнический уголь используют для изготовления щеток электрических машин, угольных электродов электролитических вани и сварки, непроволочных сопротивлений, деталей электровакуумных приборов.

3.4. Электрическая цепь и её элементы

Совокупность электрических устройств на пути прохождения электрического тока называется электрической цепью. Всякая электрическая цепь состоит из источника тока, приемников электроэнергии, коммутационной аппаратуры и проводов. Источник тока совершает работу, приводя в движение электрические заряды по замкнутому контуру. Работа, совершаемая источником тока по перемещению отдельного положительного заряда в замкнутом контуре, называется электродвижущей силой (эд.с.). Размерность эд.с. – Вольт (В).

$$IB = \frac{I}{I} \frac{\mathcal{J} \mathcal{K}_{3}}{K_{3}}$$

Виды источников э.д.с.:

- 1. Гальванические элементы.
- 2. Аккумуляторы.
- 3. Электрические генераторы.
- 4. Полупроводниковые кремнисвые фотоэлементы (солнечные ба-

Присмниками электроэнергии являются электродвигатели, преобразующие электроэнергию в механическую, осветительные лампы, нагревательные приборы и.т.д. К коммутационной аппаратуре относятся выключатели, кнопки, реле, автоматические выключатели и предохранители. Кроме вышеуказанных устройств в электрическую цепь могут войти измерительные приборы: вмперметры, вольтметры, счетчики и.т.д. На рис 3.2. приведена про-

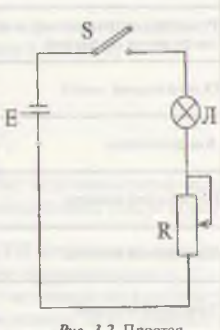


Рис. 3.2. Простая электрическая цепь.

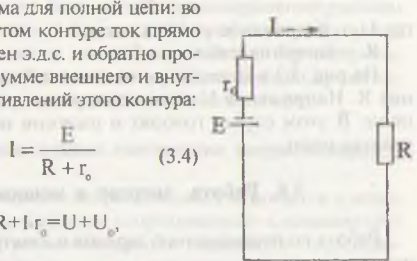
стейшая схема соединения осветительной лампы. Это схема состоит из источника тока E, выключателя S, реостата R и осветительной лампы Л.

Таблица 3.2 Условные обозначения некоторых элементов электрической цепи

Элеменг	Условное обозначение
Однополюсный выключатель	
Двухполюсный выключатель	==
Плавкий предохранитель	
Гальванический элемент, аккумулятор	+ +-
Резистор постоянного сопротивления	
Резистор переменного сопрозивления	12-
Резистор, сопротивление которого зависит от напряжения (вариатор)	-#-
Осветительная лампа	0
Конденсаторы	
Постоянной емкости	
Переменной емкости	-#-
Электролитический	

2.5. Закон Ома (рис. 3.3)

1. Закон Ома для полной цепи: во всяком замкнутом контуре ток прямо пропорционален э.д.с. и обратно пропорционален сумме внешнего и внутреннего сопротивлений этого контура:



E=IR+Ir=U+U,

где r_{0} — внутреннее сопротивление

Рис. З.З. Замкнутая электрическая цень.

источника тока; R — внешнее сопротивление цепи;

U_=I r_ - падения напряжения на внутреннем сопротивлении источника тока;

U=I R — напряжение между зажимами источника тока.

При обрыве электрической цепи (рис 3.3.) ток будет равен I=0. Поэтому э.д.с. источника будет равна напряжению между его зажимами:

E=U

Если сопротивление R замкнуть коротким проводом, то его сопротивление будет почти равно 0. Поэтому

U=1-R=0.

В этом случае

Так как внутреннее сопротивление источника очень мало, то в цепи появится большой ток, называемый током короткого замыкания.

Для повышения мощности и КПД источников тока необходимо уменьшать их внутреннее сопротивление го.

2. Закон Ома для участка цепи: величина тока на участке прямо пропорциональна напряжению этого участка и обратно пропорциональна его сопротивлению:

$$I = \frac{U}{R} \tag{3.7}$$

где U - напряжение участка цепи;

R - сопротивление.

На рис. 3.3 в качестве участка цепи будет сопротивление R. Напряжение U полностью расходуется на участке цепи. В этом случае говорят о падении напряжения на участке цепи.

3.6. Работа, энергия и мощность

Работа по перемещению зарядов в электрической цепи

Подставив в эту формулу значение Е из формулы 3.4,

$$A=I\cdot t(U+U_{\circ})=U\cdot I\cdot t+U_{\circ}\cdot I\cdot t=W+W_{\circ},$$
 (3.9) где $W_{\circ}=I\cdot U_{\circ}\cdot t$ — энергия, теряемая в источнике на его нагрев; $W_{\circ}=I\cdot U\cdot t$ — энергия, расходуемая ва внешней цепи.

Скорость выполнения работы называется мощностью:

$$P = \frac{A}{t} = E \cdot I(Bm) - \text{мошность источника}; \qquad (3.10)$$

 $P = \frac{W}{I} = U \cdot I(Bm) - MOILHOCTS потребителя электроэнергии; (3.11)$

$$P = \frac{W_*}{t} = U_{\circ} \cdot I(Bm) - \text{мощности потерь.}$$
 (3.12)

3.7. Закон Джоуля - Ленца

Электрические заряды при своем движении в проводнике сталкиваются с ионами или молекулами вещества и передают им часть своей кинетической энергии, вследствие чего происходит нагревание проводника. Количество электрической энергии, преобразованной в тепло за время t:

W=[² R t Дж

DUDGE.

Q=0,24 I2 R t кал. (3.13)

Эта зависимость была получена одновременно русским академиком Ленцем Э.Х. и английским физиком Джоулем. Поэтому и называется закон Джоуля-Ленца. Преобразование электрической энергии в тепловую широко применяется в нагревательных и осветительных приборах.

3.8. Последовательное соединение сопротивлений

Если конец одного сопротивления соединяется с началом второго, конец вгорого сопротивления-с началом третьего и т.д., то такое соединение называется последова-

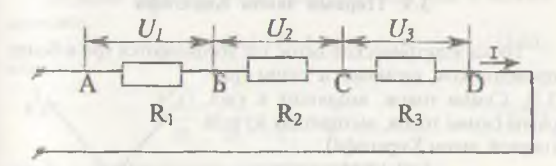


Рис. 3.4. Последовательное соединение резисторов.

тельным (рис. 3.4). При этом через все сопротивления протекает одинаковой ток. Согласно закону Ома падения напряжения на сопротивлениях равны:

$$U = I R_1$$
; $U = I R_2$; $U = I R_3$.

Откуда: U,: U,: U = R,: R,: R,.

Таким образом, падения напряжения на последовательно соединенных сопротивлениях пропорциональны величинам со-

Напряжения на сопротивлениях можно выразить через разности потенциалов на их зажимах (рис. 34):

$$U_{1} = \varphi_{1} - \varphi_{2}; U_{2} = \varphi_{2} - \varphi_{2}; U_{3} = \varphi_{3} - \varphi_{3}.$$

 $U_{j}=\phi_{A}^{-}\phi_{B}^{-},U_{j}=\phi_{B}^{-}\phi_{C}^{-},U_{j}=\phi_{C}^{-}\phi_{D}^{-}$. Складывая почленно левые и правые части уравнений, получим:

$$U_1 + U_2 + U_3 = \phi_A - \phi_B + \phi_B - \phi_C + \phi_C - \phi_D = \phi_A - \phi_D = U.$$
 (3.15)

Т.е. сумма падений напряжения на последовательно соединенных сопротивлениях равно напряжению на зажимах цепи.

Разделив правую и левую части уравнения 3.15 на ток, получим:

$$\frac{U_t + U_z + U_3}{1} = \frac{U}{1}$$
 (3.16)

$$R_1 + R_2 + R_3 = R_4$$
 (3.17)

где R — общее (эквивалентное) сопротивление цепи.

Таким образом, при последовательном соединении сопротивлений их общее сопротивление равно сумме этих со-

3.9. Первый закон Кирхгофа

Точка электрической цепи, где соединяются три и более проводников, называется узлом (рис.

3.5). Сумма токов, входящих в узел, равна сумме токов, выходящих из узла (первой закон Кирхгофа).

[= [,+],+[₄.

Если все токи перенести в одну сторону, получим:

1,-1,-1,-1,=0. В общем виде

 $\Sigma 1=0$.

Puc. 3.5. Первый т.е. алгебраическая сумма токов в узле. равно нулю. При составлении уравнения

токи, втекающие в узел, записываются со знаком плюс, а вытекающие — со знаком минус.



Закон Кирхгофа.

3.10. Параллельное соединение сопротивлений

При параллельном соединении два и более сопротивлений присоединяются к одним и тем же двум узлам (рис. 3.6).

Так как сопротивления присоединены к одним и тем же узлам, то они находятся под одинаковым напряжением:

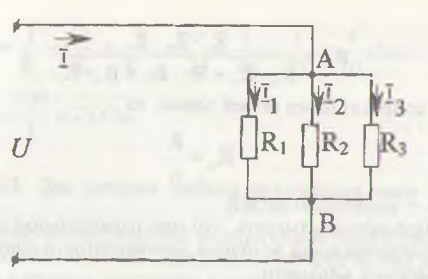


Рис. 3.6. Параллельное соединение резисторов.

Согласно первому закону Кирхгофа для узла А можно написать:

$$I = I_1 + I_2 + I_3$$
 (3.20)

или

$$\frac{U}{R_1} = \frac{U}{R_1} + \frac{U}{R_2} + \frac{U}{R_3}.$$
 (3.21)

где R, - эквивалентное сопротивление. Сократив уравнение на U, получим:

$$\frac{1}{R_{1}} = \frac{1}{R_{1}} + \frac{1}{R_{2}} + \frac{1}{R_{1}}$$
 (3.22)

$$g_{3} = g_{1} + g_{2} + g_{3} \tag{3.23}$$

где g, - эквивалентная проводимость.

Таким образом, при параллельном соединении сопрогивлений их эквивалентная (общая) проводимость равна сумме проводимостей всех параллельных ветвей.

Формула 3.22. даёт возможность определить эквивалентнос сопротивление (в данном случае при трёх ветвях):

$$\frac{1}{R_{1}} = \frac{1}{R_{1}} + \frac{1}{R_{2}} + \frac{1}{R_{3}} = \frac{R_{3} \cdot R_{3} + R_{1} \cdot R_{3} + R_{1} \cdot R_{2}}{R_{1} \cdot R_{2} \cdot R_{3}}.$$

Оно равно:

$$R_{1} = \frac{R_{1} \cdot R_{2} \cdot R_{3}}{R_{2} \cdot R_{3} + R_{1} \cdot R_{3} + R_{1} \cdot R_{3}}$$

Если сопротивления ветвей равны, то

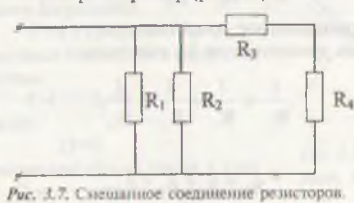
$$R_{,} \approx \frac{R}{n}$$

где n - количество ветвей.

Необходимо отметить, что при параллельном соединении сопротивлении величина эквивалентного сопротивления меньше меньшего.

3.11. Смешанное соединение сопротивлений

При смешанном соединении сопротивления участков непи могут соединяться параллельно и последовательно. Поэтому для расчета эквивалентного сопротивления всей цепи применяются правила и параллельного и последовательного соединений. Рассмотрим пример (рис 3.7).



Пример. На рис. 3.7 R = 25 Ом, R = 50 Ом, R = 40 Ом,

 R_4 =60 Ом. Определить эквивалентное сопротивление всей цепи. Решение: Резисторы R_4 и R_4 соединены между собой последовательно. Поэтому их общее сопротивление равно:

Резисторы R_1 , R_2 и $R_{3,4}$ соединены между собой параллельно. Поэтому, эквивалентное сопротивление цепи определяется следующим образом:

$$\frac{1}{R_s} = \frac{1}{R_1} + \frac{1}{R_2} + \frac{1}{R_{34}} = \frac{1}{25} + \frac{1}{50} + \frac{1}{100} = \frac{4}{10} \,\text{Om}$$
 $R_s = \frac{100}{4} = 25 \,\text{Om}.$

3.12. Два режима работы источников тока

На практике встречаются электрические цепи с двумя и более источниками тока. При этом некоторые из них могут работать в режиме генератора, а другие—в режиме потребителя (например при зарядке аккумуляторов). Такая цепь показана на рис. 3.8. Пусть их эд.с. направлены встречно и $E_i > E_j$. Поэтому источник E_j будет работать в режиме генератора, а $E_j = B$ режиме потребителя. Ток в цепи—по часовой стрелке. Определим напряжения между зажимами источников. Согласно закону Ома для полной цепи ток цепи равен:

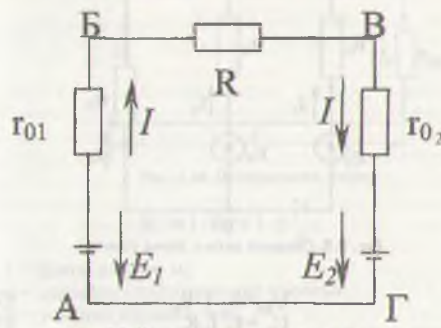


Рис. 3.8. Цеть с двумя источниками тока.

$$1 = \frac{E_1 - E_2}{r_{01} + R + r_{02}}$$

гле ${\bf r}_{\rm ol}$ и ${\bf r}_{\rm ol}$ — внутренние сопротивления источников.

Участок БА цепи состоит из источника Е, и внутреннего сопротивления гол. Потенциал точки Б равен:

 $\phi_{B} \! = \! \mu_{a}^{II} \! + \! E_{1} \! - \! I \! - \! \Gamma_{01} \text{ или } \phi_{B} \! - \! \phi_{A} \! = \! \phi_{BA} \! = \! E_{1} \! - \! I \! - \! \Gamma_{01}.$

Следовательно, при работе источника тока в режиме генератора напряжение между его зажимами равно разности э.д.с. источника и падения напряжения внутри него. Потенциал точки Г равен:

 $\varphi_r = \varphi_B - I r_{02} - E_2 \text{ или } \varphi_B - \varphi_r = \varphi_{Br} = E_2 + I \cdot r_{02}.$ (3.26)

Следовательно, при работе источника в режиме потребителя напряжение между его зажимами равно сумме э.д.с. источника и падения напряжения на нем.

3.13. Второй закон Кирхгофа

На рис. 3.9. э.д.с. источников Е, и Е, направлены одинаково. Определим величину напряжения между точками А и Б.

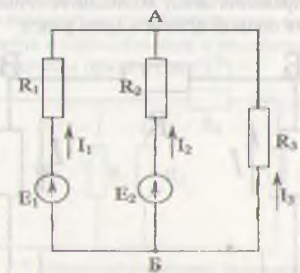


Рис. 3.9. Сложная цепь с двумя узлами.

$$\begin{array}{ccc} U_{\text{BA}} = E_1 - I_1 \cdot R_1; & (3.27) \\ U_{\text{BA}} = E_2 - I_1 \cdot R_2 & (3.28) \end{array}$$

Приравняв правые части, получим: $E_{1}-I_{1}R=E_{1}-I_{2}R_{1}$

(3.29)NIIN

 $E_1-E_2=I_1\cdot R_1-I_2\cdot R_2$ (3.30)В обще виде

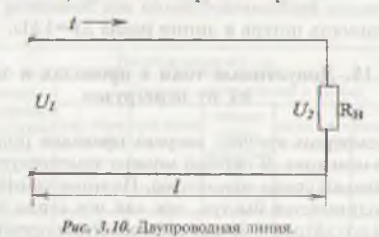
 $\Sigma E = \Sigma I R$ (3.31)

Последнее уравнение известно как выражение второго закона Кирхгофа: во всяком замкнутом контуре алгебранческая сумма э.д.с. источников равна сумме падений напряжения на всех участках этого контура.

Если направления э.д.с. и тока совпадают с направлением обхода контура, то знаки э.д.с. и тока будут «+», если не совпадают, то знак «-».

3.14. Падение напряжения в линиях передачи электрической энергии

При передаче электрической энергии в проводах происходит падение напряжения. При коротких проводах это паление напряжения можно не учитывать. При длинных линиях падение напряжения становится достаточно большим и его надо учитывать (рис. 3.10). Падение напряжения равно:



$$\Delta U = I \cdot R_{\parallel} = I \rho \frac{2I}{S}, \qquad (3.32)$$

где I = длина линии, м;

ρ - удельное сопротивление провода;

S - сечение провода, мм².

Разница напряжений начала и конца линии равна падению напряжения в линии:

$$U_1 - U_2 = \Delta U = I \cdot R \pi. \tag{3.33}$$

При неизменном напряжении в начале линии напряжение в конце линии зависит от тока нагрузки: чем больше ток I, тем больше падение напряжения AU и тем меньше иппряжение в конце линии

$$U_2 = U_1 - \Delta U$$
.

Изменение напряжения на потребителях должно быть в допустимых пределах: для маломошных потребителей падение напряжений допускается в пределах —2,5+5%, а для мощных потребителей ±5%.

При известном значении допустимого падения напряжения исходя из формулы 3.32 можно определить сечение провода:

C

$$S = I \cdot \rho \frac{2l}{\Delta U}. \tag{3.35}$$

Коэффициент полезного действия линии равен:

$$\eta = \frac{U_2}{U_1} = \frac{U_1 - \Delta U}{U_1} = 1 - \frac{\Delta U}{U_1},$$
(3.36)

Мощность потерь в линии равна $\Delta P = 1 \Delta U$.

3.15. Допустимые токи в проводах и защита их от перегрузок

Рассмотрим процесс нагрева проводов при прохождении по ним гока. В первый момент температура провода и окружающей среды одинаковы. Поэтому температура провода поднимается быстро, так как все тепло практически идет на его нагрев. С ростом температуры провода увеличивается разность температуры провода и окружающей среды, что ведет к увеличению тепла, отдаваемого проводом, и рост его температуры замедляется. При некоторой температуре устанавливается тепловое равновесие: количество тепла, выделяющегося в проводе равно количеству тепла, отдаваемого в окружающую среду. Температура провода достигает установившегося значения. Достижение установившегося значения температуры у различных устройств длится неодинаково. Например, для ламп накаливания это время равно долям секунды, а для мошных электрических машин - до нескольких часов. Нагрев проводов допускается до температуры 60-80°С. Ток, при котором нагревание достигает предельно допустимых значений температуры называется допустимым (номинальным) током.

Коротким замыканием называется непосредственное соединение двух проводов (клемм) с разными потенциалами или через ничтожно малое сопротивление. Токи короткого замыкания могут достигать очень больших значений и превышать нормальный ток в 18—20 раз.

Для защиты электрических цепей и устройств от токов перегрузки и коротких замыканий применяются плавкие предохранители и автоматические выключатели. При перегрузка плавкая вставка предохранителя расплавляется и разрывает цепь, отключая защищаемый участок. Следовательно, предохранители непьзя повторно использовать. Автоматические выключатели после их охлаждения можно повторно использовать.

Таблица 3.3

Длительно допустимые токовые нагрузки для медных проводов с резиновой или полихлорвиниловой изоляцией

	Токовые нагрузки, А							
Сечение провода, мм²	11 poboza,	Провода, проведенные в трубах						
			три одно жильных	четыре одно- жильных	один двух жильный	один трез жильный		
0,5	11	1-1	+	191	G-C	1.00		
0,75	15	1 - 11	-	+	- 4	+		
1,0	17	16	15	14	15	14		
1,5	23	19	17	16	18	15		
2,5	30	27	25	25	25	21		
4,0	41	38	35	30	32	27		
6.0	50	46	62	40	40	34		
10	80	70	80	50	- 55	50		
16	100	85	80	75	80	70		
25	140	115	100	90	100	85		
35	170	135	125	115	125	100		
50	215	185	170	150	160	135		
70	270	225	210	185	195	175		
95	330	275	255	225	245	215		
120	385	315	290	260	295	250		
150	440	360	330	-	-			

Если напряжение, ток и мощность электрической цепи соответствуют расчетным, то такой режим называется номинальным. Параметры номинального режима даются в инструкции к устройству.

Таблица 3.4

Длительно допустимые токовые нагрузки для алюминиевых проводов с резиновой или полихлорвиниловой изоляцией

		Токовые нагрузки, А провода Провода, проложенные в трубе			
Сечение провода, мм ²	Провода,				
	проведенные в открытом воздухе	два одно- жильных	три одно- жильных	четыре одно жильных	
2,5	24	20	19	19	
4,0	32	28	28	23	
6,0	39	36	32	30	
10,0	55	50	47	39	
16,0	80	60	60	55	
25	105	85	80	70	
35	130	100	95	85	
50	165	140	130	120	
70	210	175	165	140	
95	255	215	200	175	
120	295	245	220	200	
150	340	275	255		

3.16. Расчет сложных электрических цепей

Выше нами были рассмотрены простейшие электрические цепи, состоящие из одного источника тока и нескольких сопротивлений (потребителей электроэнергии). Однако, на практике часто встречаются сложные электрические цепи, состоящие из нескольких источников тока. Для расчетов таких цепей применяются различные метолы.

1. Метод суперпозиции (метод наложения). Сушность этого метода заключается в том, что ток в какой-либо ветви с постоянными сопротивлениями является алгебраической суммой токов, создаваемых в этой ветви всеми поочередно действующими источниками тока.

Для примера рассмотрим электрическую цепь, привенауму им рис 3.8. При действии только первого источника пр. в цепи ранен:

$$I_{1} = \frac{E_{1}}{r_{01} + R + r_{02}},$$
 (3.37)

Направление этого тока совпадает с направлению э.д.с. Е, При аспетвии только второго источника ток в цепи равен:

$$I_{2} = \frac{E_{2}}{r_{01} + R + r_{02}}.$$
 (3.38)

Наприндение этого тока совпадает с направлением э.д.с. Г. Тали Г. и Е, направлены одинаково, то общий ток цепи бълга рамен

$$1 = I_1 + I_2 = \frac{E_1 + E_2}{r_{01} + R + r_{02}}.$$
 (3.39)

Гели E_1 и E_2 направлены встречно, то общий ток цепи бу истранен

$$1 = I_1 - I_2 = \frac{E_1 - E_2}{r_{00} + R + r_{02}}.$$
 (3.40)

Гели $E_1 \neq E_2$ и они направлены встречно, то направление общего тока совпадает с направлением большей э.д.с.

2. Метод узловых и контурных уравнений. При этом метове применяются первый и второй законы Кирхгофа. Для расчета должны быть заданы схема, величины всех сопротивлений, э.д.с. и их направления. В результате расчета должны быть найдены токи всех ветвей и их направления.

При составлении уравнений необходимо выполнить гледующие условия:

 п) число уравнений должно быть равно числу неизвестных токов (числу ветвей);

б) число уравнений, составленных для узлов, должно быть на одно меньше, чем число узлов;

 п) остальные уравнения составляются по второму закону Кирхгофа. Для этого надо выбирать простые контуры с меньшим числом сопротивлений и источников тока. Кроме

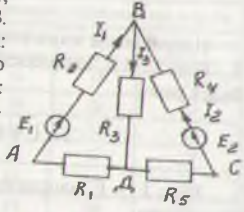
того, каждый новый контур должен содержать не менее одной ветви, не входившей в ранее составленные уравнения, что обеспечивает получение независимых уравнений;

г) направления токов беругся произвольно — эти направления будут положительными. Если после составления уравнений и их решения будет получено отрицательное значение для какого-либо из токов, то этот ток в действительности будет проходить в направлении, противоположном выбранному.

Пример. Пользуясь методом узловых и контурных уравнений, определить токи I_1 I_2 I_3 в схеме рис 3.10.1. Дано: R = 4 Ома, R,=6 Ом,

R₃=R₄=R₇=10 Om E =50 B E =10 B. Решение. Схема имеет два узла: В и Д. Поэтому составляем одно узловое уравнение для узла В: $I_1 + I_2 = I_3$. Так как число неизвестных токов равно трем, то составляем еще два контурных уравне- А ния: для контура АВД

 $E_1 = I_1 \cdot R_2 + I_3 \cdot R_3 + I_1 \cdot R_1$ Для контура ВСД уравнение имеет Рис. 3.10.1. для темы 3.15.2



Так как
$$I_3 = I_1 + I_2$$
, то:

$$E_{1} = I_{1} \cdot R_{2} + (1+I_{2})R_{3} + I_{1} \cdot R_{1} = I_{1}(R_{1} + R_{2} + R_{3}) + I_{2} \cdot R_{3};$$

$$E_{1} = I_{2}(R_{4} + R_{5} + R_{3}) + I_{2} \cdot R_{3};$$

$$I_1 = \frac{E_2 - I_2(R_3 + R_4 + R_5)}{R_3} = 1 - 3 \cdot I_3.$$
TABLE 3 HARVELUM I. 3.5

Подставив значение $\mathbf{I}_{_{\parallel}}$ во второе контурное уравнение, получим

$$\begin{split} E_1 = & (1-3 \ l_2) \ (R_1 + R_2 + R_3) + l_1 \ R_3, \ \text{откуда} \ l_2 = -\frac{30}{50} = -0.6 \ \text{A} \ . \\ l_2 = & l_1 + l_2 = -0.6 + 2.8 = 2.2 \ \text{A}. \end{split}$$

1 Метод узловых напряжений. Этот метод применяется в с ввана с двумя узлами (рис. 3.9). За положительное направтышь токов примем от узла Б к узлу А. Напряжение между у нимп Б и А называется узловым напряжением.

$$U = \varphi_A - \varphi_B, \tag{3.41}$$

он ф, и ф потенциалы узлов.

Согласно закону Ома ток первой ветви равен

$$I_{i} = \frac{E_{i} - U_{i}}{R_{i}} = (E_{i} - U_{i})g_{i}, \qquad (3.42)$$

и и g, - сопротивление и проводимость первой ветви. При лом, внутренние сопротивления источников тока не припиты по пинмание. Аналогично токи остальных ветвей равны:

$$I = (E_1 - U)g_2;$$
 (3.43)
 $I = (0 - U)g = -Ug_3.$ (3.44)

По первому закону Кирхгофа для узла А имеем:

$$I_1 + I_2 + I_3 = 0.$$
 (3.45)

Полетавив в это уравнение значения токов ветвей, получим $(E_1-U)\cdot g_1+(E_2-U)\cdot g_2+(-U\cdot g_3)=0.$ (3.46)Раскрыв скобки, найдем величину узлового напряжения:

$$U = \frac{E_1 - g_1 + E_2 - g_2}{g_1 + g_2 + g_3}$$
 (3.47)

П общем виде:
$$U = \frac{\Sigma E - g}{\Sigma g}$$
 (3.48)

3.17. Химические источники тока

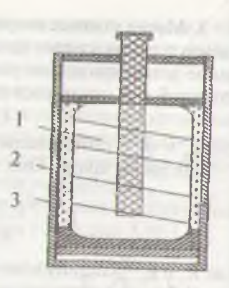
1. Гальяанические (первичные) элементы.

И химических источниках тока химическая энергия прев вангистся в электрическую.

1 Солевые марганцево-цинковые элементы (рис. 3.11). Эти тименты изготовляются двух конструкций: стаканчиковой и галитной, В элементах стаканчиковой конструкции отрицаи павый (пинковый) электрод является одновременно и сотучом элемента, имеющим прямоугольную или цилинд-

рическую форму. Внутри цинкового стакана расположен соответствующей формы положительный электрод в виде стержня с угольным токоотводом. Активным веществом положительного электрода является двуокись марганца с добавками графита и ацетиленовой сажи. Электролитом служит раствор хлористого аммония с различными добавками.

2. Галетные марганцево-цинковые элементы (рис. 3.12). По- Рис. 3.11. Стаканчиковый марложительным электродом явля- ганцево-цинковый элемент: ется прессованная галета из двуокиси марганца, отрицательный электрод-цинковая пластина.



1-положительный электрод; 2-отрицательный электрод; 3-электролит.

Электроды отделены друг от друга пористой перегородкой, выполненной из бумаги или картона и пропитанной электролитом. Элемент стягивается хлорвиниловым кольцом. Галетные элементы можно соединять последовательно, установив их друг на друга. Э.д.с. марганцево-цинковых элементов примерно равна 1, 6 В.

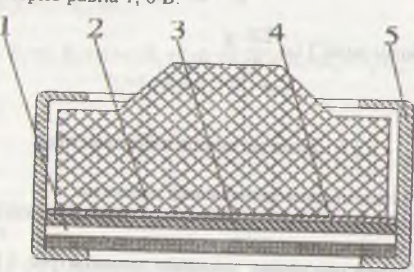


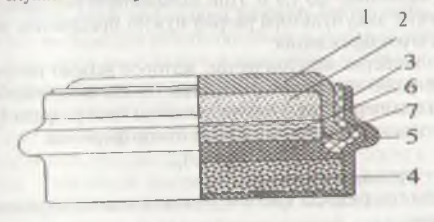
Рис. 3.12. Галетный марганцево-цинковый элемент: 1-отрицательный электрод; 2-положительный электрод; 3-пористая перегородка; 4-бумажная обёртка; 5-хлорвиниловое кольцо.

 Марганцево-щинковые элементы с щелочным электролитом. (рик 113). Положительным электродом служит смесь двуокиси ынричници с графитом, запрессованная в цилиндрическую ттяльную форму небольшой высоты. Отрицательным элекприним является амальгированный порошкообразный цинк. Маклу электродами имеется сепарация, состоящая из нетепликих слоев высокопористого картона, пропитанного ным раствором едкого кали, насыщенного цинком. Эти тименты выпускаются 4-х типов МЦ-1К, МЦ-2К, МЦ-18. Mtl 4К. Их э.д.с. примерно равна 1,5 В.



Рис. 3.13. Общий вид шелочного марганцево-цинкового элемента.

1 1 тупно-цинковые элементы (рис. 3.14). Положительным элекпролом служит смесь красной окиси ртути и графита, запрессо-



Рыс. 3.14. Ртутно-цинковый элемент: 1-крышка; 2-отрицательный ыяктрол, 3-корпус; 4-положительный электрод; 5-резиновое кольцо; 6-бумажный сепаратор; 7-бумажная диафрагма.

муляторов активная масса положительных пластин состоит из гидрата окиси никеля Ni(OH). Напряжение аккумулятора примерно равно 1,25 В. Внутреннее сопротивление шелочных аккумуляторов больше чем у свинцовых и поэтому их КПД составляет 0.5-0.6. Они не очень чувствительны к коротким замыканиям, работоспособны при низких температурах и имеют большой срок службы (до 20 лет).

3. Серебряно-цинковые аккумуляторы. Электролитом служит водный раствор едкого кали плотностью 1.4. Положительным электродом служит

окись серебра А О, отрицательным - цинк Zn. Электроды изготовлены в виде пористых пластин.

Серебряно-цинковые аккумуляторы обладают рядом положительных свойств:

1. Большой удельной емкостью и мощностью. Например, удельная мошность свинцовых аккумуляторов равна 2,5 Вт/кг, а у серебряно-шинковых-(10-15) Вт/кг.

2. В процессе работы напряжение не изменяется. 3. Можно получить кратковременно большой ток. Например, аккумулятор весом 4,5 кг допускает разрядным ток до 1500 А.

4. У них высокий КПД η =0,85 и ничтожный саморазряд. Недостатками этих аккумуляторов являются высокая стоимость, малый срок службы и плохая работоспособность при низких температурах.

Задачи

Задача 3.1. Диметр медного провода d=0,3 мм, сопротивление R=82 Ома. Определить длину проволоки. Решение: Сечение провода равно:

$$S = \frac{\pi d^2}{4} = \frac{3,14(0,3)^2}{4} = 0,0706 \text{ MeV}^2$$

Длину провода найдем из формулы

Рис. 3.16. Шелочной аккумулятор

$$\alpha = \frac{R_1 - R_1}{(T_1 - T_1)R_1} = \frac{500.8 - 500}{(280 - 20) \cdot 500} = \frac{0.8}{260 \cdot 500} = 0,000006.$$

Задача 3.2. Сопротивление провода из манганина при тем-

Решение: Из формулы 3.3. найдем выражение темпера-

перитуре Т,=20°С равно R,=500 Ом, при Т,=280°С R,=500,8

Ом Определить температурный коэффициент манганина.

Задача З.З. Ток короткого замыкания источника 1, =48 А. Если к нему подключить резистор R=19,5 Ом, то ток уменьнается до 1,2 А. Определить э.д.с. и внугреннее сопротивление источника

Решение: Э.д.с. короткозамкнутого источника равна

 $E=\Gamma_0=48$ г_о. При подключении резистора R=19.5 Ом $E=\Gamma_0+1$ R=1,2 г_о+1,2 19.5.

по р =0,0175 - удельное сопротивление меди.

турного коэффициента:

Правые части обеих формул равны друг другу:

48
$$r_0$$
=1,2 r_0 +1,2 19,5;
46,8 r_0 =23,4;
 r_0 =0,5 OM.

) д.с. источника равна E=48 r.=48 0,5=24 B.

Тадача 3.4. Внутреннее сопротивление источника э.д.с. равно г =0,1 Ом. Через потребитель, присоединенный к нему, пок равен 1=0,75А, и за один час выделяется 729 кал.тепла. Определить э.д.с. источника.

Решение: Пользуясь формулой 3.13, найдем сопротивле-

ние потребителя:

$$R = \frac{Q}{0.24 \cdot 1^2 \cdot t} = \frac{729}{0.24(0.75)^2 \cdot 3600} = 1.5 O_{M}.$$

Пользуясь законом Ома для полной цели, находим э.д.с. $E=I_{\tau_0}+I_$

Задача 3.5. Э.д.с. источника постоянного тока Е=125 В. К нему последовательно подсоединены R_1 =100 Ом, R_2 =30 Ом, R₁=120 Ом. Определить ток цепи, падения напряжения на резисторах и мощность.

Решение: Общее сопротивление цепи равно: $R=R_1+R_2+R_3=100+30+120=250$ Om.

Величина тока на всех резисторах одинакова и равна:

$$I = \frac{U}{R} = \frac{125}{250} = 0.5 \text{ A}.$$

Падение напряжения на резисторах и мощность равны: $U = I R_1 = 0.5 \cdot 100 = 50 B$; $U_2 = I R_3 = 0.5 \cdot 30 = 15 B$; $U_3 = I \cdot R_3 = 0.5 \cdot 120 = 60 B$; $P_1 = I \cdot U = 0.5 \cdot 50 = 25 B T$; $P_2 = I \cdot U_2 = 0.5 \cdot 15 = 7.5 B T$; $P_3 = I \cdot U_3 = 0.5 \cdot 60 = 30 B T$.

Задача 3.6. (рис.3.17). В линию с линейным напряжением U=220 В подключены двигатель постоянного тока мощностью Р,=4,4 кВт и осветительная лампа мощностью Р, =300 Вт. Определить ток линии и общее сопротивление потребителей.

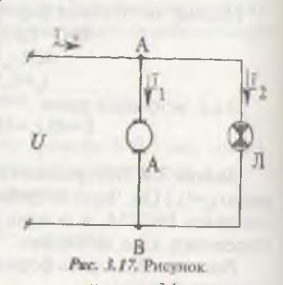
Решение: Ток двигателя ра-

$$I_1 = \frac{P_1}{U} = \frac{4400}{220} = 20 \text{ A}$$

$$I_2 = \frac{P_2}{U} = \frac{300}{220} = 1,36 \text{ A}$$

На основании первого закона Кирхгофа находим ток

$$I=I_1+I_2=20+1, J_0=21, 36 A.$$



Сопротивления потребителей равны

$$R_1 = \frac{U}{I_1} = \frac{220}{20} = 110 \text{m}; R_2 = \frac{U}{I_3} = \frac{220}{1,36} = 1610 \text{m}.$$

$$\frac{1}{R} = \frac{1}{R_1} + \frac{1}{R_2} = \frac{1}{11} + \frac{1}{161,7} = \frac{172,7}{1778,7} \text{ OM}$$

Общее сопротивление равно:

$$R = \frac{1778.7}{172.7} = 10.3 \text{ Om}$$

Задача 3.7. Длина цвухпроводной медной линии равна 1 12(N) м, ток I=15 A. диаметр провода d=5 мм, мощность 1 3 кВт. Определить мощность потребителя, мощность попери в линии и КПД линии.

Сечение провода линии:
$$S = \frac{\pi d^2}{4} = \frac{3.14 \cdot 5^2}{4}$$
.

Сопротивление линии равно:

$$R = \rho \cdot \frac{2l}{S} = 0.0175 \frac{2 \cdot 1200 \cdot 4}{3.14 \cdot 5^2} = 2.08 \text{ Om} \,.$$

Потеря напряжения влинии равно ΔU =1-R =15 2,08=31,2 В. Мощность потерь влинии равны: ΔP = ΔU =31,215=468 Вт. Мощность потребителя: P_2 =P- ΔP =3000-468=2532 Вт.

$$\eta = \frac{P_z}{P_z} \cdot 100\% = \frac{2532}{3000} \cdot 100\% = 84,4\% \,.$$

Зидача 3.8. (рис. 3.18). В заданной схеме E =250 В, E,=220 П , R_1 = 5 Ом, R_2 = 8 Ом, R_3 =10 Ом, r_0 =0,02 Ом, r_0 =0,02 Ом. Определить токи цепи.

Решение: 1. Выберем положительные направления токов.

2. В этой цепи два узла. Согласно первому закону Кирхгофа применим уравнение для узла С:

1,+1,-1,=0. 3. На основании второго закона Кирхгофа составим уравнения для контуров ABCLA и LCDKL:

 $E_1 - E_2 = I(R_1 + r_{01}) - I_2(R_2 + r_{02});$ $E_1 = I_2(R_2 + r_{02}) + I_3 R_3.$

4. Подставив в уравнения заданные значения, получим:



$$\begin{vmatrix}
I_1 + I_2 - I_3 &= 0 \\
250 - 220 &= I_1 \cdot 5,02 - I_2 \cdot 8,02 \\
220 &= I_2 \cdot 8,02 + I_3 \cdot 10
\end{vmatrix}$$

или

$$I_1 + I_2 - I_3 = 0$$

$$30 = I_1 \cdot 5,02 - I_3 \cdot 8,02$$

$$220 = I_2 \cdot 8,02 + I_3 \cdot 10$$

Из третьего уравнения

$$I_1 = \frac{220 - I_1 \cdot 8,02}{10}$$
 Из второго уравнения

$$1_1 = \frac{30 + 1, \cdot 8,02}{5,02}$$

Подставив I и I, в первос уравнение, получим

$$\frac{30 + I_2 \cdot 8,02}{5,02} + I_2 - \frac{220 - I_2 \cdot 8,02}{10} = 0. \quad Omcooda \quad I_2 = 4,7 \text{ A};$$

$$I_3 = \frac{220 - 4,7}{10} \frac{802}{10} = 18,23 \text{ A}; I_4 = \frac{30 + 4,7 \cdot 802}{5,02} = 13,56 \text{ A}.$$

Следовательно, токи положительны. Источники Е, и Е, работают в режиме генераторов.

Задача 3.9. В схеме, приведенной на рис. 3.9, E =120 В, 1 - 110 B, R₃=4 Ом, R = 2 Ом, R = 2 Ом. Определить токи. Решение: Узловое напряжение равно

$$U = \frac{E_1 \cdot g_1 + E_2 g_2}{g_1 + g_2 + g_3} = \frac{120 \cdot \frac{1}{2} + 110 \cdot \frac{1}{2}}{\frac{1}{2} + \frac{1}{2} + \frac{1}{4}} = 92 \text{ B}.$$

Токи ветвей равны:

$$I_1 = (E_1 - U) \cdot g_1 = (120 - 92) \cdot \frac{1}{2} = 14 \text{ A}.$$

$$I_2 = (E_2 - U) \cdot g_2 = (110 - 92) \cdot \frac{1}{2} = 9 \text{ A}.$$

$$I_3 = -Ug_3 = -92 \cdot \frac{1}{4} = -23 \text{ A}.$$

Проверка:

$$1_1+1_2+1_3=0;$$

 $14+9-23=0.$

ГЛАВА 4

ОСНОВНЫЕ ПОНЯТИЯ ПО ПЕРЕМЕННОМУ ТОКУ

4.1. Получение синусоидального переменного тока

Переменный ток — это периодическая величина, повторяющая свои значения и направление за время, называемое

периодом. В технике применяется переменный ток, изменяющийся по закону синуса. На рис. 4.1. показана упрощенная схема генератора переменного тока. Между полюсами статора установлен цилиндрический якорь с обмоткой на его поверхности. Магнитные линии в воздушном промежутке между статором и ротором направлены радиально к якорю. Магнитным полюсам придана такая форма, что магнитная индукция в воздушном промежутке изменяется по закону синуса.

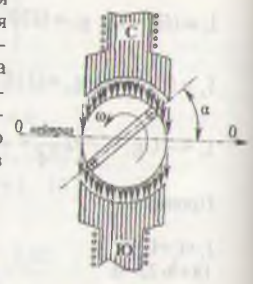


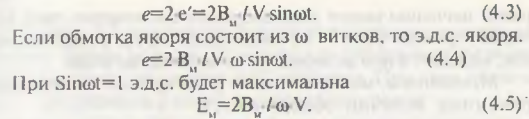
Рис. 4.1. Устройство простейшего генератора переменного тока.

 $B=B_{_{M}}\sin\alpha$ (4.1) где $B_{_{M}}=\max$ максимальная магнит-

ная индукция в центре полюса; α — угол между плоскостью OO, проходящей через ось якоря и плоскостью, проходящей через ось якоря и любую точку поверхности якоря.

При вращении якоря с постоянной скоростью $\omega = \alpha/t$ на активной стороне каждого витка якоря создается э.д.с. e' = B/V = B/V Sing = B/V Sing

 $e'=B/V=B_{_{\rm H}}/V$ Sin $\alpha=B_{_{\rm H}}/V$ Sin ω t (4.2) где / — длина якоря, м; V — линейная скорость якоря, м/с. Активные стороны витка якоря соединены между собой последовательно и поэтому э.д.с. витка равна:



Таким образом, в каждый данный момент времени эдс якоря равна: e=E, sin ω t. (4.6)

4.2. Параметры синусоидального переменного тока На рис 4.2 показан график синусоидального переменного



Рис. 4.2. График синусоидальной э.д.с.

1. Время одного полного колебания переменного тока называется периодом (T).

Число периодов в секунду называется частотой:

$$f = \frac{1}{T} \quad \Gamma epu (\Gamma u),$$
 (4.7)

гле f - частота, Гц; T - период, с.

 Значение переменной величины в любой момент времени называется мгновенным значением.

4. Самое большое значение переменной величины за половину периода называется амплитудным или максимальным значением.

5. Стрелочные электроизмерительные приборы из-за спосй инерционности не могут измерять мгновенное или миксимальное значения. Измеряемая ими величина назышется действующим или эффективным значением переменной величины. Действующее значение переменного тока

равно значению такого эквивалентного постоянного тока, который, проходя через то же сопротивление, что и переменный ток, выделяет в нем за период то же количество тепла.

Мітновенное, максимальное и действующее значения переменных величин обозначаются:

мгновенные значения - малыми буквами, например, і-ток, и-напряжения, е-э.д.с.;

- действующие значения - большими буквами, например, І-ток, U-напряжения, Е-э.д.с.;

максимальные значения обозначаются большими буквами с индексом «М», например, I_{M} -ток, U_{M} -напряжения, E_{M} -э.д.с.

Действующее значение синусоидального тока меньше его амплитудного значения в $\sqrt{2}$ раз, г.е.

$$I = \frac{I_u}{\sqrt{2}}$$

Аналогично, такие соотношения имеют место для эдс и напряжения:

$$U = \frac{U_{\text{N}}}{\sqrt{2}} = 0.707 \cdot U_{\text{s}}; \tag{4.8}$$

$$E = \frac{E_{ii}}{\sqrt{2}} = 0,707 \text{ E}_{.i}$$
 (4.9)

6. Угловая частога. В двухнолюсном генераторе (число пар полюсов р=1) одному обороту якоря соответствует один период э.д.с. При равномерном вращении якоря его угловая скорость будет равна:

$$\omega = \frac{\alpha}{t} = \frac{2\pi}{T} = \frac{1}{T} \cdot 2\pi = 2\pi f c e \kappa^{-1}$$
. (4.10)

Если генератор имеет р нар полюсов, то один оборот якоря будет соответствовать р периодам и его угловая скорость составит:

$$\omega = \frac{p}{t} \frac{\alpha}{P} = \frac{p \cdot 2\pi}{T} = \frac{1}{T} \cdot 2\pi = 2\pi f \text{ сек} \quad (4.11)$$
The p α — электрический угол:

где р а - электрический угол;

 $\omega = 2\pi f$ — утловая скорость или утловая частота.

На рис. 4.3. показан график переменного тока генератора с двумя парами нолюсов. Если скорость вращения якоря равна п, то в секунду он сделает n/60 оборотов. При этом частота л.с. генератора с р парой полюсов будет равна:

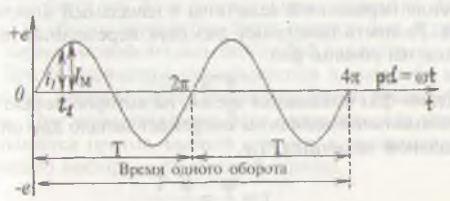


Рис. 4.3. График переменной э.д.с. генератора переменного тока с двумя парами полюсов.

$$f = \frac{\mathsf{n}}{60} \mathsf{p} \, \mathsf{\Gamma} \mathsf{u} \,. \tag{4.12}$$

7. Фаза, начальная фаза, сдвиг фаз.

Все витки обмотки якоря вращаются с одинаковой скоростью. Поэтому амплитуда и частота их э.д.с. будут одинаковы. Но так как на поверхности якоря витки установлены в разных местах, то создаваемых в них э.д.с. в данный момент времени будут различными. На показанных в рис.4.4. двух витках величины э.д.с. будут равны:



Рис. 4.4. Сдвиг фаз и начальная фаза переменного тока.

 $e_j = E_{\mu} \cdot \sin(\omega t + \varphi_1)$ и $e_j = E_{\mu} \cdot \sin(\omega t + \varphi_2)$. тие $(\omega t + \phi_1)$ и $(\omega t + \phi_2)$ — фазные углы или фазы. В начальный момент времени э.д.с. витков равны:

 $e_1 = E_{u} \sin \varphi$, и $e_2 = E_{u} \sin \varphi_2$, (4.13) где φ_1 и φ_2 — начальные фазы — это углы, определяющие значение переменной величины в начальный момент времени. Разность начальных фаз двух переменных величин называется $c d \theta u c o m \phi a 3$.

 $\varphi = \varphi_1 - \varphi_2. \tag{4.14}$

Сдвиг фаз показывает время, на которое начало одной сипусоидальной величины опережает начало другой синусоидальной величины, т.е.

$$t = \frac{\phi}{\omega} = \frac{\phi \cdot T}{2\pi}$$
 (4.15)

Если синусоидальная величина, пройдя через ноль, становится положительной, то этот момент считается началом периода. Та величина, у которой начало периода или положительная амплитуда достигаются раньше, чем у другой считается опережающей по фазе. Та величина, у которой те же значения достигаются позже считается отстающей по фазе.

Две синусоидальные величины с одинаковыми начальными фазами совпадают по фазе. Две синусоидальные величины, угол сдвига фаз которых равен 180° изменяются в противофазе.

4.3. Векторная диаграмма

Синусоидальные величины изображают синусоидами или вращающимися векторами. Первый способ был рассмотрен в параграфах 4.1 и 4.2. Синусоидальное изображение дает возможность определить амплитуду, начальную фазу и период. Второй способ упрощает графическое изображение синусоидальных величин и дает возможность найти графически сумму или разность нескольких величин. Совокупность двух или нескольких векторов, изображающих синусоидальные величины одной частоты в начальный момент времени для данной цепи называется векторной диаграммой. Векторная диаграмма наглядно показывает действующие значения электрических величин цепи, их начальные фазы, сдвиг фаз между ними. Следовательно, при вращении векторов их взаимное положение не изменяется.

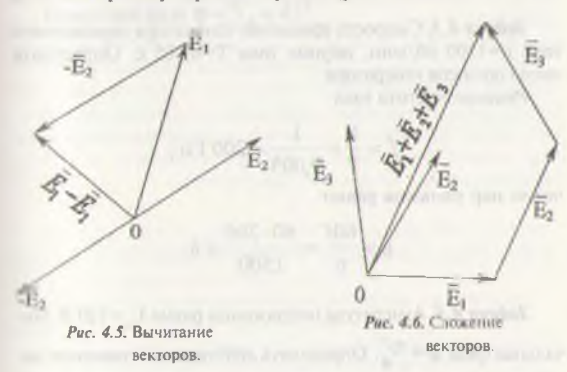
Порядок построения векторной диаграммы:

1. Вначале в масштабе в любом направлении откладывается самый общий параметр цепи. Например, для цепи, в которой элементы соединены последовательно общим параметром является ток. Если элементы цепи соединены паралельно, то общим параметром будет напряжение. В других цепях первым можно откладывать любой параметр.

2. Другие параметры откладываются в масштабе в направлении с учетом сдвига фаз между ним и общим параметром. При этом начальная фаза опережающего вектора откладывается против часовой стрелки, а начальная фаза отстающего вектора — по часовой стрелке.

4.4. Сложение и вычитание векторных величин

1. Если синусоидальные величины изображены на векторной диаграмме, то их сложение и вычитание производится по правилу парадлелограмма (рис. 4.5 и 4.6).



2. Если синусоидальные величины изображены при помощи синусоид, то для их сложения или вычитания необхолимо складывать или вычитать их ординаты.

Залачи

Задача 4.1. На воздушных аппаратах применяется переменный ток частотой f=400 Гц. Определить период этого тока. Решение:

$$T = \frac{1}{f} = \frac{1}{400} = 0,0025 \text{ сек.}$$

Задача 4.2. Угловая частота переменного тока равна ω=3140 сек ¹. Определить период и частоту.

Решение: ω=2πf, отсюда

$$f = \frac{\omega}{2\pi} = \frac{3140}{2 \cdot 3{,}14} = 500 \; \Gamma \text{u}$$

Период равен:

$$T = \frac{1}{f} = \frac{1}{500} = 0,002 \text{ сек.}$$

Задача 4.3. Скорость вращения генератора переменного тока n=1500 об/мин, период тока T=0.005 с. Определить число полюсов генератора

Решение: частота тока

$$f = \frac{1}{T} = \frac{1}{0,005} = 200 \text{ Fu};$$

число пар полюсов равно

$$p = \frac{60f}{n} = \frac{60 \cdot 200}{1500} = 8.$$

Задача 4.4. Амплитуда напряжения равна $U_{_{\rm M}}$ =120 В. Начальная фаза $\Phi = \frac{\pi}{4}$. Определить действующее значение напряжения и написать формулу мгновенного значения. *Решение*: действующее значение:

$$U = \frac{U_b}{\sqrt{2}} = \frac{120}{0,707} = 85 \text{ B}.$$

Формула мгновенного значения имеет вид:

$$u=U_{\mu}-\sin(\omega t+\varphi)=120\sin(\omega t+45^{\circ}).$$

Задача 4.5. Мітновенные значения э.д.с. $c=8,45\sin(1256t+\pi/4)$. Определить амплитуду и действующее значение э.д.с., период и начальную фазу.

Решение: Общая формула міновенного значения эдс имеет вид: $e=E_{u^*}\sin(\omega t+\phi)$

Поэтому

$$E_{\perp} = 8,45 \,\mathrm{B}; \quad E = \frac{8,45}{\sqrt{2}} = 6 \,\mathrm{B};$$

угловая частота $\omega = 1256 \ ce\kappa^{-1} = 2\pi f$. Отсюда

$$f = \frac{\omega}{2\pi}$$
; $T = \frac{1}{f} = \frac{1}{\omega/2\pi} = \frac{2\pi}{\omega} = \frac{6.28}{1256} = 5 \cdot 10^{-3} \text{ cek.}$

Начальная фаза $\phi = \frac{\pi}{4} = 45^{\circ}$.

ГЛАВА 5

ЦЕПИ СИНУСОИДАЛЬНОГО ПЕРЕМЕННОГО ТОКА

5.1. Введение

Любая электрическая цепь может состоять из активного сопротивления R, индуктивности L и емкости C. В цепях постоянного тока при неизменном напряжении ток, мощность, энергия электрического и магнитного полей также не изменяются. Если напряжение изменяется, то ток, энергия электрического и магнитного полей, мощность будуг также изменяться. В технике встречаются цепи, в которых преобладает один из параметров (R, L или C), тогда как другие выявлены слабо и их влиянием можно пренебречь.

Например, цепь с нагревательным прибором, осветительной лампочкой можно считать как сопротивление, так как их емкостью и индуктивностью из-за их малого значения можно пренебречь. Цепь ненагруженного трансформатора можно рассматривать как индуктивность, а кабель, работающий без нагрузки — как емкость.

5.2. Цепь с активным сопротивлением (рис. 5.1.)

Мгновенное значение напряжения цепи: $u=U_u \sin \omega t$ (5.1

Согласно закону Ома мгновенное значение тока:

$$i = \frac{U}{R} = \frac{U \cdot \sin \omega t}{R} = I_{st} \cdot \sin \omega t$$
, (5.2)

где $I_{M} = \frac{U_{M}}{R} -$ амплитудное значение тока.

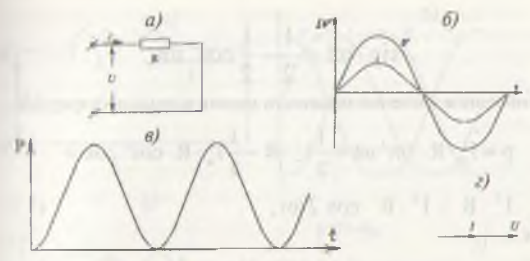


Рис. 5.1. Цепь с активным сопротивлением: а) схема; б) графики токов и напряжений; в) график мошности; г) векторная диаграмма.

Действующие значения тока и напряжения

$$U = \frac{U}{\sqrt{2}} \cdot \sin \omega t; \qquad (5.3)$$

$$I = \frac{1}{\sqrt{2}} \cdot \sin \omega t. \tag{5.4}$$

Следовательно, закон Ома действителен и для действующих значений:

$$1 = \frac{U}{R} \tag{5.5}$$

Так как ток и напряжение изменяются пропорционального sin ωt (см. формулы 5.1 и 5.2), то сдвиг фаз между ними будет равен нулю (рис. 5.1 б, г)

Мгновенное значение мощности равно

$$p = i u = i \cdot R = I^2 R \sin^2 \omega t$$
. (5.6)

Согласно этой формуле мощность пропорциональна квалриту тока. Отсюда следует, что мощность всегда положительна, что означает то, что на активном сопротивлении электрическая энергия полностью преобразуется в тепло (рис. 5.1. в).

Принимая во внимание то, что

$$\sin^2 \omega t = \frac{1}{2} - \frac{1}{2} \cos^2 \omega t$$

мгновенное значение мощности можно выразить формулой

$$p = I_{ss}^{2} \cdot R \cdot \sin^{2} \omega t = \frac{1}{2} I_{ss}^{2} \cdot R - \frac{1}{2} I_{ss}^{2} \cdot R \cdot \cos^{2} 2\omega t =$$

$$I^{2} \cdot R - I^{2} \cdot R \cdot \cos 2\omega t,$$
(5.7)

$$\frac{1}{2}I_n^{\dagger} = \left(\frac{I_n}{\sqrt{2}}\right)^7 = I^2.$$

Постоянная составляющая Р-R определит среднее значение мощности за период и называется активной мощностью $P=I^{2}R=IU$, (5.8)

5.3. Цепь с индуктивностью (рис. 5.2)

Под действием синусоидального напряжения в цепи проходит синусоидальный ток

 $i=I_{\mu}$ sin ωt .

В результате на индуктивности возникает переменное магнитное поле и э.д.с. самоиндукции:

$$e_{\cdot} = -L \frac{di}{dt}$$
 (5.9)

Так как индуктивность считаем идеальной, то активное сопротивление ее R=0. Поэтому все приложенное к цепи напряжение будет израсходовано на преодоление эддс. самоиндукции. Кроме того, согласно второму закону Кирхгофа имеем:

$$U = -e_{L} = L \frac{di}{dt} = L \frac{d(I_{\omega} \cdot \sin \omega t)}{dt} = L \cdot I_{\omega} \cdot \omega \cdot \cos \omega t =$$

$$= L \cdot I_{\omega} \cdot \omega \cdot \sin \left(\omega t + \frac{\pi}{2} \right) = U_{M} \cdot \sin(\omega t + \pi/2). \tag{5.10}$$

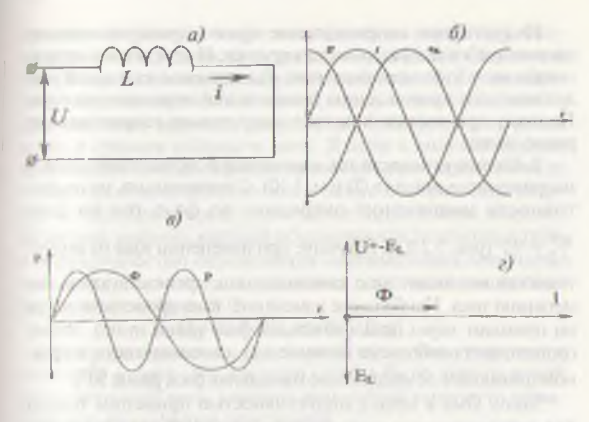


Рис. 5.2. Цепь с инлуктивностью: а) схема; б) график тока напряжения и эдс; в) график мощности; г) векторная диаграмма.

Из последнего выражения следуют следующие выводы:

$$U_{M}=I_{M} \perp \omega. \tag{5.11}$$

Для действующих значений также имеем

$$U=I L \omega, \qquad (5.12)$$

откуда значение тока будет равно

$$I = \frac{U}{L \cdot \omega} = \frac{U}{2\pi f \cdot L}, \tag{5.13}$$

где ω =2 πf — угловая частота. Выражение L ω =2 πf L = X_f называется индуктивным сопротивлением или реактивным сопротивлением катушки. Индуктивное сопротивление также измеряется в омах,

$$X_{L} = \omega L = \frac{1}{\text{cek}} \cdot \text{om} \cdot \text{cek} = \text{Om}$$

Индуктивное сопротивление прямо пропорционально частоте тока и индуктивности катушки. Индуктивное сопротивление - это сопротивление, оказываемое катушкой индуктивности прохождению (изменению) переменного тока. Поэтому при постоянном токе индуктивное сопротивление равно нулю.

2. На индуктивности ток изменяется в соответствии sinot, а напряжение — $\sin(\omega t + \pi/2)$ (см. 5.10). Следовательно, на индуктивности напряжение опережает по фазе ток на угол

 $\frac{\pi}{2} = 90^{\circ}$ (рис. 5.2 б,г). Причина: при изменении тока на индуктивности возникает э.д.с. самоиндукции, препятствующая изменению тока. Наибольшее изменение тока происходит когда он проходит через ноль (начальная фаза равна нулю). Этому соответствует наибольшее значение э.д.с. самоиндукции е, и уравновешивающее ее напряжение (начальная фаза равна 90°).

Закон Ома в цепи с индуктивностью применим только для действующих и амплитудных значений тока и напряжения и не может применяться для мгновенных их значений, так как і≠и/Х,.

В цепи с индуктивностью мгновенное значение мощности:

$$p=i \cdot u=I_{M} \cdot \sin\omega t \cdot U_{M} \cdot \sin\left(\omega t + \frac{\pi}{2}\right) =$$

$$=I_{M} \cdot U_{M} \cdot \sin\omega t \cdot \cos\omega t = I \cdot U \cdot \sin2\omega t,$$
(5.14)

где $\sin 2\omega t = 2\sin \omega t \cdot \cos \omega t$, $U_{m} = \sqrt{2}U$, $I_{m} = \sqrt{2} \cdot I$.

Следовательно, в цепи с индуктивностью мощность изменяется с двойной частотой (рис. 5.2 в).

В течение первой и третьей частей периода на индуктивности энергия магнитного поля увеличивается от нуля до максимального значения:

$$W_{M} = \frac{L I_{M}^{2}}{2} = L \cdot I^{2} \ \text{Дж}.$$
 (5.15)

Эта энергия берется от генератора. Следовательно, в эти части периода цепь работает в режиме потребителя и се мощность будет положительной.

Во вторую и четвертую части периода энергия магнитного поля уменьшается от максимального значения до нуля,

при этом запасенная энергия возвращается генератору. Слеловательно, в эти части периода цепь работает в режиме генератора и его мощность будет отрицательной. Таким обраюм, энергия, полученная цепью с индуктивностью за кажлук) половину периода, равна нулю. Следовательно, равна пулю и средняя мощность цепи. В цепи с индуктивностью происходит только периодический обмен энергией между генератором и магнитным полем цепи. Электрическая энергия не преобразуется в тепловую или другие виды энергии. Всличина энергии, которой обмениваются генератор и цепь пидуктивностью определяется максимальным значением мошности. Эта мошность называется реактивной мощностью и обозначается буквой Q.

 $Q_1 = U \cdot I = I \cdot L = \omega \cdot W_{M}$ (Bap).

Единица измерения реактивной мощности та же, что и активной - ватт. Но для того, чтобы было ясно о какой мощности идет речь, единицу реактивной мощности называкут вар-вольт-ампер реактивный.

5.4. Поверхностный эффект

Оказывается сопротивление проводника переменному току, называемое активным сопротивлением, больше сопротивления того же проводника постоянному току. Причиной этого инляется различная плотность переменного тока по сечению проводника. На поверхности проводника плотность тока буист больше, чем при постоянном токе, а в центре меньше. При высоких частотах плотность тока в центре практическим

равна нулю, и ток проходит только в поверхностном слое, толщина которого уменьшается с повышением частоты. Поэтому это ивление называется поверхностным эффектом (рис. 5.3).

Для объяснения поверхностного эффекта представим, что цилиндрический проводник состоит из большого число элементарных проводников цилиндрического проводника. одинакового сечения, распо-



Рис. 5.3. Магнитное поле

ложенных плотными концентрическими слоями. Переменный ток вокруг каждого такого проводника создаёт магнитное поле Элементарные проводники, расположенные в центре или близко к нему, сцепляются с наибольшим магнитным потоком. Поэтому их индуктивность и индуктивное сопротивление будуг больше, чем у проводников, расположенных в поверхностном слое. Это ведет к тому, что плотность тока уменьшается от периферии к оси проводника. Эта разница возрастает с увеличением диаметра проводника, его проводимости, магнитной проницаемости и частоты тока. Коэффициент поверхностного эффекта определяется формулой:

$$\varepsilon = \frac{R}{R} \tag{5.17}$$

где R – активное сопротивление проводника;

R₀ — сопротивление проводника постоянному току.

На рис 5.4 показан график зависимости коэффициента поверхностного эффекта от коэффициента

$$\alpha = d\sqrt{g \mu \mu_o f}$$
,

где: g — проводимость материала; μ =4 π 10 7 — магнитная постоянная; d — диаметр провода; f — частота тока.

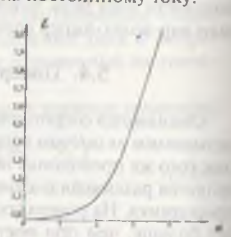


Рис. 5.4. График определения коэффициента поверхностного эффекта.

5.5. Цепь с емкостью (рис. 5.5)

К цепи приложим напряжение

 $U=U_{\mu} \sin \omega t$. (5.18)

Заряд на обкладках конденсатора будет изменяться пропорционально напряжению:

 $q=C \cdot u=C \cdot U_u \cdot \sin \omega t$. (5.19)

Ток конденсатора изменяется пропорционально скорости изменения заряда:

$$1 = \frac{dq}{dt} = \frac{d(C \cdot U_{M} \cdot \sin\omega t)}{dt} = C \cdot U_{M} \cdot \omega \cdot \cos\omega t = I_{M} \cdot \sin(\omega t + \frac{\pi}{2}). \quad (5.20)$$

Из этого выражения можно сделать следующие выводы:

1. Ток на конденсаторе изменяется по закону $\sin\left(\omega t + \frac{\pi}{2}\right)$

п напряжение — sinot. Следовательно на конденсаторе ток по фазе опережает напряжение на угол $\frac{\pi}{2} = 90^\circ$. Причина: чтобы установить напряжение между обкладка конденсатора надо его зарядить, а чтобы зарядить, надо пропустить ток. Наибольшее изменение напряжения происходит, когда он проходит через ноль (начальная фаза равна нулю). Этому соответствует наибольший ток (рис 5.5. 6, г).

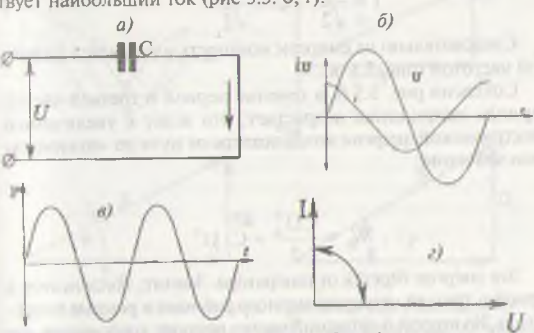


Рис. 5.5. Емкостная цепь: а) схема; б) графики тока и напряжения; в) график мошности; г) векторная диаграмма.

2. Амплитудное значение тока:

$$I = C \cdot \omega \cdot U_{u}, \qquad (5.21)$$

Действующее значение

$$I = C \cdot \omega \cdot U = \frac{U}{1/C \cdot \omega} = \frac{U}{X_c}.$$
 (5.22)

Эта формула выражает закон Ома для емкостной цепи.

Величина
$$X_c = \frac{1}{\omega \cdot C} = \frac{1}{2\pi f \cdot C}$$
 (Ом)

называется реактивным сопротивлением конденсатора или емкостным сопротивлением.

Мгновенное значение мощности:

$$\pi = \mathbf{i} \cdot \mathbf{u} = \mathbf{I}_{_{\mathbf{M}}} \cdot \sin(\omega t + \frac{\pi}{2}) \cdot \mathbf{U}_{_{\mathbf{M}}} \cdot \sin\omega t = \mathbf{I}_{_{\mathbf{N}}} \cdot \cos\omega t \cdot \mathbf{U}_{_{\mathbf{M}}} \cdot \sin\omega t =$$

$$= \frac{\mathbf{I}_{_{\mathbf{M}}} \cdot \mathbf{U}_{_{\mathbf{M}}}}{2} \cdot \sin 2\omega t = \mathbf{I} \cdot \mathbf{U} \cdot \sin 2\omega t, \qquad (5.24)$$

так как действующие значения тока и напряжения:

$$I = \frac{I_{M}}{\sqrt{2}}, \quad U = \frac{U_{M}}{\sqrt{2}}. \tag{5.25}$$

Следовательно на емкости мошность изменяется с двойной частотой (рис. 5.5. в).

Согласно рис. 5.5 б, в течение первой и третьей частей периода напряжение возрастает, что ведет к увеличению электрической энергии конденсатора от нуля до максимального значения:

$$W_{\nu} = \frac{CU_{\mu}^2}{2} = C \cdot U^2,$$

Эта энергия берется от генератора. Значит, конденсатор в первой и третьей четвертях периода работает в режиме потребителя. Во второй и четвертой частях периода конденсатор отдает накопленную энергию. Значит во второй и четвертой частях периода конденсатор работает в режиме генератора. В течение половины периода энергия конденсатора равна нулю.

В этой цепи также происходит только периодический обмен энергии между генератором и конденсатором без преврищения ее в тепловую или другую энергию. Величина энергии, которой обмениваются генератор и конденсатор определяется максимальным значением мощности этой цепи:

$$Q_c = U I = C\omega U^2 = W \omega Bap.$$

96

5.6. Цепь с индуктивностью и активным сопротивлением

На схеме рис. 5.6 L — индуктивность катушки, R — активное сопротивление катушки. Через катушку проходит ток, мгновенное значение которого равно:

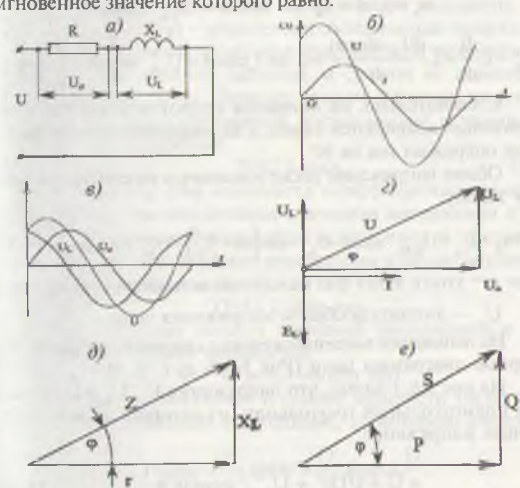


Рис. 5.6. Цепь с индуктивностью и активным сопротивлением: а) внектрическая схема; б) график общего тока и напряжения; в) график активного, индуктивного и общего напряжения; г) векторная диаграмма; д) треугольник сопротивлений; е) треугольник мошностей.

 $i=l_{_{M}}\sin\omega t.$ Согласно второму закону Кирхгофа имеем:

$$\mathbf{u} + \mathbf{e}_{\mathbf{L}} = \mathbf{i} \cdot \mathbf{R}, \tag{5.27}$$

откуда

$$u = i \cdot R - e_t = i \cdot R + L \frac{di}{dt} = u_o + u_t$$
, (5.28)

где u_a=i-R – активное напряжение;

$$u_L = L \frac{di}{dt}$$
 — индуктивное напряжение.

Если в рассматриваемой цепи проходит синусоидальный

$$u_s = i \cdot R = I_{-} R \cdot \sin \omega t = U_{-} \cdot \sin \omega t$$
;

$$u_{t} = L\frac{di}{dt} = L\frac{d(I_{+} \cdot \sin\omega t)}{dt} = L \cdot \omega \cdot I_{+} \cos\omega t = U_{t+1} \cdot \sin\left(\omega t + \frac{\pi}{2}\right). (5.29)$$

Следовательно, на активном сопротивлении ток и напряжение изменяются в фазе, а на индуктивности напряжение опережает ток на 90°

Общее напряжение также изменяется по синусоидально-

$$u=u_a+u_{L_u}=U_{a,M_u}\sin(\omega t+U_{L_u}-\sin(\omega t+\frac{\pi}{2}))=U_{M_u}\sin(\omega t+\phi)$$
,(5.30)

где: ф - угол с двига фаз между током и напряжением цепи;

U_п — амплитуда общего напряжения цепи.

На основании вышеизложенного строим волновые и век-

торные диаграммы цепи (Рис 5.6 б, в. г, д, е). На рис 5.6. г видно, что напряжения U_a , U_L и U образуют прямоугольный треугольник, из которого можно найти общее напряжение:

$$U = \sqrt{U_a^2 + U_b^2}; \cos \varphi = \frac{U_a}{U}.$$
 (5.31)

По закону Ома
$$U_s = I - R$$
; $U_L = I - X_1$. (5.32)

$$U = \sqrt{(I \cdot R)^2 + (I \cdot X_L)^2} = I \cdot \sqrt{R^2 + X_L^2} = I \cdot Z, \quad (5.33)$$

где $Z = \sqrt{R^2 + X_1^2}$ — общее сопротивление цепи.

Активное R, индуктивное X₁, полное Z сопротивления также образуют прямоугольный треугольник, из которого:

$$\cos \varphi = \frac{R}{Z}; \sin \varphi = \frac{X_L}{Z}; \operatorname{tg} \varphi = \frac{X_L}{R}.$$
 (5.34)

$$= 11 + \cos \varphi - U + \cos(2\omega t + \varphi), \qquad (5.35)$$

тик II I соsф — постоянная составляющая мощности;

1! 1 соѕ(2ωt+ф) — переменная составляющая мощности. Переменная составляющая изменяется по гармоническому выхону с двойной частотой, и среднее её значение за периол равно нулю. Поэтому среднее значение мощности и период равно постоянной составляющей и называется активной мощностью:

Множитель соѕф называется коэффициентом мощносги, так как при неизменных значениях напряжения и тока им гивная мошность изменяется в зависимости от сосф.

Эпергия обмена между генератором и ценью определяет реактивную энергию цепи:

Q=U I sino Bap.

Произведение полных значений напряжения и тока на пынается полной мощностью

S=I U вольт-ампер (ва).

Активная, реактивная и полная мощности также обратуют прямоугольный треугольник, из которого следует:

$$\cos \varphi = \frac{P}{S}; \sin \varphi = \frac{Q}{S}; tg\varphi = \frac{Q}{P}.$$

5.7. Пень с активным сопротивлением и емкостью (рис. 5.7)

Если в заданной цепи проходит синусоидальный ток i / simot, то мгновенное значение напряжения на активном гонротивлении:

$$U_a = i \cdot R = U_{aM} \cdot sin\omega t \tag{5.40}$$

измениется в фазе с током.

Папряжение на емкости отстает от тока на 90°:

$$U_c = U_{c,n} \cdot (\sin \omega t - \frac{\pi}{2}).$$
 (5.41)

На основании этих формул построим векторную диаграмму (рис. 5.7. г). Из векторной диаграммы находим общее напряжение:

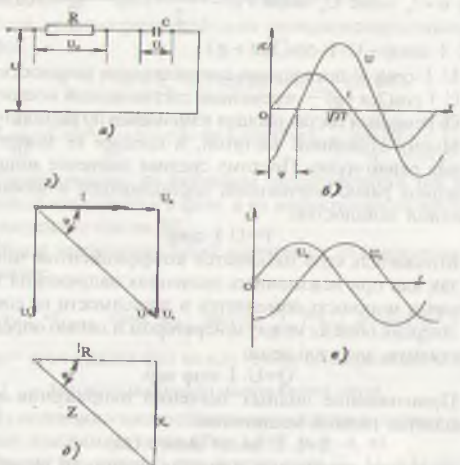


Рис. 5.7. Цепь с ёмкостью и активным сопротивлением: а) электрическая схема; б) графики общего тока и напряжения; в) графики активного и ёмкостного напряжений; г) векторная диаграмма; д) треугольник сопротивлений.

$$U = \sqrt{U_{s}^{2} + U_{s}^{2}} = \sqrt{(I \cdot R)^{2} + (I \cdot X_{s})^{2}} = I \cdot \sqrt{R^{2} + X_{s}^{2}} = I \cdot Z$$
 (5.42)

где $Z = \sqrt{R^2 + X^2}$ — полное сопротивление цепи

Амплитудное значение общего напряжения

$$U_{M} = \sqrt{U_{MM}^{2} + U_{GM}^{2}}.$$
 (5.43)

Ток опережает общее напряжение на угол ϕ . Поэтому $u=U_{_{M}}\sin(\omega t-\phi)$. (5.44)

Активное, реактивное (емкостные) и общее сопротивления также образуют прямоугольный треугольник. Коэффициент мощности

$$\cos\varphi = \frac{U}{U} = \frac{R}{Z} \tag{5.45}$$

Меновенное значение мощности:

 $\sin(\omega t - \frac{\pi}{2}) = U \cdot 1 \cdot \cos(\omega t - \phi)$, (5.46) тап 1: 1 $\cos(2\omega t - \phi)$ —переменная составляющая мощности, в

периода равна нулю.
 11 гозф – постоянная составляющая мощности, опре-

пергия обмена между электрическим полем кондентегора и тенератором называется реактивной мощностью. Q=U 1 sinф вар. (5.48)

5.8. Цепь с активным сопротивлением, индуктивностью и емкостью. Резонанс напряжений (рис. 5.8)

Тик как активное сопротивление, индуктивность и емкость соединены последовательно, то в цепи проходит одинаковый ток:

$$i=1$$
 sin ω t. (5.50)

На активном сопротивлении ток и напряжение изменастся одинаково:

$$u = U_{am} \text{ sin(ot)},$$
 (5.51)

Па U I R — действующее значение активного напряжения. Па индуктивности напряжение опережает ток на 90°;

 $u_L = U_{L_N} \cdot \sin(\omega t + \pi/2).$ (5.52) | | X — действующее значение индуктивного напря-

П Тх действующее значение индуктивного напряниш На смкости ток опережает напряжение на 90°.

$$U_{c} = U_{cM} \cdot \sin(\omega t - \pi/2). \tag{5.53}$$

ты U = I X — действующее значение емкостного напряжения. Намов из условия $X_t > X_t$ строим векторную диаграмму. На весторной диаграмме видно, что активное напряжение U_a , побщее напряжение U образуют приклугольный треугольник, из которого на основании теоремы. Плерагора находим общее напряжение (рис. 5.8.6).

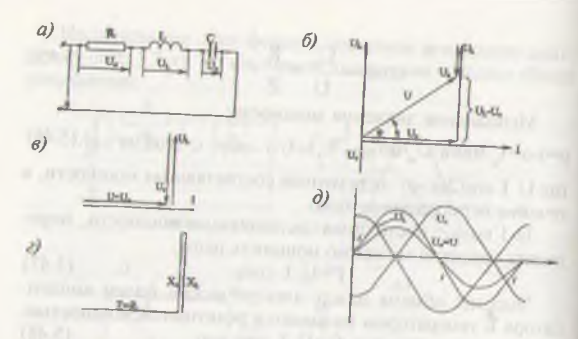


Рис. 5.8. Цепь с последовательным соединением активного сопротивления индуктивности и ёмкости: а) электрическая схема; б) векторная диаграмма; в) векторная диаграмма при резонансе напряжений;

г) треугольник сопротивлений при резонансе напряжений; д) графики токов и напряжений при резонансе.

$$U = \sqrt{U_a^2 + (U_L - U_c)^2} = \sqrt{(I \cdot R)^2 + (I \cdot X_L - I \cdot X_c)^2} = I\sqrt{R^2 + (X_L - X_c)^2} = I \cdot Z,$$
(5.54)

где
$$Z = \sqrt{R^2 + (X_1 - X_c)^2}$$
 — общее сопротивление цепи;

 $X=(X_L-X_c)$ — реактивное сопротивление цепи. Для цепи, в которой $X_L>X_c$ реактивное сопротивление положительно и носит индуктивной характер. При $X_L< X_c$ реактивное сопротивление цепи отрицательно и носит емкостный характер.

Угол сдвига фаз между общим током и напряжением находим по формуле:

$$tg \phi = \frac{X}{R} = \frac{X_t - X_c}{R} = \frac{U_t - U_c}{U_u}$$
 (5.55)

Согласно формулам 5.30 и 5.44 при $X_L > X_c$ общее напряжение $u = U_u$ $\sin(\omega t + \phi)$, при $X_L < X_c$ общее напряжение $u = U_u$ sin(ωt-φ). Поэтому мгновенное значение мошности:

$$p=i$$
. $U=I$. $U \cos \phi - I$. $U \cos (2\omega t \phi)$ (5.56)

В соответствии с этим активная, реактивная и полная мониости равны:

P=I-U cos
$$\phi$$
; Q=I-U sin ϕ ; S = $\sqrt{P^2 + Q^2}$ = I · U.

При Х. = Х наступает резонанс напряжений. При этом общее сопротивление цепи станет равным активному сопро-**НИМСНИЮ**

$$Z = \sqrt{R^2 + (X_L - X_c)} = R.$$
 (5.57)

Соответственно:

$$U = \sqrt{U_1^2 + (U_1 - U_C)} = U_1. \tag{5.58}$$

Следовательно, при резонансе напряжений общее наприжение равно активному и поэтому сдвиг фаз между ноком и напряжением ф=0. При резонансе индуктивное и выкостное напряжения равны друг другу, изменяются в проппофазе (рис.5.8 в) и каждое в отдельности намного больние общего напряжения. Поэтому это явление называется ревплансом напряжений.

Отпошение индуктивного или емкостного напряжений в общему напряжению при резонансе называется добротпостью контура:

$$Q = \frac{U_{\perp}}{U} = \frac{U_{\perp}}{U} = \frac{I_{p}X_{\perp}}{I_{p}R} = \frac{I_{p}X_{\nu}}{I_{p}R} = \frac{X_{\perp}}{R} = \frac{X_{\nu}}{R}, \quad (5.59)$$

резонансный ток; лобротность контура.

Тик как во время резонанса напряжения на емкости и инауктивности равны и противоположны по знаку, то мгновышье значения их мощностей также равны и противолоиналы друг другу

$$p_L = i \cdot U = -p_c = -i \cdot U_c.$$
 (5.60)

При резонансе напряжений периодически происходит рашный обмен энергии электрического поля конденсатора и пирини магнитного поля катушки индуктивности.

Неходи из условия резонанса

$$X_1 = X_2$$
; $\omega L = \frac{1}{\omega c}$; $2\pi f \cdot L = \frac{1}{2\pi f \cdot C}$

находим резонансную частоту:

$$f_{\perp} = \frac{1}{2\pi\sqrt{L \cdot C}} = f \tag{5.61}$$

где f_{ρ} — частоты собственных колебаний контура.

Следовательно, для того чтобы в контуре наступил резонанс, необходимо, чтобы частота тока источника и частота собственных колебаний контура были равны друг другу.

5.9. Расчет разветвленной цепи методом проводимостей (рис. 5.9)

При этом методе ток каждой ветви состоит из активной и реактивной составляющих. Общим параметром данной цепи является напряжение. Активный ток по фазе совпадает с общим напряжением. Реактивные составляющие тока по срав-

нению с общим напряжением сдвинуты на угол $\pm \pi/2$. В

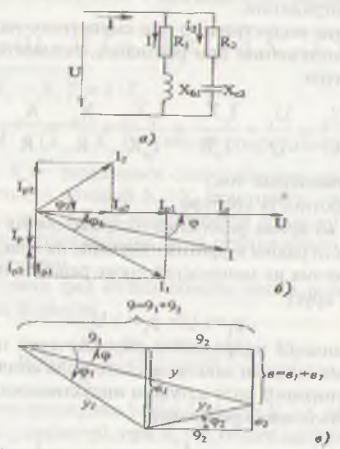


Рис. 5.9. Разветвленная цепь: а) схема; б) векторная диаграмма; в) треугольник проводимостей.

твеннетствие с этим определяем активные и реактивные токи

$$I_{ij} = I_{ij} \cdot \cos \varphi_{ij} = \frac{U}{Z_{ij}} \cdot \frac{R_{ij}}{Z_{ij}} = U \cdot \frac{R_{ij}}{Z_{ij}^2} = U \cdot g_{ij};$$
 (5.62)

$$I_{xz} = I_{z} \cdot \cos \varphi_{z} = \frac{U}{Z_{z}} \cdot \frac{R_{z}}{Z_{z}} = U \cdot \frac{R_{z}}{Z_{z}^{2}} = U \cdot g_{z};$$
 (5.63)

$$I_{a1} = I_1 \cdot \sin \varphi_1 = \frac{U}{Z_1} \cdot \frac{X_1}{Z_1} = U \cdot \frac{X_1}{Z_1^2} = U \cdot s_1;$$
 (5.64)

$$I_{\nu_2} = I_2 \cdot \sin s \varphi_2 = \frac{U}{Z_2} \cdot \frac{X_2}{Z_2} = \frac{R_2}{Z_2^2} = U \cdot e_2,$$
 (5.65)

$$\frac{R}{Z_1} = g_1 - u - \frac{R_2}{Z_2^2} = g_2 - a$$
ктивные проводимости ветвей;

$$\frac{X}{Z} = \theta_1$$
 и $\frac{X_2}{Z_1^2} = \theta_2$ — реактивные проводимости ветвей;

$$X_{L_1} - X_{C_1} = X_{L_1} -$$
 реактивное сопротивление первой вет-

$$X_1 - X_{11} - X_{12} = X_{12} -$$
 реактивное сопротивление второй ветви

$$I = \frac{U}{Z_0}$$
 и $I_2 = \frac{U}{Z_1}$ — токи ветвей.

По основании вышеизложенного строим векторную диаграмму. Так как в данной цепи общим параметром является наприлегии U, то первым в масштабе в горизонтальном направлении откладываем его величину. Затем в том же направлении в масштабе откладываем активные токи l_a , l_a , перпендикулярно им l_a , l_a находим l_a , l_a . Величина общего тока:

$$| = \sqrt{(1_{s1} + 1_{s2})^2 + (1_{g1} - 1_{g2})^2} = U \sqrt{(g_1 + g_2)^2 + (g_1 + g_2)^2} = U \cdot y$$

$$\int_{-10}^{10} \sqrt{(g_1 + g_2)^2 + (g_1 + g_2)^2} = y -$$
полная проводимость цепи.

Токи вствей равны:

$$1_1 = U \sqrt{g_1^2 + g_1^2} = U \cdot y_1;$$
 (5.67)

$$I_2 = U \sqrt{g_2^2 + g_2^2} = U \cdot y_2,$$
 (5.68)

где $y_1 = \sqrt{g_1^2 + \theta_1^2}$ и $y_2 = \sqrt{g_2^2 + \theta_2^2}$ — это полное проводимости первой и второй ветвей.

Из рис. 5.9 б и в можно получить

$$tg\varphi = -\frac{g}{g}; \qquad \cos\varphi = -\frac{g}{y}. \tag{5.69}$$

Активная мощность цепи

$$P = U \cdot I \cdot \cos \phi = U \cdot I \frac{g}{y} = U \cdot I \cdot Z \cdot g = U^2 \cdot g. \quad (5.70)$$

Реактивная мощность:

$$Q = U + I \cdot \sin \varphi = U + I \cdot \frac{\theta}{y} = U + I \cdot Z + \theta = U^{2} + \theta$$
. (5.71)

Полная мощность:

$$S = \sqrt{P_2 + Q^2} = U^2 \sqrt{g^2 + g^2} = U^2 \cdot y$$
, (5.72)

где: $g=g_1+g_2$ — полная активная проводимость цепи; $e=e_1+e_2$ — полная реактивная проводимость цепи.

$$Z = \frac{1}{y}$$
 — полное сопротивление цепи.

5.10. Резонанс токов

На рис 5.10 показан колебательный контур. Здесь L- катушка индуктивности, R- активное сопротивление катушки, C-емкость. Так как активное сопротивление емкости мало, то оно в расчет не принимается.

Условием резонанса токов является совпадение по фазе общего тока и напряжения. Для этого необходимо, чтобы реактивная проводимость цепи была равна нулю:

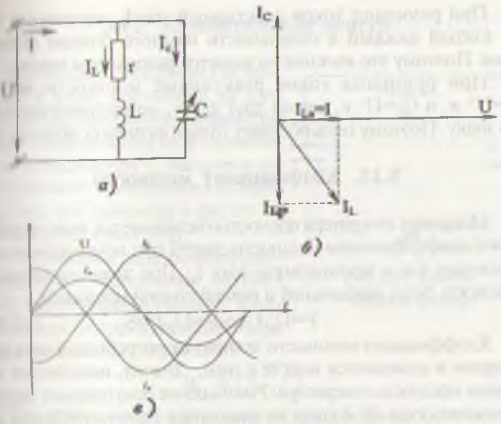


Рис. 5.10. Резонанс токов: а) схема; б) векторная диаграмма; в) графики токов и напряжений.

$$\theta = \theta_1 + \theta_2 = 0$$

$$\theta = \theta_1 = \frac{X_1}{Z_1^2} = \frac{X_1}{R^2 + X_2^2} -$$
 реактивная проводимость пер-

ной встви

$$a_{i} = e_{e} = -\frac{1}{X}$$
 — реактивная проводимость второй встви.

Следовательно, условие резонанса можно выразить так: $e_{\parallel} = e_{2} = e_{a}$, (5.73)

$$\frac{\omega L}{R^2 + (\omega L)^2} = \omega C. \qquad (5.74)$$

Реактивные токи катушки $I_{\rm LP}$ и конденсатора $I_{\rm LP}$ равны друг пругу и противоположно направлены. Поэтому общий ток цепи $I_{\rm LP}$ привен активному току (рис. 5.10 б):

$$1 \cup \sqrt{(g_1 + g_2)^2 + (g_1 + g_2)^2} = U \cdot g_1 = I_{10}. \quad (5.75)$$

При резонансе токов реактивный ток \mathbf{I}_{Lp} катушки и ток \mathbf{I}_{c} , взятый каждый в отдельности намного больше общего тока. Поэтому это явление называется резонансом токов,

При резонансе токов реактивные мощности ветвей $Q=U^2$ θ_1 и $Q_2=U^3$ θ_2 равны друг другу, но противоположны по знаку. Поэтому цепь обладает только активной мощностью.

5.11. Коэффициент мощности

Мошность генератора полностью используется, если он работает с коэффициентом мошности $\cos \phi = I$ при номинальном напряжении Uн и номинальном токе I_{μ} . При этом его активная мошность будет наибольшей и равной полной мощности.

$$P=U_{u} I_{u} \cos \varphi = U_{u} I_{u} = S_{u}$$
. (5.76)

Коэффициент мощности зависит от потребителя электроэнергии и изменяется вместе с ним. Значит, изменяется активная мощность генератора. Уменьшение соѕф означает неполное использование мощности генератора. Если потребитель работает при постоянной активной мошности и неизменном напряжении, его ток обратно пропорционален соѕф:

$$I = \frac{P}{U} \cdot \frac{1}{\cos \varphi} = \text{const} \cdot \frac{1}{\cos \varphi}$$
 (5.77)

Уменьшение соѕф ведет к увеличению тока в проводах и источнике тока, что ведет к росту потерь мошности

$$\Delta P = I^2 R. \tag{5.3}$$

Таким образом, для более полного использования генератора надо увеличивать соѕф потребителей электроэнергии. Для этого необходимо, чтобы потребители электроэнергии переменного тока работали при как можно большей мощности, так как, например, авигатели переменного тока на холостом ходу имеют соѕф—0, 0,3, а при номинальной нагрузке соѕф—0,83-0,85. Можно параллельно двигателю или группе двигателей включать конденсаторы. В этом случае энергия магнитного поля двигателя частично или полностью накапливается за счет энергии электрического поля конденсатора, т.е. провода разгружаются от обменной энергии. То же самое происходит, если параллельно линии электропередачи подключить синхронный компенсатор, являющийся источником реактивной энергии.

5.12. Колебательный контур

Рассмотрим электрические проназыва цени, состоящей из иденами катушки с индуктивностью при подключении ее к заряжензаму копленсатору С. Активное сопритильсние г катушки из-за ничто ного сто значения в расчет не принимается (рис. 5.11).

Напряжение заряженного конш атора в начальный момент (1-0) наибольшее и поэтому элекприческая энергия конденсатора очаст наибольшей и равной

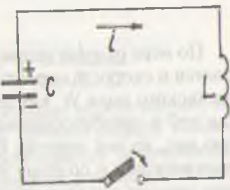
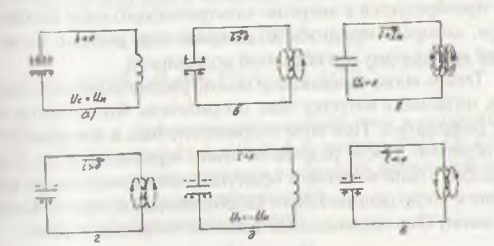


Рис. 5.11. Колебательный контур.

$$W_1 = CU^2/2.$$

Ток в этот момент равен нулю (рис. 5.12, а). С момента выпочения конденсатор начнет разряжаться через катушку и в цени возникнет ток. Одновременно с этим в катушке пошится магнитный поток и э.д.с. самоиндукции. Согласно второму закону Кирхгофа можно написать:

$$u_c + e_t = 0$$
 r.e. $u_c = -e_t = L \frac{di}{dt}$



Puc. 5.12. Процесс колебаний в контуре.

Ток в это время увеличивается со скоростью:

$$\frac{di}{dt} = \frac{u_c}{L} \tag{5.79}$$

По мере разряда напряжение конденсатора падает, уменьшается и скорость нарастания тока. При U_c =0 энергия электрического поля W_s конденсатора станет равной нулю. Так как r=0 и преобразования электрической энергии в тепловую нет, то вся энергия будет сосредоточена в магнитном поле катушки и поэтому ток в цепи будет максимальным. В этот момент энергия магнитного поля катушки будет максимальной и равной максимальной энергии электрического поля конденсатора (рис 5.12 в):

$$LI_{M}^{2}/2 = CU_{M}^{2}/2$$
,

отсюла

$$I_{in} = \frac{U_{in}}{\sqrt{L/c}} = \frac{U_{in}}{Z_{in}}, \quad (5.80)$$

где Z_в - волновое сопротивление контура.

Начиная с этого момента катушка становится источником питания, её ток начинает уменьшаться, но сохранит прежнее направление (рис 5.12 г). Этот процесс продолжается до тех пор, пока ток не уменьшится до нуля (рис 5.12 д). При этом вся энергия магнитного поля катушки преобразуется в энергию электрического поля конденсатора, который зарядится до напряжения, равного по величине начальному, но обратной полярности.

Теперь вновь конденсатор можно рассматривать как источник питания, а катушку—как потребитель. Конденсатор начнет разряжаться. При этом направление тока в нем изменяется на обратное. После разряда он снова заряжается и т.д. Таким образом, в цепи возникают незатухающие периодические колебания и такую цепь называют колебательным контуром. Согласно закону Ома максимальное значение напряжения равно

$$U_{_{u}}=\omega_{_{0}}\cdot L\cdot I_{_{u}}=\chi_{_{1}}\cdot I_{_{u}}.$$
 Исходя из этой формулы, а также формулы 5.80, находим частоту собственных колебаний контура:

$$\frac{U_{\mu}}{L} = \omega_o \cdot L = \sqrt{\frac{L}{C}}, \quad (5.81)$$

нткуда

$$\omega_{\rm b} = \frac{1}{\sqrt{\rm LC}}$$
 или $f_{\rm b} = \frac{1}{2\pi\sqrt{\rm L\cdot C}}$

В реальном контуре катушка обладает определенным активным сопротивлением. Поэтому процесс разряда кондентиры через индуктивность сопровождается непрерывным преобразованием электрической энергии в тепловую. Вследник этого имеет место затухающий колебательный процесс.

Колебательные контуры используются в радиотехнике по присма и генерации гармонических колебаний.

Задачи

Задача 5.1. На катушку индуктивности L=0,2 Гн подано напряжение U=36 В, частотой f=150 Гц и начальной филой ϕ =0. Определить действующее значение тока и напините закон изменения его.

Решение: 1. Индуктивное сопротивление катушки:

$$X_1 = 2\pi f \cdot L = 2 \cdot 3,14 \cdot 150 \cdot 0,2 = 188,4$$
 Om.

2 Действующее значение тока:

$$I=U/X$$
, =36/188,4=0,19 A.

Амплитуда тока и закон его изменения:

$$I_{1} = I \cdot \sqrt{2} = 0.19 \cdot 1.41 = 0.268 \text{ A};$$

$$i = 1$$
 $\sin \omega t = 0.268 \cdot \sin 2 \cdot 3.14 + 150t = 0.268 \cdot \sin 942t$.

Задача 5.2. Действующее значение тока и напряжения матушки равны 1=1,25 A, U=36,5 B, частота f=25 Гц. Опрежения нидуктивность катушки и написать выражения мгношим значений тока и напряжения.

Решение: 1. Ток катушки равен:

$$I = \frac{U}{X_i} = \frac{U}{2\pi f \cdot L}$$

2. Откуда индуктивность

$$L = \frac{U}{1 \cdot 2\pi f} = \frac{36,5}{1,25 \cdot 2 \cdot ,14 \cdot 25} = 0.19 \Gamma_{H}.$$

3. Выражения міновенных значений тока и напряжения:

$$\begin{split} i &= I_u \cdot \sin \omega t = I \cdot \sqrt{2} \cdot \sin \omega t = \sqrt{2} \cdot I, 25 \cdot \sin 2\pi f \cdot t = I, 86 \cdot \sin 157 \cdot t \\ u &= U_u \cdot \sin(\omega t + \pi/2) = U \cdot \sqrt{2} \cdot \sin(2\pi f \cdot t + \pi/2) = \\ &= 51.5 \cdot \sin(157t + \pi/2) = 51.5 \cdot \sin(157t + \pi/2) \end{split}$$

Задача 5.3. Действующее значение тока через конденсатор C=0,1 мкФ равно I=50 m A, частота f=500 Гц.

Определить реактивное сопротивление конденсатора и действующее значение напряжения.

Решение: 1 Реактивное сопротивление конденсатора

$$X_c = \frac{1}{2\pi f \cdot c} = \frac{1}{2 \cdot 3,14 \cdot 500 \cdot 0,1 \cdot 10^{-6}} = 3200 \text{ OM}.$$

1. Амтилитудное и действующие значения напряжения $U=I X_c=50 \ 10^{-3} \cdot 3200=160 \ B.$

$$U_M = U \cdot \sqrt{2} = 160 \cdot 1.41 = 226 \, B.$$

Задача 5.4. На два последовательно соединенных конденсатора подано напряжение U=300° В. Ток цепи I=1,25 А, напряжение на конденсаторе C_1 равно $U_1 = 144$ B, емкость $C_1 = 1.5$ мкФ. Определить емкость конденсатора C_1 и реактивную мощность цепи:

2. Напряжение на С, равно

$$U = U - U = 300 - 144 = 156 B.$$

3. При последовательном соединении конденсаторов их заряды равны. Поэтому $U_1 \cdot C_1 = U_2 \cdot C_2$. Откуда:

$$C_1 = \frac{U_2 \cdot C_2}{U_1} = \frac{156 \cdot 1.5}{144} = 1,63 \text{ MK}\Phi.$$

вадача 5.5. На два параллельно соединенных конденсатора подано напряжение U=106 B c f=50 Гц. Общий ток равен 0,15 А, С,=2С, Определить емкости и токи конденсаторов, общую мощность цепи и мощность на каждом конден-

Решение: 1. По закону Ома

$$I = \frac{U}{X_c} = \frac{U}{U/2\pi f \cdot c} = U \cdot 2\pi f \cdot C$$

Следовательно, общая емкость цепи равна:

$$C = \frac{1}{U \cdot 2\pi f} = \frac{0.15}{106 \cdot 2 \cdot 3.14 \cdot 50} = \frac{0.15}{106 \cdot 314} = 4.5 \text{ MK}\Phi.$$

2. При параллельном соединении конденсатор их общая емкость равна сумме емкостей конденсаторов.

Исходя из этого, а также из того, что C_2 =2 C_1 , находим: $C=C_1+C_2=C_1+2C_1=3C_1=4,5;$

$$C_1 = \frac{4.5}{3} = 1.5 \text{ MK}\Phi$$

$$C_2 = 2C_1 = 2 \cdot 1,5 = 3 \text{ MK}\Phi.$$

3. Токи конденсаторов пропорциональны их емкостям, по ному: I₂=2I₁; I=I₁+I₂=3I₁=0,15 A. Отсюда I₁=0,05 A, I₂=0,1 A.

4. Общая мощность и мощность на каждом конденсаторе равны:

$$Q = -U \cdot I = -106 \cdot 0.05 = -5.13$$
 вар;
 $Q = -U \cdot I_2 = -106 \cdot 0.3 = -10.6$ вар;
 $Q = Q_1 + Q_2 = -15.9$ вар.

Задача 5.6. В цени с последовательно соединенными резиспором и конденсатором міновенное значение тока $i=0,4\sin 8792$ -і А Папряжение на резисторе u=180 sin 8792 t В. Емкость конпенсатора равна С=0.18 мкФ, начальная фаза напряжения равни ф 0. Определить: 1) действующее значение входного наприжения; 2) сопротивление резистора и общее сопротивлении цепи; 3) активную, реактивную и полную мощности цепи; 4) построить векторную диаграмму цепи.

Решение: 1) Активное сопротивление цепи:

$$R = \frac{U}{I} = \frac{180}{0.4} = 450 \text{ Om}.$$

2. Частота тока: $\omega = 2\pi f = 8792 \cdot i = 2\pi f$, отсюда

$$f = \frac{8792}{6,28} = 1400 \,\Gamma_{\text{U}}$$

3. Реактивное сопротивление конденсатора

$$X_c = \frac{1}{2\pi f \cdot c} = \frac{1}{2 \cdot 3,14 \cdot 1400 \cdot 0,18 \cdot 10^{-6}} = 632$$
 Om

4. Полное сопротивление цепи

$$Z = \sqrt{R^2 + X_c^2} = \sqrt{450^2 + 632^2} = 780 \text{ Om}.$$

5. Напряжение на конденсаторе

 $U = i \cdot X = 0.4 \cdot \sin 8792 \cdot t \cdot 632 = 253 \sin 8792 t$.

 Действующие напряжения на резисторе и на конденсаторе равны:

$$U_{\rm a} = \frac{U_{\rm RM}}{\sqrt{2}} = \frac{180}{\sqrt{2}} = 125 \text{ B};$$

 $U_{\rm c} = \frac{U_{\rm ca}}{\sqrt{2}} = \frac{253}{\sqrt{2}} = 175.5 \text{ B};$

Входное напряжение равно:

$$U = \sqrt{U_R^2 + U_c^2} = \sqrt{125^2 + 175.5^2} = 220 \text{ B},$$

7. Полная мощность равна:

$$S = U \cdot I = 220 \cdot \frac{0.4}{\sqrt{2}} = 62.6 \text{ BA};$$

реактивная мощность

$$Q = U \cdot I \cdot \sin \phi = -U_c \cdot I = 175, 5 \frac{0.4}{\sqrt{2}} = -51 \text{ Bap};$$

114

нативная мошность

$$P = U_R \cdot 1 = 125 \frac{0.4}{\sqrt{2}} = 36 \ Bm$$
.

8. Построение векторной диаграммы. Общим параметром данной цепи являтегот ток. На резисторе ток и напряжение паправлены одинаково. На конденсаторе ток опережает напряжение на угол 90°. Масштаб 1 см=0,1 А, напряжение-1 см—60 В. (рис. 5.13).



Рис. 5.13. Рисунок к задаче 5.6.

Задача 5.7. Резистор с R=6,5 Ом и катушка индуктивности с L=20 мГн, конденсатор C=30 мкФ соединены послеловательно. Они подключены на напряжение U=30 В частогой f-150 Гц. Определить полное сопротивление цепи, дейтинующее значение тока, полную мощность и коэффициент мощности.

Решение: 1. Индуктивное сопротивлении катушки: $X_L = 2\pi f \cdot L = 2 \cdot 3,14 \cdot 150 \cdot 20 \cdot 10^3 = 18,84$ Ом

Емкостное сопротивление конденсатора:

$$X_{c} = \frac{1}{2\pi f \cdot C} = \frac{1}{2 \cdot 3.14 \cdot 150 \cdot 30 \cdot 10} = 38.9 \ OM.$$

Полное сопротивление цепи:

$$Z = \sqrt{R^2 + (X_1 - X_2)^2} = \sqrt{6.5^2 + (38.9 - 18.84)^2} = 20.7 \, Om$$

3. Действующее значение тока равно:

$$I = \frac{U}{Z} = \frac{30}{20.7} = 1.45 \text{ A}$$

- 3. Полная мощность: S=U·I=30·1,45=43,5 ВА.
- 4. Коэффициент мощности

$$\cos \varphi = \frac{R}{Z} = \frac{6.5}{20.7} = 0.314$$
.

3ada4a 5.8. Резистор R=35 Ом, катушка L=30 мГн, конаштатор C=15 мкФ соединены последовательно.

Ток цепи равен I=1,5 sin (1884 t-30°). Определить: полную мощность, полное сопротивление цепи, действующие значения входного напряжения и тока. Написать выражения активного, индуктивного, емкостного и входного напряжений. Постройте векторную диаграмму.

Решение: Индуктивное сопротивление катушки

 $X_1 = 2\pi f \cdot L = \omega \cdot L = 1884 \cdot 30 \cdot 10^{-3} = 56,50 \text{ M}.$

Емкостное сопротивление равно:

$$X_{*} = \frac{1}{2\pi f \cdot c} = \frac{1}{\omega C} = \frac{1}{1884 \cdot 15 \cdot 10^{-4}} = 35,3 \text{ Om};$$

полное сопротивление

$$Z = \sqrt{R^2 + (X_1 - X_5)^2} = \sqrt{35^2 + (56.5 - 35.3)^2} = 410$$
M

2. Действующее значение тока

$$I = \frac{I_M}{\sqrt{2}} = \frac{1.5}{\sqrt{2}} = 1.07 \text{ A}.$$

3. Действующее значение напряжения $U=1\cdot Z=1,07\cdot 41=43.9~B.$

4. Полная мощность

S=U·I=43,9·1,07=47 BA.

Выражение мгновенного значения напряжения на резисторе
 I = I -R sin (см-с0)=1 5-35 sin(1884 t- 30°)=52 5 sin(1884 t- 30°) В:

 $\rm U_{\rm R}\!\!=\!\!I_{\rm M}\!\!:\!\!R$ sin (ot- ϕ)=1,5·35 sin(1884·t-30°)=52,5·sin(1884t-30°) В; на катушке

$$u_{L} = L \frac{di}{dt} = \frac{L \cdot d[(1.5 \cdot \sin(1884t - 30))]}{dt} = \omega L \cdot 1.5$$

$$\cdot \sin(188t - 30^{\circ} + 90^{\circ}) = X_{L} \cdot 1_{M} \cdot \sin(1884t + 60^{\circ}) =$$

$$= 85.75 \cdot \sin(1884t + 60^{\circ})B;$$

на конденсаторе ток опережает напряжение на 90° u_=I-X_:sin(1884 t-30°-90°)=52,95(1884e-120°) В.

6. Коэффициент мощности:

$$\cos \phi = \frac{R}{Z} = \frac{35}{41} = 0.85 \quad \phi = 31^{\circ}$$

7. Выражение входного напряжения

$$u = U_M \cdot \sin(\omega t - 30^\circ + 31^\circ) = 43.9\sqrt{2} \cdot \sin(\omega t + 1^\circ) =$$

= 61.5 \sin(1884t + 1^\circ)B.

8. Построение векторной диаграммы. По отношению к горивопывьной линии под углом 30° откладываем вектор тока. В этом ме напряжения U_R . После этого под углами 60° и =120° к горивоппыи откладываем векторы U_L и U_L . Векторная сумма U_R , U_L и U_L лают вектор общего напряжения. Для построения векторной пыпраммы используем лействующие значения: 1=1,07 A.

$$U_{*} = \frac{U_{*M}}{\sqrt{2}} = \frac{52.5}{1.41} = 36.7 \text{ B}; \ U_{*} = \frac{U_{*M}}{\sqrt{2}} = \frac{85.75}{1.41} = 60.1 \text{B};$$

$$U_{\rm c} = \frac{U_{\rm cm}}{\sqrt{2}} = \frac{52,95}{1,41} = 36,8 \, \text{B}.$$

Масштаб: тока — 1 см=1А; напряжения — 1 см=10 В (рис. 5.14).

Задача 5.9. К катушке с индуктивностью L=0,1 Гн и активным сопротивлением R=300 Ом паравлельно подключен конденсатор C=10 мкФ. Напряжение источника тока, подключенного к цепи 11=20 В, частота f=1000 Ги. Определить методом проводимостей следующие параметры цепи, ток, активную, реактивную и полную мощности цепи.

Решение: 1. Индуктивное сопротивление: $X_1 = \omega L = 2 \cdot 3, 14 \cdot 1000 \cdot 0, 1 = 628$ Ом Полное сопротивление катушки:

Puc. 5.14. Рисунок к задаче 5.8.

$$Z_{_1} = \sqrt{R_{_1}^2 + X_{_1}^2} = \sqrt{300^2 + 628^2} = \sqrt{485000} \text{ Om;}$$

$$Z_{_1}^2 = 485000 \text{ Om}^3.$$

2. Для первой ветви активная проводимость

$$g_1 = \frac{R_1}{Z_1^2} = \frac{300}{485000} = 6.18 \cdot 10^{-4} \text{ Om}^{-1}$$

реактивная проводимость

$$\theta_{1} = \frac{X_{1}}{Z_{1}^{2}} = \frac{628}{485000} = 13 \cdot 10^{-4} \text{ Om}^{-1}$$

полная проводимость

 $y_1 = \sqrt{g_1^3 + g_1^2} = \sqrt{(6.18 \cdot 10^{-4})^2 + (13 \cdot 10^{-4})^2} = 14.4 \cdot 10^{-4} \text{ Om}^{-1};$ активный ток: $I_{a_1} = U \cdot g_1 = 20 \cdot 6.18 \cdot 10^{-4} = 12.36 \cdot 10^{-4}$, реактивный ток: $I_{p_1} = U \cdot g_1 = 20 \cdot 13 \cdot 10^{-4} = 26 \cdot 10^{-3} \text{ A};$ полный ток $I = U \cdot y_1 = 20 \cdot 14.4 \cdot 10^{-4} = 28.8 \cdot 10^{-4} \text{ A};$ коэффициент мощности:

$$\cos\phi = \frac{g_{_1}}{y_{_1}} = \frac{6.18 \cdot 10^{_{-4}}}{14.4 \cdot 10^{_{-4}}} = 0.43 \quad \phi = 64^{\circ} \ ,$$

3. Для второй ветви:

полная проводимость равна реактивной проводимости:

 $y_1 = \theta_2 = -\theta = -\omega C = 6280 \cdot 10 \cdot 10^6 = -628 \cdot 10^4 \text{ OM}^{-1}$

Ток второй ветви состоит только из реактивной составляющей:

4. Для цепи:

полная проводимость

$$y = \sqrt{(g_1 + g_2)^2 + (B_1 + B_2)^2} = \sqrt{(6.18 \cdot 10^{-4})^2 + (13 \cdot 10^{-4} - 628 \cdot 10^{-4})^2} =$$

$$= 615.1 \cdot 10^{-4} \text{ OM}$$

активная проводимость: $g=g_1+g_2=6,18\cdot 10^{-4}$ Ом 1 ; реактивная проводимость:

 $e=e_1+e=13\cdot10^4+(-628\cdot10^{-4})=-615\cdot10^{-4}$ Ом ¹; ток: I=U y=20·615,1·10·4=1,23 A; активная мощность: $P=U^2\cdot g=20^2\cdot 6,18\cdot10^{-4}=24,72\cdot10^{-}$ Вт; реактивная мощность: $Q=U^2\cdot g=20^2\cdot(-615\cdot10^{-4})=-24,6$ вар; полная мощность: $S=U^2\cdot y=20^2\cdot615,1\cdot10^{-4}=24,61$ ВА; коэффициент мощности:

$$\cos\phi = \frac{g}{y} = \frac{6.18 \cdot 10^{-4}}{615.1 \cdot 10^{-4}} = 0.01 \quad \phi = -89^{\circ}30^{\circ}.$$

ГЛАВА 6

трехфазный ток

Многофазной системой электрических цепей называется пистема, состоящая из нескольких синусоидальных цепей переменного тока одной частоты, сдвинутых относительно друг аруга на одинаковый угол и вырабатываемых одним генератором. Отдельные цепи многофазной системы сокращенно штываются фазами. По числу фаз бывают двухфазные, трехнистемые, писстифазные и т.д. монофазные системы. В настояние время самое широкое распространение получила трехфазных система. Причинами этого являются:

I, Применение трехфазной системы вместо трех однофазных систем даёт экономию меди.

2. При помощи трехфазного тока можно легко получить пришающееся магнитное поле, которое широко применяется п исинхронных электродвигателях.

 Один трехфазный генератор удобнее использовать, чем три однофазных. Это касается также трехфазных двигателей и трехфазных трансформаторов.

4. Дает возможность получения двух видов напряжений: анцейного и фазного.

Трехфазный ток изобрел русский инженер М. О. Долипо Добровольский. Им созданы трехфазный генератор, трехфильный двигатель, трехфазный трансформатор и впервые опуществлена передача электроэнергии трехфазного тока.

6.1. Получение трехфазного тока

На рис. 6.1 показана упрощенная схема трехфазного генеритора. На статоре расположены под углом 2π/3 друг к другу три обмотки, называемые фазами. Каждая обмотка показана как один виток. Начало обмоток обозначены букломи А. В. С. а концы Х. У и Z. Ротор и его обмотка

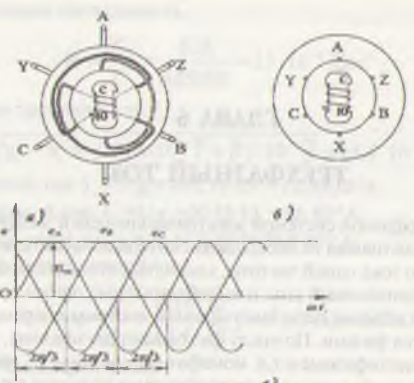


Рис. 6.1. Простейший генератор трехфазного тока: а и б) устройство; в) графики э.д.с.

показаны в виде постоянного магнита. При вращении ротора его магнитное поле пересекает обмотки статора и наводит в них э.д.с. одинаковой частоты. При t=0 э.д.с., наводимую в фазе А, можно выразить ток:

$$E_A = E_M \sin \omega t.$$
 (6.1)

Э.д.с. фазы В по отношению к э.д.с. фазы А сдвинута на 1/3 периода, т.е.

$$e_{\rm B} = E_{\rm M} \cdot \sin(\omega t - 120^{\circ});$$
 (6.2)

э.д.с. фазы с отстает от э.д.с. фазы В на 1/3 периода или

$$e_{a}=E_{M}\sin(\omega t-240^{\circ})=E_{M}\sin(\omega t+120^{\circ}).$$
 (6.3)

опережает э.д.с. фазы A на $\frac{1}{3}$ периода: $c_c = E_M \sin(\omega t - 240^\circ) = E_M \sin(\omega t + 120^\circ)$. (6.3)

На рис. 6.1 показаны графики э.д.с. обмоток генератора. Обычно положительные направления э.д.с. в обмотках генератора выбираются от концов обмоток к ее началам. Трехфазная система считается симметричной, если амплитуды э.д.с. обмоток равны и между ними одинаковые углы сдвига фаз. Обмотки генератора могут соединяться звездой или треугольником. Это дает возможность вместо шести проводов применить гри или четыре провода.

6.2. Соединение обмоток генератора звездой

При соединении обмоток генератора звездой начала фаз В, С или концы Х, У, Z соединяются между собой. Узел, образующийся при этом, называется нейтральной точкой. Провод, отходящий от нейтральной точки, называется нейтральным проводом. Провода, отходящие от свободных концов фаз, ин вываются линейными проводами. Напряжение между любыми двумя линейными проводами называется линейным напряжением и обозначается $\mathbf{U}_{\mathrm{AB}},\ \mathbf{U}_{\mathrm{BC}},\ \mathbf{U}_{\mathrm{C}}$ или в общем виде U_{C} (рис. 6.2). Напряжение между любым линейным и нейтральным проводами называется фазным напряжением и обозначается U_A, U_B, U_C или в общем виде U_A

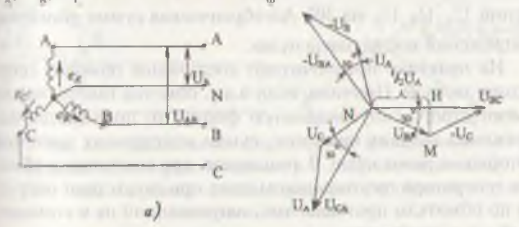


Рис. 6.2. Соединение обноток генератора звездой: а) схема; б) векторная диаграмма.

На основании второго закона Кирхгофа мгновенное значение линейного напряжения между фазами А и В равно

UAB=UA-UB. (6.4)Аналогично, для двух других линейных напряжений

можно написать

$$U_{BC} = U_B - U_C;$$
 (6.5)

 $U_{\rm BC}=U_{\rm B}-U_{\rm C};$ (6.5) $U_{\rm CA}=U_{\rm c}-U_{\rm c}$. (6.6) Следовательно, мгновенное значение любого линейного ниприжения равно алгебраической разности мгновенных значений соответствующих фазных напряжений.

Аналогично, действующие значения линейных напряжений равны:

$$U_{AB} = \overline{U}_A - \overline{U}_B$$
; $\overline{U}_{BC} = \overline{U}_B - U_C$; $\overline{U}_{CA} = \overline{U}_C - \overline{U}_A$. (6.7)

Значит, вектор линейного напряжения равен разности векторов соответствующих фазных напряжений (рис. 6.2. б). Из прямоугольного треугольника NHM получаем:

$$\frac{1}{2}U_{\bullet} = U_{\phi}\cos 30^{\circ} = U_{\bullet} \frac{\sqrt{3}}{2}$$
 (6.8)

Следовательно, действующее значение линейного напряжения больше фазного в √3 раз.

Кроме того, из рис. 6.2. б. следует, что в симметричной трехфазной системе векторы линейных напряжений U_{AB}, U_{BC}, U_{CA} опережают соответствующие фазные напряжения U_A, U_B, U_C на 30°. Алгебраическая сумма линейных

напряжений всегда равна нулю.

На практике предпочитают соединение обмоток генератора звездой. Причина: если э.д.с. обмоток генератора не имеют строго синусоидальную форму, то появляются напряжения высших гармоник, сумма мітювенных значений которых не равна нулю. В результате, при соединении обмоток генератора треугольником даже при отсутствии нагрузки по обмоткам протекает ток, нагревающий их и снижающий к п.д. генератора.

При наличии нейтрального провода трехфазная система будет четырехпроводной, что дает возможность получения фазных и линейных напряжений.

6.3. Соединение обмоток генератора треугольником

Для соединения обмоток генератор треугольником надо конец фазы А соединить с началом фазы В, конец фазы В соединить началом фазы С, конец фазы С соединить с началом фазы А (рис.6.3). При этом линейные и фазные напря-

жения будут равны друг другу: $U_{AB} = U_{A}$, $U_{AB} = U_{A}$, $U_{AB} = U_{A}$ (6.9) При таком соединении обмотки генератора образуют зам кнутый контур с очень маленьким сопротивлением. При отсутствии потребителя электроэнергии ток в контуре равен нулю, так как сумма э.д.с. фаз равна нулю (рис. 6.3. б):

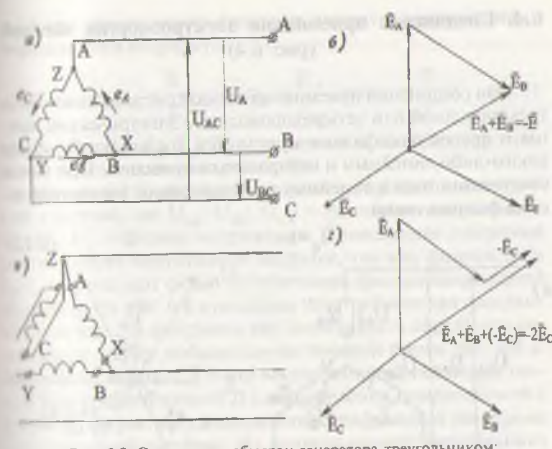


Рис. 6.3. Соединение обмоток генератора треугольником: а) схема; б) векторная диаграмма; в и г) пример неправильного соединения обмоток генератора и векторная лиаграмма при этом.

$$\overline{E}_A + \overline{E}_B = -E_c$$

$$-\overline{E}_c + \overline{E}_c = 0.$$
(6.10)

Пенравильное соединение обмоток генератора очень опасно. Папример, перепутали начало и конец фазы С. При этом интебраическая сумма э.д.с. обмоток генератора будет равна (рис. 6.3 в, г):

$$E_A + E_B + (-E_c) = -E_c - E = -2E_c,$$
 (6.11)

с равна удвоенной фазной э.д.с., что равносильно короткиму замыканию генератора.

6.4. Соединение приемников электроэнергии звездой (рис. 6.4)

При соединении приемников звездой система может быть трехпроводной или четырехпроводной. Электрические лампы и другие однофазные приемники соединяются между каким-либо линейным и нейтральным проводом. При таком соединении токи в линейных проводах равны соответствующим фазным токам

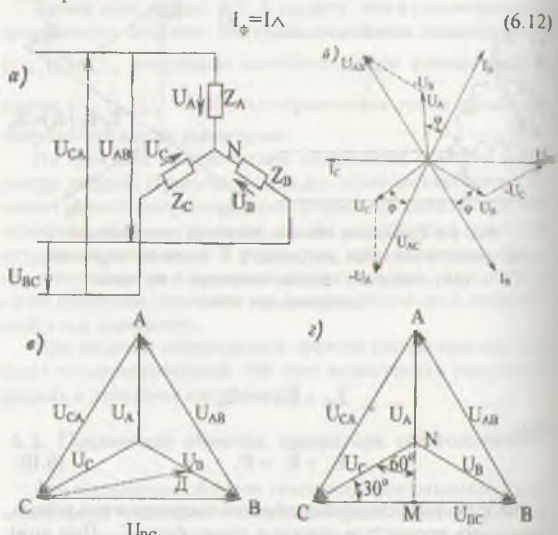


Рис. 6.4. Соединение приемников электроэнергии звездой: а) схема; б) векторная днаграмма; в) топографическая днаграмма; г) топографическая диаграмма симметричной системы.

Фазные токи равны:

$$I_{A} = \frac{U_{A}}{Z_{A}}; I_{B} = \frac{U_{B}}{Z_{B}}; I_{c} = \frac{U_{c}}{Z_{c}}$$
 (6.13)

Утлы сдвига между фазными токами и напряжениями ппределяются из формул:

$$\cos\phi_{\text{A}} = \frac{R_{\text{A}}}{Z_{\text{A}}}; \cos\phi_{\text{B}} = \frac{R_{\text{B}}}{Z_{\text{B}}}; \cos\phi_{\text{c}} = \frac{R_{\text{c}}}{Z_{\text{c}}}, \quad (6.14)$$

тие $R_{\rm A}, R_{\rm B}, R_{\rm C}, Z_{\rm A}, Z_{\rm B}, Z_{\rm C}$ – активные и полные сопротивний приемников электроэнергии.

На рис. 6.4.6 показана векторная диаграмма симметричной системы, где $U_{\rm AB},\ U_{\rm BC},\ U_{\rm AC}$ — линейные напряжения, $U_{\rm B},\ U_{\rm C}$ — фазные напряжения. Приведенная диаграмма системствует индуктивной нагрузке, так как фазные токи $I_{\rm C}$ $I_{\rm R}$ и $I_{\rm C}$ отстают от соответствующих фазных напряжений ин угол Φ . На рис. 6.4 в показана топографическая диаграмма системы. Эта диаграмма дает возможность определить напряжение между любыми двумя точками схемы рис. 6.4 а. Например, вектор СД — это вектор напряжения между точтой C и средней точкой D сопротивления, соединенного сраио D в D на рис. D на рис.

$$U_{BC} = \sqrt{3} \cdot U_c$$
 m.e. $U_{\uparrow} = \sqrt{3} \cdot U_{\phi}$

Согласно первому закону Кирхгофа мгновенное значение тока нейтрального провода равно алгебраической сумме фалимах токов:

$$i_{N} = i_{A} + i_{B} + i_{C}.$$
 (6.15)

В векторном изображении

$$I_N = I_A + I_B + I_C$$
. (6.16)

В большинстве случаев ток нейтрального провода меньше тока линейных проводов. Поэтому сечение нейтрального провода берится меньше или равным сечению линейного провода.

Роль нейтрального провода:

1. Псйтральный провод уравнивает напряжения фаз. В насимметричной системе при отсутствии нейтрального провода напряжение будет больше там, где больше сопротивление. В симметричной системе ток нейтрального провода рашен пулю, поэтому его можно убрать.

2. Если при отсутствии нейтрального провода в одной ил фаз произойдет короткое замыкание, то в оставшихся днух других фазах напряжение увеличится в $\sqrt{3}$ раз, так как ли нейный провод короткозамкнутой фазы оказывается присоединенным к нейтральной точке. В результате оставилиеся две фазы окажутся под линейным напряжением, которое больше фазного в $\sqrt{3}$ раз. По этим причинам для предотвращения обрыва нейтрального провода в нем не устанавливаются предохранители и автоматические выключатели. Расчет грехфа ной системы при симметричной нагрузке сводится к расчету одной фазы. Фазное напряжение:

$$U_{\varphi} = U_{\varphi} / \sqrt{3}$$
. (6.17)

Фазные и линейные токи:

$$I_{\phi} = U_{\phi}/Z_{\phi},$$
 (6.18) где $Z_{\phi} = 0$ полное сопротивление фазы. Коэффициент мощности

$$\cos\phi = R_{\phi}/Z_{\phi}, \tag{6.19}$$
 где R_{ϕ} — активное сопротивление фазы.

Активная мощность одной фазы:
$$P_{\phi} = U_{\phi} I_{\phi} \cos \phi$$
.

Активная мощность трехфазной системы:

$$P = 3P_{\phi} = 3U_{\phi} \cdot I_{\phi} \cdot \cos\varphi = \sqrt{3} \cdot U_{\phi} \cdot I_{\phi} \cdot \cos\varphi. \quad (6.21)$$

Реактивная мощность одной фазы:

$$Q_{\phi} = U_{\phi} \cdot I_{\phi} \cdot \sin \phi. \tag{6.22}$$

(6.20)

Реактивная мощность трехфазной системы:

$$Q = \sqrt{3} \cdot U_{\Delta} \cdot I_{\Delta} \cdot \sin \varphi. \tag{6.23}$$

Полная мощность трехфазной системы:

$$S = 3 \cdot U_{\phi} \cdot I_{\phi} = \sqrt{3} \cdot U_{\phi} \cdot I_{\phi}$$

При несимметричной нагрузке монность трехфазной системы находится, как сумма мощностей всех трех фаз.

6.5. Соединение приемников электроэнергии треугольником

При соединении треугольником приемники электроэнергии подключаются непосредственно к линейным проводам. Поэтому линейные и фазные напряжения равны друг другу (рис. 6.5. а).

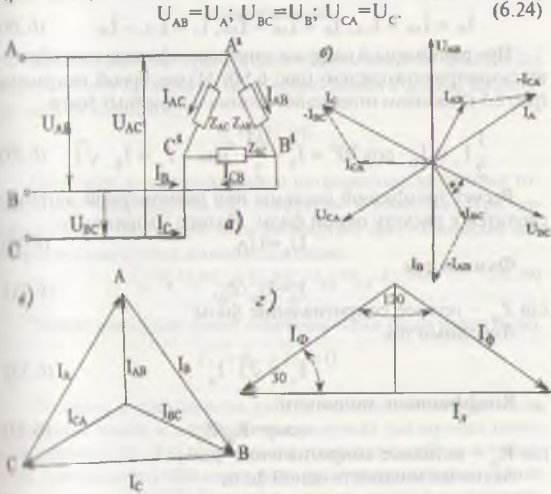


Рис. 6.5. Соединение приёмников электроэнергии треугольником: а) схема; б и в) векторные диаграммы токов и напряжений; і) диаграмма определения соотношения линейных фазных токов.

За положительное направление линейных токов принимистся направление от источника питания к нагрузке (рис. 6 5 а). Для мгновенных значений токов узла А согласно первому закону Кирхгофа можно написать:

$$i_A + i_{CA} = i_{AB}$$
 или $i_A = i_{AB} - i_{CA}$. (6.25)

$$\mathbf{i}_{\mathbf{A}} + \mathbf{i}_{\mathbf{C}_{\mathbf{A}}} = \mathbf{i}_{\mathbf{A}\mathbf{B}} \text{ или } \mathbf{i}_{\mathbf{A}} = \mathbf{i}_{\mathbf{A}\mathbf{B}} - \mathbf{i}_{\mathbf{C}\mathbf{A}}.$$
 (6.25)
Аналогично для узлов В и С:
 $\mathbf{i}_{\mathbf{B}} = \mathbf{i}_{\mathbf{A}} - \mathbf{i}_{\mathbf{A}}$ (6.26)

$$i_{c} = i_{ca} - i_{ab}$$
 (6.27)

Таким образом, мгновенные значения линейных токов равны разности мгновенных значений токов двух фаз, соединенных с этим линейным проводом. Значит, вектор линейного тока равен векторной разности соответствующих

$$\bar{I}_{A} = \bar{I}_{AB} - \bar{I}_{CA}, \bar{I}_{B} = \bar{I}_{AB} - \bar{I}_{AB}, \bar{I}_{c} = \bar{I}_{CA} - \bar{I}_{BC}$$
 (6.28)

При равномерной нагрузке линейные и фазные токи обрязу ют симметричную систему (рис. 6.5 б). Из векторной диаграммы (рис 6.5 г) находим отношения фазных и линейных токов.

$$\frac{1}{2}I_{A} = I_{\Phi} \cdot \cos 30^{\circ} = I_{\Phi} \cdot \frac{\sqrt{3}}{2} \quad unu \quad I_{A} = I_{\Phi} \cdot \sqrt{3} . \quad (6.29)$$

Расчет трехфазной системы при равномерной нагруже сводится к расчету одной фазы. Фазное напряжение: $U_{\varphi}{=}U_{\wedge}. \tag{6.30}$

$$U_{\phi} = U_{\wedge}$$
. (6.30)
Фазный ток

 $I_{\phi} = U_{\phi}/Z_{\phi},$ где $Z_{\phi} = \pi$ полное сопротивление фазы Линейный ток

$$I_{\Delta} = \sqrt{3} \cdot I_{\Delta}. \tag{6.32}$$

(6.31)

Коэффициент мощности

$$\cos \varphi = R_{\phi}/Z_{\phi}, \qquad (6.11)$$

 $\cos \phi = R_{\varphi}/Z_{\varphi},$ где R_{φ} – активное сопротивление фазы. Активная мощность одной фазы

$$P_{\phi} = U_{\phi} \cdot I_{\phi} \cos \phi. \tag{6.14}$$

Активная мощность трехфазной цепи

$$P = 3P_{\phi} = 3 \cdot U_{\phi} \cdot I_{\phi} \cdot \cos\phi = \sqrt{3}U_{\phi} \cdot I_{\phi} \cdot \cos\phi. \quad (6.15)$$

Реактивная мощность трехфазной цепи

$$Q = \sqrt{3} \cdot U_{\bullet} \cdot I_{\bullet} \cdot \sin \varphi, \qquad (6.16)$$

так как

$$I_{\phi} = I_{\wedge} / \sqrt{3} . \qquad (6.37)$$

Полная мошность системы

$$S = 3U_{\phi} \cdot I_{\phi} = \sqrt{3}U_{\phi} \cdot I_{\phi}$$
 (6.38)

Если нагрузка фаз неравномерна, то мошность системы определяется как сумма мошностей всех трех фаз.

6.6. Свойства линейных токов и линейных напряжений

При соединении приемников электроэнергии звездой без нейтрального провода на основании первого закона Кирхгофа можно написать:

$$i_A + i_B + i = 0$$

При этом за положительное направление линейных токов взято направление от генератора к нагрузке. При соединении приемников электроэнергии треугольником алгебраическая сумма линейных токов:

$$i_A + i_B + i_c = i_{AB} - i_{CA} + i_{BC} - i_{AB} + i_{CA} - i_{BC} = 0.$$
 (6.39)

Значит векторная сумма линейных токов будет равна нулю.

$$I_A + I_B + \overline{I}_C = 0$$

Поэтому в трехфазном кабеле намагничивающая сила нинейных токов и алгебраическая сумма магнитных потоков равна нулю. Это дает возможность одеть кабель в стальпуто (свинцовую) оболочку для предохранения от механических повреждений. Векторная сумма линейных напряжений равна нулю и образует замкнутый треугольник

$$U_{AB} + U_{BC} + U_{CA} = 0$$
 (6.40)

Пользуясь этим, в трехфазной системе можно при помощи возы метра измерить сдвиг фаз между напряжениями. Если U =U =U_{CA}, то система напряжений образует равносторонний треугольник, и угол сдвига фаз между смежными линейпыли напряжениями составляет 120° (рис.6.4.г). При неравных инейных напряжениях из них строится замкнугый треугольшик и по нему определяются углы сдвига фаз.

6.7. Присоединение приемников электроэнергии к трехфазной сети

При этом надо учитывать три фактора: виды нагрузок, номинальное напряжение сети, номинальное напряжение приемника электроэнергии.

 Напряжение сети (линейное) U_с=380 В, напряжение лампы-220 В. Определите схему подключения.

Так как напряжение ламп 220 В, то их необходимо подключить к фазному напряжению. Поэтому пользуемся схемой соединения звездой с нейтральным проводом.

2. Линейное напряжение сети U =220 В, напряжение ламп 220 В. В этом случае лампы необходимо подключить прямо на линейное напряжение. Значит, лампы надо подключить треугольником.

3. Номинальное напряжение элекгродвигателя U=220 В, напряжение сети 380 В. Обмотки двигателя образуют симметричную систему. Поэтому нейтральный провод не нужен. Если обмотки двигателя соединить треугольником, то каждая обмотка окажется под напряжением 380 В и они будут перегреваться. Следовательно обмотки двигателя надо соединить звездой.

6.8. Вращающееся магнитное поле трехфазного тока

Через катушку (рис. 6.6 а) проходит синусоидальный ток. Магнитное поле катушки характеризуется вектором магнитной индукции. Направление этого вектора зависит от направления тока в данный момент времени. Начало катушки обозначено буквой Н, конец - буквой К. За положительное направление тока принимается направление от начало катушки к концу (положительный полупериод синусоидального тока). При этом согласно правилу буравчика вектор магнитной индукции будет направлен вверх. В отрицательный полупериод вектор магнитной индукции будет направлен вниз. Следовательно, ось катушки является геометрическим местом концов векторов магнитной индукции. Такос магнитное поле называется пульсирующим магнитным полем. Теперь расположим три одинаковые катушки, чтобы их оси были сдвинуты между собой на 120°. Подключим катушки к симметричной трехфазной системе э.д.с. Магнитные индукции катушек равны.

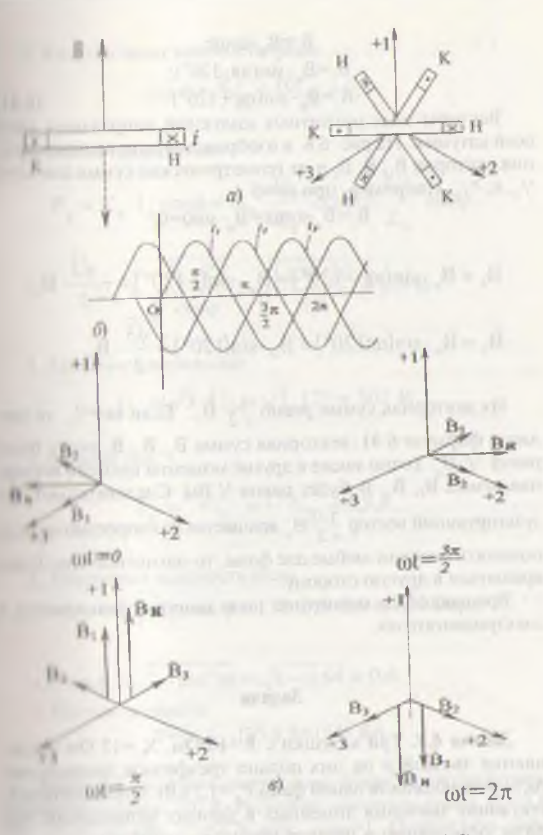


Рис. 6.6. Получение вращающегося магнитного поля:

а) магнитния индукция пульсирующего магнитного поля;

б) графики токов грёх одинаковых катушек; в) значения

втпрующего вектора магнитной пидукции вращающегося

магнитного поля для различных моментов времени.

$$B_1 = B_M \sin \omega t;$$

 $B_2 = B_M \sin (\omega t - 120^\circ);$
 $B_3 = B_M \sin (\omega t + 120^\circ).$ (6.41)

Векторы этих магнитных индукций направлены вдоль осей катушек. На рис. 6.6. в изображены мгновенные значения векторов B, В, В, и их геометрическая сумма для ωt=0, $\pi/_{2}$, π , $3\pi/_{2}$. Например, при $\omega t=0$

$$B_1 = B_M \sin \omega t = B_M \sin \omega t = 0;$$

$$B_{2} = B_{u} \cdot \sin(\omega t - 120^{\circ}) = B_{u} \cdot \sin(-120^{\circ}) = -\frac{\sqrt{3}}{2} \cdot B_{u};$$

$$B_{3} = B_{u} \cdot \sin(\omega t 120^{\circ}) = B_{u} \cdot \sin(120^{\circ}) = \frac{\sqrt{3}}{2} \cdot B_{u}.$$

Их векторная сумма равно $\frac{3}{2} \cdot B_n$. Если $\omega t^{-n}/_2$, то согласно формулс 6.41. векторная сумма B_1 , B_2 , B_3 , также будет равна $^3/$, B_4 . Точно также в другие моменты времени векторная сумма B_1 , B_2 , B_3 будет равна $^3/$, B_4 . Следовательно, результирующий вектор $\frac{3}{2} \cdot B_{_{\rm H}}$ вращается со скоростью ω . Если поменять местами любые две фазы, то магнитное поле будет вращаться в другую сторону.

Врашающееся магнитное поле широко применяется в электродвигателях.

Задача 6.1. Три катушки с R=16 Ом, X_L=12 Ом соединяются звездой и на них подано трехфазное напряжение. Активная мошность одной фазы P_{ϕ} =1,2 кВт. Определить действующие значения линейных и фазных напряжений, ток фазы, реактивную и полную мощность нагрузки.

1. Полное сопротивление фазы:

$$Z_{\varphi} = \sqrt{R^2 + X_L^2} = \sqrt{16^2 + 12^2} = \sqrt{256 + 144} = 20 \text{ Om} \; .$$

1 Кожффициент мощности фазы

$$\cos \varphi = R/Z = \frac{16}{20} = 0.8$$
.

1 Фагшое напряжение

$$P_{\phi} = U_{\phi} \cdot I_{\phi} \cdot \cos\phi = U_{\phi} \cdot \frac{U_{\phi}}{Z_{\phi}} \cdot \cos\phi = \frac{U^{2}}{Z_{\phi}} \cdot \cos\phi;$$

$$U_{\phi} = \sqrt{\frac{P_{\phi} \cdot Z_{\phi}}{\cos\phi}} = \sqrt{\frac{1200 \cdot 20}{0.8}} = 175 \,\mathrm{B}.$$

4 Линейное напряжение

$$U_{A} = \sqrt{3} \cdot U_{\phi} = \sqrt{3} \cdot 175 = 302 \text{ B}.$$

§ Фалый ток

$$I_{\phi} = \frac{U_{\phi}}{Z_{\phi}} = 175/20 = 8.8 \,\text{A}$$

6 Реактивная мощность фазы

$$Q_{+} = U_{+} I_{+} - \sin \varphi = 175 \cdot 8.8 \cdot 0.6 = 924 \text{ Bap},$$

$$\sin \phi = \sqrt{1 - \cos^2 \phi} = \sqrt{1 - 0.64} = 0.6.$$

видина 6.2. Линейное напряжение четырехпроводной трехтания сти равно 220 В. Активная мощность равна: P₄=3,8 кВт, Р =0,76 кВт, соѕф=1. Определить дейтвумние инмение тока нейтрального провода.

1 Филиос напряжение равно

$$U_{\phi} = U_{\phi} / \sqrt{3} = 220 / \sqrt{3} = 127 \text{ B}.$$

2. Фазные токи равны:

$$I_{A} = \frac{P_{A}}{U_{\phi}} = \frac{3.8 \cdot 10^{3}}{127} = 30 \text{ A};$$

$$I_{B} = \frac{P_{B}}{U_{\phi}} = \frac{2.54 \cdot 10^{3}}{127} = 20 \text{ A};$$

$$I_{A} = \frac{P_{C}}{U_{\phi}} = \frac{0.76 \cdot 10^{3}}{127} = 6 \text{ A}.$$

Действующее значение тока в нейтральном проводе находим из векторной диаграммы рис. 6.7. 1 = 22 А.

Задача 6.3. Линейное напряжение четырехпроводной трехфазной сети равно 380 В, частота 50 Гц. К нему подключена нагрузка, соединенная звездой: в фазе А индуктивность с $L_{\rm a}$ =0,2 Гн и $R_{\rm a}$ =60 Ом, в фазе В $R_{\rm B}$ =70 Ом, в фазе С кон-

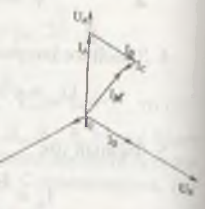


Рис. 6.7. Рисунок к задаче 6.2.

денсатор C=40 мкФ и R_c=30 Ом. Определить липейные и фазные токи, а также полную мощность.

Решение:

1. Полные сопротивления фаз:

$$Z_{A} = \sqrt{R_{a}^{2} + X_{L}^{2}} = \sqrt{60^{2} + (62.8)^{2}} = 87 \text{ OM}$$

$$X_{c} = 2\pi f L = 2.3, 14.50.0, 2 = 62.8 \text{ OM};$$

$$Z_{c} = \sqrt{R_{c}^{2} + X_{c}^{2}} = \sqrt{30^{2} + 80^{2}} = 85.4 \text{ OM}.$$

$$X_a = \frac{1}{2\pi f \cdot c} = \frac{1}{2 \cdot 3,14 \cdot 50 \cdot 40 \cdot 10^a} = 80 \text{ OM}.$$

2. Фазное напряжение

$$U_{\phi} = \frac{U_{\phi}}{\sqrt{3}} = \frac{380}{\sqrt{3}} = 220 \text{ B}.$$

1 Фальне токи

$$I_A = \frac{U_{\phi}}{Z_{\Delta}} = \frac{220}{87} = 2,53 \text{ A};$$

$$I_c = \frac{U_{\phi}}{Z} = \frac{220}{70} = 3,14 \text{ A}; \qquad I_c = \frac{U_{\phi}}{Z} = \frac{220}{85,4} = 2.57 \text{ A}.$$

4 Активные мощности фаз

$$P_A = I_a^2 \cdot R_A = (2.53)^2 \cdot 60 = 384 Bm;$$

 $P_B = I_B^2 \cdot R_B = (2.14)^2 \cdot 70 = 690 Bm;$
 $P_a = I_a^2 \cdot R_A = (2.57)^2 \cdot 30 = 198 Bm.$

1 Реактивные мощности фаз

$$Q_A = I_a^2 \cdot X_1 = (2,53)^2 \cdot 62,8 = 402 \text{ Bap}$$

$$Q_B = 0$$

$$Q_C = (I_A)^2 \cdot X_C = (2,57)^2 \cdot 80 = -530 \text{ Bap}$$

6 Полная активная мощность $P = P_A + P_B + P_C = 384 + 690 + 198 = 127$ Вт

7 Полная реактивная мощность $Q = Q_A + Q_C = 402 - 530 = -128 \text{ Bap}$

В Полная мощность

$$S = \sqrt{P^2 + Q^2} = \sqrt{(1272)^2 + (-128)^2} = 1273 \,\text{BA}$$

Індича 6.4. Три группы ламп соединены треугольником ти выждой фазе 40 ламп, соединенных параллельно, ток одпол зампы 1=0,4 А). Они подключены к трехфазной сети с иниппиым напряжением UA=127 В. Определить фазное нащи в спис, действующее значение линейного тока, полную вышинсть и сопротивление фазы

Prinerine:

Фатное напряжение равно линейному

 $U_{A} = U_{A} = 127 B.$

Сопротивление фазы

$$R_{\bullet} = \frac{U_{\phi}}{I_{\phi}} = \frac{127}{16} = 8 \text{ OM};$$

$$I_{\phi} = 40 \cdot 0.4 = 16 \text{ A}.$$

3. Линейный ток

$$I_{\phi} = I_{\phi} \cdot \sqrt{3} = 16 \cdot \sqrt{3} = 27.7 \text{ A}.$$

4. Полная мошность равна активной $S=P=3I_{\phi} \cdot U_{\phi}=3 \cdot 16 \cdot 127=6,1 \text{ KBT}.$

Задача 6.5. К трехфазной сети с линейным напряжением U_∧=120 В подключена нагрузка, соединенная треугольником. К фазам АВ и ВС подключены катушки с R =80 Ом и X_L =140 Ом. к фазе СА подключен резистор с R_e =25 Ом и конденсатор с X = 25 Ом. Определить линейные токи, полные активные и реактивные мощности.

Решение:

1. Полные сопротивление фаз

$$Z_{AB} = Z_{BC} = \sqrt{R_A^2 + X_L^2} = \sqrt{80^2 + 140^2} = 161,2$$
 OM;
 $Z_{CA} = \sqrt{R_C^2 + X_C^2} = \sqrt{25^2 + 25^2} = 25,2$ OM;

2. Фазные токи равны

$$I_{AB} = I_{BC} = \frac{U_A}{Z_{AB}} = \frac{U_A}{Z_{BC}} = \frac{120}{161.2} = 0.74 \text{ A};$$

$$I_{CA} = \frac{U_A}{Z_{CA}} = \frac{120}{35.2} = 3.41 \text{ A}.$$

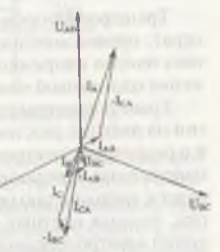
3. Коэффициент мощности

$$\cos \phi_{AB} = \cos \phi_{BC} = \frac{R_A}{Z_A} = \frac{80}{161.2} = 0.5;$$

$$\phi_{AB} = \phi_{BC} = 60^\circ;$$

$$\cos \phi_{CA} = \frac{R_C}{Z_A} = \frac{25}{35.2} = 0.74 \qquad \phi_{CA} = 44^\circ.$$

Таким образом, в фазах AB и по папряжение опережает ток на пил 60°, в фазе СА ток опережа-» напряжение на угол 44°. Исхоал из пого строим векторную липримму. Масштабы: для напрямення 1см=20 В, для тока [нм | IA. Из векторной диаграммы положим значения линейных тошш (рис. 6.8).



 $I_{R}=1,75 \text{ A}, I_{R}=1,3 \text{ A}, I_{C}=2,75 \text{ A}$

Рис. 6.8. Рисунок к задаче 6.5.

4 Активная мощность нагруз-

$$P = P_{AB} + P_{BC} + P_{CA} = 44 + 44 + 289 = 377 BT$$

$$\begin{split} & P_{_{AB}} = P_{_{AB}} = I_{_{AB}}^2 \cdot R_{_{AB}} = \left(0.74\right)^2 \cdot 80 = 44 \quad B\tau; \\ & P_{_{CA}} = I_{_{CA}}^2 \cdot R_{_{C}} = \left(3.41\right)^2 \cdot 25 = 289 \quad B\tau. \end{split}$$

5 Реактивная мощность нагрузки Q= Q_{AB} + Q_{BC} +(- Q_{CA})=77+77-289=-135 Bap rite Q_{AB} = Q_{BC} =(I_{AB})²- X_{L} =(0,74)²·140=77 Bap; Q_{CA} =(I_{CA})- X_{C} =-(3,41)¹·25=-289 Bap.

6 Подная монность нагрузки

$$\sqrt{P^2 + Q^2} = \sqrt{377^2 + (-135)^2} = 400 \text{ BA}.$$

ГЛАВА 7

ТРАНСФОРМАТОРЫ

Трансформатором называется электростатический анпарат, предназначенный для преобразования переменного тока одного напряжения в переменный ток другого напряжение одинаковой частоты.

Трансформаторы применяются для передачи электроэнергии на дальние расстояния, распределения ее потребителям и в различных электроустройствах. С увеличением величины напряжения передаваемой мощности ток уменьшается. Это ведет к уменьшению сечения проводов, потерь электроэнергии, расхода цветных и других металлов на строительство линий электропередачи. Поэтому на электростанциях напряжение повышается при помощи трансформаторов и подается на линию электропередачи. В местах потребления напряжение линии электропередачи понижается при помощи трансформаторов до необходимого значения и подаётся на потребители.

Основные виды трансформаторов.
1. Трехфазные и однофазные силовые трансформаторы применяются для передачи электроэнергии на дальние расстояния и распределения её между потребителями.

2. Автотрансформаторы - предназначены для изменения в небольших пределах напряжения потребителя или увеличения напряжения, начиная от нуля.

3. Измерительные трансформаторы — используются для измерения высоких напряжений и больших токов обычными приборами.

4. Сварочные трансформаторы.

7.1. Устройство и принцип работы трансформаторов

. Іюбой трансформатор состоит из сердечника и обмоток (рис. 7.1). Ферромагнитный сердечник является магнитной

при прансформатора, т.е. считается его магнитопроводом. по возматнитный сердечник уменьшает магнитное сопротивлевы контура, по которому проходит магнитный поток и усилипектромагнитную связь между обмотками.

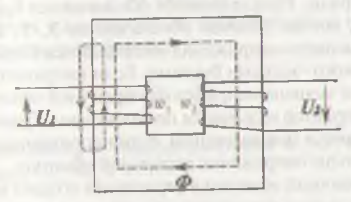


Рис. 7.1. Схема устройства трансформаторов.

Сердечники изготовляются из тонких листов электрорезипческой стали или из стальной ленты. С целью уменьмения потерь электроэнергии из-за вихревых токов их толвини берется 0,35 или 0,5 мм. Для взаимной изоляции друг ит аруга листы с обеих сторон покрываются лаком. Величина чикреных токов, возникающих в листах, небольшая и поотому сердечник не перегревается.

стрисчники однофазных трансформаторов бывают стержневые кольцевые и броневые (рис.7.2). В стержневых грансформанарих обмотки располагаются на двух стержнях, а в броневых из среднем стержне. На сердечнике трансформатора рис. 7.1. рас-налижены две обмотки (w_1 и w_2). Обмотка w_p подключаемая к на почнику электроэнергии, называется первичной обмоткой. гомотка = передающая электроэнергию потребителю, назы-

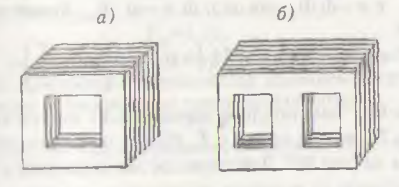


Рис. 7.2. Сердечники трансформаторов: а) стержневой сердечник; б) броневой сердечник.

вается вторичной обмоткой. В стержневых трансформаторах первичная и вторичная обмотки делятся на две одинаковые части, которые располагаются на обоих стержнях.

В броневом трансформаторе обе обмотки располагаются на среднем стержне. Начало обмоток обозначаются буквами А. В. С и а, б, с, концы обмоток обозначаются Х, У, Z и х, у, с Обмотки высокого напряжения обозначаются большими буквами, а низкого—малыми буквами. Если напряжение вторичной обмотки меньше напряжения первичной обмотки, то такой трансформатор называется понижающим. Трансформатор будет называется повышающим, если напряжение вторичной обмотки больше напряжения первичной обмотки.

Ток первичной обмотки в сердечнике создает магнитный поток. Этот поток пересекает обе обмотки и создает в них переменную э.д.с. Поэтому вторичную обмотку можно считать источником переменной э.д.с. В соответствии с законом электромагнитной индукции (закон Фарадся) между концами проводника, движущегося в магнитном поле, появляется э.д.с. При этом безразлично, движется проводник или изменяется магнитное поле. В трансформаторе проводники неподвижны. Поэтому для появления в них эле необходимо, чтобы изменялось магнитное поле. Значит, трансформаторы можно использовать только в цепях переменного тока. В соответствии с законом электромагнитной индукции э.д.с., наводимая в одном витке (формула 2.43), равна

 $e=-d\Phi/dt;$ мгновенное значение магнитного потока $\Phi=\Phi_{\psi}$ -ѕід ω і,

$$e = -d(\Phi_{_{_{1}}} \cdot \sin \omega t) / dt = -\omega \cdot \Phi_{_{M}} \cdot \cos \omega t =$$

$$\omega \cdot \Phi_{_{_{1}}} \cdot \sin \left(\omega t - \frac{\pi}{2}\right) = E_{_{_{1}}} \cdot \sin \left(\omega t - \frac{\pi}{2}\right)$$
(7.1.)

где $E_n = \omega \cdot \Phi_n$ — амплитудное значение э.д.с. одного витка. Из формулы 7.1. видно, что э.д.с. E_n отстает по фазе от магнитного потока на угол 90°. Действующее значение этой э.д.с.

$$E = \frac{E_{\perp}}{\sqrt{2}} = \frac{\omega \cdot \Phi_{\perp}}{\sqrt{2}} = \frac{2\pi f \cdot \Phi_{\perp}}{\sqrt{2}} = 4.44 \cdot \Phi_{\perp} \cdot f$$
. (7.2)

інк как первичная и вторичная обмотки имеют w, и витков, то их э.д.с.

$$E = 4,44 \, \omega_i f \cdot \Phi_{\nu},$$

$$E = 4,44 \, \omega_i f \cdot \Phi . \tag{7.3}$$

Отношения э.д.с. или число витков обмоток называется

$$K = \frac{E_1}{E_2} = \frac{w_1}{w_2} \,. \tag{7.4}$$

Иля понижающих трансформаторов $w_1 > w_2$ и $\kappa > 1$, для понышнощих $-w_1 < w_2$, и $\kappa < 1$.

7.2. Холостой ход однофазного трансформатора

Работа трансформатора при отключенной нагрузке во эторичной обмотке называется холостым ходом.

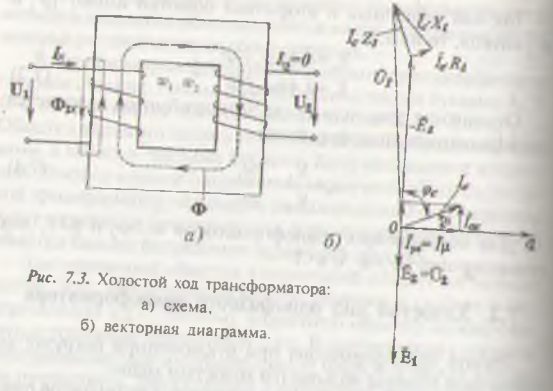
При этом вторичная обмотка оказывается разомкнутой (рис. 1 в) Поэтому ток вторичной обмотки I_s =0. Холостой ход трансфирматора аналогичен работе цепи с индуктивностью, подключений ток, называемый током холостого хода I_s . Он создает напилинающую силу w_j I_s первичной обмотки. Эта сила созыв и магнитный поток Φ , который состоит из двух составляющих Первия, основная составляющая, замыкается по магнитопроводу, сцепляется как с первичной, так и со вторичной обмотки и наводит в них э.д.с. (формулы 7.3). Вгорая составляющий ямыкается по воздуху и называется потоком рассеяния. От сцепляется только с первичной обмоткой и создает в ней так с рассеяния $E_{\rm p}$

 $E_{1p} = I_x X_1,$ (7.5)

тив X, — индуктивное сопротивление первичной обмотки. А тивное напряжение определяется падением напряжения на зативном сопротивлении первичной обмотки

$$U_{-}=I_{-}R_{-}$$
 (7.6)

Тиким образом, напряжение, поданное на трансформатор ранионовенивается э.д.с. Е, и надениями напряжения на индук-



$$U_{i} = E_{i} + I_{x} X_{i} + I_{x} \cdot R_{i}. \tag{7.7}$$

Исходя из этого уравнения, а также из того, что $U_2 = E$, и эдс обмоток отстают по фазе от магнитного потока на угол 90°, строим векторную холостого хода (рис. 7.3 б). Первым и масштабе в любом направлении, например, в горизонтальном, чертим вектор магнитного потока Ф. Ток холостого ходи состоит из активной и реактивной составляющих. Активная составляющая I_{av} определяется активной мощностью, которяи расходуется на гистерезис и вихревые токи. Реактивная составляющая I_{pv} является намагничивающим током. Он создает магнитный поток и совпадает с ним по фазе. На векторной диаграмме вектор этого тока чертим в направлении вектора магнитного потока. Активная составляющая I_{av} тока холостого хода чертится под углом 90° к I_{pv} . Исходя из векторной диаграммы ток холостого хода можно определить по формуле:

$$I_{+} = \sqrt{I_{ss}^{2} + I_{ps}^{2}}$$
 (7.8)

Так как \overline{E}_1 u \overline{E}_2 отстают от $\Phi_{_{\rm M}}$ на 90°, то их векторы напривляем вниз под углом 90°.

Всктор падения напряжения $\overline{1}_*$ - R_1 на активном сопронивлении первичной обмотки чертим от конца (- E_1) в направлении I_* . Вектор падения напряжения I_* - X_1 на индуктивном сопротивлении первичной обмотки чертим от конца I_* - I_* -

$$P_{x} = P_{c} + I_{x}^{\pm} \cdot R_{1} = P_{c} , \qquad (7.9)$$

тап Р — потери в сердечнике.

7.3. Работа трансформатора под нагрузкой

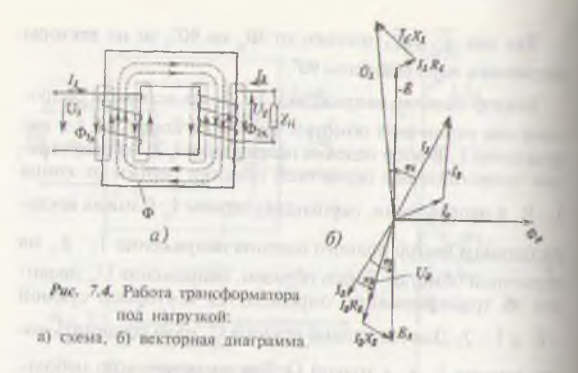
При подключении нагрузки во вторичной цепи появителя ток I, (рис. 7.4 а). Согласно принципу Ленца этот ток припитствует изменению магнитного потока сердечника принсформатора. Если ток I, направлен от начала к концу нервичной обмотки, то ток I, будет направлен от конца к принци вторичной обмотки.

При увсличении I_2 ссоответственно растет I_1 . Магнитный полок со удается совместным действием намагничивающих сил

$$\overline{F}_1 = I_1 \cdot w_1 \quad \text{if} \quad \overline{F}_2 = I_2 \cdot w_2, \quad \text{t.e.}$$

$$\overline{F}_1 + \overline{F}_2 = F_+, \qquad (7.10)$$

па ј ј ј на - намагничивающая сила холостого хода.



 $\overline{F}_1 \ u \ \overline{F}_2$ — намагничивающие силы первичной и вторичной обмоток.

Согласно формуле 7.3. э.д.с. Е, пропорциональна Ф., В трансформаторах даже при номинальном токе $\mathbf{I}_1 = \mathbf{I}_{11}$ первич ной обмотки падение напряжения на ней составляет 2-2,5% и его можно не принимать во внимание. Поэтому, если первичное напряжение $U_i = U_{iii}$ и не изменяется в процессе работы, то можно считать, что магнитный поток Ф, и намаг ничивающая сила F_x также не изменяются.

Кроме основного магнитного потока Ф, в первичной и вторичной обмотках появляются потоки рассеяния $\Phi_{_{1p}}$ и $\Phi_{_{3p}}$ Эти потоки определяются токами I_1 и I_2 и совпадают с ними по фазе. Потоки рассеяния Φ_{1p} и Φ_{2p} создают в обмотках э.д.с рассеяния E_{1p} и E_{2p} , которые отстают на 90° от своих потоков. $X_1 I_1 = -E_{1p} \quad \text{и} \quad X_2 I_2 = -E_{2p}, \qquad (7.11)$ где $X_1 = 0$ г. — реактивные сопротивления рассеяния обмоток;

 $L_{_{1p}}=\psi_{_{1p}}\,/\,I_{_{1}},\,L_{_{2p}}=\psi_{_{3p}}\,/\,I_{_{3}}-\,$ индуктивности рассеяния первичной и вторичной обмоток;

 ψ_{1p} . ψ_{2p} — потокосцепления рассеяния первичной и вторичной обмоток.

Первичная обмотка трансформатора работает в режиме потребителя. Согласно второму закону Кирхгофа можно написать:

$$\overline{U}_1 = -\overline{E}_1 + \overline{I}_1 \cdot X_1 + \overline{I}_1 \cdot R_1, \qquad (7.12)$$

пе $I_1 R_1, I_1 X_1$ — активное и индуктивное падения напряжепия на первичной обмотке.

Вторичная обмотка трансформатора работает в режиме генерятора. Согласно второму закону Кирхтофа можно написать:

$$\overline{U}_2 = \overline{E}_2 - I_2 \cdot X_2 - I_2 \cdot R_2, \qquad (7.13)$$

пле $[-R_2, I_2]_{X_2}$ — активное и индуктивное падения напря-« спия на вторичной обмотке.

Падения напряжения в обмотках малы. Поэтому на пракнике их можно не учитывать. В этом случае:

$$U_1 = -E_1 \text{ is } U_2 = E_2.$$
 (7.14)

На рис. 7.4 б приведена векторная диаграмма нагруженного грансформатора.

Если не принимать во внимание намагничивающая силу колостого хода, то:

$$\overline{F}_1 = \overline{F}_2$$
 или $I_1 \cdot w_1 = I_2 \cdot w_2$, (7.15)

$$\frac{I_1}{I_2} = \frac{w_2}{w_1} = \frac{1}{K}$$
 (7.16)

(увеличением тока вторичной обмотки происходит сле-

Падение напряжения на вторичной обмотке увеличиниется. Это ведет к уменьшению напряжения U, вторичпой обмотки (однако, при смкостной нагрузке U, может п увеличиться).

2. Увеличиваются ток I₁ и падение напряжения в перинчной обмотке. Если напряжение сети U не изменяется, по по может привести к уменьшению Е, (формула 7.12). Это мижет быть только за счет уменьшения магнитного потока Φ Однако, изменение магнитного потока $\Phi_{\rm M}$ от холостого нени до поминальной нагрузки будет небольшим. Поэтому р жим работы трансформатора не нарушается.

Процентное изменение напряжения от холостого хода до номинального напряжения равно:

$$\Delta U\% = \frac{U_{,,} - U_{,,,}}{U_{,,}} \cdot 100\% , \qquad (7.17)$$

где U_{2x} — напряжения холостого хода вторичной обмотки; U_{2x} — напряжение вторичной обмотки при номинальной

7.4. Режим короткого замыкания трансформатора

В трансформаторах различают опыт короткого замыкания и аварийный режим короткого замыкания. На рис. 7.5 приведени схема проведения опыта короткого замыкания. Для проведения этого опыта вторичная обмотка замыкается очень маленьким сопротивлением или амперметром. На первичной обмотке напряжение при помощи автотрансформатора медленно повышается начиная от нуля. Даже при незначительном напряжении первичной обмотки токи в обмотках будут значительными. При известном напряжении токи обмоток достигают номинальных значений, т.с. $I_{1\kappa} = I_{1\kappa}, \ I_{2\kappa} = I_{3\kappa}$. Это напряжение первичной обмотки называется напряжением короткого замыкания U_{κ} Дли силовых трансформаторов напряжение короткого замыкания считается важным нараметром и указывается в его паснорте. (увеличением мощности и напряжения трансформатора растет напряжение короткого замыкания. В режиме короткого замыкания магнитный поток по сравнению с пормальным режимом будет очень маленьким и сердечник будет ненасышенным. Вследствие этого мощность потерь в сердечнике будет очень

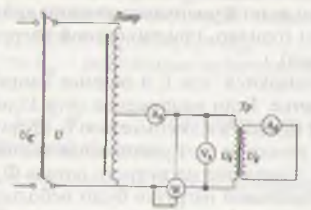


Рис. 7.5. Схема опыта короткого замыкания

вименкой и в большинстве случаев в расчет не принимается. В пом режиме коэффициент полезного действия трансформатора равен нулю. Потери мощности в обмотках расходуются на их нагрев. Мощность, получаемая трансформатором от сети назывистся мощностью короткого замыкания:

P = P + P

тле Р – потери мощности на нагрев обмоток, Р – потери в пердечнике.

Из опыта короткого замыкания определяются следуюние параметры:

п) относительное напряжение короткого замыкания:

$$U_{k}\% = \frac{U_{\kappa}}{U_{loc}} \cdot 100\% , \qquad (7.19)$$

гле U, - номинальное напряжение короткого замыкания; U_н - номинальное напряжение первичной обмотки.

б) полное сопротивление: $Z_{\rm g} = U_{\rm g}/I_{\rm ls}$ Ом;

$$Z_{c}=U_{c}/I_{th}O_{M}; \qquad (7.20)$$

в) активное сопротивление:

$$R = P_{\kappa} I_{l_{\alpha}}^{*} O_{M}; \qquad (7.21)$$

 $R_{_{4}} = P_{_{R}} / I_{_{14}}^{*} \ \, \textit{OM} \; ;$ г) реактивное сопротивление:

$$X_{\kappa} = \sqrt{Z_{\kappa}^2 - R_{\kappa}^2} \quad O_{\mathcal{M}} \,. \tag{7.22}$$

При аварийном коротком замыкании напряжение первичпол обмотки равно номинальному напряжению. Поэтому в обмитках трансформатора возникают большие токи короткого ниныкания, которые могут привести к его перегоранию.

7.5. Коэффициент полезного действия трансформатора

Коэффициентом полезного действия трансформатора наплинется отношение мощности Р,, передаваемой нагрузке, к моншости Р, получаемой от сети:

$$\frac{P}{P} = 100\% = \frac{P_{+}}{P_{-} + P_{-} + P_{0}} \cdot 100\% = \frac{P_{+}}{P_{-} + P_{+} + P_{+}} \cdot 100\%, (7.23)$$

где $P_x = P_c$ — мошность потерь в сердечнике (определяется из опыта холостого хода); Р = Р - мощность потерь на нагрев обмоток (определяется из опыта короткого замыкания).

Для любой нагрузки коэффициент полезного действия определяется по следующей формуле:

$$\eta = \frac{\beta \cdot S_{211} \cdot \cos \varphi 2}{\beta \cdot S_{2m} \cdot \cos \varphi_2 + P_x + \beta^2 \cdot P_o} \tag{7.24}$$

где $\beta = \frac{1}{I_{20}}$ — коэффициент нагрузки. $S_2 = U_{20} I_{20}$ — номинальная мощность трансформатора, В А; $\cos \phi_2$ — коэффициент мощности вторичной обмотки. Так как мощность потерь на нагрев обмоток пропорциональна квадрату тока, то в формуле 7.24. написано, что $P_{\kappa} = \beta^2 P_{\sigma}$ Наибольшее значение КПД соответствует нагрузке, при которой потери и сердечнике равны потерям на нагрев обмоток, т.е.

$$P_{x} = \beta^{2} \cdot P_{o} \ unu \ \beta_{u} = \sqrt{P_{x}/P_{o}}. \tag{7.25}$$

В мощных трансформаторах КПД может достигать 96-99%. В маломощных трансформаторах (несколько ватт) КПД составляет 50-70%.

7.6. Трехфазные трансформаторы

Преобразование грехфазного напряжения можно осуществлять тремя однофазными трансформаторами, соединенными в одну трансформаторную группу (рис. 7.6 а) или

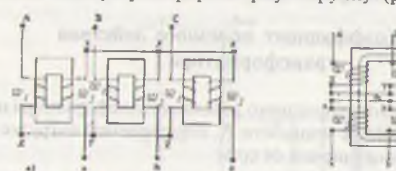


Рис. 7.6. Трехфазные трансформаторы: а) трехфазный трансформатор. созданный соединением трех однофазных трансформаторов; б) трехфазный трансформатор.

плиним трехфазным трансформатором (рис. 7.6. б). Из-за того, что размеры, вес и стоимость трех однофазных трансформаторепо весьма велики, то такая группа может применяться на подстанциях большой мошности. Их магнитная система не взаплосвязана. На практике в трехфазных трансформаторах приминистся трехстержневой ферромагнитный сердечник. На рис / 6 б показан двухобмоточный трехфазный трансформатор. На важдом стрежне располагаются обмотки одной фазы. При этом ибмотка пониженного напряжения располагается ближе к стержню (рис. 7.7. a). Первичная и вторичная обмотки могут соедипиться в звезду (У) или треугольник (Δ) (рис. 7.7.6). В больининстве случаев применяются три схемы: звезда-звезда с ну-

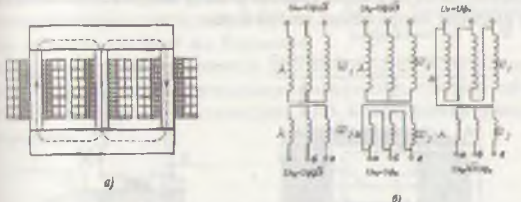


Рис. 7.7. Схема расположения обмоток трехфазного трансформатора (а) и их соединений (б)

чем (Y/Y₀), звезда-треугольник (Y/Δ), звезда с нулем-треуточьник (Ү./Д). В этих обозначениях обмотки повышенного пыпряжения показаны в числителе, а обмотки пониженного паприжения - в знаменателе. После схемы соединений на пытке трансформатора дается группа соединения в виде цифр, например, Y/Y-12, Y/Δ-11 цифры 12 и 11 означают, что углы между векторами первичных и вторичных линейных т с. равны углам между часовой и минутной стрелками чатоп в указанное время. При цифре 12 угол сдвига равен O°, а при 11-угол сдвига равен 30°. Значение группы соединений необходимо при параллельном соединении трансформаторов.

7.7. Измерительные трансформаторы

Для обеспечения безопасности при работе с измерительными приборами в высоковольтных цепях, расширения пределов их и вперения применяются измерительные трансформаторы.

Трансформатор напряжения (рис. 7.8)

Устройство и принцип работы грансформатора напряжения аналогичны рассмотренному ранее однофазному трансформатору. Первичная обмогка состоит из большого числа витков и к ней подключается высокое напряжение (рис. 7.8 а). Вторичная обмотка имеет небольшое число витков и к ней подключаются приборы с высоким внутренним сопротивлением (например, вольтметр, обмотки напряжения ваттметров и счетчиков). Поэтому по вторичной обмотке протекает небольшой ток. Следовательно, грансформатор напряжения как однофазный силовой трансформатор работает в режиме холостого хода. Трансформатор напряжения понижает высокое напряжение до 100 вольт.

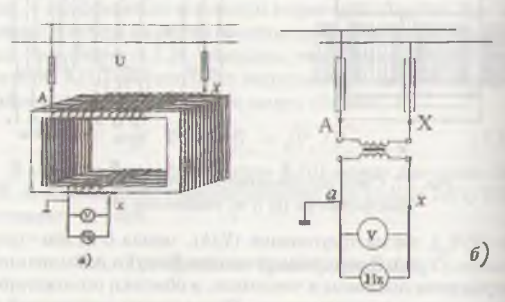


Рис. 7.8. Трансформатор напряжения: а) упрошенный вид; б) схема электрических соединений.

Поэтому к вторичной обмотке подключается вольтметр на 100 вольт. При этом первичное напряжение равно:

$$U_1 = K_0 U_2$$
, (7.26)

где К, - коэффициент трансформации

Трансформаторы напряжения бывают однофазными и трехфазными. Схема подключения однофазного трансформатора показана на рис. 7.8.6.

Для безопасности обслуживания вторичная обмотка трансформатора тщательно изолируется от первичной и заземлиется с целью получения достаточно низкого напряжения от-

посительно земли. На рис. 7.9 покаот измерительный трансформатор на 15 кВ.

Трансформатор тока

Трансформаторы тока применяится для измерения больших переменных токов. Их первичная обмоткл состоит из одного-двух витков провода, шины или является частью толстого проводника. Подключается первичная обмотка последовательно с нагрузкой. Вторичнии обмотка состоит из большого

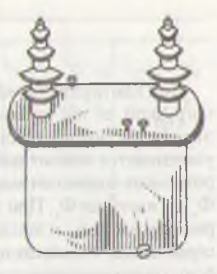


Рис. 7.9. Трансформатор напряжения на 15 кВ

числа витков, рассчитывается на 5 ампер (иногда на 10 ампер) и подключается параллельно амперметру, токовым обмоткам ваттметров, счетчиков (рис. 7.10). Коэффициент трансформации

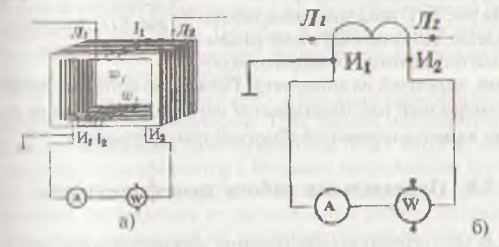


Рис. 7.10. Трансформатор тока: а) упрошенный вид; б) схема электрических соединений.

$$K_1 = \frac{I_2}{I_1} = \frac{w_1}{w_2}$$

Если сопротивления соединительных проводов и приборов не превышают допустимых для трансформатора значения, то K_1 будет иметь постоянное значение и

$$I_1 = \frac{I_2}{V}$$

Так как первичная обмотка подключена последовательно с нагрузкой, ее ток не зависит от тока вторичной обмотки. По этому с увеличением сопротивления цепи ток 1, уменьшается,

уменьшается магнитный поток Φ_2 и в результате возрастает магнитный поток Φ_3 до значения Φ_1 . При этом резко возрастает э.д.с. E_2 и тепловые потери в сердечнике, что может привести к пробою изоляции и представляет опасность для обслуживающего персонала. Поэтому при протекании тока по первичной обмотке нельзя разрывать цепь вторичной обмотки. Вторичная обмотка долживающего персонала. Поэтомот в должина быть подключена к измерительному прибору или замкнута накоротко.

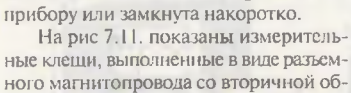




Рис. 7.11. Измеритель-

моткой, замкнутой на амперметр. Провод, но которому проходит измеряемый ток, охватывается магнитопроводом и по существу является первичной обмоткой трансформатора.

7.8. Нараллельная работа трансформаторов

Для беспрерывного обеспечения электроэнергией потребителей при изменении пагрузки в широких пределах возникает необходимость параллельной работы трансформаторов. На рис 7.12 показаны два параллельно соединенных однофазных трансформатора. Для параллельной работы трансформаторов необходимо выполнить следующие условия:

1. Напряжения первичных и вторичных обмоток трансформаторов, соединяемых параллельно, должны быть равны При этом коэффициенты трансформации трансформаторов будут также равны. Если коэффициенты трансформации параллельно работающих трансформаторов будут разными, то

вторичные э.д.с. их будут также раными, в результате во вторичной замкнутой цепи появятся уравнительные токи. Токи обмоток трансформаторов будут раным токов и токов нагрузки. При этом трансформатор с меньшим коэффициентом трансформании будет больше нагружен и может перегреться. Чтобы не допустить этого разница между коффициентами трансформации золжна быть не более 0,5%.

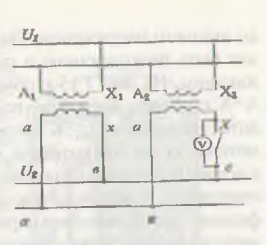


Рис. 7.12. Схема параллельного подключения однофазных трансформаторов.

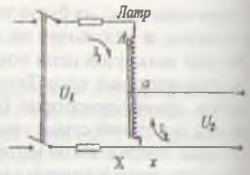
На рис. 7.12 вольтметр соединен между одноименными концами вторичных обмоток трансформаторов. Если коэффициенты трансформации трансформаторов будут равны другу, то э.д.с. вторичных обмоток также будут равны. Однако, в любой момент времени эти э.д.с. будут направлены протиположно друг другу. Поэтому в момент, когда показание вольтметра будет равно нулю, трансформаторы можно включить на параглельную работу.

2 Напряжения короткого замыкания трансформаторов должны быть одинаковыми. При разных напряжениях короткого замыкания трансформаторы будут нагружены неодинаково: трансформатор с большим напряжением короткого замыкания будет нагружен меньше. Поэтому у грансформаторов, включаемых на пара-дельную работу, напряжения короткого замыкания не должны отличаться друг от друга более чем на 10%.

3. Для параллельной работы трехфазных трансформаторов кроме выполнения условий первого и второго пункта необходимо, чтобы у них были одинаковые группы соединений. Только при выполнении этого условия вторичные напряжения U, будут совпадать по фазе.

7.9. Автотрансформаторы

Автотрансформатором называется трансформатор, у копорого обмотка низшего напряжения является частью обмотки высшего напряжения. Он может быть повышающим и понижающим. На рис. 7.13 к обмотке А-Х с числом витков ш, подводится напряжение U. К части обмотки а-х с числом витков w, подключается нагрузка. Основные соотношения, выведенные для однофазных трансформаторов справед- Рис. 7.13. Схема однофазного ливы и для автотрансформаторов. На холостом ходу отношение пер-



автотрансформатора.

вичного напряжения к вторичному напряжению равно отношению обмоток w_1 и w_2 , т.е. коэффициенту трансформации.

$$\frac{U_1}{U_2} = \frac{E_1}{E_2} = \frac{w_1}{w_2} = K.$$
 (7.27)

Токи I, и I, сдвинуты по фазе на 180° и направлены в противоположные стороны. Поэтому по части обмотки a-x, которая является общей для первичной и вторичной цепей проходит ток, равный

$$I=I-I_1. (7.28)$$

Следовательно, эту часть обмотки можно выполнять из провода меньшего сечения.

В автотрансформаторах передача мощности от источника электрической энергии в нагрузку происходит электрическим и электромагнитным путем. Поэтому габариты и масся автотрансформатора меньше, чем у трансформатора той же мощности. Будут уменьшенными также электрические и магнитные потери, что ведет к повышению КПД.

Автотрансформаторы могут быть и трехфазными, обмотки которых соединяют в звезду.

В лабораторных условиях для плавного регулировании напряжения от нуля до подводимого значения, и даже несколько выше применяется лабораторный автотрансформатор (ЛАТР), внешний вид которого показан на рис 7.14. В нем регулирование напряжения осуществляется при перемсщении скользящего контакта по виткам обмотки.

Общим недостатком автотрансформаторов является на личие электрической связи между первичной и вторичной пенями, что ведет к следующим неви таткам: большой ток короткого ниыкания, необходимость выполнеппи изоляции обмоток на повышенпос напряжение, опасность приложения высокого напряжения к обмотке ин инего напряжения, что может приштети к поражению током обслуживиконнего персонала.

7.10. Сварочные трансформаторы

Грансформаторы, применяемые ния сварки, являясь специальным анпаратом, применяются также для резки и плавления металлов элект-



Рис. 7.14. Общий вид лабораторного автотрансформатора: 1.2-ролик с держателем; 3-обмотка.

рической дугой. Напряжение вторичной обмотки этих трансформаторов равно 60-70 вольт, что легко позволяет создавать электрическую дугу. Они должны удовлетворять следующим гребованиям: при подключении нагрузки ток практически не должен изменяться, при коротком замыкании рабочий ток не должен более чем на 40% превышать нормальный

нок, негко регулировать сварочный ток.

Лаже небольшое увеличение сварочного тока должно быть причиной резкого уменьшения вторичного напряжения (наприжения вторичной обмотки). Для уменьшения выходного пыприжения надо увеличивать падение напряжения в обмотках грансформатора. Для этого нодо увеличивать сопротивление обмоток трансформатора. Однако, увеличивать активное сопротивление обмоток нельзя, так как это увеличивает попри электроэнергии и перегрев трансформатора. Поэтому парочные трансформаторы изготовляются с возможностью в гулировать индуктивное сопротивление обмоток. На рис.7.15 показаны общий вид, схема и внешняя характеристика сварочного трансформатора СТН-500. Первичная обмотка рассчитана на 220 или 380 вольт. Напряжение вторичной обмотни на холостом ходу равно 60 вольт, а при нагрузке-30 мальт. Магнитопровод состоит из основной и дополнительных частей. На основном сердечнике расположены первичная и

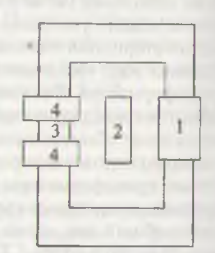




2-первичная обмотка; 3-винт; 4-дополнительный сердечник; 5-реактивная катушка; 6-вторичная обмотка; б) внешняя характеристика; в) общий вид.

вторичная обмотки. Дополнительный сердечник состоит из подвижной и неподвижной частей. Двигая при помощи винта подвижную часть, можно устанавливать необходимый воздушный зазор. Изменение воздушного зазора приводит к изменению индуктивного сопротивления реактивной катушки. Чем больше воздушный зазор а, тем больше сварочный ток:

На практике применяются также другие способы изменения индуктивного сопротивления. Например, в сварочных трансформаторах СТАН и СТШ между первичной и вторичной обмотками расположен подвижный стержень (магнитный шунт). Шунт, замыкая магнитные потоки обмотки, создает магнитные потоки рассеяния. В результа- Рис. 7.16. Сварочные трансформа-



те увеличивается индуктивное торы СТАН и СТШ: 1-реактивняя сопротивление обмоток (рис. катушка; 2-магнитный шунт; 4-пер вичная обмотка.

7.11. Расчет трансформаторов

Исходные параметры расчета:

а) напряжение сети переменного тока U_1 , B и частота f, Γ и; б) напряжения вторичных обмоток U2, U3,..., U и токи

и) максимальная температура окружающей среды Токр.

мих 'С; максимальная температура нагрева трансформатора С. 2. Определяем габаритную (потребляемую нагрузкой)

монность Р, ВА:

п) в общем случае и для однофазного мостового выпрямителя:

$$P_{1} = U_{2} \cdot I_{2} + U_{3} \cdot I_{3} + ... + U_{n} \cdot I_{n}$$
 (7.29)

б) для однополупериодного выпрямителя

$$P = 0.95U, I_1 + U_1 I_3 + ... + U_n I_n$$
 (7.30)

в) для двухполупериодного выпрямителя с выводом нучевой точки:

$$P = [,7 \cdot U \cdot I + U_{3} \cdot I_{3} + ... + U_{n} \cdot I_{n}]$$
 (7.31)

В соответствии с частотой сети (50 Гц или 400 Гц) из пабл. 7.1. находим следующие параметры:

а) марку стали сердечника трансформатора и соответствующую ему магнитную индукцию В, Тл;

б) плотность тока в, А/мм2;

в) коэффициент полезного действия η;

г) коэффициент заполнения окна медью Км;

д) из табл. 7.2. в соответствии с выбранным типом магпитопровода определяем коэффициент заполнения магнитопровода сталью K_c (рис. 7.17).

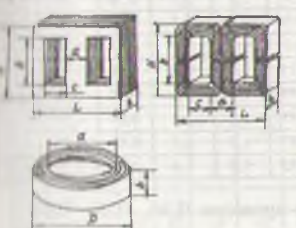


Рис. 7.17. Типовые магнитопроводы: а) броневые из штампованных пластин; б) броневые ленточные; в) тороидальные ленточные.

Рекомендуемые значения К

Manua	Толщина листа	К, для магнитопроводов			
Марка стали	или ленты, мм	из пластин	ленточного		
	50 Ги				
1511, 1512, 1513	0,5	0,93	0,97		
1411 9412 9413	0,35	0,89	0,95		
	400 Гц				
1521, 1561, 1562	0,20,1	0,32-	0,930,88		
1421, 3422, 3423	0.05	THE RESERVE	0.75		

Таблица 7.3

Броневые магнитопроводы из штампованных пластин

			Разм	еры, м	М		Пасилан	Сред-	S.·S _o ČM⁴
Обсоначение	а	ε	h	Н	2	ь	Плошаль сечения стержия S_e , см-	длина магнит- ной си- ловой линии, [,,см	
III 9x9	9	9	22,5	31,5	36	9	0,74	7,72	1,62
H 9x12					-	12	0.98	-	2,16
III 12x10	12	12	30	42	48	10	1,09	10	4,30
III 12x12	- 15					12	1,31		5,20
111 12x16						16	1,75		6,80
III 12x20						20	2,18		8,60
III 12x25				1-1		25	2.73		10,80
111 12x32						32	3,49		13,70
III 16x10	16	16	40	56	64	10	1,31	13,7	10.2
III 16x12		1		- 17		12	1,75	170	12,1
HI 16x16					10	16	2,33	T CIP	16,6
III 16x20						20	2.91	1	20,5
III 16x25						25	3,64		25,6
III 16x32						32	4,66	100	32,6
III 16x40						40	5,82	717	41,0
111 20x12	20	20	50	70	80	12	2,18	17,14	24,0

3. Находим исходную расчетную величину

$$S_a \cdot S_o = \frac{P_a \cdot 10^2}{1.11 \left(1 + \frac{1}{11}\right) f \cdot B \cdot \delta \cdot K_u \cdot K_s} cM^4$$
 (7.32)

где $S_c =$ сечение стержня, мм²; $S_o =$ сечение окна сердечника, мм².

Таблица 7.1

Рекомендуемые значения В, δ, η, Км

100	eria n	Индукі	дия в Та		δ, Α	L/MM ²		η		
		для мар	ок стал	И			1	Horas.		
D D A	1511	9411	91521	31421	1,0,14	11-77				
P, BA	1512	9412	31561	91422	50 Fu	400 Гш	50 Fu	400 Ги	Км	
	1513	9413	91562	91423	- 111	10.5	14.5			
	50	Ги	400	Гц						
01	1,1	1,2	0,1	1,15	4,8	7,2	0,85	0,78	0,22	
20	1,26	1,4	1,08	1,23	3.9	6,0	0,89	0.83	0.26	
40	1.37	1,55	1,13	1.47	3,2	5.0	0.92	0,86	0,28	
70	1,39	1,6	1,14	1,51	2,8	4,2	0.94	0,88	0,3	
100	1.35	1,6	1,12	1,5	2.5	3,8	0,95	0,9	0,31	
200	1,25	1,51	1,02	1,4	2,0	3,1	0,96	0,92	0,32	
400	1,13	1,43	0.92	1,3	1.6	2,5	0,97	0.94	0,33	
700	1.05	1,35	0,83	1,2	1,3	2,1	0,97	0,95	0.34	
1000	1,0	1.3	0.78	1,15	1,2	1,8	0,97	0.95	0.35	
2000	0.9	1,2	0.68	1.05	1.1	1,5	0,97	0.95	0.36	
4000	8,0	1,1	0.58	0,95	1,0	1,5	0.97	0.95	0.36	
7000	0,72	1,02	0,5	0,87	1.0	1.4	0,97	0,95	0.37	
10000	0,68	0.97	0,45	0,82	0,1	1,4	0,97	0.95	0.37	

Значение Км даны для проводов ПЭЛ, ПЭВ, ПЭТ.

Ш 20х16	16	2,91		32,0
Ш 20х20	20	3,64		40,0
Ш 20х25	 25	4,55		30,0
Ш 20х32	32	5,82		64.0
Ш 20х40	40	7,28	-	80,0
Ш 20х50	50	9,10		0,001

Таблица 7.4 Броневые ленточные магнитопроводы

		F	азме	ры, к	4M		Площадь	Средняя длина магнит-	S.S.
Обозначение	a	c	h	Н	L	Ь	сечения стержня, S _c , см ²	ня, ной си-	
Шл 5х3	5	5	12	17	20	5	0,208	4,2	0,15
Шл 5х6,5						6,5	0,270		0.195
Шл 5х8						8	0,332		11,24
Шл 5х10				-		10	0,415		0,1
Шл 6х6,5	6	6	15	21	24	6,5	0,32	5,1	0,140
Шл 6х8						8	0,40		0,171
Шл 6x10						10	0,50		0,216
Шл 6х12.5						12,5	0,62		0.270
Шл 8х8	8	8	26	28	32	8	0,53	6,8	0.41
Шл 8х10					0	10	0,67		0,51
Шл 8х12,5						12,5	0,83		0,64
Шл 8х16						16	1,06		0.82
Шл 10х10	10	10	25	35	40	10	0,84	8,5	2,5
Шл 10х12,5		0.0	1-1			12,5	1,06		3,12
Шл 10х16				101		16	1,35		4.0
Шл 10х20		- 11		-	1	20	1,69		5,0
Шл 12х12,5	12	12	30	42	48	12,5	1,28	10,2	5.4
Шл 12х16			1		1	16	1,64		6,9
Шл 12х20						20	2,05		8.7
Шл 12х25						25	2,56		8,01
Шл 16х16	16	16	40	56	64	16	2,20	13,6	16,6
Шл 16х20						20	2,75		20,5

III 16x25				N -		25	3,44	47.1	25,6
Шл 16х32	-					32	4,4	1111	32,6
Пл 20х20	20	20	50	70	80	20	3,47	17,1	40
IIIn 20x25						25	4,34	1,1-11	50
Шл 20х32	7 6	7 63		5- 51		32	5,56		64,0
Пл 20x40		17.				40	6,95		0,08
Шл 25х25	25	26	62,5	87,5	100	25	5,44	21,3	116,5
IIIn 25x32				COLL	1. 1100	32	6,95		148,0
111.n 25x40	17711		1.00	-11/	V.B.	40	8,56	THE PERSON	184,0
H11 25x50	COL	TOTAL .	n l m v	mm.		50	10,90		233,0

Обозначение	Pas	меры	, MM	Средняя длина магнитной	Толшина намотки	S., cm ²	
Обозначение	Ь	ď	D	силовой линии 1,,см	a=(D-d)/2, мм		
On 10/16-4	4	10	16	4	3	0,168	
Ол 10/16-5	5	11.	10	A CONTRACTOR	mdliffa	0,135	
()n 10/16-6,5	6,5	11.11	77)	ACCOUNTS	-00mm	0,176	
On 10/16-8	8			PMI del	editi i mini	0,216	
Dn 12/20-5	5	12	20	5	4	0,18	
On 12/20-6,5	6,5	1/11		STREET, THE SEC	an armegn	0,234	
On 12/20-8	8	0.11	1111	2017HQ-8500HV III	Hitterstrady.	0,29	
On 12/20-10	01				1121	0,36	
On 16/26-6,5	6,5	16	26	6.5	5	0.29	
On 16/26-8	8	11		2-117		0,36	
On 16/26-10	10		()()			0,45	
On 16/26-12,5	12,5	70	11	121111111111111111		0,56	
On 20/32-8	8	20	32	8,1	6	0.41	
On 20/32 10	10					0,54	
On 20/32-12,5	12,5					0,67	
On 20/32-16	16	11.6	77	F-11-14		0,86	
Ол 25/40-10	10	25	40	10.2	7.5	0,67	
On 25/40-12,5	12,5			1000		0,84	
On 25/40-16	16					1,08	
Ол 25/40-20	20	(1-)		1000	- 1/4/1/1/10	1,35	
On 25/40-25	25				THE BUTT	1,7	

Окончание тоба 75

				Orcon	HOTTILE /	1100/1. 7.5
Ол 32/50-16	16	32	50	12,8	9	1.3
Ол 32/50-20	20	7.1				1,62
Ол 32/50-25	25					2.03
Ол 32/50-32	32					2,00

По найденному значению $S_c S_o$ из табл. 7.3, 7.4 или 7.5 выбираем магнитопровод трансформатора. При этом руководствуемся следующими рекомендациями:

а) для трансформаторов с напряжением менее 1000 В и мошностью до 100-200 В А более подходящими являются броневые магнитопроводы как ленточные, так и из пластин;

б) стержневые трансформаторы с двумя катушками на ленточных магнитопроводах рекомендуется использовать при мощности несколько сотен вольт-ампер на частоте 50 Гц, а также при мощности несколько киловольт-ампер на частоте 400 Гц (рис. 7.17.б).

в) при необходимости минимального рассеяния или минимального объема при мощности 100-200 В А и частоте 400 Гц целесообразно использовать тороидальные ленточные магнитпроводы (рис. 7.17 в). После выбора магнитопровода определяются следующие параметры: S, - активное сечение стержня, см²;

б-толшина магнитпровода, мм; а-ширина стержня, мм;

с-ширина окна, мм; h-высота окна, мм.

4. Определение числа витков обмоток производится по

$$w_i = \frac{U_i \left(1 - \frac{\Delta U_i \%}{100}\right) \cdot 10^4}{4.44 \cdot f \cdot B \cdot S_c}; \qquad (7.33)$$

$$w_2 = \frac{U_2 \left(1 + \frac{\Delta U_2\%}{100} \right) \cdot 10^4}{4,444 f \cdot B \cdot S},$$
 (7.34)

где $\Delta U_1\%$, $\Delta U_2\%$ — согласно таблице 7.6 относительные надения напряжения.

1 сли вторичная обмотка расположена непосредственно на шригиюй ∆U₂ берется на 10-20% меньше, а для наружных $\omega_3, \omega_4, \omega_n$ — на 10-20% больше указанных в табл. 7.6.

1 Ток первичной обмотки определяем из выражения:

$$I_s = K_s \frac{P_s}{\eta \cdot U_s}, \qquad (7.35)$$

ги P — габаритная мощность, В А

Таблица 7.6

Отпосительные падения напряжения в обмотках

Incioisi, Z	ΔU, %	Габаритная мошность Р, В А								
Tii		15-50	50-150	150-300	300-1000	1000-2500				
	ΔU,	15-5	5-4	4-3	3-1	1				
50	ΔU,	20-10	8-01	8-6	6-2	- Carton				
	ΔU,	8-4	4-1,5	1,5-1	1-0,5	0,5				
400	ΔŪ,	10-5	5-2	2-1,2	1,2-0,5	0,5				

η — коэффициент полезного действия (берется из табл. 7.1) коэффициент, учитывающий ток холостого хода и ки и крициент мощности.

Р = (100-1000) В А, то K = 1,12; Р = (100-1000) В А, то K = 1,1; Р = (1000-5000) В А, то K = 1,05;

6. Сечение проводов обмоток находим по следующей фор-My/IC

$$S_{w} = \frac{1}{\delta} A_{MM^{2}}, \qquad (7.36)$$

гле δ плотность тока (берется из табл. 7). По полученному значению S_{w} из табл. 7.7. находим блимайшее (большее) стандартное сечение и диаметр провода.

7 Определяем возможность размещения обмоток в окне выбранного магнитопровода, для чего:

и) определяем число витков в одном слое первичной «Омотки

$$w_{10} = (\eta - 2\Delta_1)/d_1,$$

где h - высота окна магнитопровода, мм;

д, – расстояние между обмоткой и ярмом, обычно;

$$\Delta_1 = 2 + 5 \text{ MM};$$

d, - диаметр провода обмотки, мм.

Полученное значение w_{lc} округляется до ближайшего меньшего целого значения.

б) Число слоев обмотки:

$$m_i = \frac{w_i}{w_{is}}$$

Полученное значение т округляется до ближайшего большего числа.

в) определяется толщина обмотки:

$$\alpha_1 = m_1(d_1 + \gamma_1),$$

где ү, - толщина изоляционной прокладки, которая применяется, если напряжение между слоями превышает $50B(\gamma = 0.01-0.01)$ MM.

Аналогично определяется толщина других обмоток;

г) необходимая ширина окна магнитопровода:

 $C_{n} = K(\Delta_{2} + \alpha_{1} + \alpha_{1,2} + \alpha_{2} + \alpha_{2,3} + ... + \alpha_{n-1} + \alpha_{n-1}, n + \Delta_{3}) + \Delta_{4},$ где К - коэффициент, учитывающий неплотность прилежания слоев, К=1,2+1,3;

 – толщина изоляции между обмотками и стержнем $\Delta = (1,0+2,0)$ MM;

С, - необходимая ширина окна;

 $\alpha_{1,2}^{\rm r}, \; \alpha_{2,3}... \; \alpha_{n,1}$ — толщина изоляции между обмотками, обычно α =(0,5+1,0) мм;

 Δ_{3} — толщина наружной изоляции обмотки, Δ_{3} =(0,5-1,0) MM;

 Δ_4 — расстояние от катушки до второго стержня, $\Delta_4 = (1+4)_{MM}$

Найденное значение $C_{_{\rm H}}$ сравнивается с шириной C окна выбранного магнитпровода

Пример:

Рассчитать силовой трансформатор по следующим исходным данным: напряжение сети $U_1 = 220 \text{ B}$, частота f = 50 Ги. вторичная обмотка имеет следующие параметры:

Таблица 7.7 Номинальные данные обмоточных проводов круглого сечения

line may	Centr	Диам	метр про	SHOULS O		Диа-	Care- tost npo-		OCOURTER		
Special Specia	TUPORO- SEL GOS STEENE- TORP. MINI-	пэв-Ц	-		n3- 100	BOUR BOUR BOUR BOUR BOUR BOUR BOUR BOUR	SOUR SOUR SOUR SR- LOTEL MRF	n-0-1	1198-2		шэ-
M.	0.0003	0.035	-	-	-	0,630	0,311	0,680	0,700	0,71	0,76
	8.5005	0.040		-	-	0,710	0.394	0,760	0.790	0.79	0,85
HIL	I II 8008	0,045	Ura.	1.0	127	0.750	0,441	0.810	0.840	0,83	0.90
	0.00126	-			-	0,800	0,503	0.350	0.890	0,89	0.95
	-	0.070	0.080	1.1	0.14	0,850	0,56	0.910	0,940	0,94	1,00
	11,00196	-	0.090	0.093	_	0.900	0,636	0,960	0.990	0.99	1.05
	8,00314	-	0,100	0,10	0.16		0,700	1:010	1,040	1,04	1;10
	0,00295	-	0.110	0,11	0.17	-	-		1,100	1,09	1,10
	0.00103	-	0.120	0.12	-	-	0.88	1 1,130	1,160	1,16	1,22
	1,00686	-	0.13	0.13	-		0.0,98	5 1,190	1,220	1,22	1.25
H.10		-	0,14	0,14	-		0 0.09		1,280	1,28	1,34
	_		0.155	0.15	-		0 1,21		1.350	1,35	1.4
10.17	0.0127	1000	0.170	-		_	0 1,37		1,420	1,47	1,4
10.04		-	0,200	-	-	-	0 1.54	0 1,480	1,510	1,51	1,5
12.14			0.220	-	-	_	0 6,77	0 1,580	T,610	1,61	1,6
277			-	-	-	_	10, 01	5 1.680	1,710	1.0	-
1			-	-	_	3 1.79	0 2.2	6 1.780	1,810	1,81	-
-		-	_	-	-	_	10 2,5	4. 1:89	1.97	1.93	-
The same		-	-	-	-	0 1.9	00 2,8	2 1.99	2.02	_	_
100			-		_	-	0 30	4 2,09		_	_
100			-	-	-	_	20 3.3	3: 2,21	0 2.240	2.2	1
1000	11 0,099	-	_	-	-	-	_	2,34	0 2,379	_	_
No.	(s) 0,125	_		-		-	00 4.	37. 2,46	0 3,49		-
pipe-		-	-	-	_	63 2.	50 4,	9 2,60	0 2,65	0 2,6	3 .
	60 0,12		-	V	-						

U =12 B, L=2,5 A, U₃=24 B, L=2 A. Согласно формуле 7.30 находим габаритную мощность грансформатора

нора
$$P_i = U_1 \cdot I_2 + U_3 \cdot I_1 = 12 \cdot 2,5 + 24 \cdot 2 = 78$$
 В-А.

Из табл. 7.1. и 7.2. выбираем сталь 1511, магнитопровод из пластин толщиной 0,5 мм. Его параметры: K = 0.93, B = 1, 38 Tn, δ =2,7 A/MM², K_u=0,3, η =0,94.

2. Находим исходную расчетную величину

$$S \cdot S = \frac{78 \cdot 10^{2}}{1.1 \cdot I \left(1 + \frac{1}{\eta}\right) f \cdot B \cdot K_{M} \cdot K} = \frac{78 \cdot 10^{2}}{1.1 \cdot I \left(1 + \frac{1}{0.94}\right) \cdot 50 \cdot 1.38 \cdot 0.3 \cdot 0.93 \cdot 2.7} = 65 \text{ cm}^{4}.$$

По табл. 7.3 выбираем броневой магнитопровод Ш20х40. Его параметры: a=20 мм, c=20 мм, $\eta=50$ мм, s=40 мм, $S_c = 7,28 \text{ cm}^2$, $S_c = 80 \text{ cm}^4 > 65 \text{ cm}^4$.

3. Определяем количество витков обмоток: первичная

$$w_1 = \frac{\mathbf{U}_1 \left(1 - \frac{\Delta \mathbf{U}_1\%}{100}\right) \cdot 10^4}{4,44 f \cdot \mathbf{B} \cdot \mathbf{S}_c} = \frac{220 \left(1 - \frac{4.5}{100}\right) \cdot 10^4}{4,44 \cdot 50 \cdot 1,38 \cdot 7,28} = 937;$$

вторичные обмотки:

$$w_2 = \frac{U_2 \left(1 + \frac{\Delta U_2}{100}\right) \cdot 10^4}{4,44 f \cdot B \cdot S_c} = \frac{12 \cdot \left(1 + \frac{8}{100}\right) \cdot 10^4}{4,44 \cdot 50 \cdot 1,38 \cdot 7,28} = 58;$$

$$w_3 = \frac{U_3 \left(1 + \frac{\Delta U_1}{100}\right) \cdot 10^4}{4,44f \cdot B \cdot S_c} = \frac{24 \left(1 + \frac{9}{100}\right) \cdot 10^4}{4,444 \cdot 50 - 1,38 \cdot 7,28} = 118.$$

$$I_{c} = \frac{P_{c}}{\eta \cdot U_{c}} \cdot K_{c} = \frac{78}{0.94 \cdot 220} \cdot 1.12 = 0.42A$$

1 Определяем сечения проводов обмоток:

$$S_{w1} = \frac{0.42}{2.7} = 0.155 \text{ mm}^2; \quad S_{w2} = \frac{2.5}{2.7} = 0.925 \text{ mm}^2;$$

$$S_{w3} = \frac{2}{2.7} = 0.74 \text{ mm}^3.$$

По табл. 7.7 находим соответствующие диаметры проводов: d, 0,49 мм; d,=1,19 мм; d,=1,07 мм марки ПЭВ-1.

- 6 Определяем возможность размещения обмоток в окне выбранного магнитопровода:
 - 6.1. Для первичной обмотки:
 - п) число витков в одном слое

$$w_{1c} = (h-2\cdot\Delta_1)/d = (50-2\cdot2)/0,49=93;$$

в) число слоев обмотки

$$m_1 = \frac{w_1}{w_{1c}} = \frac{937}{93} = 10;$$

- п) толщина обмотки
- $(t_1 = m_1(d_1 + \gamma_1) = 10.0,49 = 4,9 \text{ MM}$
- (в. =0, т.к. изоляционная прокладка применяется при папряжении 50 и более вольт. В нашем случае это напряжеmme 220/10=22 B<50 B).
 - 6.2. Для второй обмотки:
 - п) число витков в одном слое

- $w_{2x}=(50-22)/1,19=34,7,$ возьмем $w_{30}=35;$ 0) число слоев $m_2=8^{1}$, $m_3=1,67;$ возьмем $m_2=2;$ п) голщина обмотки $\alpha_2=2\cdot1,19=2,38$ мм.
- 6.3. Для третьей обмотки:
- п) число витков в одном слос

$$w_{3c} = (50-2.2)/1.07 = 43;$$

- б) число слоев m₃=118/43=2,7 возьмем m₃=3;
- п) толицина обмотки α₃=3·1,07=3,21 мм.
- I сли $\Delta = 1,4$ мм, α_1 , и $\alpha_{2,3} = 0,7$ мм, $\Delta_{3} = 0,7$ мм, $\Delta_{4} = 2,5$ мм,
- к 1.23, го необходимая ширина окна равна:
 - (-1.23(1.4+4.9+0.7+2.38+0.7+3.21+0.4)+2.5=19.7 MM.Плирина окна C=20 мм>19.7, Следовательно, обмотки
- ризменияются в окне магнитопровода.

Залачи

Задача 7.1. Магнитный поток грансформатора равен Φ =2 10^{-3} Вб, частота тока f=50 Гц, э.д.с. вторичной обмотки Е,=220 В. Определить число витков вторичной обмотки. Решение:

1. Максимальное значение магнитного потока

$$\Phi_{n} = \Phi \cdot \sqrt{2} = 2 \cdot 10^{-3} \sqrt{2} = 2.82 \cdot 10^{-3} \text{ B6}.$$

$$E_{,=4,44fw},\Phi$$

$$w_2 = \frac{E_2 = 4,44 f w_2 \Phi_{\mu};}{4,44 \cdot f \cdot \Phi_{\mu}} = \frac{220}{4,44 \cdot 50 \cdot 2,82 \cdot 10^{-3}} = 350$$
 витков.

Задача 7.2. Напряжение первичной обмотки трансформатора U=220 В, частота f=50 Гц, активное сечение сердечника S=7,6 см², амплитудное значение магнитной индукции $B_{w}=0,95$ Тл, число витков вторичной обмотки $w_{v}=40$. Определить коэффициент трансформации трансформатора.

1. Амплитудное значение магнитного потока равно

$$\Phi_{M} = B_{M} \cdot S = 0.95 \cdot 7.6 \cdot 10^{-4}_{M} = 7.32 \cdot 10^{-4} B6$$

2. Э.д.с. вторичной обмотки

$$E = 4,44 \cdot f \cdot w \cdot \Phi = 4,44 \cdot 50 \cdot 40 \cdot 7,32 \cdot 10^4 = 6,5 B.$$

3. Коэффициент трансформации

$$K = \frac{E_1}{E_2} = \frac{220}{6.5} = 34.4$$

где E = U = 220 B.

Задача 7.3. Трансформатор мошностью 15 кВ А подключен к сети постоянного тока с напряжением U=3B. При этом амперметр показывает I=25 A. После этого трансформатор подключили к сети переменного тока с $U=220~{\rm B}$ и $f=50~{\rm Fu}$. При этом ток холостого хода $I_x=6$ A, показание ваттметра $P_x=90$ Вт. Напряжение вторичной обмотки U,=36 В. Мощность потерь первичной и вторичной обмоток равны, сосф. =0,9. Определить:

пкливное, индуктивное и полное сопротивления перобмотки;

КПД.

Решение:

1 Согласно закону Ома активное сопротивление перпичной обмотки

$$R_{\perp} = \frac{U}{I} = \frac{3}{25} = 0.12 \text{ Om}.$$

2 Полное сопротивление переменному току

$$Z_1 = \frac{U_1}{L} = \frac{220}{6} = 36.6 \text{ Om}.$$

1 Индуктивное сопротивление первичной обмотки

$$X_1 = \sqrt{Z_1^2 - R_1^2} = \sqrt{(36.6)^2 - (0.12)^2} = 36.59 \text{ Om}$$

Монность потерь первичной обмотки при холостом ходе

$$\Delta P_{10} = 1^2 \cdot R_1 = 6^2 \cdot 0.12 = 4.3 \, Bm$$

$$\Delta P_c = P_x - P_1 = 90-4.3 = 85.7 \text{ BT}$$

CHITHEM $\Delta P = \Delta P = 90$ BT

6. Номинальный ток первичной обмотки

$$I_{ii} = \frac{S_{ii}}{U_{ii}} = \frac{15000}{220} = 68.2 \,\text{A}$$

7 Мошность потерь первичной обмотки при номиналь-

$$\Delta P_{1a} = 1_{1a}^2 - R = (68.2)^2 - 0.12 = 558 Bm$$
.

В в соответствии с условием задачи мошность потерь перпичной и вторичной обмоток равны. Поэтому суммарная мошния потерь в грансформаторе равна:

 $\Sigma \Delta P = \Delta P_{111} + \Delta P_{2H} + P_C = 558 + 558 + 90 = 1206 \text{ Br.}$

9 КПД поминально нагруженного трансформатора

$$\eta_{11} = \frac{P_1 - \Sigma \Delta P}{P_0} = \frac{15000 - 1206}{15000} = 0.92.$$

Задача 7.4. На холостом ходу напряжение первичной обмотки трансформатора U,=220 В, ток холостого хода I,=1,2 А, мощность потерь Р = 150 Вт. Определить реактивное сопротивление первичной обмотки.

Решение:

1. Активное сопротивление первичной обмотки

$$R_{_{1}} = \frac{P_{_{0}}}{I_{_{0}}} = \frac{150}{(1,2)^{2}} = 104,2 \text{ Om}.$$

2. Полное сопротивление первичной обмотки

$$Z_1 = \frac{U_1}{I_1} = \frac{220}{1,2} = 183,2 \,\text{Om} \,.$$

3. Реактивное сопротивление первичной обмотки

$$X_1 = \sqrt{Z_1^2 - R_1^2} = \sqrt{(183,3)^2 - (104,2)^2} = 151 \text{ Om}$$

Задача 7.5. В трехфазном трансформаторе w_i =1836, w_i =135. Линейное напряжение первичной обмотки U_i =3000В. Определить коэффициент трансформации и линейное напряжение вторичной обмотки звезда-треугольник (λ/Δ).

1. Обмотки соединены в звезда-звезда. Коэффициент трансформации:

$$K_{\lambda/\lambda} = \frac{\omega_1}{\omega_2} = \frac{1836}{135} = 13.6$$

Напряжение вторичной обмотки:

$$U_1 = \frac{U_1}{K_0} = \frac{3000}{13,6} = 220 \text{ B}$$

2. Обмотки соединены звезда-треугольник. Коэффицисит трансформации увеличится в √3 раз.

$$K_{N/4} = K_{N/3} - \sqrt{3} = 13.6 - \sqrt{3} = 23.5.$$

Линейное напряжение вторичной обмотки:

$$\frac{U_1}{U_2} = 23.5$$
 $U_2 = \frac{U_1}{23.5} = \frac{3000}{23.5} = 127 \text{ B}.$

Задача 7.6. Трехфазный трансформатор имеет следующие гипиметры: номинальная мошность S_H=1000 кВ A, напряжения в 1000 кВ A, ппп первичной и вторичной обмоток $U_{11} = 10\,$ кВ, $U_{21} = 400\,$ в, течение сердечника Q=450 см², амплитудное значение магштной индукции $B_u = 1.5$ Тл, частота тока f = 50 Гц, мощность шперь в сердечнике $P=2,45~{\rm kBT},~{\rm B}$ обмотках $P_0=12,2~{\rm kBT},$ в обмотках $P_0=12,2~{\rm kBT},$ можность нагрузки $P_2=810~{\rm kBT},$ коэффициент мощности наар =0,9, сосдинения обмоток Δ/λ (треугольник-звезда).

Определить: 1. Токи первичной и вторичной обмоток. 2 Число витков обмоток. 3. КПД при действительной и иминальной нагрузках.

Pemenue:

1. Токи обмоток

$$I_{1a} \cdot U_{1a} \cdot U_{1a} \quad omcroda \quad I_{1a} = \frac{S \cdot 1000}{\sqrt{3} \cdot U_{1a}} = \frac{1000 \cdot 1000}{1,73 \cdot 10000} = 58 \text{ A.}$$

$$1_{3.0} = \frac{S_u \cdot 1000}{\sqrt{3} \cdot U_{2u}} = \frac{1000 \cdot 1000}{1,73 \cdot 400} = 144,5 \text{ A}$$

2. Коэффициент нагрузки определяем по формуле

$$K_{n} = \frac{P_{2}}{S_{n} \cdot \cos \varphi_{2}} = \frac{810}{1000 \cdot 0.9} 0.9$$

1. Действительный ток в обмотках с учетов коэффициенти нагрузки

$$I = K_n \cdot I_{1n} = 0.9 \cdot 58 = 52 \text{ A};$$

 $I_2 = K_n \cdot I_{2n} = 0.9 \cdot 1445 = 1300 \text{ A}.$

4. Без учета падений напряжения в обмотках: фазная э.д.с. первичной обмотки:

 $E_{10} = U_1 = 10000 \text{ B}$

ття, первичная обмотка соединена треугольником); фалная э.д.с. вторичной обмотки:

 $E_{2\phi} \approx U_{2\mu} / \sqrt{3} = 400 / \sqrt{3} = 230 \text{ B}.$

(т.к. вторичная обмотка соебинена тветбой)

5. Число витков обмоток нахобится ип формулы:

$$E_{i\phi} = 4,44 f \cdot w_i \cdot \Phi_u$$
 rote $\Phi_u = B_u \cdot Q = 1,5 \cdot 450 \cdot 10^{-7}67,5 \cdot 10^{-3}$ B6.

Отсюда

$$w_{1} = \frac{E_{1\phi}}{4,44 \cdot f \cdot \Phi_{1}} = \frac{10000}{4,44 \cdot 50 \cdot 67,5 \cdot 10^{-3}} = 667$$

$$\frac{w_{1}}{w_{2}} = \frac{E_{1\phi}}{E_{1\phi}}; \quad w_{2} = \frac{w_{1} \cdot E_{2\phi}}{E_{1\phi}} = \frac{667 \cdot 230}{10000} = 15,3;$$

6. КПД трансформатора:

-при номинальной нагрузке

$$\eta_{_{u}} = \frac{S_{_{u}} \cdot cos\phi_{_{2}}}{S_{_{u}} \cdot cos\phi_{_{2}} + P_{_{u}} + P_{_{o}}} = \frac{1000 \cdot 0.9}{1000 \cdot 0.9 + 2.45 + 12.2} = 98.4\%$$

-при действительной нагрузке:

$$\eta = \frac{K_{n} \cdot S_{n} \cdot \cos \varphi_{2}}{K_{n} \cdot S_{n} \cdot \cos \varphi_{2} + P_{n} + P_{n}} = \frac{0.9 \cdot 1000 \cdot 0.9}{0.9 \cdot 1000 \cdot 0.9 + 2.45 + 12.2} = 98.5\%.$$

ГЛАВА 8

ЭЛЕКТРИЧЕСКИЕ ИЗМЕРЕНИЯ И электроизмерительные приборы

8.1. Некоторые понятия из метрологии

11 імерение - это нахождение физической величины при помощи мер и измерительных приборов.

Мера – это средство измерения путем непосредственного в произведения физической величины (метр, см. и т.д.).

II мерительный прибор — это средство для наблюдения и осуществления измерения физической величины (амперметр, вольтметр и т.д.).

) исктрические измерительные приборы делятся на две группы приборы непосредственного измерения и приборы сравнепин Амперметр, вольтметр, омметр и т.д. — это приборы непосреж тисиной оценки, т.к. в них измеряемую величину можно определить, глядя на шкалу прибора. В приборах сравнения (мост, мимисисатор) измеряемая величина сравнивается с мерой. Они применяются при точных измерениях.

Обычно результат измерения отличается от действительпого шачения измеряемой величины. Разница между измеренной величиной и её действительным значением назывистся абсолютной погрешностью.

$$\Delta A = A_n - A_n , \qquad (8.1)$$

тле А, — измеренная величина; А, — действительное значение величины. Отношение абсолютной погрешности к действительному пилистию измеряемой величины называется относительной погрешностью

$$\beta = \frac{\Delta A}{A_4} - 100\% \tag{8.2}$$

Отношение максимальной абсолютной погрешности прибора к верхнему пределу измерения называется приведенной погрешностью

$$\beta_{\rm np} = \frac{\Delta A}{A_{\rm max}} \cdot 100\% \,, \tag{8.3}$$

где A_{max} — верхний предел измерения прибора; β_{max} — приведенная погрешность.

Приведенная погрешность указывается на шкале прибора.

8.2. Классификация электроизмерительных приборов. Условные обозначения на шкале

В табл. 8.1. и 8.2. приведены наименования, назначения, условные обозначения электроизмерительных приборов. По принципу работы различают следующие системы: магнитоэлектрические, электромагнитные, электродинамические, ферродинамические, индукционные, электростатические, электронные.

По назначению приборы бывают: вольтметры (для измерения напряжения), амперметры (для измерения силы тока), ваттметры (для измерения мощности), счетчики (для измерения электроэнергии), омметры (для измерения сопротивления), частотометры (для измерения частоты) и т.д.

По виду тока бывают приборы переменного тока, постоянного тока, универсальные.

По способу установки бывает горизонтальные, вертикальные приборы и установка под углом, указанным на шкале.

По основной приведенной погрешности приборы бывают следующих классов точности: 0,05; 0,1; 0,2; 0,5; 1,0; 1,5; 2,5 и 4,0.

8.3. Приборы магнитоэлектрической системы

Устройство прибора показано на рис. 8.1. Между полюсами постоянного магнита и цилиндрическим сердечником на двух полуосях установлена подвижная катушка (рамка) прямоугольной формы. В любом положении катушки магнитные силовые линии направлены перпендикулярно её проводникам. По закону Ампера на каждую сторону катушки действует сила

Таблица 8.1 Электроизмерительные приборы и их условные обозначения

	Jenobilote determine	Условные обозначения
напичница причинал	Наименование прибора	условные осозначения
Tok	Мишиамперметр, амперметр киноамперметр	mA A SA
Типрижение	Миливольтметр, вольтметр. киловольтметр	
том грознертия	Счетчики	(Wh) (VARh)
Манапсть	Ваттметр, киловаттметр	w w
С диня фаз	Фазометр	
Чистота	Частотомер	Hz
мектр.	Омметр, мегоомметр	Ω ΜΩ

 $t = \epsilon$ ила; $t = \epsilon$ активная длина одной стороны витка; $t = \epsilon$ нов катушка; В- магнитная индукция в воздушном зазоре на вду полюсами магнита и цилиндрическим сердечником.

Системы электроизмерительных приборов и обозначения на их шкалах

Обоз систем		Обозначения на шкалах приборо	Пояснения
A	М агнитоэле ктричес ка	Обожиние	Основная
(x)	Магнитоэле ктричес кн логометр	0,03 0,1 0,2	0,05; 0,1; 0,2; 0,5; 1 1,5; 2,5; 4.
2	Выпрямительная	(2,5) (4)	
2	Термоэлектрическая	Вид тока	Постоянный
李	Электромагнитная	~	Персменный
=	Электродинамическая	Положение шкалы прибора	Трехфазный
英	Электродинамический логометр		Вертикальное Горизонтальное Под углом
	Ферродинамическая	изоляционная [Трибор испытан под напряжением
(4)	Ферродинамический логометр		kB
0	Индукционная	Обозначения зажимов	
_	Электростатическая	minn C	енераторный осдиненный с орпусом
↓ E	Вибрационная	Пример 9. Кл 4 (1.5) 60° кл то	аземленный лектромагнитный, асс точности 1,5, кала выполнена и переменного ка, установка под лом 60°

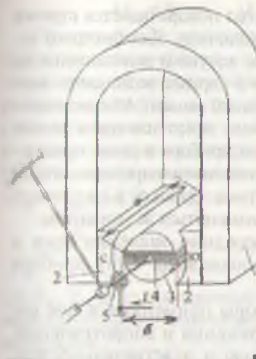


Рис. 8.1. Устройство магнитоэлектрического прибора: 1-постоянный магнит; 2-полюсные наконечники; 3-сердечник; 4-подвижная катушка (рамка); 5-спиральные пружины.

 число витков катушки. На другую сторону катушки дейтпуст точно такая же, но противоположно направленная, сила. В результате возникает вращающий момент

 $M_{ap} = B I I \cdot w \cdot P$,

гле P — ширина катушки.

Так как величины В. І, w. Р для каждого прибора являются постоянными, то формулу 8.5. можно написать в виде $M_{\rm h}\!=\!K_{\rm l}$ I, (8.6)

тис K = B l w P — постоянный коэффициент.

Ток на катушку подается через две спиральные пружипы, создающие также противодействующий момент

 ${\rm M}_{\rm m} = {
m K}_{\rm s} \, {
m c}_{\rm s}$, (8.7) где к – угол поворота катушки; ${
m K}_2$ – постоянный коэффинисит удельный противодействующему моменту (момент,

приходящийся на 1° угла поворота катушки). Под действием $M_{\rm up}$ катушка поворачивается, и когда М $M_{\rm up}$ -останавливается. Пользуясь этим равенством наймем угол поворота катушки $M_{\rm up} = M_{\rm up}$ или $K_{\rm u} = 1 = K_{\rm up}$ (8.8)

$$M = M_{ap}$$
 или $K_1 = K_2 - \alpha$ (8.8)

отсюда
$$\alpha = \frac{K_1}{K_2} \cdot I = K \cdot I$$
, (8.9)

гле К = постоянный коэффициент.

Вместе с катушкой на тот же угол поворачивается стрелка и по шкале покажет измеряемую величину. Для быстрого успокосния подвижной части каркас катушки выполняется из алюминия. При повороте катушки в каркасе возникают вихревые токи, создающие успокоительный момент. Магнигоэлектрические приборы непосредственно могут измерять только постоянный ток. При подключении прибора в цепь переменного тока вращающий момент М в изменяется пропорционально мгновенному значению этого тока. Однако, в силу инерции подвижная часть не успевает изменяться за моментом.

Для синусоидального тока средние значения тока и момента равны нулю. Поэтому подвижная часть прибора не поворачивается.

Магнитоэлектрические приборы применяются для измерения постоянного тока, напряжения и сопротивления. Они обладают высокой точностью и чувствительностью, потребляют мало электроэнергии. Так как угол поворота прямо пропорционален току, то шкала у них равномериа. Наличие постоянного магнита делает независимым его показания от влияния внешнего магнитного поля.

Для производства измерений в цепях переменного тока магнитоэлектрический прибор подключается через выпрямитель и называются они выпрямительными системами: Выпрямитель, устанавливается внутри прибора. Обычно выпрямительные системы используются как универсальные приборы цепях переменного и постоянного токов при измерении тока, напряжения, сопротивления, емкости в широких пределах.

8.4. Приборы электромагнитной системы

Устройство электромагнитного прибора показано на рис. 8.2. Измеряемый ток подается непосредственно на неподвижную катушку. Магнитное поле, возникающее в катушке, втягивает внутрь нее сердечник, который при этом поворачивается и поворачивает за собой стрелку. Так как магнитное поле пересекает катушку и сердечник, то врашающий момент пропоршионален квадрату тока

$$M_{\rm BP} = K_1 - I^2$$
. (8.10)

Противодействующий момент создается спиральной пружиной

$$M_{11P} = K, \alpha.$$
 (8.11)

При равенстве вращающего и противолействующего моменпи полвижной механизм прибори останавливается, и связанная ним стрелка по шкале покажет величину измеряемого параметри. Угол поворота механизма: М_{ви} М_{пр} или К₁Г-К₂ \alpha (8.12)

$$\alpha = \frac{K_1}{K_2} I^3 = K \cdot I^2,$$
 (8.13)

тие K_1 , K_2 , K — постоянные копффициенты; α — угол поворота
мрапнизма.



Рис. 8.2. Устройство электромагнитного прибора: 1) неподвижная катушка; 2) подвижный сердечник; 3) спиральная пружина; 4) цилиндр; 5) поршень

Приборы электромагнитной системы применяются для и мерения как постоянного, так и переменного токов, поскольку при изменении направления тока в катушке, изменяется направление в сердечнике. В результате направление вращающего момента не изменяется.

Для быстрого успокоения механизма применяется возлиный успокоитель, состоящий из поршня и и цилиндра, шкрытого с одной стороны. Поршень поворачивается вместе с со стрелкой и создает в цилиндре разность давлений. Прохождение воздуха между поршнем и цилиндром замедмет движение поршня. В результате колебания подвижного механизма быстро прекращаются. Так как угол поворота пропоршнопален квадрату тока шкала электромагнитного прибора пелинейная: сжата в начале и растянута в конце:

Приборы электромагнитной системы большей частью применяются как рабочие приборы в цепях переменного токи частотой до 10 кГц.

8.5. Приборы электродинамической системы

Устройство прибора показано на рис 8.3. Измеряемый ток подается как на подвижную, так и на неподвижную катушки. Между ними возникает электродинамическое взаимолействие. В результате на подвижную катушку действу-

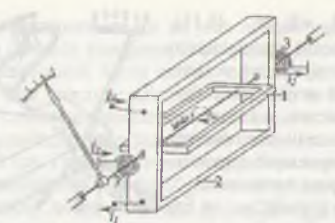


Рис. 8.3. Устройство электродинамического прибора: 1-подвижная катушка; 2-неподвижная катушка; 3-спиральные пружины.

ет вращающий момент. Ток на подвижную катушку подается через две спиральные пружины, которые служат также для создания противодействующего момента. Подвижная катушка поворачивается вместе со стрелкой и останавливается, когда оба момента станут равными друг другу. Угол поворота подвижной катушки для постоянного тока равен:

 $\alpha = K_1 \cdot I_1 \cdot I_2$ (8.14)где K, - постоянный коэффициент; I, и I, - токи неподвижной и подвижной катушек.

Угол поворота подвижной катушки для переменного тока. $\alpha = K, 1, 1, \cos \varphi$

где ф - угол сдвига фаз между токами катушек.

Приборы электродинамической системы обладают высокой чувствительностью и точностью. Однако, они потребляют много электроэнергии и на их показания оказывает влияние внешнее магнитное поле. В большинстве случаев они используются как ваттметры и как образцовые приборы. Конструкция приборов сложна и они относительно дороги.

8.6. Приборы ферродинамической системы (рис. 8.4)

Принцип работы приборов ферродинамической системы такой же, как у электродинамической системы. Они имеют следующие конструктивные особенности: 1) для усиления магнитного поля неподвижная катушка имеет магнитопровод, 2) подвижная катушка вращается вокруг цилиндрического стального сердечника. Поэтому внешние магнит ные поля оказывают меньшее влияние на их работу и они обладают большим вращающим моментом. По этим причи-

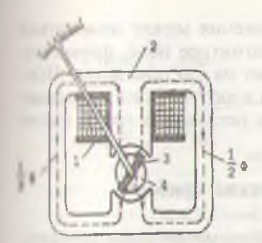


Рис. 8.4. Устройство ферродинамического прибора: 1-неподвижная катушка; 2-сердечник неподвижной катушки; 3-нодвижная катушка; 4-сердечник полвижной катушки.

пим приборы ферродинамической системы применяются в самонициущих приборах, в которых требуется иметь значипльный вращающий момент. На воздушных судах из-за больпих вибраций и наличия посторонних магнитных полей также применяются приборы ферродинамической системы.

8.7. Электростатические приборы

Устройство электростатического прибора показано на рис.

М 1 Между двумя неподвижными пектродами установлен подвижнып электрод, укрепленный на или. Измеряемое напряжение на польшжный электрод подается через сипральную пружину, которан служит также для создания противодействующего момента. Между электродами возникает нектрическое поле, под действием которого подвижный электрод попорачивается и стремится занить такое положение, при кото- статического прибора: 1-неподим эпергия электрического поля вижный электрод; 2-подвижбулст иметь максимальное значеине Угол поворота подвижного нектрода и связанной с ним стрелки определяется по формуле $\alpha = K - U^2$

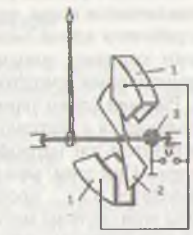


Рис. 8.5. Устройство электроный электрод; 3-спиральная пружина.

Следовательно, по принципу действия электростатические приборы измеряют напряжение. Эти приборы легкие, частота измеряемого напряжения может изменяться в широких пределах, внешнее магнитное поле, форма измеряемого напряжения не влияют на его показания. Чувствительность прибора невелика и поэтому они применяются при напряжениях от 30 до нескольких сотен тысяч вольт.

8.8. Термоэлектрические приборы

Приборы этой системы состоят из магнитоэлектрическо-

го механизма и термоэлектрического преобразователя (рис. 8.6). В качестве преобразователя (рис. 8.6). В качестве преобразователя используется термопара с нагревателем, по которому проходит измеряемый ток. Термопара представляет собой спай двух разнородных металлов. Спаянные концы термопары называются рабочим концом, а другие — свободными концами. Принцип работы термопары заключается в том, что при нагревании рабочего конца между его свободными концами появляется э.д.с., пропорциональная температуре рабочего конца. Рабочий конец термопары свар-



1-проводник-нагре

ватель: 2-термопара

кой соединяется с нагревателем. При прохождении тока через нагреватель он нагревается и нагревает рабочий конептермопары. При этом, между свободными конпами термопары появляется э.д.с., пропорциональная току нагревателя. Приборы этой системы могут применятся для измерения тока, мощности в широком диапазоне частот. Термопреобразователь обычно монтируется внутри прибора. При больших токах прибор имест внешний термопреобразователь.

8.9. Выпрямительные приборы

Выпрямительные приборы состоят из магнитоэлектрического измерительного механизма и полупроводникового выпрямителя (рис. 8.7). При помощи диодов VД1-VД4 переменный ток преобразуется в пульсирующий. Среднее значение момента и угол поворота подвижного механизми

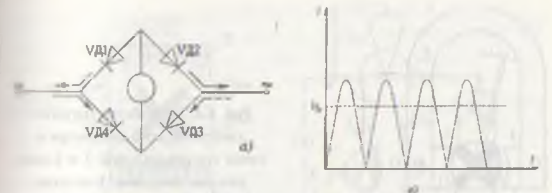


Рис. 8.7. Схема выпрямительного прибора: а) схема прибора; б) пульсирующий ток.

пропорциональны среднему значению пульсирующего тока. Этот ток пропорционален действующему значению синусондального тока. Поэтому выпрямительные приборы гралупруются в действующих значениях при синусоидальной форми кривой переменного тока.

Выпрямительные приборы широко применяются в виде персносных универсальных многопредельных ампер-вольпоммстров («тестеров»).

8.10. Логометры

Логомстром называется прибор, в котором угол поворота подвижного механизма пропорционален отношению апух токов. Они применяются для измерения сопротивления, емкости, частоты, сдвига фаз, температуры и т.д.

1. Магнитоэлектрический логометр.

Его устройство показано на рис. 8.8. В магнитном поле потоянного магнита размещаются две подвижные катушки. Эти кптушки жестко скреплены друг с другом и насажены на одну ось со стрелкой. Токи к катушкам подводятся через тонкие, вистичные «безмоментные» ленты из золота или серебра.

Так как воздушные зазоры, в которых находятся катушки неравномерны, то и магнитное поле в них будет неоднородным. Поэтому вращающиеся моменты катушек выпосят от положения подвижной части, т.е. зависят от угла поворота с. Токи катушек направлены противоположно другу. Поэтому вращающие моменты будут направлены напетречу другу другу. Угол поворота подвижной части зависит лишь от отношения токов в катушках:

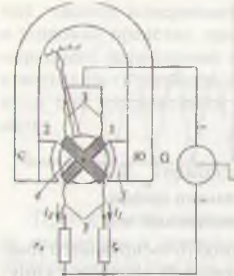


Рис. 8.8. Устройство магнитоэлектрического логометра и схема его соединений: 1 и 2-подвижиые катушки; 3-золотые (серебряные) ленточки; 4-сердечник; 5-наконечники постоянного магнита.

 $\alpha = f\left(\frac{l_i}{l_z}\right) \tag{8.17}$

Одна параллельная ветвь логометра состоит из последовательно соединенных катушки и измеряемого сопротивления, а другая состоит из последовательно соединенных катушки и дополнительного сопротивления. Учитывая то, что токи в параллельных ветвях обратно пропорциональны их сопротивлениям, можно написать:

$$\alpha = f\left(\frac{I_x}{I_x}\right) = f\left(\frac{Rx}{R\partial}\right). \tag{8.18}$$

Так как дополнительное сопротивление постоянно, то угол поворота механизма зависит только от величины измеряемого сопротивления и не зависит от напряжения питания. Это позволяет применять в них магнитоэлектрические генераторы G с ручным приводом, обладающие нестабильной э.д.с. (рис. 8.26).

2. Электродинамический логометр (рис. 8.9).

Логометр-фазометр этой системы состоит из двух подвижных и одной неподвижной катушек. Подвижные катушки скреплены на одной оси и размещены в магнитном поле неподвижной катушки. Ток I неподвижной катушки сдвинут по фазе относительно напряжения на угол ф. Подвижные катушки через резистор г и дроссель L соединены параллельно нагрузке Z_и, которая последовательно сосдиняется с неподвижной катушкой. Взаимодействие подвижной катушкой. Взаимодействие подвижной катушкой.

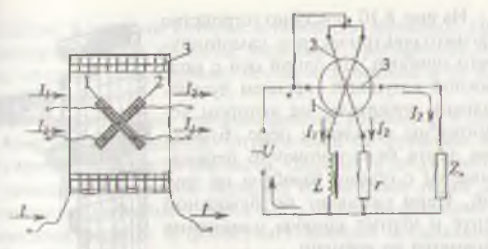


Рис. 8.9. Электродинамический логометр-фазометр: а) устройство; б) схема соединений.

ных и неподвижной катушек создает два врашающих моченти, под действием которых подвижная часть повернетси на некоторый угол с. Этот угол пропорционален углу слина ф между током и напряжением.

8.11. Цифровые приборы

В этих приборах измеряемые непрерывные величины преобразуются в комбинации условных цифр на цифровых инпинаторах, в качестве которых широко используются мнополектродные лампы, дающие изображения циф от 0 до 9.
Пифровые приборы обладают высокой точностью, быстропействием, широкими пределами измерения, легко компи ктуются с ЭВМ, результаты их измерений могут без попрешностей передаваться на большие расстояния. Недостатками их являются высокая стоимость и сложная схема.

В большинстве случаев цифровые приборы применяются в кичестве цифровых вольтметров. Применяются также цифровые частотомеры, фазометры, омметры и т.д. Более подробная информация о цифровых приборах дана в главе 20.

8.12. Регистрирующие приборы

Эти приборы применяются для длительного наблюдения и записи измеряемых параметров. Они осуществляют инись медленно изменяющихся величин. В самопишуших приборах для записи измеряемой величины применяется специальное устройство.

На рис. 8.10. показано устройство магнитоэлектрического самопишущего прибора. На одной оси с подвижной катушкой укреплен дугообразный держатель, на котором установлены стрелка и перо. Бумажная лента безостановочно перематывается с одного барабана на другой. Перо скользит по бумажной ленте и чертит кривую изменения параметра во времени.

Самопишущие приборы широко применяются на электро- и метеостанциях для длительного наблюдения и записи различных параметров.

Для наблюдения и записи быстро изменяющихся параметров применяются электронные и магнитоэлектрические осциллографы. На рис.



прибор: 1-подвижная тушка; 2-дугообразный держатель; 3-бумажная лента.

8.11. показано устройство магнитоэлектрического осщиллографа. Измерительным элементом является вибратор, представляющий собой бронзовую натянутую ленточку и

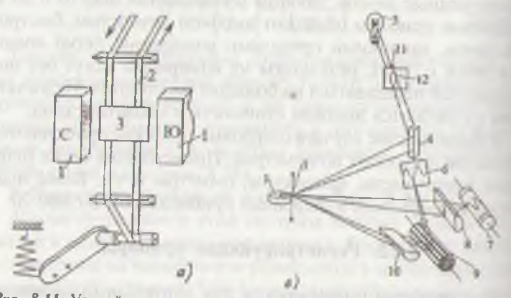


Рис. 8.11. Устройство магнитоэлектрического осциллографа: а) вибря тор; б) схема осциллографа: 1-постоянный магнит; 2-петля; 3-зеркало; 4-призма; 5-лампа; 6-экран; 7-фотобумага; 8-линза; 9-многогранный зеркальный барабан; 10-призма; 11-конденсор; 12-диафрагма

пилс петли, в середине которой установлено зеркальце. При прохождении тока по петле возникает вращающий момент, который поворачивает петлю и зеркальце в ту или пругую сторону.

Луч света от лампы через диафрагму, конденсор и приму попадает на зеркальце. Отраженный от зеркальца луч через призму делится на две части. Одна часть направляется при помощи зеркального барабана на матовый экран для ниблюдения. Другая часть через линзу падает на фотобумату. Ієркальный барабан и фотобумагу вращает специальный барабан. При этом на экране наблюдается неподвижное изобрижение исследуемого парамстра, а на фотобумаге вычерчивается график изменения этого параметра во времени.

8.13. Измерение тока и напряжения

Показания амперметров зависят от тока, проходящего через его подвижную часть. Поэтому амперметр в электрических цепях соединяется последовательно с нагрузкой (геператором). Чтобы не нарушать режим работы электрической пени сопротивление амперметра должно быть намного меньше сопротивления цепи или нагрузки. Показание вольтметра записит от напряжения между его зажимами. Поэтому вольтметр соединяется параллельно цепи. Чтобы не нарушить режим работы цепи сопротивление вольтметра должно быть нимного больше сопротивления нагрузки или ветви цепи.

Расширения пределов измерения амперметра

1. Для расширения пределов измерения амперметра на постоянном токе применяются

шунты (рис. 8.12). Шунт - это строго калиброванное сопротивление, выполненное из сплава манганин, особенностью которого является то, что его сопроиниление при изменениях температуры остается практически постоянным. Шунт соединяется последовательно с нагрузкой, порадлельно пунту подключает- постоянного тока при помощи си имперметр. При таком под-

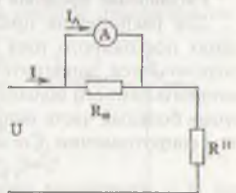


Рис. 8.12. Схема измерения шунта.

ключении большая часть тока проходит через шунт, так как его сопротивление выполняется намного меньше, чем сопротивление амперметра. Например, при помощи амперметра на $I_A = 5A$ необходимо измерить $I_0 = 75$ A, т.е. предсл измерения необходимо расширить в 75/5=15 раз. Сопротивление шунта можно определить по формуле

$$R_{\perp} = \frac{R_{\perp}}{m-1}$$
, (8.19)

где $m = \frac{I_n}{\epsilon} - \kappa$ оэффициент расширения предела;

R₂ - сопротивление амперметра.

Фактически амперметр измеряет падение напряжения на шунте и его можно назвать милливольтметром. На практике шунты изготавливаются на падение напряжения 60, 75, 150, 300 mV. Например, на шунте написано 1=100 A, 75mV. Это значит, что шунт рассчитан на номинальный ток 100 А и при прохождении этого тока на нем падает 75 mV. До 50-100 A шунты встроены внутрь амперметра, при больших токах применяют наружные шунты.

2. Для расширения пределов измерения на переменном токс применяются трансформаторы тока, устройство и принцип работы которого приведен ранее (параграф 7.7).

Ток, проходящий через ампермстр, меньше измеряемого тока в К (коэффициент трансформации) раз. Однако, шкала амперметра соответствует измеряемому току.

Расширение пределов измерения вольтметра

Для расширения пределов измерения напряжения и цепях постоянного тока последовательно с вольтметром подключается дополнительное сопротивление, величина которого намного больше сопротивления вольтметра. Поэтому большая часть напряжения падает на дополнительном сопротивлении. Согласно схеме рис 8.13:

через вольтметр, R_v - сопротивление вольтметра, R_s дополнительное сопротивление, U_v - максимальное напряжение, измеряемое вольтметром.

Коэффициент расширения прене и измерения вольтметра:

$$m = \frac{U}{U_V} = \frac{R_o + R_V}{R_V}$$
 (8.21)

Следовательно, величина дополнительного сопротивления $R_a = R_v(m-1)$. (8.22)

Дополнительное сопротивле- жения при помощи добание выполняется из манганина вочного сопротивления. или константана, обладающих

большим удельным сопротивлением и малым температур-

ным коэффициентом сопротивления.

Рис. 8.13. Схема измерения постоянного напря-

Для расширения пределов измерения вольтметра в цепих переменного тока применяется трансформатор напряасния, устройство и принцип работы которого рассмотрен ранее (тема 7.7, рис. 7.8). Необходимо отметить, что напрямение, измеряемое вольтметром в К (коэффициент трансформации) раз меньше измеряемого напряжения. Однако шкала вольтметра соответствует измеряемому напряжению.

8.14. Измерение мощности

1. В цепи постоянного тока мощность можно опредечить, измерив ток и напряжение

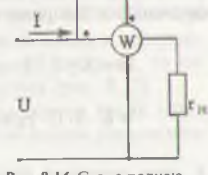
P=1-U.

Эту мощность можно измерить при помощи электродинамического ваттметра. Неподвижная катушка, называемая то-

колой или последовательной, соедиинстся последовательно с нагрузкой. Полнижная катушка, называемая параплельной или катушкой напряжеппи, подключается параллельно напру вке (рис 8.14).

В цепи постоянного тока угол поворота подвижной части электремлинамического прибора равен: Рис. 8.14. Схема подклю-

 $\alpha = K_1 \cdot l_1 \cdot l_2$



чения ваттметра.

Подвижная катушка выполняется из тонкой проволоки с большим количеством витков. Поэтому эта катушки получается легкой и обладает большим активным сопротивлением. По этой причине ток подвижной катушки будет пропорционален напряжению

$$I_2 = \frac{U}{R},\tag{8.23}$$

где $I, \ n \ R, \ -$ ток и активное сопротивление подвижной катушки. Следовательно, угол поворота подвижной катушку можно выразить

$$\alpha = K_1 \cdot I_1 \cdot I_2 = K_1 \cdot I_1 \cdot \frac{U}{R_2} = \frac{K_1}{R_1} \cdot I \cdot U = K_2 \cdot P$$
, (8.24)

где I_1 — ток неподвижной катушки, K_2 — постоянный корффициент, P — мощность. Так как неподвижная катушки соединяется последовательно с нагрузкой, то её ток будет равен току нагрузки I_2 = I_2 .

Таким образом, угол поворота подвижной части элект родинамического прибора пропорционален мощности цепи, т.е. отградуировав шкалу в ваттах можно измерять мощность

2. Активная мошность в цепи переменного тока $P=I\cdot U\cdot \cos\phi$.

Угол поворота подвижной части электродинамического прибора в цепи переменного тока

$$\alpha = K_1 \cdot I_1 \cdot I_2 \cdot \cos \varphi. \tag{8.25}$$

Так как подвижная катушка выполняется из тонкой проволоки и имеет большое количество витков, то его полное сопротивление практически равно активному. По этой причине можно считать, что ток этой катушки будет пропорционален напряжению и совпадать с ним по фазе:

$$\alpha = K_1 \cdot I_1 \cdot I_2 \cdot \cos \phi = K_1 \cdot I_1 \cdot \frac{U}{R_2} \cdot \cos \phi =$$

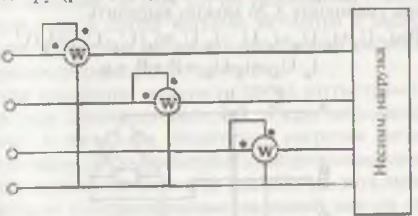
$$= K \cdot I \cdot U \cdot \cos \phi = K \cdot P,$$
(8.25)

т.е. угол поворота подвижной катушки пропорционален мошности.

На лицевую панель ваттметров выведены четыре зажиып, к которым присоединяются концы катушек. Зажимы, к которым присоединены начала катушек, называются гепериторными и они обозначаются точками (·). К ним подвлючаются провода, идущие от генератора. Если в одной ит китушек перепутать между собой зажимы, то подвижной механизм повернется в обратную сторону. Для измепения поворота подвижной части необходимо поменять направление тока в любой из катушек.

8.15. Измерение активной мощности в трехфазных цепях

 Для измерения мошности в несимметричной трехфизной системе надо в каждую фазу подключить по одному витгметру (рис. 8.15) и их показания сложить.



Рыс 8.15. Схема измерения мощности в трёхфазной несимметричной системе при неравномерной нагрузке.

2. Для измерения мошности симметричной трехфазной пистемы достаточно измерить мошность одной фазы и показание ваттметра умножить на три (рис. 8.16). Если при гоелинский звездой невозможно подключиться к нейтральному проводу или к ветвям треутольной системы, то сочинствя искусственная нейтральная точка (рис. 8.17).

Мошность трехфазной системы можно также измерить при помощи двух ваттметров или одним двухэлементным ваттметром.

Мітювенная мощность трехфазной цепи

$$P = P_A + P_C = i_A U_A + i_B \cdot U_B + i_C U_C.$$
 (8.26)

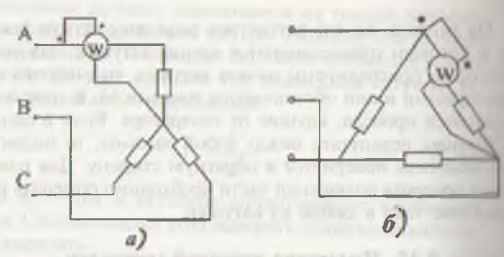


Рис. 8.16. Схемы измерений мощности в трёхфазной симметричини системе: а) при соединении приемников электроэнергии звездой б) при соединении приемников электроэнергии треугольником

Алгебраическая сумма мгновенных значений токоп $i_{a}+i_{B}+i_{C}=0$ откуда $i_{c}=-i_{a}-i_{b}$. Теперь уравнение 8.26 можно выразить $P = i_A \cdot U + i_B \cdot U_B - i_A \cdot U_C - i_B \cdot U_C = i_A \cdot U_A - U_C + i_B \cdot U_B \cdot C = i_A \cdot U_C - U_C + i_B \cdot U_C - U_C + U_C - U_C - U_C + U_C - U_C$ $_{AC}+_{1_{n}}\cdot U_{n}=P_{1}+P_{2}$ T.K.

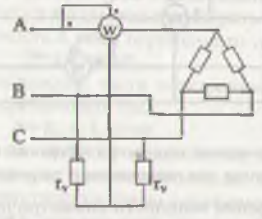


Рис. 8.17. Схема соединений ватгметра в трёхфазной системе при помощи искусственного поля.

разность фазных напряжений равна линейному напряжению

 $U_A - U_c = U_{AC}$ и $U_B - U_c = U_{BC}$ (8.19) На рис. 8.18 показана схема измерения мощности трих фазной системы при помощи двух ваттметров. Токоные оп могки подключаются на любые две фазы, на свободную при тью фазу подключается обмотка напряжения. В соответствии с уравнением 8.28 через токовые катушки прохолят фазные токи (і, ів), на катушки напряжения подаются липейные

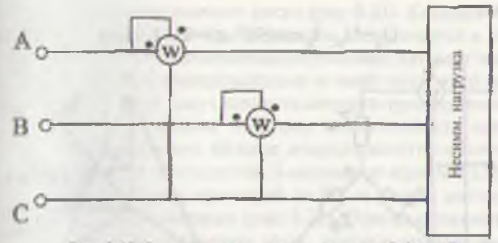


Рис. 8.18. Схема измерении мошности в трехфазной системе при помощи двух ваттметров.

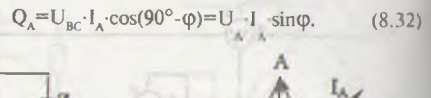
папряжения U_{вс} и U_{вс}. Мошность трехфазной системы будет равна сумме показаний двух ваттметров. Иногда стрелка одного из ваттметров поворачивается влево, что связано с характером нагрузки. В этом случае необходимо изменить напривление тока в любой катушке ваттметра и записать его показание. При этом мощность трехфазной системы будет равна разности показаний ваттметров.

Мстод измерения мощности двумя ваттметрами пригочен как при симметричной, так и при несимметричной нигрузках, а также при соединении нагрузки звездой или греугольником. Двухэлементный электродинамический или ферродинамический ваттметр состоит из двух неподвижных катушек и установленные на одной оси со стрелкой лиух подвижных катушек (катушек напряжения). Схема подв почения двухэлементного ваттметра аналогична схеме подпаючения двух однофазных ваттметров.

8.16. Измерение реактивной мощности в трехфазной системе (рис. 8.19)

В симметричной трехфазной системе реактивную мощность можно измерить одним ваттметром. Показание ваттметра

 $Q_{\rm A} = U_{\rm BC} I_{\rm A} \cos(I_{\rm A} U_{\rm BC}).$ (8.30) В соответствии с векторной диаграммой угол между липейным напряжением U_{BC} и током \hat{I}_A : $\angle I_A \cdot U_{\text{BC}} = 90^{\circ} - \phi$,



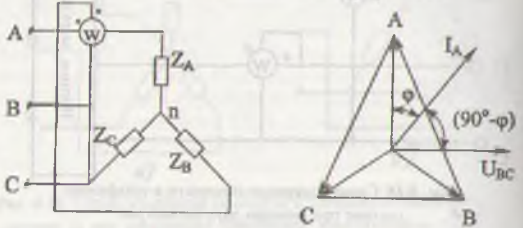


Рис. 8.19. Измерение реактивной мошности в трёхфазной системе.

Реактивная мощность трехфазной системы

$$Q = \sqrt{3} \cdot U \cdot I \cdot \sin \varphi \tag{8.33}$$

Для измерения реактивной мощности несимметричной трехфазной системы применяются специальные схемы.

8.17. Измерение электрической энергии

Для измерения электроэнергии применяются счетчики

электрической энергии. Среди различных систем счетчиков в цепях постоянного тока больше применяются электродинамические счетчики, а в цепях переменного тока - индукционные счетчики. Электрические счетчики - это суммирующие приборы. Основное отличие счетчиков от показывающих приборов - это отсутствие пружины, ограничивающей поворот подвижной части. Однофазный индукционный счетчик состоит из двух катушек, постоянного магнита и установлен-

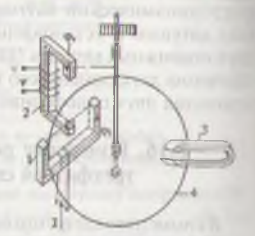
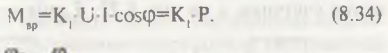
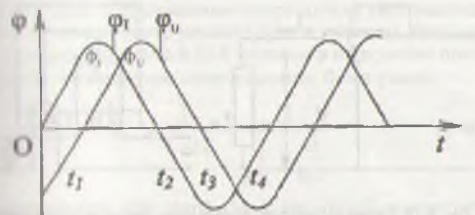


Рис. 8.20. Однофазный индукционный счетчик: 1-токовая катушка; 2-катушка напряжения; 3-постоянный магнит; 4-диск.

па оси алюминиевого диска (рис 8.20). Катушка напряимеет большое число витков и подключается к нагрузпападнельно. Последовательная (токовая) катушка подклювеся в выгрузке последовательно и имеет несколько витков.

Н вестно, что индуктивность катушки пропорциональна объериту числа витков. Поэтому индуктивность катушки на при вения намного больше индуктивности токовой капапа. По этой причине ток и магнитное поле Фи катушки паприжения отстает примерно на 90° от тока и магнитного ни ні Ф, токовой катушки (рис. 8.21). При их сложении возпринят бегунее магнитное поле, которое создает в диске 11000 При взаимодействии этих токов с магнитным полем вышимог вращающий момент:





15 1.21. Магнитные потоки токовой катушки и катушки напряжения индукционного счетчика.

Тирмотной момент создается вихрезыми токами, сопринятыми в диске постоянным магнитом. Тормозной мопри пропорционален скорости вращения диска

$$M = K, n,$$
 (8.35)

и скорость вращения диска

При установившемся положении

$$M_{ap} = M_{\tau}$$
;

$$K_{P}=K_{n}$$

$$p = \frac{\kappa_y}{\kappa} \cdot n = \kappa \cdot n, \tag{8.36}$$

Умножим это выражение на t:

$$P = K = K - n = t$$
, (8.37)

где Pt=W - энергия, затраченная за время t; n t=N - число оборотов диска за время t: К - постоянная счетчика. Значит W=K N.

$$K = \frac{W}{N}.$$
 (8.38)

Таким образом, затраченная энергия пропорциональна числу оборотов диска. Шкалу счетного механизма можно отградуировать в единицах электроэнергии.

На рис. 8.22, а показана принципиальная схема соединения счетчика, а на рис. 8.22, б дана практическая схема

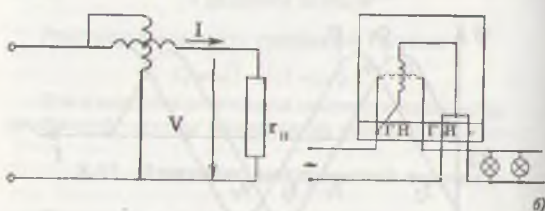


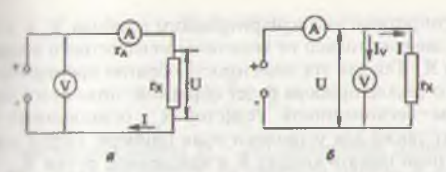
Рис. 8.22. Схема соединения однофазного индукционного счетчика: а) принципиальная схема; б) практическая схема соединений.

соединения однофазного индукционного счетчика. В трехфазных четырехпроводных цепях для измерения электроэнергии применяется трехэлементный счетчик. В трехфазных трехпроводных цепях для измерения электроэнергии применяются двухэлементные счетчики с двумя дисками или однодисковые счетчики.

8.18. Измерение сопротивлений

1. Метод амперметра и вольтметра

В соответствии с законом Ома для нахождения сопротивления достаточно знать величины напряжения и тока цепи. На схеме 8.23 а вольтметр подключен впереди амперметра. В соответствии с показаниями приборов величина неизвестного сопротивления равна:



В 23. Схема измерения сопротивления при помощи амперметра и иольтметра: а) схема измерения больших сопротивлений;

б) схема измерения малых сопротивлений.

$$R_{*} = \frac{U + U_{A}}{I} = \frac{U}{I} + \frac{U_{A}}{I} = R_{*} + R_{*}$$
 (8.39)

Следовательно, при такой схеме с увеличением величины пен пестного сопротивления погрешность уменьшается. Полому по такой схеме рекомендуется измерять большие гопротивления. На схеме 8.23 б вольтметр подключен после напирметра. Неизвестное сопротивление будет равно:

$$R_{\perp} = \frac{U}{I + Iv} = \frac{U}{\frac{U}{Rx} + \frac{U}{Rv}}$$
 (8.40)

с тедовательно, при такой схеме насколько испавестное пинитивление будет меньше сопротивления вольтметра, на-

почько будет меньше погрешность. Но пой причине по такой схеме режимендуется измерять небольние сопротивления.

1. Могод измерения омметром.

Ты измерения сопротивлений пироко применяются омметры. На ран 1/24 дана принципиальная схеим иметра. В соответствии с завинны Ома для этой схемы

$$I = \frac{E}{R_{--} + R_{+} + R_{-}}$$
 (8.41)

перапичительного сопротивления



Рис. 8.24. Схема омметра: И-магнитоэлектрический прибор (миллиамперметр); R₄-ограничительное сопротивление; R,-неизвестное соп-При неизменных значениях ротивление; Е-источник тока.

 $R_{\rm orp}$, сопротивления измерительного прибора $R_{\rm u}$ и э.д.с. I ток I зависит только от величины неизвестного сопротивления $R_{\rm v}$. Так как эта зависимость обратно пропорциональная, то шкала прибора будет обратной: ноль будет справа, а слева—бесконечность. Резистор $R_{\rm orp}$ ограничивает ток и служит также для установки нуля прибора. Перед измерением надо нажать кнопку К и врашением ручки $R_{\rm orp}$ установить прибор на ноль. При отсутствии кнопки надо замкнуть зажимы прибора коротким проводом и вращением ручка $R_{\rm orp}$ установить прибор на ноль.

Измерение сопротивления при помощи моста постоянного тока.

Мосты постоянного тока применяются для точного измерения сопротивлений (рис. 8.25). Мост состоит из четырех АВ, ВС, СД, ДА плеч и двух диагоналей АС и ВД. В плечи моста включены сопротивления R₁, A R₂, R₃ и R₄, в диагональ АС — источник питания Е, в диагональ ВД — гальванометр Г. Мост считается уравновешенным, если потенциалы точек В и Д равны. Это состояние определяется при помощи гальванометра: при равенстве потенциалов точек В и Д, ток в диагонали ВД будет равен нулю, стрелка гальвано-

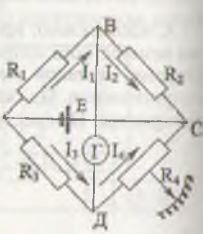


Рис. 8.25. Электрический мост для измерения сопротивления: Г-гальванометр; Е-источник тока.

метра будет на нуле (в середине шкалы). Для уравновешенного моста можно написать следующие уравнения:

$$I_1 \cdot R = I_3 \cdot R_3; I_2 \cdot R_3 = I_4 \cdot R_4;$$
 (8.42)

Если почтенно разделить эти равенства друг на друга

$$\frac{I_{1} \cdot R_{1}}{I_{2} \cdot R_{2}} = \frac{I_{3} \cdot R_{3}}{I_{4} \cdot R_{4}} \quad unu \quad \frac{R_{1}}{R_{2}} = \frac{R_{3}}{R_{4}}$$
 (8.43)

получим

$$R_1 \cdot R_4 = R_1 \cdot R_1$$

Если в одно из плеч, например ДА, вместо R_{ν} подключить неизвестное сопротивление R_{ν} , то можно написать

$$R_1 \cdot R_2 = R_1 \cdot R_2$$
, (8.44)

THE IO.1

$$R_x = \frac{R_1}{R_2} \cdot R$$

П переносных мостах R_4 — это переменное сопротивление по ручка выносится на лицевую панель и имеется праци, на которой можно определить значение R_4 . Кроме по в мостах R_1 = R_3 . Таким образом,

$$R_{a} = \frac{R_{a}}{R_{a}} \cdot R_{a} = R_{a}, \tag{8.45}$$

 $\frac{1}{1}$ начит, уравновесив мост, по шкале R_4 можно определять величину неизвестного сопротивления R_5

4. Измерение сопротивления изоляции. Для этих нелей применяются мегомметры. На рис. 8.26

пивали общий вид переноснона метомметра. Провод, сопротивление изоляции которого измериется, подсоединяется к заелму Л, а зажим Е соединяется в лемлей. Рукоятка генератора метомметра вращается от руки со своростью примерно 120 об/мин. по пикале определяем сопро-

винение изоляции провода. Для



Рис. 8.26. Общий вид мегоомметра

и мерения сопротивления изовании между двумя проводами они подключаются к обоим меньшм прибора. Сопротивление электрических устройств и меряется таким же способом.

8.19. Измерение неэлектрических величин электрическими методами

Измерение неэлектрических величин электрическими ветидами широко применяется в технике, так как электрические методы дают возможность высокоточного, беспрарышного измерения на расстоянии. В большинстве слу-

чаев неэлектрическая величина преобразуется в какой-либо электрический параметр и, измерив его, определяют неэлектрическую величину. Устройство, преобразующее неэлектрическую величину в электрический параметр, называется измерительным преобразователем или датчиком. Если неэлектрическая величина преобразуется в R, L или C, то такой преобразователь называется параметрическим. Если неэлектрическая величина преобразуется в э.д.с., то такой преобразователь называется генераторным. Параметрические преобразователь бывают следующих типов.

1. Проволочные преобразователи – принцип их работы заключается в изменении сопротивления деформированного провода. Эти преобразователи называются также тен-

зометрическими датчиками.

2. Термисторные преобразователи — это терморезисторы. Их сопротивление зависит от движения среды или условий распространения тепла и применяются они для измерения скорости движения газов, их состава и т.д.

 Реостатные преобразователи – принцип их работы основан на зависимости их сопротивления от положения ползунка. Применяются опи для измерения уровня жидкостей, их объема, линейных и угловых перемещений и т.д.

4. Индуктивные преобразователи – принцип их работы основан на изменении магнитного поля катушки при перемещении подвижной части сердечника. Применяются они для измерения механических перемешений, давлений, уровня жидкостей и грунтов и т.д.

5. Емкостные датчики — принцип их работы основан на зависимости их емкости от измеряемого параметра. Они применяются для измерения уровня жидкостей, влажности, давления, линейных и угловых перемещений и т.д.

6. Фоторезисторные преобразователи — принцип их работы основан на зависимости их сопротивления от освещенности. Применяются они в цепях автоматики, для измерения прозрачности среды и т.д.

Генераторные датчики бывают следующих видов.

1. Термоэлектрические преобразователи — они называются также термопарой. Принцип их работы основан на том, что при нагревании их рабочего конца между свободными концами появляется э.д.с., величина которой зави-

пт температуры рабочего конца. Поэтому термопары применяются для измерения температуры.

1 Іпхогенераторы — в них э.д.с. зависит от скорости врашения. На практике применяются магнитоэлектрические, выпоронные и синхронные тахогенераторы.

1 Пьс коэлектрические преобразователи — принцип их расмы основан на том, что в некоторых кристаллах под воздейнамим сыны появляется э.д.с. Применяются они для измерения сылы, давлений и амплитуды низкочастотных колебаний.

4 Фотоэлектрические преобразователи (солнечные фотименты) — в них под воздействием света появляется в С Они применяются в качестве источников э.д.с. в разпинах электрических устройствах, космических кораблях.

Для измерения выходных величин параметрических пробразователей применяются логометры, электрические саты, омметры. Для измерения э.д.с. генераторных датчивым применяются вольтметры, компенсаторы.

Задачи

Індача 8.1. Предел измерения вольтметра—30 В, класс приности—0,5. Определить самую большую абсолютную при 5 и 15 В.

Решение: 1. Самая большая абсолютная ощибка:

$$\Delta U_{M} = 0.5\% \cdot 30 = 0.15 \text{ B}.$$

2 Отпосительные ошибки: при 5 вольтах

$$\beta_1 = \frac{\Delta U_{ss}}{U} \cdot 100\% = \frac{0.15}{5} \cdot 100\% = 3\%;$$

вин 15 нольт

$$\beta_{\rm v} = \frac{\Delta U_{\rm M}}{U} \cdot 100\% = \frac{0.15}{15} \cdot 100\% = 1\%.$$

Індача 8.2. Предел измерения миллиамперметра—300 мА шкила имее 150 делений. Образновый прибор на поспости делении показал 300,3 мА. Определить класс точния и миллиамперметра.

Решение 1. Абсолютная ошибка прибора

 $\Delta I = I_u - I_n = 300, 3-300 = 0, 3_MA.$ 2. Класс точности

 $\beta = \frac{\Delta I}{150} \cdot 100 = \frac{0.3}{150} \cdot 100 = 0.2$

130 150 где I_u — измеренное значение тока; I_u — действительное значение тока

Задача 8.3. Предел измерения амперметра с R_{λ} =0,5 Ом надо увеличить в 50 раз. Падение напряжения на шунте U_{ω} =75 mV. Определить сопротивление шунта, ток полного поворота механизма прибора, максимальное значение токо после расширения предела амперметра.

Решение: 1. Сопротивление шунта:

$$R_{\text{m}} = \frac{R_{\text{A}}}{n-1} = \frac{0.5}{50-1} = 0.0102 \,\text{Om}$$

2. Максимальный ток, измеряемый амперметром после расширения предела:

$$I_{M} = \frac{U_{m}}{R_{m}} = \frac{75 \cdot 10^{-3}}{0.0102} = 7.5 \text{ A}.$$

3. Ток полного поворота механизма прибора

$$I_A = \frac{I_u}{n} = \frac{7.5}{50} = 0.15 A$$

Задача 8.4. Сопротивление амперметра R_{Λ} =15 Ом, предел измерения—60 A, сопротивление наружного шунта R_{ω} =0,005 Ом. Определить ток полного поворота механизма прибора.

Решение: 1. Находим коэффициент расширения предела измерения прибора:

$$R_{u} = \frac{R_{A}}{n-1} \quad u.u \quad n-1 = \frac{R_{A}}{R_{u}};$$

$$n = \frac{R_{A}}{R_{u}} + 1 = \frac{15}{0,005} + 1 = 3001.$$

1 Ток полного поворота механизма прибора

$$I_A = \frac{I_M}{n} = \frac{60}{3001} = 0.02$$

ladaча 8.5. Предел измерения электродинамического полиметра U₂=300 B, сопротивление вольтметра R₂=30 B. Необходимо расширить предел измерения до 1500 B.

Определить величину добавочного сопротивления, макнициную мощность, потребляемую вольтметром при оснишим и расширенном пределе.

Решение: 1. Коэффициент расширения предела измерения:

$$m = \frac{U}{U_s} = \frac{1500}{300} = 5$$

2 Добавочное сопротивление

$$R = R_{\rm i}(m-1) = 30(5-1) = 120 \text{ kOm}.$$

Монность, потребляемая вольтметром

 $P_1 = \frac{U_s^2}{R_s} = \frac{300^2}{3 \cdot 10^4} = \frac{9 \cdot 10^4}{3 - 10^4} = 3 Bm;$

при 1500 B

$$P_{\gamma} = \frac{U_{\gamma}^{\dagger}}{R_{\gamma}} = \frac{1500^{\circ}}{3 \cdot 10^{4}} = 15 \, Bm \, .$$

$$P = U \cdot I = U \cdot \frac{U}{R} = \frac{U^{\pm}}{R}.$$

Iudaча 8.6. Пределы измерения вольтметра и амперметра. U=15 В, I=0,5 А, классы точности 0,5 (для вольтметра) и 1 П для амперметра. При измерении сопротивления вольтытр показал U=12 В, амперметр I=0,25 А. Определить мактимальную абсолютную и относительную ошибки.

Решение: 1 Сопротивление равно

$$R = \frac{U}{I} = \frac{12}{0.25} = 48 \ O.u$$
.

2. Абсолютные погрешности приборов равны

$$\Delta U_{\text{MAA}} = 0.5\% \cdot 15 = 0.075 \text{ B};$$

 $\Delta I_{\text{MAA}} = 1\% \cdot 0.5 = 0.05 \text{ A}.$

3. Максимальное значение сопротивления:

$$R_{\text{max}} = \frac{U + \Delta U_{\text{max}}}{I - \Delta I_{\text{max}}} = \frac{12 + 0.075}{0.25 - 0.005} = 49.3 \,\text{O}_{\text{M}}.$$

4. Относительная погрешность:

$$\beta = \frac{R_{\text{max}} - R}{R} \cdot 100\% = \frac{49.3 - 48}{48} \cdot 100\% = 2,7\%.$$

Задача 8.7. Показания ватгметров в фазах четырехприводной трехфазной системы равны P_a =210 Вт. P_B =320 Вт. P_c =375 Вт. линейное напряжение UL=220 В, коэффициент мошности в каждой фазе $\cos \phi$ =0,7.

Определить полную, активную и реактивные мощности трехфазной системы, а также активное, реактивное и полное сопротивления каждой фазы.

Решение: 1. Активная мощность трехфазной системы $P=P_A+P_B+P_=210+320+375=905\,$ Вт.

2. Токи фаз равны:

$$I_* = \frac{P_*}{U_{\phi} \cdot \cos\varphi} = \frac{210}{127 \cdot 0.7} = 2.36 \,\text{A};$$

$$I_{\rm a} = \frac{320}{127 \cdot 0.7} = 3.6 \,\text{A}; \ I_{\rm c} = \frac{375}{127 \cdot 0.7} = 4.2 \,\text{A}.$$

T.K.
$$U_{\phi} = \frac{U_{\Lambda}}{\sqrt{3}} = \frac{220}{\sqrt{3}} = 127 \text{ B.}$$

3. Полные мощности фаз

$$S_A = U_{\phi} \cdot I_A = 127 \cdot 2,36 = 299,8 \text{ B A};$$

 $S_B = U_{\phi} \cdot I_B = 127 \cdot 3,6 = 457,6 \text{ B A};$
 $S_C = U_{\phi} \cdot I_C = 127 \cdot 4,2 = 533,4 \text{ B A}.$

Полная мощность системы:

$$S=S_A+S_B+S_C=1290,4$$
 B.A.

4 Репктивная мощность системы равна

()
$$\sqrt{S^2 - P^2} = \sqrt{(1290.4)^2 - 905^2} = 920 \text{ Bap}.$$

з Полное сопротивление фаз:

$$Z_A = \frac{U_{\phi}}{I_A} = \frac{127}{2,36} = 53.8 \text{ Om};$$

$$Z_{\rm B} = \frac{127}{3.6} = 35.5 \text{ Om} \qquad Z_{\rm c} = \frac{127}{4.2} = 30.2 \text{ Om}.$$

п Активные сопротивления фаз:

$$R_A = Z_A \cos \phi = 53.8 \cdot 0.7 = 37.6 \text{ Om};$$

 $R_u = 35.5 \cdot 0.7 = 24.8 \text{ Om};$ $R_c = 30.2 \cdot 0.7 = 21.1 \text{ Om}.$

/ Реактивные сопротивление фаз:

$$X_A = Z_A \sin \phi = 53.8 \cdot 0.714 = 39 \text{ Om};$$

 $X_B = 35.5 \cdot 0.714 = 25.3 \text{ Om};$ $X_B = 30.2 \cdot 0.714 = 21.5 \text{ Om},$

$$\sin \varphi = \sqrt{1 - \cos^2 \varphi} = \sqrt{1 - (0.7)^2} = 0.714.$$

Задача 8.8. Электрический счетчик имеет следующие париметры: U=120 B, I=10A I кВт-час-625 оборотов, диск эчетчика за 10 мин сделал 450 оборотов. Определить постоянную счетчика и мощность нагрузки.

Решение: 1. Постоянная счетчика равна

$$K = \frac{W_n}{N_n} = \frac{1000 \cdot 3600}{625} = 5760 \ Bm \cdot c/o6.$$

2 Находим мошность нагрузки:

HERCHOURS

$$P = \frac{KN}{t} = \frac{5760 \cdot 450}{600} = 4320 \, Bm$$

 $_{100}$ (=10) мин·60с = 600 с.

ГЛАВА 9

ЭЛЕКТРИЧЕСКИЕ МАШИНЫ ПЕРЕМЕННОГО ТОКА. АСИНХРОННЫЕ ЭЛЕКТРОДВИГАТЕЛИ

9.1. Устройство асинхронного двигателя

Среди электрических двигателей самым распространенным является трехфазный асинхронный электродвигатель, изобретенный русским инженером Доливо-Добровольским М.О. Причиной этого является создание вращающегося магнитного поля при помощи трехфазного тока. Асинхронными они называется потому, что скорость вращения ротора всегда меньше скорости вращения магнитного поля статора, т.е. вращается несинхроно с ним. Эти двигатели просты по устройству, надёжны в экс-



плуатации и недороги.



Рис. 9.2. Статор асинхронного двигателя без обмотки:

Как и всякая электрическая машина, асинхронные машины могут работать как двигателями, так и генераторами. Но изза некоторых недостатков асинхронные генераторы на практике не применяются. Поэтому в дальнейшем мы рассмотрим устройство и работу асинхронных электродвигателей (рис. 9.1). Как и всякая электрическая ма-1-стальной корпус; 2-сердечник. шина асинхронный двигатель



состоит из ротора и статора. Корпус статора (рис.9.2) имеет цилиндрическую форму и изготавливается из стали, чугуна и алюминия. Внутрь статора запрессован ферромагнитный сердечник. Сердечник статора собирают из круглых листов электротехнической стали (Рис. 9.3) с пазами на внугренней стороне. В эти пазы ук-Рыс 9.1. Стальной лист ладывается трехфазная обмотка стапорлечника статора. Тора. Для улучшения условий охлаждения наружная часть корпуса стато-

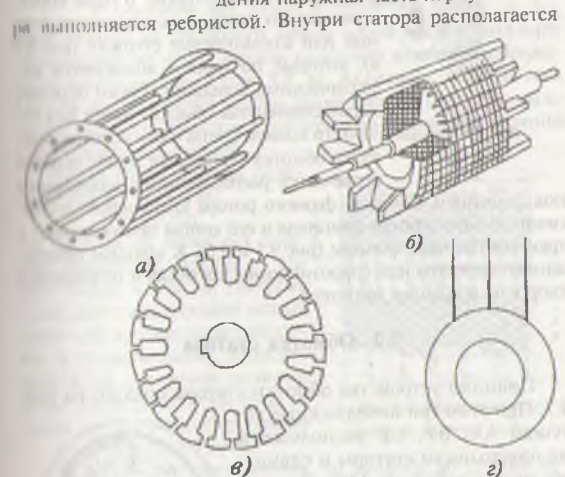


Рис. 9.4. Короткозамкнутый ротор: а) беличье колесо; б) разрез ципора; в) стальной лист сердечника; г) условное обозначение псинхронного двигателя с короткозамкнутым ротором.

2)

ратир (Рис. 9.4 б). Сердечник ротора также собирается из яры ных листов электротехнической стали с назами на нарт вной поверхности. (Рис. 9.2 в). В эти пазы укладывается иймитки ротора. В зависимости от типа обмотки асинхрон-

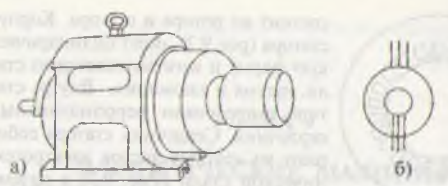


Рис. 9.5. Асинхронный электродвигатель с фазным ротором: а) общий вид; б) обозначение на схемах.



ротор.

ные двигатели бывают с фазным и короткозамкнутым ротором. В пазы короткозамкнутых роторов укладываются мелные или алюминиевые стержни (рис. 9.4 а), которые по торцам замыкаются мсталлическими кольцами. Таким образом, короткозамкнутая обмотка имеет вид бе-Рис. 9.6. Фазный личьего колеса. Очень часто короткозамкнутая обмотка получается путем заливки сердечника расплавленным алюминием

под давлением. Обмотку фазного ротора выполняют аналогично обмотке статора двигателя и его концы присоединяют к трем контактным кольцам (рис.9.5 и 9.6). К кольцам присосдиняют реостаты или сопротивления для пуска и регулировки скорости вращения двигателя.

9.2. Обмотка статора

Принцип устройства обмотки статора показан на рис-

9.7. При этом три неподвижные катушки АХ, ВУ, СZ расположены на поверхности статоры и сдвинуты между собой на 120°. Однако, устройство действительной обмотки несколько сложнее. Каждая фаза состоит из секций. На рис. 9.8 а показана секция, состоящая из четырех витков. Из этих четырех витков можно также выполнить две Рис. 9.7. Принцип устсекции (рис. 9.8 б). Для складывания ройства обмотки статоря



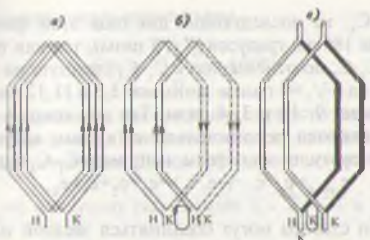


Рис. 9.8. Секции обмотки статора: а) секция обмотки статора; б) соединение двух секций; в) обозначение секций.

ти с секций их соединяют между собой последовательно. Независимо от числа витков на схемах секции изображапотси одновитковыми (рис. 9.8, в). Активные стороны всех текний укладываются в пазах двумя слоями (рис.9.9): нижший слой изображается пунктирными линиями, верхний т пон сплошной линией.

Число пазов статора опречетнется по формуле:

z=2p mq, ги: 2p - число полюсных деле- « ппп (полюсное деление - это расстояние в 180 эл. градусов между пенграми соседних разных поспосов); т - число фаз обмотки, ц = число пазов, приходяшихся на полюсное деление филы Если 2р=2, m=3, q=2, то число назов статора будет равно z=2p m q=2.3 2=12

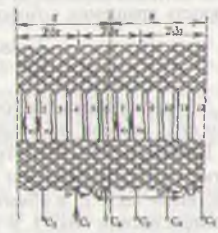


Рис. 9.9. Развертка двухслойной обмотки статора.

Если обмотка двухслойная, то количество секций булет равно 12. На каждую фазу приходится 12/3=4 секции. ни секции образуют две последовательно соединенные витушки. Они находятся под действием разных полюсов. На рис 9 9. показана обмотка в развернутом виде. В круговой пи пвертке показана зона влияния двух полюсных делений т. и каждом полюсном делении каждая фаза занимает два паза, 1 e q 2. На рис. 9.9. начала фаз обозначены C₁, C₂, C₃, а вонны $= C_4, C_5, C_6$ Если считать, что пазы 1 и 2 относятся к фазе C_1 - C_4 , то последующие два паза этой фазы будуг сдвинуты на 180 эл. градусов (7 и 8 пазы), так как $\tau^{=2/2} = ^{-1/2}$ $_2$ -6. Фаза C_2 - C_3 по отношению к C_1 - C_4 сдвинута на 120° или на $^2/_3$ τ , т.е. на 6 $^2/_3$ -4 паза и занимают 5,6 и 11,12 пазы. Фазы C_3 - C_4 занимает 9, 10 и 3, 4 пазы. Так как секции катушек фазы соединяются последовательно, а сами катушки навстречу друг другу, то эд.с. фазы, например C_1 - C_4 будет равна e_{c1-c4} = e_1 + e_2 - $(-e_7$, e_8)= e_1 + e_2 + e_7 + e_8 .

Обмотки статора могут соединяться звездой или треу-

гольником.

9.3. Принцип работы асинхронного двигателя

На обмотки статора от сети подается трёхфазное напряжение. Под действием этого напряжения в обмотках статора возникает ток, создающий вращающееся магнитное поле, скорость вращения которого определяется по формуле:

$$n_s = \frac{60f_s}{p} \quad o6/mu$$
 (9.1)

где f_i — частота тока статора; p — число пар полюсов магнитного поля статора; n_i — скорость вращения магнитного поля

Вращающееся магнитное поле статора пересекает обмотки статора и ротора и создает в них э.д.с. Е, и Е, Пол действием э.д.с. Е, в обмотке ротора возникает ток I,. При взаимодействии тока I, и вращающегося магнитного поля возникает вращающийся момент и ротор начинает вращаться. При этом скорость вращения ротора всегда меньше скорости врашения магнитного поля статора, так как только в этом случае магнитное поле будет пересекать обмотку ротора и создавать э.д.с. Е,. Отставание скорости врашения ротора от скорости вращения магнитного поля статора называется скольжением S:

$$S = \frac{n_t - n_s}{n_s} \tag{9.2}$$

где п, - скорость врашения ротора

И процентах скольжение равно

$$S\% = \frac{n_1 - n_2}{n_1} - 100\%.$$

Таким образом, с увеличением скорости ротора скольние уменьшается. На холостом ходу скольжение будет запь незначительным. В момент пуска двигателя скорость

$$_{1}$$
 - $_{1}$ - $_{2}$ - $_{3}$ - $_{4}$ - $_{4}$ - $_{5}$ - $_{6}$ - $_{1}$ -

[[п] С увеличением нагрузки скорость ротора уменьшаети, кольжение увеличивается. При номинальной нагрузке польжение равно 1-6%, при этом малые цифры относятк мощным двигателям.

9.4. Э.д.с. обмоток статора и ротора

Пришающееся магнитное поле пересекает обмотки стапора и ротора и создает в них э.д.с.

$$E = 4,44 f_i w_i \Phi_{ij} K_i$$
 (9.3)

$$E_{1}=4,44 \cdot f_{2} \cdot w_{2} \cdot \Phi_{u} \cdot K_{2}$$
 (9.4)

тые $I_{, II}$ Е, — э.д.с. обмоток статора и ротора; $f_{, I}$ и $f_{, 2}$ — частони этих э.д.с.; $\Phi_{, 1}$ — максимальный магнитный поток статора. $K_{, II}$ и $K_{, 2}$ — постоянные коэффициенты, величины которых примерно равны 0.85-0.95.

В момент пуска магнитное поле статора вращается с макницивной скоростью относительно ротора, т.е. со скоросвко п, Поэтому частоты э.д.с. E_1 и E_2 будут равны $(f_1 = f_2)$, т.е.

$$E_{,}=4,44\cdot f_{,}w_{,}\Phi\cdot K_{,} \tag{9.5}$$

Рамслив почленно выражения 9.3 и 9.5, получим:

$$\frac{\mathsf{E}_1 = 4,44 \cdot f_1 \cdot w_1 \cdot \Phi_{x} \cdot \mathsf{K}_1}{\mathsf{E}_2 = 4,44 \cdot f_1 \cdot w_2 \cdot \Phi_{x} \cdot \mathsf{K}_2} = \frac{w_1}{w_2} = \mathsf{K}_1 \tag{9.6}$$

 \mathbb{R}^{n} $\mathbb{R}_{q}=$ ко эффициент трансформации э.д.с. асинхронной мишины.

Следовательно, в начальный момент, когда ротор еще петполигжен, асинхронный двигатель работает в режиме присформатора.

С увеличением скорости вращения ротора скольжение уменишается, соответственно уменьшается частота э.д.с. ротора.

$$f_{2i} = f_{2i}S_{i}$$
 (9.

где f_2 — частота э.д.с. неподвижного ротора; $f_{\rm 2S}$ — частоти э.д.с. вращающегося ротора; S - скольжение.

Пропорционально изменяется э.д.с. ротора:

$$E_{z_1} = E_z S \tag{9.8}$$

где $E_{2S} = 9.д.с.$ вращающегося ротора. При $f_j = 50$ Ги частота э.д.с. вращающегося ротора уменьшается от 50 Ги до 1-2 Ги, т.е. уменьшается в 25-50 раз. Соответственно эдс ротора в момент пуска будет максимальной, а затем, с увеличением скорости ротора, уменьшается в 25-50 раз. Если не учитывать падение напряжения в обмотке статора, то можно написать

 $U_{i}=E_{i}$ где U₁ - напряжение, поданное на обмотку статора.

Таким образом, если напряжение сети не изменяется, то э.д.с. статора также не изменяется. При этом в воздушном промежутке происходит изменение магнитного потока в соответствии с изменением нагрузки. Ток ротора создает магнитное поле, направленное против магнитного поля статора и уравновешивающее его при каждом изменении нагрузки. Поэтому как и в трансформаторе с увеличением тока ротора увеличивается ток статора.

9.5. Сопротивление и ток ротора

При прохождении тока вокруг его проводников создаются магнитные потоки рассеяния, определяющие индуктивное сопротивление ротора. При неподвижном роторе это сопротивление будет максимальным:

$$X = 2\pi \cdot f_i \cdot L_2. \tag{9.9}$$

При вращении ротора

$$X_2 = 2\pi f_{15} \cdot L = 2\pi f_{15} \cdot S \cdot L_{15}$$
 (9.10)

 $X_{28} = 2\pi f_{25} \cdot L_2 = 2\pi f_1 \cdot S \cdot L_2,$ (9.10) где $X_{28} = 0$ индуктивное сопротивление вращающегося ротори, $L_2 = 0$ индуктивность обмотки ротора.

Из формул 9.9 и 9.10 следует

$$X_{2S} = X_2 S.$$
 (9.11)

Ілким образом, в процессе работы индуктивное сопропиштие ротора сильно изменяется: при S=1 (ротор неотпитаси) X, = X, и при S=0 X2S=0. В двигателях нормальпото исполнения при изменении частоты от 50 Гц до 0 и опенение активного сопротивления можно не принимать по пинмание и считать R,=const.

согласно закону Ома ток обмотки ротора равен:

$$I_2 = \frac{E_{2S}}{Z_2} = \frac{E_{2S}}{\sqrt{R_2^2 + X_{2S}^2}},$$
 (9.12)

$$I_{\rm min}/I_{\rm min} = \sqrt{R_{\rm min}^{\frac{3}{2}} + X_{2S}^{\frac{3}{2}}} -$$
 полное сопротивление обмотки ротора.

Інк как в момент пуска э.д.с. ротора будет наибольшей, то ток также будет максимальным и превышать нормальпый ток двигателя в 5-7 раз.

9.6. Вращающий момент асинхронного двигателя

Вращающий момент асинхронного двигателя опредени тся по формуле

 $M=c \Phi I_2 \cos \varphi_2$

гле 1 совф, - активный ток ротора; ф, - угол сдвига фаз ынжлу током и э.д.с. ротора; с - постоянный коэффициент. Ф - магнитный поток статора.

Хотя ток двигателя в момент пуска в 5-7 раз больше поминального тока, пусковой момент больше номинальпого в 1,2-2,5 раз. Причина: в момент пуска двигателя иннътивное сопротивление Х, ротора будет наибольшим и в 10 раз больше активного сопротивления. Следовательна, коэффициент мощности

$$\cos \varphi_2 = \frac{R_2}{Z_2}$$

прист инименьшим, т.е. сдвиг фаз между э.д.с. Е, и током І, приближается к 90°. Отношение пускового момента к ноышпльному называется кратностью пускового момента

$$\frac{M}{M} = (1,2+2,5)$$
.

С увеличением скорости ротора его индуктивное сопротивление уменьшается. Так как активное сопротивление R, не изменяется, угол ф, уменьшается, активный ток I, соѕф, ротора увеличивается, что ведет к увеличению врашающего момента. Подставив в формулу 9.13 вместо токи I, его выражение (формула 9.12.), получим

$$M = c \cdot \Phi \cdot \left(\frac{E_{28}}{\sqrt{R_2^2 + X_{28}^2}} \right) \left(\frac{R_2}{\sqrt{R_2^2 + X_{28}^2}} \right) = c \cdot \Phi \frac{E_{38} \cdot R_2}{R_2^2 + X_{38}^2}, (9.14)$$

где $\cos \phi_{*} = \frac{R_{*}}{\sqrt{R_{*2}^{2} + X_{2*}^{2}}} -$ коэффициент мощности враим-

ющегося ротора.

В соответствии с формулой 9.14 для получения макси мального момента его знаменатель должен быть минимальным, а для этого $\mathbf{R}_2^2 = \mathbf{X}_3^2 \cdot \mathbf{S}^2$ или $\mathbf{R}_3 = \mathbf{S} \cdot \mathbf{X}_2 = \mathbf{X}_{25}$. Скольжение при этом будет равно $\mathbf{S} = (10+15)\%$. Следовательно, при равенстве активного \mathbf{R}_3 и индуктивного \mathbf{X}_{25} сопротивления ротора вращающий момент будет максимальным. Огношение максимального момента к номинальному называется кратностью максимального момента:

$$\frac{M_{*}}{M} = 1.7 \div 2.5$$

Из формулы 9.3. найдем выражение магнитного потокв:

$$E_i=4,44f_i\cdot w,\Phi K_i;$$

$$\Phi = \frac{E_1}{4,44 \cdot f_1 \cdot w_1 \cdot K_1}$$

и подставим его в формулу 9.14:

$$M = \frac{c}{4,44 \cdot f_1^* \cdot w_1 \cdot K_1 \cdot K_2} \cdot \frac{E_1^* \cdot S \cdot R_2}{R_2^2 + (S \cdot R_2)^2} =$$

$$= c_* \cdot U_1^* \frac{S \cdot R_2}{R_2^* + (S \cdot X_2)^2}$$
(9.15)

$$K_{\mu} = \frac{E_{\mu}}{E_{\mu}} -$$
 коэффициент трансформации э.д.с.;

$$\frac{c}{4,44 \cdot f_1 \cdot w_1 \cdot K_1 \cdot K_2}$$
 — постоянный коэффициент.

[— U, — если частота и наприжение сети не изменяются. В пов формуле единственной пе- 250 реченной является скольжение S. На рис. 9.10 дана кривая зависиния на врашающего момента от тыки м=f(S). При значе- 100 нинх скольжения S от нуля до аны имального S, двигатель рапенист устойчиво и вращающий мимент растет. При дальнейшем унстичении скольжения врашаюший момент уменьшается и равоти двигателя будет неустойчивол 11 г формулы 9.15 видно, что мимент пропоршионален квадра-

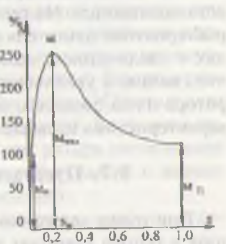
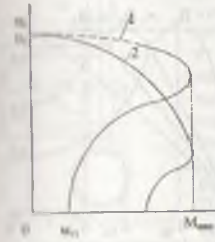


Рис. 9.10. График зависимости вращающего момента от скольжения асинхронного двигателя.

и инпряжения, т.е. асинхронные двигатели чувствительны в понижению напряжения сети. Например, при понижении напряжения сети до 0.8 U₁, т.е.

напряжения сети до 0,8 U₁, т.е. на 20%, момент уменьшается до (0,8 U₁)², т.е. на 36%, что может привести к останову нагруженного двигателя.

На рис. 9.11 представлена механическая характеристика асинхронного двигателя — это зависимость скорости вращения от момента n=f(m). Механическая характеристика является основной характеристикой любого электрического двигателя, определяющей его экспуатационные возможности. На рис. 9.11.1 показана механическая характеристика асинхрон-

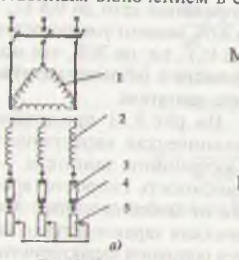


Рыс. 9.11. Механические характеристики асинхронного двитате из 1-с короткозамкнутым раторам; 2-с фазным ротором.

ного двигателя с короткозамкнутым ротором, пунктирной линией показана рабочая часть. Из характеристики видно. что до максимального момента М_{моз} скорость двигатели уменьшается незначительно. Такая характеристика назы вается жесткой. При дальнейшем, даже незначительном унсличении момента скорость резко уменьшается и двигатель останавливается. На рис.9.11.2. показана механическая ха рактеристика двигателя с фазным ротором. В этих двигателях с увеличением момента скорость резко уменьшается, что связано с увеличением падения напряжения в обмотке ротора из-за большего значения его сопротивления. Такан характеристика называется мягкой.

9.7. Пуск асинхронных двигателей

При пуске асинхронных двигателей через обмотки статора и ротора проходят токи, превышающие номинальный ток в несколько раз. При этом резко повышается температура обмоток, что ведет к их раннему старению. При больших пусковых токах напряжение сети понижается, что ведет к уменьшению вращающего момента двигателей, подключенных к этой сети. Если мошность двигателя значительно меньше мощности сети, то пуск его можно осуществлять непосредственным включением в сеть. Если мощность двигателя



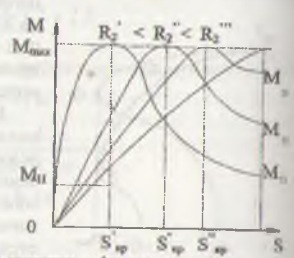


Рис. 9.12. Асиноронный двигатель с фазилам ротором. а - схема пуска асинхронного двигателя с фазным ротором: 1-обмотка статора; 2-обмотка ротора; 3-кольца; 4-щётки; 5-реостаты; 6 - механические характеристики при различных активных сопротивле ниях обмотки ротора.

раннима с мощностью сети, то пуск его осуществляется меньшением пускового тока.

1. Для пуска двигателей с фазным ротором обмотка роторя через контактные кольца подключается к пусковым реов первый момент пуска (рис. 9.12, а) сопротивления вы ковых реостатов включаются полностью. Затем, по мере вызрастания скорости ротора сопротивления реостатов при пимощи их движков уменьшаются. По достижении норан пытой скорости вращения реостаты полностью отключаеня, обмотки ротора замыкаются между собой. Реостаты расечитаны на кратковременный режим работы. Поэтому они вы почаются только на время пуска двигателя. Введением актиппых сопротивлений в цепь фазного ротора увеличивают вы приришиент мошности соѕф, пусковой момент и делают нуск плавным, а пусковой ток уменьшают.

? Пуск асинхронных двигателей с короткозамкнутым ронипром

) 1. Если мощность двигателя значительно меньше мощпости сети, то пуск его осуществляют прямым включенивы в сеть. Мощные двигатели запускаются при помощи спеппальных устройств, уменьшающих пусковые токи.

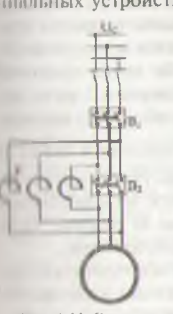


Рис. 9.13. Схема пуска и интеропного двигателя и выключатели.

2.2. Пуск при помощи реакторов катушек индуктивности (рис. 9.13). Сначала включается выключатель В и при этом ток на двигатель поступает через трехфазный реактор Р сопротивление которого ограничивает пусковой ток. По достижении нормальной скорости вращения включается выключатель В,, который шунтирует реактор. После этого на двигатель подается нормальное напряжение. Реакторы рассчитаны на кратковременный режим работы. Поэтому они включаются только на время пуска двигателя.

2.3. Автотрансформаторный пуск выроткичамкнутым ро- (рис. 9.14) - сначала включаются прим при помощи реак- выключатели В, и В, и на двигатель пров Р реактор; В,. через автотрансформатор АТ подается пониженное напряжение. После

достижения определенной скорости В, отключается, и двигатель питается через часть обмотки автотрансформатора АТ, который в этом случае играет роль реактора. После этого включатся В, и на двигатель подается полное напряжение. Этот способ имеет следующие недостатки: 1) известно, что врашающий момент пропорционален квадрату напряжения. Из-за того, что в первый момент на двигатель подается пониженное напряжение, вращающий момент будет небольшим. Поэтому в начале Рис. 9.14. Схема пуски пуска двигатель не должен быть пол- асинхронного двигатеностью нагружен. 2) Дороговизна дя с короткозамкнутым пусковой аппаратуры.

2.4. Пуск переключением «звез- тотрансформатора: АТ-пвда-треугольник» (рис.9.15). При пус- трансформатор, В, В, ке обмотка

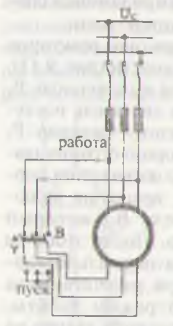
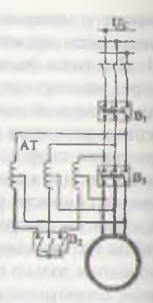


Рис. 9.15. Схема пуска асинхронного двигателя переключением обмотки статора со звезды на треугольник: В-переключатель.



ротором при помощи ав В,-выключатели.

статора включается в звезду и при лостижении нормальной скорости врашения переключается в треугольник. При таком способе пуска пусковой ток в сети уменьшается в 3 раза, напряжение в фазах обмоток уменьша-

ется в √3 раз, нусковой момент уменьшается в 3 раза. Недостатком этого способа является возникновение перенапряжений из-за разрыва цени двигателя при переключениях.

2.5. Пуск в ход асинхронных дви гателей с глубокопазным и двуклеточ ным ротором (рис. 9.16).

Для увеличения пускового момен та применяются глубокопазные рого ры (рис. 9.16 а). Известно, что в момент пука частоты э.д.с. статора и ротори равны $f_1 = f_2$. При этом нижнюю часть



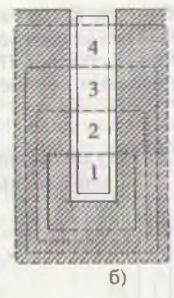


Рис. 9.16. Пазы ротора асинхронного двигателя: а) глубокий паз; б) двухслойный паз.

проводника в пазе пересекает наибольше число силовых чиций магнитного поля. Поэтому нижние слои проводников имеют большее индуктивное сопротивление, чем вермине. Поэтому ток ротора вытесняется в верхние слои прополников. Из-за этого активное сопротивлении обмотки ротори увеличивается, что ведет к увеличению активного тока 1 совф, и вращающего момента. С увеличением скорости ротора частота его э.д.с. / уменьшается, явление вытеснении тока ротора прекращается, активное сопротивление ротора автоматически уменьшается.

Для увеличения пускового момента М.О.Доливо-Добропольский предложил асинхронный двигатель с двуклеточным ротором. В верхних пазах укладывается короткозамких из обмотка с R,>X, из латуни или бронзы. В нижних пили укладывается короткозамкнутая обмотка с R₂<X, из мели. При пуске двигателя, когда $f_1 = f_2$ нижняя обмотка имеет по напос индуктивное сопротивление. Поэтому вращающий мимент в основном создается верхней обмоткой с большим К., благодаря чему уменьшается пусковой ток и увеличивается пусковой момент. С увеличением скорости ротора частоти его э.д.с. f_{28} уменьшается и доходит до 1-2 Гц при пормальной скорости, что ведет к резкому уменьшению индуктивного сопротивления нижний обмотки, называемой

рабочей обмоткой. Кроме того активное сопротивление этой обмотки намного меньше чем активное сопротивление верхней (пусковой) обмотки. Поэтому в рабочем режиме ток и основном проходит по нижней (рабочей) обмотке.

9.8. Регулирование скорости вращения асинхронных двигателей

Скорость вращения ротора определяется по формуле: $n = n_i(1-S)$

$$n_2 = \frac{60f_1}{p}(1-S),$$

где \mathbf{n}_1 — скорость вращения ротора; \mathbf{n}_1 — скорость вращения магнитного поля статора;

 f_1 — частота тока статора;

р - число пар полюсов;

S — скольжение.

Следовательно, для изменения скорости вращения двигателя достаточно изменить один из параметров — f, p или S.

1. Изменение частоты питающего напряжения. Для этого необходимо применять специальные генераторы или преобразователи частоты, которые весьма дороги. Однако появление тиристоров создало возможность изготовления простых экономичных статических преобразователей. Их применение упрощает управление механизмами: отпадает необходимость в редукторах, трансмиссиях, коробках скоростей. Этот способ широко применяется при необходимости одновременного регулирования скорости вращения нескольких двигателей, а также вращения с большой скоростью.

2. Изменение скольжения. Из формул 9.14 и 9.15 видно что максимальный момент соответствует критическому скольжению, когда R,=X, Изменяя активное сопротивление обмотки ротора, можно изменять положение максимума графика M=f(S) (рис.9.12 б). Например, при увеличении активного сопротивления характеристика сдвигается вправо и при неизменном моменте скольжение увеличивается.

Изменение скольжения путем введения в цепь ротора роси штов возможно только для двигателей с фазным роприм. Схема при этом аналогична схеме пуска двигателя при помощи пусковых реостатов (рис. 9.12 а). Разница межними в том, что регулировочные реостаты рассчитаны на алительный режим работы. Изменяя сопротивление реплировочных реостатов, можно плавно изменять скольвенис. Например, при увеличении сопротивления скольвение увеличивается, скорость ротора уменьшается. Однаып, механическая характеристика при этом получается ещё

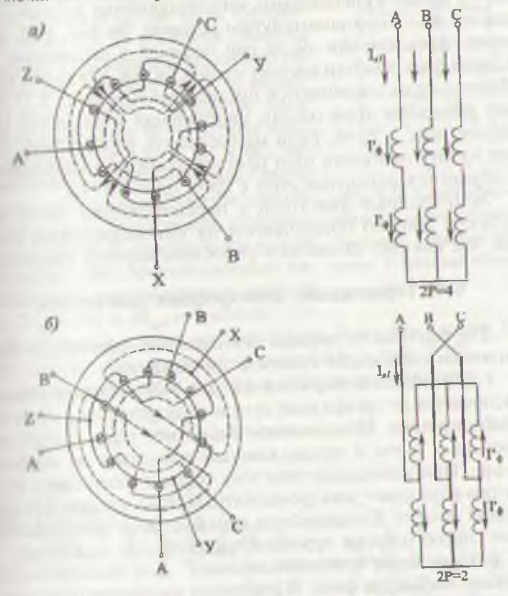


Рис. 9.17. Схемы включения обмоток двухскоростного всинхронного двигателя: а) последовательное соединение катушек обмотки; б) параллельное соединение катушек обмотки.

более мягкой. Другой недостаток этого способа - это им чительные электрические потери на реостатах.

Изменять скольжение можно также уменьщая напряже ние сети. Если при работающем двигателе уменьшить напри жение, ток ротора уменьшается, а скольжение увеличиниет ся. В результате уменьшается скорость вращения ротора. Од нако, значительное уменьшение напряжения может привести к резкому уменьшению момента и останову двигателя.

3. Измение числа пар полюсов. Этот способ даёт возмож ность ступенчатого изменения скорости вращения и приме няется только в специальных многоскоростных асинхронных лвигателях с короткозамкнутым ротором. На рис. 9.17. дани схема переключения числа пар полюсов в отношении 21 Каждая фаза обмотки состоит из двух частей. Когда обе части обмотки фазы соединяются последовательно (рис. 9.17 а), и них протекают токи одного направления и создается миг нитное поле с 2p=4. Если их соединить параллельно, то п них начнут протекать токи противоположного направлении и образуется магнитное поле с 2p=1 (рис. 9.17 б).

Асинхронные двигатели с переключением числа пар полюсов широко применяются на металлорежущих стип ках, так как они позволяют упростить коробку скоростей

9.9. Торможение асинхронных двигателей

Для быстрой остановки асинхронных двигателей применяются следующие способы торможения:

1. Динамическое торможение. Для этого обмотка статопи отключается от трехфазной сети и подключается к сети постоянного тока. Неподвижное магнитное поле статора со здает э.д.с. и ток в продолжающем вращаться по инернии роторе. При взаимодействии этих токов и магнитного поли статора возникают электромагнитные силы, создающие тор мозной момент. Двигатель при этом быстро останавливается Этот способ широко применяется, особенно на станках.

2. Торможение противовключением. Для этого меняются местами любые две фазы. В результате магнитное поле начи наст вращаться в противоположную сторону. Ротор быстро останавливается и в этот момент надо двигатель отключить от сети. В противном случае ротор начнет вращаться в противоположную сторону. Этот способ применяется реже.

Причины: 1) необходима аппаратура, реагирующая на нь исиую скорость; 2) в момент торможения выделяется выныное количества тепла.

1 Применяются также торможение при помощи электромагпитных муфт и тормозов с электромагнитным управлением.

9.10. Однофазный асинхронный двигатель

На статоре этого двигателя распоопинотся две обмотки: 1) рабочая обмитка, похожая на две фазы трехфазный обмотки; 2) пусковая обмотка (рил 9.18). При подаче переменного нащижения в рабочей обмотке вознинет пульсирующее магнитное поле. Магнитный поток Ф этого поля можпо разделить на части Ф, и Ф,, направленные в разные стороны. Частои этих потоков равна частоте тока обмитки, а амплитуды равны половине фазного асинхронного напрантуды Ф. В неподвижном роторе двигателя: 1-рабочая обвыникают два, противоположно на- мотка; 2-пусковая обмотправленных и вращающихся момента М (прямой) и М (обратный). Рс-

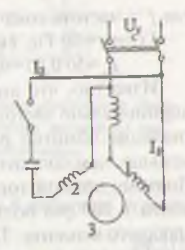


Рис. 9.18. Схема однока; 3-ротор.

пультирующий момент, следовательно, будет равен нулю. Теперь начнем вращать ротор со скоростью п, (рис. 9.19).

Гогда скольжение ротора в прямом направлении

$$S_{\infty} = \frac{\mathbf{n}_1 - \mathbf{n}_2}{\mathbf{n}_1}, \quad om \kappa \nu \partial a \quad n_1 = \mathbf{n}_1 - \mathbf{S} \cdot \mathbf{n}_1 \qquad (9.17)$$

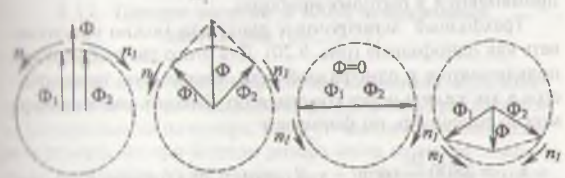


Рис. 9.19. Разложение пульсирующего магнитного потока на два вращающихся.

Скольжение по отношению к обратному полю

$$S_{\text{obp}} = \frac{n_1 + n_2}{n_1} = \frac{n_1 + n_1(1 - S_{\text{np}})}{n_2} = 2 - S_{\text{np}}$$

где п - скорость вращения Ф и Ф,..

Частоты токов, создаваемых Ф, и Ф, в роторс

$$f_{-}S_{-}f_{s}f_{obp} = (2-S_{np})\cdot f_{s}$$

где f — частота тока сети.

Если f=50 Гц, скольжение $S_{np}=0.01$, то $f_{np}=50.0,01=0.5$ Гц; $f_{np}=(2-0,01)-50=99.5$ Гц.

Известно, что индуктивное сопротивление прямо при порционально частоте. Следовательно, индуктивное сопри тивление обмотки ротора прямому току почти в 200 разменьше, чем сопротивление, оказываемое обратному току Поэтому прямой ток и прямой вращающий момент булут почти в 200 раз больше обратного тока и обратного при щающего момента. Таким образом, если двигатель принести во вращение в любую сторону и потом нагрузить, то он будет продолжать вращение в эту сторону.

Для создания пускового момента ток на пусковую оп мотку подается через конденсатор. В этом случае токи об моток будут сдвинуты по фазе примерно на 90°. В результа те взаимодействия магнитных потоков обмоток создается вращающий момент и двигатель начинает вращаться. После запуска двигателя пусковую обмотку надо отключить, так как она рассчитана на кратковременный режим рабо ты. Однофазные асинхронные двигатели изготовляются на мощность не более 500 ватт и в большинстве случаев они применяются в бытовых приборах.

Трехфазные асинхронные двигатели можно использо вать как однофазные (рис. 9.20). Для этого две любые фаны подключаются к однофазной сети, третья фаза подключа ется в эту же сеть через конденсатор. Емкость конденсатора можно рассчитать по формулам:

$$C_{\rho} = 2800 \frac{\text{IH}}{\text{U}}$$
мкф — для схемы 9.20 а (обмотки статора соединены звездой);

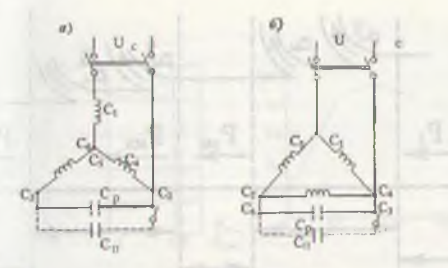


Рис. 9.20. Схемы пуска трехфазного асинхронного двигателя от однофазной сети: а) при соединении обмоток статора звездой; б) при соединении обмоток статора треугольником.

$$C_{_{p}} = 4800 \frac{\text{H}}{\text{U}}$$
мкф — для схемы 9.20 б (обмотки статора

сослинены треугольником), гле С — рабочий конденсатор; I — номинальный ток двигателя;

(" - напряжения сети.

Номинальное напряжение конденсатора определяется по формуле

$$U_{\kappa} = 1,15 \text{ U}.$$
 (9.22)

(9.21). . .

Рабочий конденсатор постоянно подключен к двигатепи, пусковой конденсатор С, после запуска отключается.

9.11. Потери энергии и КПД асинхронных двигателей (рис. 9.21)

Н соответствии с энергетической диаграммой часть электрической энергии, полаваемой на двигатель, расходуется ин следующие виды потерь: P_{c1}, P_{c2} — потери в стали статоры и ротора, потери в стали ротора из-за их малости можпо не принимать во внимание; $P_{\text{мех}}$ — механические потери воздух.

КПД двигателя равен:

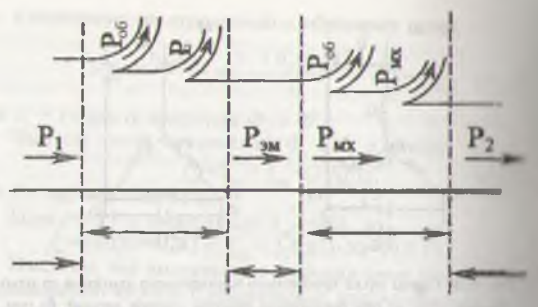


Рис. 9.21. Энергетическая диаграмма асинхронного двигателя

$$\begin{split} \eta &= \frac{P_{_{1}}}{P_{_{1}}} \cdot 100\% = \frac{P_{_{1}} - (P_{_{01}} + P_{_{02}} + P_{_{c1}} + P_{_{mex}})}{P_{_{1}}} \cdot 100\% = \\ &= \frac{P_{_{1}} - \Sigma P}{P_{_{1}}} \cdot 100\% \end{split}$$

где Р, - мощность на валу двигателя.

Для большинства современных асинхронных двигателей К11.11 имеет значение 80—90%, а для мошных двигателей 90—96%.

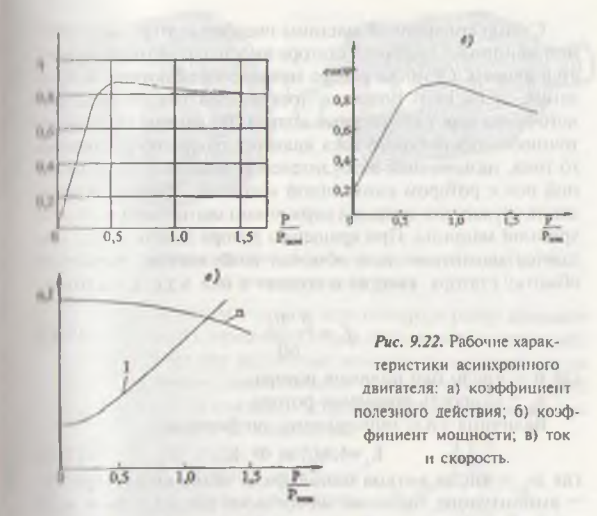
Самое большое значение КПД соответствует при рабо те с мощностью, чуть меньшей номинальной нагрузки.

На рис.9.22, а приведена кривая КПД асинхронного двигателя.

9.12. Рабочие характеристики и коэффициент мощности асинхронных двигателей

Зависимость скорости вращения, тока, коэффициснта мошности соѕф, КПД и вращающего момента от относи тельной мощности Р/Р, при постоянном напряжении и частоте называется рабочими характеристиками (рис. 9.22).

Асинхронные двигатели, как наиболее распространенные в промышленности, являются основными потребителями электроэнергии. На холостом ходу угол ф велик. Ток как двигатель потребляет только реактивный ток. С упели-



тепием нагрузки возрастает активная составляющая тока, реактивная составляющая при этом мало изменяется, так ник основной магнитный поток примерно постоянен. Таким образом, при увеличении нагрузки угол ф уменьшаеття, т.е. увеличивается соѕф. При дальнейшем увеличении ингрузки выше номинальной коэффициент мошности уменьшается, так как сильно увеличиваются магнитные потоки рассеяния. Поэтому асинхронные двигатели должный быть достаточно нагружены; наибольшее значение соѕфиолучестся при нагрузке чуть меньше номинальной.

9.13. Синхронные машины. Устройство и принцип работы

В синхронных машинах в установившемся режиме отношение скорости вращения ротора к частоте тока в цепи, полключенной к обмотке якоря, не зависит он нагрузки в области допустимых нагрузок. Статор синхронной машины полобен статору асинхронной машины. Сердечник статора вместе с обмоткой называется якорем. Обмотка ротора называется обмоткой возбуждения, и на него подается постоянный ток от внешнего источника через контактные колыа. Во многих случаях источником постоянного тока является генератор постоянного тока, называемый возбудителем и установленный на одной оси с ротором синхронной машины. Обмотка возбуждения служит для создания первичного магнитного поля синхронной машины. При вращении ротора вместе с ним вращается магнитное поле обмотки возбуждения, пересекает обмотку статора (якоря) и создает в ней э.д.с. с частотой

$$f_i = \frac{\mathbf{p} \cdot \mathbf{n}}{60} \tag{9.23}$$

где р - число пар полюсов ротора;

n, - скорость вращения ротора.

Величина э.д.с. определяется по формуле

$$E_1 = 4.44 f_1 w_1 \Phi_1 K_1,$$
 (9.24)

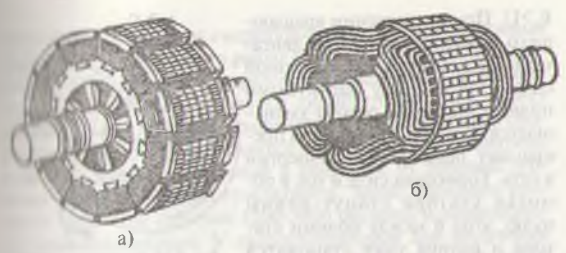
где w_1 — число витков одной фазы обмотки статора; Φ_1 — амплитудное значение магнитного потока одной пары полюсов обмотки возбуждения; K_1 — коэффициент статора (якоря).

Э.д.с. статора создает трехфазную симметричную систему, и при подключении симметричной нагрузки в статоре создается трехфазная симметричная система токов. Эти токи как и в асинхронном двигателе создают вращающееся магнитное поле. Направление вращения магнитного поля статора соответствует направлению вращения ротора. Скорость вращения магнитного поля статора определяется по формуле:

$$n_s = \frac{60 f_s}{p}$$
 (9.25)

Подставив значение f_I из формулы 9.23 в 9.25, получим

$$n_1 = \frac{60 \cdot p \cdot n_2}{60 p} = n_2 \text{ unu } n_1 = n_2.$$
 (9.26)



Рыс. 9.23. Роторы синхронной машины: а) явнополюсный ротор; 6) неявнополюсный ротор.

Стедовательно, магнитное поле статора и ротор вращаютв солинаковой скоростью. Откуда и название синхронный.

Существуют две различные конструкции ротора синхранной машины—явнополюсная и неявнополюсная (рис. 9.21) На рис. 9.24 показано устройство явнополюсной син-

ринной машины. Её полюса вытупцют из поверхности ротора и янсло их 2р≥4. Скорость вращения тих машин не должна превышать 1000 1500 об/мин, так как при польших скоростях центробежные члы могут разрушить ротор. Потиму для быстроходных машин машинется неявнополюсный ропр (рис 9.25), в котором обмотка вы полюсов неявноповы ного ротора 2р=2 и 2р=4.

полюсной синхронной ма-При работе синхронной машины в режиме генератора ротор и полюсной синхронной машины: 1-статор; 2-полюсы ротора; 3-обмотка ротора.

на мигнитное поле опережают магнитное поле статора на тол 0 (рис. 9.26 а). При этом взаимодействие токов статора и поли мицины создает тормозную силу, направленную против вращения ротора. Эту силу должен преодолеть переменный двигатель, механическая энергия которого преобратится и электрическую. Поле ротора как бы ведет за совени поле ститора. Э.д.с. статора больше напряжения сети

 $E_i>U$. При уменьшении вращающего момента первичного двигателя под воздействием тормозной силы угол θ между магнитными полями статора и ротора уменьшается. Когда $E_i=U$ машина прекращает подачу электроэнергии в ссть. Тормозная сила и ток в обмотке статора станут равны нулю, угол θ между полями статора и ротора тоже становится равным нулю (рис. θ 26 θ).

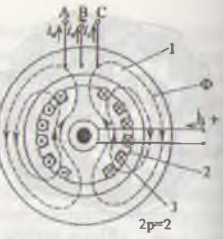


Рис. 9.25, Устройство неявнополюсной синхронной машины: 1-статор; 2-ротор; 3-обмотка ротора.

Если вместо вращающего момента (первичного двигателя) на ротор подключить механическую

нагрузку, то ротор и его магнитное поле в своем врашении будут отставать от магнитного поля статора на угол θ (рис. 9.26 в). Опять при взаимодействии токов статора и поля

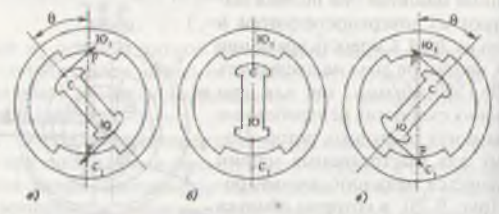


Рис. 9.26. Рабочий процесс синхронной машины: а) генераторный режим; б) переходный режим; в) режим двигателя.

машины возникает электромагнитная сила, создающая вращающий момент, которая стремится продвинуть ротор вперед. Под действием вращающего момента электрическая энергия сети преобразуется в механическую. Таким образом, синхронная машина переходит в режим двигателя.

9.14. Синхронные генераторы

Синхронные генераторы соединяются с первичными двигателями непосредственно. В качестве первичных дви-

применяются гидротурбины, паровые и газовые принцы и относительно редко двигатели внутреннего сгоратов. Синхронный генератор, приводимый в движение от гидрогурбины называется гидрогенератором, имеет абычно малую скорость вращения (примерно десятки оборатов в минуту) и выполняется явнополюсным. Синхронный генератор, приводимый в движение от паровой турбины называется турбогенератором, имеет большую скорость пращения (обычно 1500-3000 об/мин) и выполняетние пешнополюсным. У гидрогенераторов для получения пумпой частоты переменного тока явнополюсный ротор выполняется с десятками полюсов. Чтобы получить тот же пенвнополюсный ротор имеет два или четыре полюса.

При нагрузке синхронного генератора в обмотке статори возникает ток, создающий магнитное поле. Воздействие магнитного поля статора на магнитное поле ротора называется реакцией якоря, которая оказывает сильное воззайствие на работу синхронного генератора.

1. Характеристика холостого зова по зависимость напряжения теператора от тока возлучаемия $U=f(l_x)$ при токе натруки I=0 и нормальной скоома и вращения $n=n_x$ (рис. 9.27). На колостом ходу э.д.с. якоря (татора) и напряжение равны выпрать собой

E=U, T.K. I=0.

Диешняя характеристика — то ванисимость напряжения выпры от тока нагрузки U=f(I_k) при постоянных скорости врашения п = const, токе возбуж-

 $U_0 = f(I_y)$ I = 0 $n = n_u = const$ Puc. 9.27. Xapaktepuc-

Рис. 9.27. Характеристика холостого хода синхронного генератора.

тепни соля и коэффициенте мощности соѕф=const (рис. при индуктивной нагрузке реактивной ток размагативной машину (с увеличением нагрузки напряжение мещинистся). С увеличением емкостной нагрузки напряжение генератора увеличивается.

1 Регуппровочная характеристика — это зависимость тока полужения от тока нагрузки при постоянных значениях

напряжения, скорости вращения и коэффициента мощности (рис.9.29).

9.15. Вращающий момент синхронной машины

Полная мошность грехфазного синхронного генератора при симметричной пагрузке

$$P=3~E_1~I~\cos\phi$$
, (9.27) где E_1 – э.д.с. якоря; I-ток якоря; ϕ -угол сдвига фаз между э.д.с. и током якоря. Эту мощность гене-

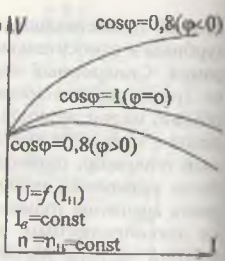
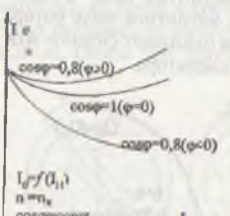


Рис. 9.28. Внешняя характеристика синхронного генератора.



ного генератора.

ратору передает первичной двигатель. Если пренебречь потерями в машине, то момент, преодолеваемый первичным двигателем:

$$M = \frac{3U \cdot I \cos \varphi}{\omega_s} \qquad (9.28)$$

где ω_p — угловая скорость ротора. Эта формула справедлива и для синхронного двигателя, но при

Рис. 9.29. Регулировочная ЭТОМ МОМЕНТ М становится движухарактеристика синхрон- шим. Э.д.с. генератора расходуется на создание напряжения между его зажимами, уравновешивания э.д.с.

от потоков рассеяния и реакции якоря и падения напряжения на активном сопротивлении обмотки статора:

$$\overline{E}_1 = \overline{U} + \overline{I}(X_p + X_s) + \overline{I} \cdot R_1 = \overline{U} + \overline{I} \cdot X_1 + \overline{I} \cdot R_1, \quad (9.29)$$

где Х, - индуктивное сопротивление рассеяния; Х, - индуктивное сопротивление реакции якоря; $R_1 = {}^{9}$ активнос сопротивление якоря.

$$X_{j} = X_{p} + X_{s}$$
. На рис. 9.30 приведена векторная диаграмма синхронного генератора.

При этом активное напряжение і ІІ, на ві малого значения не учтено. 11 и кторной диаграммы:

$$AB=E_{\parallel}\sin\theta=I X_{\parallel}\cos\phi.$$
 (9.30)

$$\frac{E_1 \cdot \sin \theta}{X_1} = I \cdot \cos \phi. \quad (9.31)$$

VIЛОВИЯ СКОРОСТЬ РОТОРА РАВНА
$$m_1/60 = 2\pi f_1/p = \omega/p. \quad (9.32)$$

$$m_1 = \frac{60 f_1}{p} \quad (из формулы 9.23);$$

$$m_2 = 2\pi f_1 - угловая частота.$$

Подставив значения формул 9.31 и 9.32 в формулу 9.28,

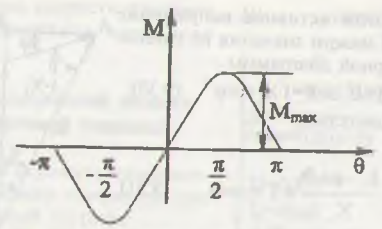
$$M = \frac{3 \cdot U \cdot I \cdot \cos \phi}{\omega p} = \frac{3 \cdot U \cdot E_{t} \cdot \sin \theta \cdot p}{X_{t} \cdot \omega} =$$

$$= \frac{3 \cdot U \cdot \sin \theta \cdot p \cdot I_{x}}{\omega} = M_{--} \cdot \sin \theta$$
(9.33)

$$\frac{E_1}{X}$$
 — ток короткого замыкания генератора.

$$\frac{3 \cdot U \cdot 1 \cdot P}{\omega} - \text{максимальный момент.}$$

1 пким образом, вращающий момент синхронной мапинны и ее мощность пропорциональны синусу угла сдвита межлу осями полюсов ротора и результирующего магинтипно поля машины (рис.9.26). Зависимость момента от еннуси угла в называется угловой характеристикой синхринини машины (рис.9.31).



Рас. 9.31. Угловая характеристика синхронной машины.

9.16. Синхронные двигатели

В режиме двигатсля синхронная машина потребляет энергию из сети и превращает ее в механическую энергию. Момент машины является движушим. При этом в формуле 9.33 угол 6<0. Физически это означает то, что в двигателе полюсы рогора отстают от вращающегося магнитного поля статора. Для того, чтобы продолжить синхронное вращение ротора необходимо, чтобы момент нагрузки не превышал наибольшего значения момента М мас. В противном случае равновесие между моментами нарушится, машина выйдет из синхронизма, скорость ротора начнет уменьщаться, возникнут недопустимы колебания тока и вращающего момента. При этом двигатель должен быть немедленно отключен от сети.

Практически работа машины в качестве двигателя возможни только тогда, когда момент нагрузки меньше $M_{\rm max}$ Обычно при номинальный нагрузке угол θ равен 20-30°. При этом номинальный момент двигателя $M_{\rm H}$ не превышает 0,5 $M_{\rm max}$.

При подключении двигателя в сеть ротор будет неподвижен Пусть в этот момент взаимное расположение полюсом ротора и магнитного поля статора будет таким, как изображено на рис. 9.32 а. Из-за того, что разноименные полюса стремятся расположиться друг против друга, возникает момент, действующий на ротор (его направление показано на рис. 9.32 а). Через время равное половине периолотока, питающего статор, поле статора повернется на одно полюсное деление, т.е. полюсы поля статора поменяются местами. Из-за механической инерции за это время ротор

петески не сдвинется с места. Взазатия рисположение полюсов статон изпора станет таким, как изобрани пи рис. 9.32 б. Теперь момент, дейтом противоположное. В резатите ротор не сдвинется с места, на кик на него действуют кратковретенные толчки, изменяющие свое на-

Али пуска синхронного двигана пило произвести разгон ротона о синхронной скорости. В наначание время широко применяетна шкронный пуск (рис. 9.33). Для аго пуществления на полюсах ропри рисполагают специальную пусзеную обмотку, подобную корот-



Рис. 9.32. Взаимодействие полюсов статора и ротора в момент пуска.



Ры V II. Схема «асинхранного пуска» синхроннего авигителя: 1-обмотка 2-обмотка возбужна 11-и X - короткона 11-и X - бмотка; 4-соп-

козамкнутой обмотке асинхронного двигателя (типа «беличье колесо»). При пуске обмотку возбуждения нельзя оставлять разомкнутой или замкнутой. В разомкнутой обмотке магнитное поле статора наводит очень большую э.д.с., опасную для изоляции проводов и обслуживающего персонала. В замкнутой обмотке возникают большие токи, что аналогично тому, что двигатель будет нагружен и он не войдет в синхронизм. Поэтому во время пуска обмотка возбуждения подключается на сопротивление, величина которой примерно в 10 раз больше, чем её сопротивление. Обмотка статора подключается в трехфазную сеть и возникает врашающееся магнитное поле. Оно индуктирует в короткозамкнутой обмотке токи, создающие вращающий момент, двигатель разгоняется до некоторой скорости п, близкой к синхронной (п≈0,95 п,). Затем обмотка возбуждения отключается от сопротивления и подключи ется к источнику постоянного тока. В результате под дей ствием вращающегося магнитного поля статора и полюсов ротора двигатель втягивается в синхронизм.

При вращении ротора с синхронной скоростью в ко роткозамкнутой обмотке ток не возникает. Только при инменениях нагрузки возникают токи и вращающий момент. препятствующий колебаниям скорости.

Механическая характеристика синхронного двигателя является абсолютно жесткой (рис. 9.34), т.е. его скорость прав-

тически не зависит от нагрузки. Этот вывод можно сделать также из того, что M_{MRN} пропорционален U, а не U^2 , как в асинхронном двигателе. При изменении тока возбуждения изменяются э.д.с. обмотки статора и коэффициент мощности. При малых токах возбуждения э.д.с. статора будет меньше напряжения сети (E<U). При этом машина будет недовозбужденной, потреблять реактивную мощность. С увеличением тока возбужде- характеристика синхрон ния соѕф и Е увеличивается. Когда



э.д.с. Е и напряжение сети станут равными, реактивная мошность, потребляемая от сети, станет равным нулю, а $\cos \varphi = 1$ При еще большем увеличении тока возбуждения э.д.с. сти нет E>U и двигатель будет отдавать в сеть реактивный тох Таким образом, в синхронной машине изменение тока вст буждения приводит к изменению реактивного тока и реактивной мощности сети. Синхронные машины, работающие в режиме перевозбуждения и являющиеся генераторами реактивной мощности, называются синхронными компенси-

Для нормальной работы асинхронных двигателей, трансформаторов необходим реактивный ток, который они потребляют из сети. Это приводит к уменьшению соѕф системы. Если рядом с такими потребителями в сеть подключить синхронный компенсатор, то он будет их снабжать вышиной мощностью. В результате увеличивается коэфпонити мощности генераторов электростанций, уменьпотери напряжения в линии. Синхронные компенвыпры имеют облегченную конструкцию, так как не нете чечлическую нагрузку. Но так как они длительное время пают в перевозбужденном режиме, то сечение провона обмотки возбуждения берется несколько увеличенным.

9.17. Асинхроиный исполнительный двигатель

ІІ системах автоматики и вычислительной техники шиприменяется двухфазный асинхронный двигатель с пін рис. 9.35. Двигатель имеет внешний и внутренний панцы, между которыми вращается тонкостенный (0,2-

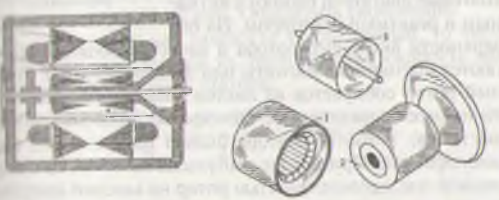


Рис. У.35. Двухфазный исполнительный асинхронный двигатель: 1 впенний статор; 2-внутренний статор; 3-ротор; 4-обмотки статора.

1 (1 мм) ротор из алюминиевого сплава, имеющий форму навлия. На внешнем статоре расположены две обмотки: (рис. v (6) 1) обмотка возбуждения v, на которую подается первывиное напряжение от сети; 2) обмотка управления v, выпорыя питается напряжением управления U_y , значение вигорого изменяется под воздействием управляющего сигничи Для создания вращающего момента необходимо, чтопы между U, и U, был сдвиг по фазе, что можно сделать по почением конденсатора в цель обмотки управления. Чанинтное поле обмотки возбуждения создает в полом ропиареные токи. При взаимодействии этих токов и магпилиото поля в обмотках управления возникает вращаюначинает вращаться.

Если активное сопротивление ротора будет малым и разорвется цепь обмотки управления, то ротор все равно продолжает вращаться. Поэтому для увеличения активного сопротивление ротора он выполняется в виде тонкостенного алюминиевого стаканчика.

Portop U

Рис. 9.36. Схема двух-

9.18. Шаговые двигатели

Шаговые двигатели питаются фазного исполнительимпульсами электрической энергии ного асинхронного двии на каждый импульс поворачиваются на угол, называемый шагом, буждения; w,-обмотка шаговые двигатели бывают с активным и реактивным ротором. На по-

верхности активного ротора в качестве полюсов распола гаются постоянные магниты или электромагниты. Реактипный ротор собирается из листов электротехнический стили и имеет определенное количество полюсов (полюсных выступов). Обмотка статора бывает одно-, двух-, трех- и многофазной. При подаче импульсов на обмотки с определенной последовательностью ротор на каждый импульс поворачивается на один шаг.

На рис. 9.37 изображена схема многофазного шагового двигателя с реактивным ротором. При подаче первого им пульса на первую и вторую обмотки ротор поворачивается на один шаг. При подаче второго импульса на первую и третью обмотки ротор поворачивается еще на один шаг и

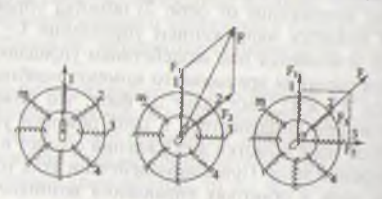


Рис. 9.37. Шаговый двигатель.

на В большинстве случаев эти импульсы подаются при намощи электронного кольцевого коммутатора.

Шпговые двигатели, применяемые на станках с проприминым управлением, имеют очень малснький угол повирота. Например, шаговый двигатель ШД-4 на один имнульс может поворачиваться на 3 или 1,5° при частоте примистости 800 Гц. Частопой приемистостии называется пренальная частота следования импульсов, при которой возныем пуск и остановка двигателя без потери шага. Шаговый двигатель ШД-5Д на каждый импульс может поворачиваться на 1,5 и 0,75° при частоте приемистости 2000 Гц.

Задачи

Задача 9.1. Четырехполюсный асинхронный двигатель подвывщен к трехфазной сети частотой тока f=50 Γ ц и вращается от скоростью n,=1440 об/мин. Определить скольжение.

Решение: 1. Так как двигатель 4-х полюсный, то число пар полюсов p=2. Исходя из этого находим скорость врашения магнитного поля статора:

$$n_1 = \frac{60f}{p} = \frac{60 \cdot 50}{2} = 1500 \text{ ob/Muh.}$$

2. Скольжение равно:

$$S = \frac{n_1 - n_2}{n_4} \cdot 100\% = \frac{1500 - 1440}{1500} \cdot 100\% = 4\%.$$

Задача 9.2. Асинхронный двигатель питается от сети прехфазного тока с частотой $f_i = 50$ Гц, магнитное поле станири имеет скорость вращения n = 1000 об/мин. Определить писло пар полюсов.

Решение: 1. Число пар полюсов равно:

$$p = \frac{60 f_i}{n_i} = \frac{60 \cdot 50}{1000} = 3.$$

$$P_{i} = P_{ii}/\eta_{ii} = 11/0,855 = 12,86 \text{ kBm}$$
.

- 2. Номинальный момент двигателя M_n=9,55 P_n/n=9,55 11000/975=107,7 H M.
- 3. Номинальный ток:

$$P_{u} = \sqrt{3} \cdot U_{u} \cdot I_{u} \cos \varphi_{u} \cdot \eta$$

$$I_{u} = \frac{11000}{1,73 \cdot 380 \cdot 0,855 \cdot 0,83} = 23.6 \text{ A};$$

пусковой ток

$$I_n = I_n 7 = 23,67 = 165,2 \text{ A}.$$

4. Максимальный момент

$${
m M}_{
m max}$$
=2,2 ${
m M}_{
m h}$ =2,2 107,7=237 $_{
m H}$ М пусковой момент

$$M_n=2 M_s=2 107,7=215,4 H M.$$

5. Номинальное скольжение

$$S = \frac{n_1 - n_2}{n_1} \cdot 100\% = \frac{1000 - 975}{1000} \cdot 100\% = 2,5\%.$$

6. Частота тока ротора

7. При уменьшении напряжения сети на 20% напряжение авигателя будет 0,8 Uн. Так как момент двигателя пропорционален квадрату напряжения, то пусковой момент будет равен

$$M_n = (0.8 \text{ UH})^2 \cdot M_n = 0.64 \cdot 215.4 = 138 \text{ H} \cdot \text{M};$$

 $M_n \setminus M_n$; 138\\\\)107.7.

Следовательно, двигатель можно запустить.

Indava 9.8. В паспорте синхронного генератора привеним следующие данные: число витков обмотки статора =226, коэффициент обмотки $K_1=0.8$, скорость вращения n=1500 об/мин, число пар полюсов p=2, максимальный магнитный поток обмотки возбуждения Ф =0,01 Вб. Определить э.д.с. холостого хода генератора. Решение: частота э.д.с.: $n_{i} = \frac{60 \, f_{i}}{p} \, ,$

$$n_i = \frac{60 f_i}{p},$$

пислода

$$f = \frac{P \cdot n_1}{60} = \frac{2 \cdot 1500}{60} = 50 \Gamma \mu_1$$

2) Э.п.с. генератора:

$$E_{10}=4,44 f_{1} \omega_{1} \Phi_{xx} K_{1}=4,44-50-226-0,01=401B.$$

ГЛАВА 10

машины постоянного тока

10.1. Общие понятия

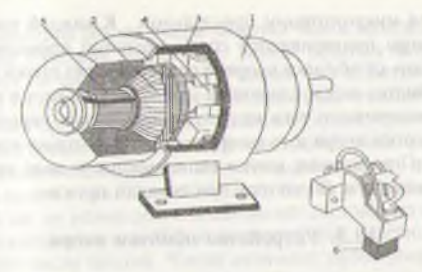
По своему назначению машины постоянного тока бывают генераторами и двигателями. Генераторы преобразуют механическую энергию в электрическую, двигатели преобразуют электрическую энергию в механическую.

Одна и та же машина может работать как генератором, так и двигателем. Ранее этим свойством обратимости машин постоянного тока широко пользовались. Например, на воздушных судах и автомобилях устанавливались стартергенераторы. При запуске двигателей воздушных судов и автомобилей они работали в режиме двигателя (в качестве стартера), а в рабочем режиме работали в качестве генератора. Однако, когда одна и та же машина работает и двигателем и генератором, ухудшаются ее рабочие характеристики. Например, уменьшается КПД. Поэтому в настоящее время стартер-ганераторы практически не применяются.

Генераторы постоянного тока применяются при электролизе, зарядке аккумуляторов, электрической сварке, устройствах привода и т.д. Двигатели постоянного тока применяются в электрическом транспорте, прокатных станах, подъемниках шахт, автоматических системах.

10.2. Устройство машин постоянного тока

Машина постоянного тока состоит из неподвижной части-станины и подвижного якоря. Изнутри к станине прикреплены полюса с обмотками возбуждения, создающие в машине основное магнитное поле. Магнитный поток этого поля замыкается через якорь и станину (рис 10.1). Сердечники полюсов собираются из листов электротехнической



Рыс. 10.1. Устройство машины постоянного тока: 1-станина: 2-якорь: 1 основные полюса; 4-дополнительные полюса; 5-коллектор; 6-шётка.

етали толщиной 0,5-1 мм, иногда из листов конструкшюшной стали толщиной 2 мм. Обычно листы не изолируются друг от друга, так как в стационарном режиме читинтный поток не изменяется. Концы полюсов заканчиваются выступами. Наконечники полюсов дают возможность крепления обмоток возбуждения и необходимого распределения магнитной индукции в воздушном



Рис. 10.2. Поперечное тока:

иймотки икоря.

промежутке между полюсами и якорем. В машинах мощностью более І кВт между основыми полюсами устанавливаются дополнительные полюса (рис 10.2). Они меньше основных полюсов и служат для улучшения коммутации. Сердечник якоря собирается из штампованных дисков электротехнической стали толщиной 0,5 мм. На поверхности якоря выполняютписние машины постоянного ся каналы, в которые укладываются проводники обмотки 1 серпечник якоря; 2-обмотка якоря. На одной оси с якорем

во ну кления: 3-ось; 4-основной устанавливается коллектор полис. 5 дополнительный по- (рис 10.1). Цилиндрический ни б станина; 7-проводники коллектор состоит из медных пластин, изолированных друг от друга миканитовыми прокладками. К каждой пластине коллектора привариваются соединительные проводники — «петушки» от обмотки якоря. Коллектор через шетки соединяет обмотку якоря с внешней цепью. Кроме того в генераторах постоянного тока коллектор преобразует переменный ток обмотки якоря в пульсирующий ток. Угольно-графитовые или графитовые шетки выполняются в виде призм пукладываются к коллектору при помощи пружин.

10.3. Устройство обмотки якоря

Рассмотрим простой генератор с двухполюсным якорем, на поверхности которого выполнено 6 каналов (пазов). На рис. 10.3 показана развернутая схема обмотки якоря. Обмотка якоря выполняется двухслойной, т.е. в каждом пазу друг на друга укладываются два слоя. Верхний слой обозначен сплошной линией, нижний слой-пунктирной линией. На рисунке провод от первой коллекторной пластины идет в верхний слой первого паза якоря, потом в нижний слой четвертого паза и после этого на вторую пластину коллектора. Потом провод от второй коллекторной пластины идет в верхний слой второго паза якоря и т.д.

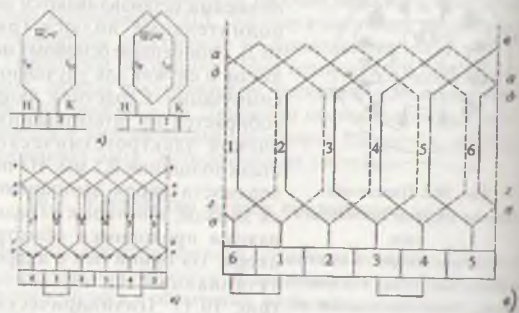


Рис. 10.3. Устройство обмотки якоря: а) секции обмотки якоря; б, в) развертки обмотки якоря.

После полного обхода якоря обмотка опять возвращается в первой пластине коллектора. Значит обмотка якоря замыкается на себя. На рис. 10.3 видно, что обмотка якоря замыкается на себя. На рис. 10.3 видно, что обмотка якоря постоит из одинаковых частей, называемых секцией. Конны секций присоединяются к соседнем коллекторным пластинам. В одном пазу укладываются нижний слой предыдушей секции и верхний слой последующей секции. При врашении якоря в секциях возникает э.д.с. В лобовых частях приний эдс не возникает. Секция может состоять из одного или нескольки витков. Число коллекторных пластин соответствует числу секций. Число активных проводников обмотки якоря можно определить по формуле:

(де K — число коллекторных пластин; $w_{\rm c}$ — число витков секций.

На рис. 10.3 б показаны направления э.д.с. активных прополников. Эти направления определяются по правилу праной руки. Так как обмотка якоря замкнута на себя, то сумма э.д.с. проводников равна нулю. Однако, при обходе обмотки видно, что направления э.д.с. под первой и четвертой коллекторными пластинами меняются. Это говорит о том, что обмотка состоит из двух параллельных ветвей и имеет два узла. Узел под четвертой пластиной имеет высокий потенциал (+), а под первой пластиной—низкий потенциал (-). К этим местам прижимаются шетки. В момент, показанный на рис 10.36, напряжение между щетками:

$$U_1 = e_1 + e_4 + e_2 + e_3 + e_6 =$$

$$= e_4 + e_1 + e_5 + e_6 + e_6 + e_5.$$
(10.1)

При этом штрихом обозначены э.д.с. проводников нижнего слоя. Если якорь повернуть на 60°, величина напряжения и полярность щеток сохраняются, так как шестой паз внимает место первого, первый—место второго и т.д. Однико, при повороте якоря на угол меньший чем 60° положение изменится. Например, на рис 10.3 в показана разпертка якоря при повороте на 30°. При этом две секции поклываются короткозамкнутыми, и каждая параллельная нетнь будет состоять из двух секций. Напряжение обмотки пкоря для этого момента будет равно

$$U_{1} = e_{1} + e_{2} + e_{3} + e_{4} + e_{5} + e_{5$$

 $U_2 = e_1 + e_4 + e_2 + e_5 = e_4 + e_1 + e_5 + e_5.$ (10.2) Таким образом, при вращении якоря направление его напряжения будет постоянным, а величина изменяется от U, до U,. Чем больше будет секций, тем меньше будут ко лебаний напряжения.

10.4. Э.д.с. якоря

Для определения э.д.с. якоря необходимо знать магнит ную индукцию на его поверхности. Средняя величина маг нитной индукции определяется как отношение магнитного потока пары полюсов к поверхности якоря, которую пересекает этот поток

$$B_{\varphi} = \frac{\Phi}{\tau \cdot l}, \qquad (10.3)$$

где Ф - магнитный поток пары полюсов; т-полюсное де ление; / -активная длина секции.

Полюсное деление определяется из следующего выраже

$$\tau = \frac{\pi \cdot D}{2p} \,, \tag{10.4}$$

где D – диаметр якоря; 2 р – число полюсов. Следовательно,

$$B_{\perp} = \frac{\Phi}{\frac{\pi \cdot D}{2p}} = \frac{2p \cdot \Phi}{\pi D \cdot l} . \tag{10.5}$$

В соответствии с законом электромагнитной индукции э.д.с. одного активного проводника:

$$E_{_1}=B_{_{\mathbf{Q}}}\cdot \ell\cdot V=\frac{2p\cdot \Phi}{\pi\cdot D\cdot \ell}\ell\cdot V=\frac{2p\cdot \Phi}{\pi D}\cdot V\,, \tag{10.6}$$
 где V — линейная скорость якоря, которая равна.

$$V = \frac{\pi \cdot D \cdot n}{60} \tag{10.7}$$

не п = скорость вращения якоря, об/мин.

$$E_1 = \frac{2p \cdot \Phi}{\pi \cdot D} \cdot \frac{\pi D \cdot n}{60} = \frac{2p \cdot \Phi \cdot n}{60}$$
 (10.8)

Э.д.с обмотки якоря равна сумме э.д.с. проводников олпол параллельной ветви

$$| | = | \frac{N}{2a} = \frac{2p\Phi \cdot n}{60} \cdot \frac{N}{2a} = \frac{p \cdot N}{60a} \cdot \Phi \cdot n = c \cdot \Phi \cdot n, \quad (10.9)$$

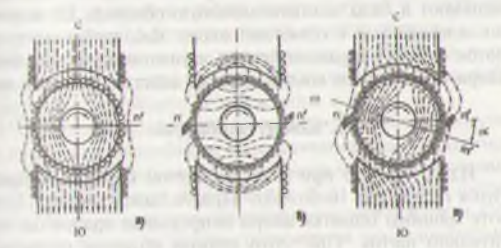
$$c_* = \frac{p \cdot N}{60a}$$
 — постоянный коэффициент;

2а - число параллельных ветвей.

10.5. Реакция якоря (рис. 10.4)

В режиме холостого хода магнитное поле машины сопастся только обмоткой возбуждения (рис. 10.4 а). При подключении нагрузки возникает магнитное поле якоря (рис. 10 4 б). Токи в проводах, обозначенных +, текут за плоскость рисунка, а в проводах, обозначенных точками, токи токут к нам. Направления магнитных силовых линий опречелены по правилу буравчика.

Магнитное поле нагруженной машины определяется путем наложения друг на друга магнитных обмоток воз-



Рыс. 10.4. Реакция якоря: а) магнитное поле обмотки возбуждения; ба масшитное поле обмотки якоря; в) результирующее магнитное поле.

буждения и якоря. При этом магнитное поле обмотки воз буждения будет устойчивым, а магнитное поле якоря из меняется с изменением нагрузки.

Действие магнитного поля якоря на магнитное поле обмотки возбуждения называется реакцией якоря. Линии п-п', проведенная через середину между полюсами, называется геометрической нейтралью. Линия, соединяющия противоположные точки поверхности якоря, в которых минитная индукция равна нулю называется физической нейтралью (m-m'). В ненагруженной машине геометрическая и физическая нейтрали совпадают.

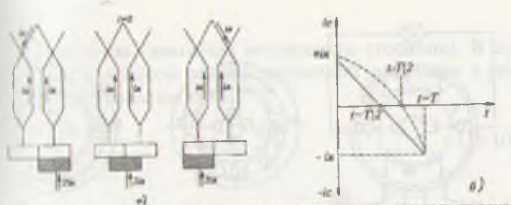
Под действием реакции якоря магнитное поле машины искажается. Суммарный магнитной поток в генераторах поворачивается в направлении вращении якоря. При этом физическая нейтраль смещается относительно гометрической нейтрали на угол α (рис 10.4 в). При работе генератором поле усиливается под сбегающим краем полюсов и ослабляется под набегающим (рис 10.4 в). Поэтому средняя магнитная индукция нагруженной машины будет меньше, чем в ненагруженной. Соответственно уменьшается э.д.с. якоря. Таким образом, реакция якоря оказывает размагничивающее действие на машину.

При работе машины двигателем физическая нейтраль смещается в сторону, противоположную вращению. Поле усиливается под набегающим краем полюсов и ослабляется под сбегащим.

Для устранения реакции якоря на основных полюсах укладывают в пазы компенсационную обмотку. Её включают последовательно с обмоткой якоря так, чтобы магнитный поток ее был направлен против магнитного потока обмотки якоря и тем самым компенсировал действие реакции якоря

10.6. Коммутация (рис. 10.5)

Известно, что при помощи шеток обмотка якоря лелится на две или несколько параллельных ветвей. При работе машины обмотка якоря непрерывно вращается относительно шеток. При этом секции обмоток непрерывно переходят из одной параллельной ветви в другую с токами противоположных направлений (рис. 10.5 а). В процессе пере-



10.5. Ток коммутации: а) изменение тока сехнии при переходе от однов параглельной ветви к другой; б) график изменения тока коммутации.

в почения секция кратковременно окажется короткозамкпутой и в ней направление тока изменяется на противопопожное. Переключение секции и возникающие при этом пвасния в ней называются коммутацией. Периодом коммупашии называется время, в течение которого секция замкнута накоротко. Ток коммутации и переходное сопротивление между щеткой и коллекторными пластинами в период коммутации изменяется линейно (рис. 10.5 б). Однако, при изменении тока в секции появится э.д.с. самоиндукции. Кроме 10го, в машине коммутируются одновременно несколько секций, что приводит к появлению э.д.с. взаимоиндукции, которые стремятся сохранить прежнее направление тока секнии. По этой причине, а также из-за неравномерного распределения тока под шеткой изменение тока в начале коммутании происходит медленнее чем в конце. В результате позникает искрение под сбегающим краем полюсов. При больших плотностях тока может возникнуть дуговой разряд. этот разряд ионизирует воздух между шеткой и коллектором, что может еще больше усилить дуговой разряд.

Возникновение искры под щетками может быть и по другим причинам: неровность коллекторных пластин, вибрания шеток, загрязнение коллектора и т.д.

Наиболее эффективным методом улучшения коммутании является компенсация э.д.с. самоиндукции и взаимонилукции. Для этого между основными полюсами устанавниаются добавочные полюсы (рис 10.6). При этом щетки должны быть установлены на геометрической нейтрали. Обмотки добавочных полюсов соединяются последовательно с обмоткой якоря и их магнитный поток направлен про-

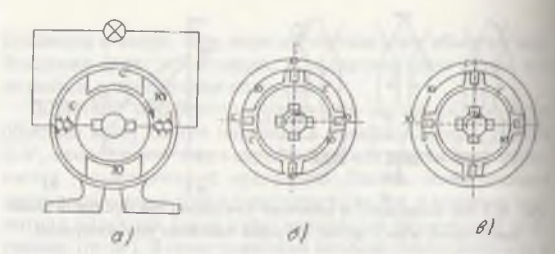


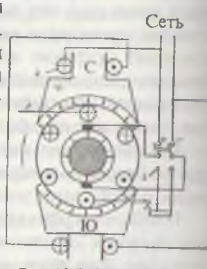
Рис. 10.6. Дополнительные полюса: а) схема соединения; б) размеще ние дополнительных полюсов на двигателе; в) размещение дополни тельных полюсов на генераторе

тив магнитного потока якоря. Так как магнитный поток до бавочных полюсов пропорционален току нагрузки, то ком пенсация достигается на всех режимах работы машины В генераторах полярность добавочного полюса должна совиндать с полярностью основного полюса в направлении ври щения (рис. 10.6 в). В двигателях полярность добавочного по люса должна совпадать с полярностью основного полюси против направления вращения (рис. 10.6, б). Для того, чтобы токи в обмотках добавочных полюсов были пропорцио

нальны току нагрузки их магнитная цепь должна быть ненасыщенной. Для достижения этого воздушный промежуток между сердечником якоря и добавочными полюсами выполняется сравнительно большим.

10.7. Генераторы постоянного тока

Напряжение постоянного тока от сети подается только на обмотку Рис. 10.7. Схема для ра п возбуждения (рис. 10.7). В результате яснения принципа работы в машине появляется возбуждающее машины постоянного токи магнитное поле. Якорь вращается 1-переключатель; 2-обмот первичным двигателем (турбина,



ка вообуждения

инктродвигатель, двигатель внутреннего сгорания). В сопинстствии с законом электромагнитной индукции в обминке якоря создается э.д.с.:

$$e=w \cdot \frac{d\phi}{dt} \qquad (10.10)$$

иле w-число витков обмотки якоря; $\frac{d\varphi}{dt}-$ скорость изме-

цения магнитного потока. При отсутствии нагрузки ток якоря равен нулю. Генератор работает в режиме холостого хода и первичный двиплель преодолевает только момент трения. При подключеши нагрузки по обмотке якоря проходит ток. Согласно шкону Ампера магнитное поле обмоток возбуждения дейвтичет с определенной силой на проводники якоря. Эти силы создают электромагнитный момент, направленный против момента первичного двигателя. С увеличением натручки растут электромагнитные силы. Соответственно дол-*пы расти механические силы для вращения якоря. Уравпение генератора определяется следующим выражением:

 $E=U+I_a\cdot R_a$ гас E = э.д.с. якоря, U = напряжение между зажимами геператора, $I_{\rm g}$ — ток якоря, $R_{\rm g}$ — сопротивление обмотки якоря, $I_{\rm g}$ $R_{\rm g}$ — падение напряжения в обмотке якоря.

$$I_a$$
 холостом холу I_a =0. Поэтому $E=U+I_a$ R_a = U . (10.12)

Из формулы 10.10. следует, что для получения постоянного во времени напряжения магнитный поток должен и іменяться равномерно. Однако длительное время делать это певозможно. В машинах постоянного тока магнитный поток пол полюсами обмоток возбуждения изменяется периодически по синусоидальному закону. Соответственно изменяится и э.д.с. обмотки якоря. Для получение постоянного нащижения надо переменное напряжение обмотки якоря выпрымить. Эту задачу выполняет коллектор. При изменении направления э.д.с. коллектор автоматически переключает конны обмоток якоря, и в результате направление напряжение остается постоянным. На рис 10.8 витки 1 и 2 обмотки якоря явинуты между собой на угол 90°. При помощи коллектора

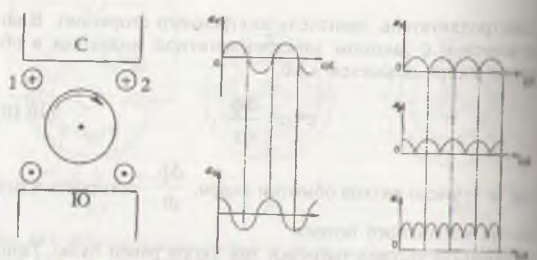


Рис. 10.8, Уменьшение пульсации э.д.с. при помощи коллектора

эти э.д.с. преобразуются в пульсирующие э.д.с. е, и е,. Так кик обмотка якоря имеет большое число витков и угол сдвиги между ними по поверхности якоря небольшой, то пульсации напряжения будут небольшими. Таким образом, на выхоле генератора получим почти постоянное напряжение. Следовательно, коллектор в генераторах выполняет две функции:

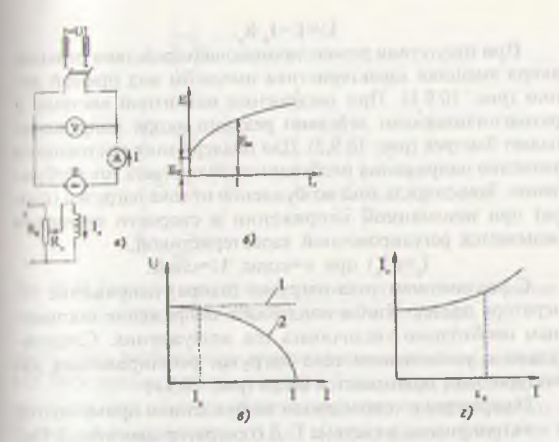
преобразует переменное напряжение якоря в постоянное.

2. через шетки передает ток от генератора на потребители Генератор независимого возбуждения (рис. 10.9). Генераторы постоянного тока делятся на генераторы независимого возбуждения и генераторы с самовозбуждением.

В генераторах независимого возбуждения основное магнитное поле создается постоянными магнитными или обмотками возбуждения, ток на которые полается от внешних, независимых источников тока (рис. 10.9 а) Поэтому магнитный поток обмотки возбуждения не зависит от нагрузки генератора. Рассмотрим основные характеристики генератора независимого возбуждения. Зависимость э.д.с. генератора от тока возбуждения при постоянной скорости вращения и отключенной нагрузке называется хврактеристикой холостого хода.

E=f(Ie) при I=0 и n=const.

Так как э.д.с. пропорциональна магнитной индукции, ток возбуждения — напряженности магнитного поля, то



Рыс. 10.9. Генератор независимого возбуждения: а) схема соединений; б) характеристика холостого хода; в) внешняя характеристика;

 г) регулировочная характеристика.
 шнисимость E=f(Iв) будет похожа на B=f(H). Таким обраком, характеристика холостого хода отражает свойства магнитного сердечника.

Для получения этой характеристики необходимо врашшть генератор с номинальной скоростью л=п, при разом-кнутых его зажимах. За счет остаточной магнитной индукции полюсов э.д.с. генератора при I₃=0 не будет равна нулю, в будет равна некоторому первоначальному значению E₀. С ростом тока возбуждения пропорционально растет э.д.с. генератора пока магнитная система не насышена. По мере писыщения сердечников полюсов рост э.д.с. замедляется и при полном насышении Е практически не увеличивается.

Зависимость напряжения генератора от тока нагрузки при постоянных значениях тока возбуждения и скорости вращения называется внешней характеристикой (рис. 10.9 в).

 $U=f(I_\pi)$ при n=const, $I_{\rm s}$ =const. С ростом тока нагрузки (якоря) паление напряжения на нем растет, что ведет к уменьшению напряжения генерато-

255

 $U=E-I_gR_g$

При отсутствии размагничивающего действия реакции якоря внешняя характеристика имела бы вид прямой линии (рис. 10.9.1). При насыщении магнитной системы празмагничивающем действии реакции якоря напряжение падает быстрее (рис. 10.9.2). Для поддержания постоянного значения напряжения необходимо увеличивать ток возбуждения. Зависимость тока возбуждения от тока нагрузки (якоря) при неизменном напряжении и скорости врашения называется регулировочной характеристикой.

 $I=f(I_n)$ при n=const, U=const. С увеличением тока нагрузки (якоря) напряжение гонератора падает. Чтобы поддержать напряжение постоянным необходимо увеличивать ток возбуждения. Следовательно с увеличением тока нагрузки регулировочная характеристика поднимается вверх (рис. 10.9.r)

Генераторы с независимым возбуждением применяются в электроприводе в системе Г-Д (генератор-двигатель). Основным недостатком его является необходимость постороннего источника питания.

Генераторы с самовозбуждением. Принцип самовозбуждения основан на свойстве магнитных материалов сохранять определенное значение остаточной магнитной индукции в течение двигательного времени. Напряжение на обмотку возбуждения подается от самого генератора. В зависимости от способа присоединения обмотки возбуждения к обмотке якоря различают генераторы параллельного, последовательного и смешанного возбуждения.

Генератор параллельного возбуждения (рис. 10.10)

В этом генераторе обмотка возбуждения подключена к обмотке якоря параллельно через реостат $R_{\rm m}$. Такой генератор называют также шунтовым. Условием самовозбуждения является совпадение направлений магнитных потоков обмотки возбуждения и остаточной магнитной индукции. При этом начальная э.д.с. $E_{\rm o}$, поданная на обмотку возбуждения, вызовет в ней ток и магнитный поток, что приведет к увсличению э.д.с. якоря. Это ведет к еще большему

256

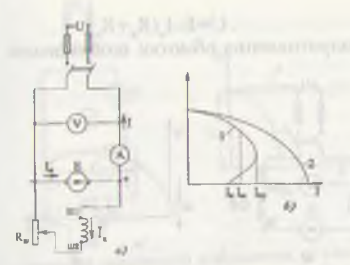


Рис. 10.10. Генератор параллельного возбуждения (шунтовой генератор): а) схема соединений; б) внешняя характеристика.

росту тока возбуждения и магнитного потока полюсов и т.д. Этот процесс увсличения э.д.с. генератора продолжается до тех пор, пока падение напряжения на обмотке возбуждения не уравновесил э.д.с. генератора, т.е. $E=I_{\mathfrak{a}}\cdot\Gamma_{\mathfrak{u}}$.

Характеристика холостого хода и регулировочная характеристика у этого генератора похожи на характеристики генератора независимого возбуждения.

В генераторах параллельного возбуждения с увеличением тока нагрузки напряжение падает быстрее (рис. 10.10. б.1). Причиной этого является подача на обмотку возбуждения пониженного напряжения, что связано с падением напряжения на обмотке якоря и разматничивающим действием реакции якоря. В результате ток возбуждения уменьшается. Поэтому, начиная с некоторого значения $I_{\rm кp}$, ток нагрузки уменьшается даже при уменьшении сопротивления нагрузки. Значение $I_{\rm kp}$ обычно составляет (1,5+2,5) $I_{\rm s}$. На рис. 10.10.6 характеристика 2-это внешняя характеристика генератора с исзависимым возбуждением.

Генератор последовательного возбуждения (рис. 10.11) В этом генераторе обмотка возбуждения соединяется последовательно с обмоткой якоря. Такой генератор называют также сериесным. Напряжение между зажимами генератори определяется формулой

 $U = E - I_{_{R}}(R + R),$ где $R_{_{D}} = conротивление обмотки возбуждения.$

(10.13)

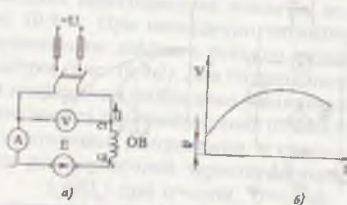


Рис. 10.11. Генератор последовательного возбуждения (сернесный генератор): а) схема соединений; б) внешняя характеристика.

Так как ток возбуждения равен току якоря, то свойства такого генератора определяются лишь внешней характеристикой, а остальные характеристики могут быть сняты только при включении генератора на независимое возбуждание. На рис. 10.11 б показана внешняя характеристика генератора. При небольших токах нагрузки магиитный поток и напряжение растут пропорционально току. При нагрузках близких к номинальной наступает насыщение сердечников полюсов. При дальнейшем увеличении тока нагрузки напряжение на выходе генератора уменьшается, так как основной магнитный поток почти не увеличивается из-за насыщения. Падение напряжения в обмотках якоря и возбуждения, а также разматничивающее действие реакции якоря продолжают увеличиваться. Поэтому внешняя характеристика становится падающей. Это ограничивает применение генераторов последовательного возбуждения.

Генератор смещанного возбуждения. В генераторах смешанного возбуждения магнитный поток создается параллельной и последовательной обмотками возбуждения (рис. 10.12), размещенных на полюсах. Обычно применяется согласное включение обмоток возбуждения, при котором их магнитные потоки складываются, что позволяет получить почти не изменяющееся напряжение генератора (рис. 10.12 б.1). Причиной этого является то, что с увеличением тока нагрузки растет магнитный поток последовательной обмотки возбуждения, ком-

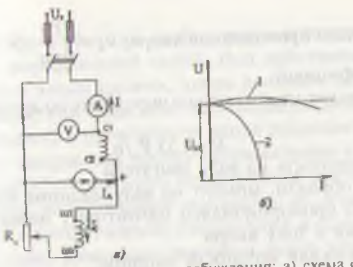


Рис. 10.12. Генератор смешанного возбуждения; а) схема соединений; 6) внешняя карактеристика.

пенсируя падение напряжения в цепи якоря и обмоток возбуждения, а также размагничивающее действие реакшин якоря. При встречном включении обмоток возбуждеши размагничивающее действие последовательной обмотки матывает резкое падение внешней характеристики (рис. 10.12, 6.2). Поэтому они применяются в сварочных генерагорах, в которых при больших изменениях напряжения в процессе сварки ток практически не должен изменяться.

10.8. Момент на валу машины постоянного тока

Согласно закону Ампера на проводник якоря действует сила:

$$F_{pp} = B_{pp} \cdot l \cdot I = \frac{\Phi \cdot 2p}{\pi \cdot d} \cdot l \cdot \frac{I\pi}{2a} = \frac{p\Phi}{\pi da} \cdot I_{s}, \quad (10.14)$$

гае d — диаметр якоря; l — длина якоря; Φ 2р — полный магнитный поток машины.

Момент, создаваемый каждым проводником:

$$M_{**} = F_{**} \cdot \frac{d}{2} = \frac{p\Phi}{2\pi a} \cdot I_{*}$$
 (10.15)

Полный момент машины:

$$M = M_{**} \cdot N = \frac{p\Phi \cdot N}{2\pi\alpha} \cdot I_{*} = c_{*} \cdot \Phi \cdot I_{*}, \quad (10.16)$$

где N — число проводников якоря; $c_{_{\rm M}} = \frac{{\rm P}}{2\pi a} \cdot {\rm N} - {\rm постоя}$ ный коэффициент.

На практике момент можно определить по другой формулс

$$M\approx 9.55 \text{ P},/n,$$
 (10.17)

где Р, - мощность на валу двигателя. Таким образом, момент на валу машины постоянного тока прямо пропорционален магнитному потоку обмотки возбуждения и току якоря.

Механическая мошность машины:

$$P_{ij} = F V_{ij}$$
 (10.18

где $V = \frac{\omega d}{2}$ — линейная скорость на поверхности якоря; ω угловая скорость якоря; F – сила, действующая на якорь. Значит

$$P_{M} = \frac{2M}{d} \cdot \omega \cdot \frac{d}{2} = M \cdot \omega \tag{10.19}$$

Если подставить в эту формулу выражение момента (формула 10.16), то получим

$$P_{M} = \frac{p}{2\pi \cdot a} \cdot N \cdot \Phi \cdot I \cdot \frac{2\pi \cdot n}{60} =$$

$$= \Phi \cdot N \frac{p \cdot n}{60a} \cdot I_{a} = E \cdot I_{a} = P_{2M}, \qquad (10.20)$$

где $E = \Phi N \frac{p-n}{60a} - э.д.с.$ якоря (формула 10.9). Рэм — электромагнитная мощность машины.

10.9. Двигатели постоянного тока

Напряжение постоянного тока от внешней сети подается как на обмотку якоря, так и на обмотку возбуждения. В проводниках якоря возникает ток. Обмотка возбуждения создает основное магнитное поле. Согласно закону Ампера вынитное поле обмотки возбуждения действует на провышки с определенной силой. Под действием момента, понавиемого этими силами, якорь начинает вращаться.

II соответствии с законом электромагнитной индукции нкон Фарадея) в проводниках якоря возникает э.д.с. Эта л с будет направлена против приложенного к двигателю вапряжения. С увеличением механической нагрузки увеличинается ток, потребляемый двигателем из сети. В резульвие унеличивается падение напряжения в обмотке якоря. і веловательно, уравнение двигателя имеет вид:

$$U=E+I_{\alpha}\cdot R_{\alpha}, \qquad (10.21)$$

ты U-напряжение, поданное на двигатель.

Тиким образом, напряжение, поданное на двигатель, рак колуется на преодоление э.д.с. обмотки якоря и на создаине пидения напряжения в ней. На холостом ходу когда $I_a = 0$ инприжение практически равно э.д.с. (U=E). С увеличением ы анической нагрузки скорость двигателя уменьшается, что в нет к уменьшению э.л.с. В результате увеличивается ток, потребляемый из сети. Таким образом, э.д.с. якоря регулирует мошность, потребляемую двигателем из сети.

Пуск двигателя постоянного тока. В первый момент пусы скорость двигателя n=0. Поэтому э.д.с. якоря E=0.

 $E=c \Phi \cdot n=0$.

Поэтому напряжение, поданное на двигатель, полноснью надает в обмотке якоря:

 $U=E+I_aR_a=I_aR_a$

Ток якоря будет очень большим и превышать номинипыный ток в

$$I_{-} = \frac{U}{R_{+}} = I_{wi}(15 + 20) \text{ pa}$$
 (10.23)

Поэтому при пуске двигателя последовательно с обмиткой якоря подключается пусковой реостат. Сопротивчение пускового реостата подбирается таким, чтобы пусвиной ток не превышал номинальный в

$$I_{\infty} = \frac{U}{R_{\infty} + R_{\infty}} = I_{\text{an}} (1,5 + 2,0) \text{ pas},$$
 (10.24)

где $I_{\rm gh}$ — пусковой ток двигателя; $R_{\rm h}$ — сопротивление пускового реостата; $I_{\rm h}$ — номинальный ток якоря.

С увеличением скорости двигателя э.д.с. Е увеличивает ся. Это дает возможность уменьшения сопротивления пускового реостата. В конце пуска реостат полностью отключается, и ток якоря будет равен:

$$I_* = \frac{U - E}{R_*} \tag{10.25}$$

Двигатели парадлельного и независимого возбуждения. В двигателе параллельного возбуждения обмотки якоря и возбуждения соединяются между собой парадлельно и они питаются от одного источника тока (рис. 10.13). В двигатели независимого возбуждения напряжение на обмотку якоря и обмотку возбуждения подается от разных источников питания. Значит, в этих двигателях токи обмоток возбуждения и якоря не зависят друг от друга.

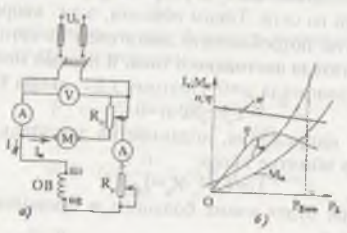


Рис. 10.13. Двигатель парадлельного возбуждения (шунтовой двигатель): а) схема соединений; б) рабочие характеристики.

Схема двигателя параллельного возбуждения показана на рис. 10.13, а. Обмотка якоря подключается к сети через пусковой реостат R_{II}. В начале пуска пусковой реостат включается на полное сопротивление. С увеличением скорости якоря увеличивается его э.д.с. Для дальнейшего увеличения скорости двигателя необходимо уменьшать сопротивление пускового реостата. Запуск двигателя заканчивается при полном отключении пускового реостата. Пусковой ре-

на исльзя длительное время оставлять под током, так он рассчитан на кратковременный режим работы.

Для быстрого уменьшения пускового тока надо быстро завичивать э.д.с. якоря. Поэтому двигатель запускается при заветимальном токе обмотки возбуждения. При этом магритный поток машины и э.д.с. якоря будут максимальный Кроме того, в момент пуска надо создать максимальный правиающий момент. Для этого также необходим макритный магнитный поток. Зависимость скорости враменный двигателя от момента называется механической (скоры пой) характеристикой при постоянных значениях наприжения U и тока возбуждения I.

n=f(M) при 1=const и U=const.

$$M=c_{M}l_{g}\Phi$$

инсюда

$$I_{\alpha} = \frac{M}{c_{M} \cdot \Phi}$$

Подставляя в уравнение двигателя (формула 10.21) выражения тока I_g и э.д.с. (формула 10.9), получим:

$$U = E + I_g \cdot R_s = c_s \Phi \cdot \Pi + \frac{M}{c_{ss} \cdot \Phi} \cdot R_s. \quad (10.26)$$

Ит этой формулы находим выражение скорости

$$c \cdot \Phi \cdot n = U - R \cdot \frac{M}{c \cdot \Phi}$$

$$n = \frac{U}{c_{\circ} \Phi} - M \frac{R_{\circ}}{c_{\circ} \cdot c_{\circ} \cdot \Phi} = n_{\circ} - \theta \cdot M,$$
 (10.27)

$$n_{\rm w} = \frac{U}{c_{\rm w} \Phi} - {\rm ckopocts}$$
 холостого хода двигателя;

Из формулы 10.27 видно, что механическая характери стика двигателя постоянного тока представляет собой прямую линию (рис 10.13 б).

С увеличением нагрузки скорость двигателя уменьшает ся не очень сильно и составляет (5+10)% от номинальной скорости. Такая механическая характеристика называетс жесткой. Зависимость скорости вращения п, КПД η, врашающего момента M, тока I, от полезной мощности P, при постоянных значениях напряжения U и тока возбуждения I называются рабочими характеристиками (рис. 10.13 б).

Двигатели параллельного возбуждения называются шунтовыми двигателями и поэтому концы обмотки возбуждения обозначаются буквами Ш1 и Ш2.

Двигатель носледовательного возбуждения (рис. 10.14). В этом двигателе обмотки возбуждения и якоря соединены между собой последовательно и, следовательно, ток возбуж-

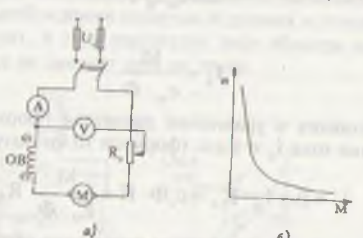


Рис. 10.14. Двигатель последовательного возбуждения (сериесный авигатель): а) схема соединений; б) механическая характеристика

дения равен току якоря. При небольших нагрузках (25+30)% магнитная система машины не насышена и поэтому магнитный поток машины будет пропорционален току, т.е. Ф=к І, где к - коэффициент пропорциональности. При этом вращающий момент будет пропорционален квадрату тока

$$M = c_{M} \cdot I \cdot \Phi = c_{M} \cdot I^{2}. \tag{10.28}$$

Поэтому эти двигатели в момент пуска могут создавать большой врашающий момент.

Скорость вращения двигателя обратно пропорциональна магнитному потоку

$$n = \frac{U}{c \Phi} - M \frac{(R_s + R_s)}{c \cdot c \cdot \Phi^2}$$
 (10.29)

R сопротивление обмотки возбуждения.

Следовательно, при малых токах или пуске без нагрузьн скорость двигателя может быть недопустимо большой, по может привести к механическому разрушению двиган и Поэтому недопустима работа двигателя на холостом толу или при нагрузке меньше 25% от номинальной. Также педопустимо применение ременной передачи, так как обрыв или сброс ремня ведет к «разносу» двигателя.

По этим причинам такие двигатели применяются в польемных устройствах, электротранспорте, так как из-за из большой массы ток холостого хода и магнитный поток

пулут большими. Благодаря большим пусковым моментам, у данных двиімпелей электрический транспорт в короткое время может

набрать большую скорость.

Из механической характеристики видно (рис. 10.14 б), что в авитателях последовательного возбуждения с увеличением на рузки скорость быстро падает. Это связано с тем, что пров зодит большое падение напряжения в обмотках якоря и в обуждения, что ограничивает применение этих двигателей. ни двигатели называют также сериесными и поэтому конны обмоток возбуждения обозначают буквами С1, С2.

Дингатели смешанного возбуждения. В этих двигателях имеется как параллельная, так и последовательная обмотви возбуждения (рис. 10.15 а). При согласном включении вымоток возбуждения общий магнитный поток машины с писнием нагрузки возрастает.

$$n = \frac{U}{c_{e}(\Phi_{w} + \Phi_{o})} - M \frac{(R_{x} + R_{o})}{c_{e}c_{u}(\Phi_{w} + \Phi_{c})}, (10.30)$$

магнитный поток параллельной обмотки возбуждеппп. Ф — магнитный поток последовательной обмотки воз-

Поэтому такой двигатель имеет более мягкую механив како характеристику по сравнению с двигателем паралпольного возбуждению и более жесткую по сравнению с

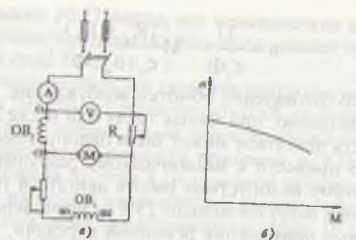


Рис. 10.15. Двигатель смещанного возбуждения: а) схема соединений. б) механическая характеристика.

двигателем последовательного возбуждения (рис. 10.15 б) В зависимости от назначения доля магнитного потока Ф может меняться в широких пределах.

Двигатели смешанного возбуждения применяются, когда требуется большой пусковой момент, быстрое ускорение при пуске и допустимы значительные изменения скорости при изменении нагрузки (компрессоры, насосы, ножницы).

При встречном включении обмоток возбуждения общий магнитный поток машины падает.

$$n = \frac{U}{c_e(\Phi_w - \Phi_c)} - M \frac{(R_e + R_e)}{c_e - c_w(\Phi_w - \Phi_e)}$$
(10.31)

Поэтому скорость двигателя с увеличением нагрузки может увеличиться, т.е. работа двигателя будет неустойчивой, из-за чего двигатели смешанного возбуждения с встречным включением обмоток возбуждения не применяются.

Регулирование скорости вращения двигателей постоянного тока. Исходя из формулы

$$n = \frac{U}{c_* + \Phi} - M \frac{R_*}{c_* \cdot c_* \cdot \Phi^2}$$

скорость вращения двигателей постоянного тока можно регулировать изменением магнитного потока обмотки возбуждения, сопротивления цепи якоря и напряжения.

Наиболее удобным, экономичным и распространенным способом является способ регулирования скорости п менением магнитного потока путем изменения тока воз-

В вления. Ток возбуждения составля-1 1-5% тока якоря и он может изменинься при помощи регулировочнопо реостата. С уменьшением тока возпужления магнитный поток уменьшаен и, а скорость увеличивается. При предусматривапо панбольший магнитный поток, и инчит-наименьшая скорость. Пониму можно только уменьшать магинный поток, увеличивая скорость вигра от поминальной.

В двигателях последовательного воз- лирования скорости вра-Г АЛСНИЯ ДЛЯ ИЗМЕНЕНИЯ ТОКА ВОЗБУЖ- пения двигателя послепин обмотка возбуждения шунтиру- довательного возбужаи с. нараллельно обмотке включа- ния шунтированием об-

ны в сопротивление (рис. 10.16). мотки возбуждения. Скорость вращения двигателя можип и именять включением в цепь якоря реостата, рассчитаннию на длительный режим работы. С увеличением сопронив ения цепи якоря скорость вращения двигателя уменьнистея. Этот способ дает возможность регулировать скорость вина от номинальной и связан со значительными потерями ытктроэпергии на реостате. Поэтому этот способ применяенля в основном для двигателей небольшой мощности.

Третий способ — путем изменения напряжения, подаваемого на двигатель. Так как напряжение сети не должно быть выше поминального напряжения двигателя, то этот способ также двет возможность регулировать скорость вниз от номинальной. ния способ применяется с номощью следующих систем:

1 (истема генератор -двигатель (Г-Д, рис. 10.17). Сисими состоит из асинхронного двигателя М1, генератора и пинятеля М2 постоянного тока. Асинхронный двигатель с пок токиной скоростью вращает генератор постоянного тока 1), инпряжение с которого подается на двигатель постоянниго тока М2. Скорость двигателя постоянного тока можно и выснять двумя путями:

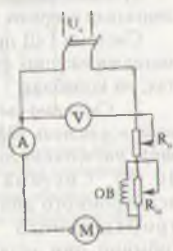


Рис. 10.16. Схема регу-

а) изменяя ток возбуждения генератора вниз от номинальной; для

б) изменяя ток возбуждения двигателя вверх от номинальной. Система Г-Д применяется на *

металлорежуших станках, в шах-

тах, на кораблях.

2. Система электромашинный усилитель ЭМУ - генератор постоянного тока (рис. 10.18). Система состоит из асинхронного двигателя, электромашинного усилителя (обычно они устанавливаются на одной оси и в одном корпусе) и двигателя постоянного тока. Электромашинный усилитель так же, как и генератор

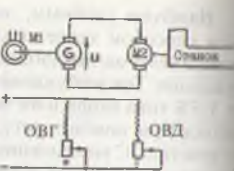


Рис. 10.17. Система Г-Д: М,-асинхронный лвигатель; G-генератор постоянного тока; М,-двигатель постоянного тока; ОВГ и ОВЛ-обмотки возбуждения генератора и двигателя.

постоянного тока является источником постоянного тока. Только обмотка возбуждения называется обмогкой управления и их может быть несколько. Даже если машина будет двухполюсной на ней устанавливаются две пары шеток. Две из из них короткозамкнуты.

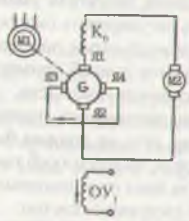


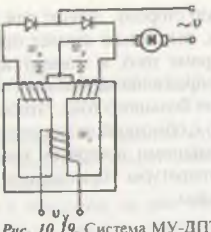
Рис. 10.18. Система ЭМУ-ДПТ: М,-асинхронный двигатель; М,-двигатель постоянного тока (ДПТ); G-электромашинсационная обмотка.

Асинхронный двигатель М1 с постоянной скоростью врашиет ЭМУ, напряжение с которого подается на двигатель постоянного тока М2. Изменяя токи обмоток управления, можно в широких пределах изменять напряжение ЭМУ, что приводит к изменению скорости вращения двигателя. Этот способ применяется на металлорежущих станках, кораблях и т.д.

3. Система магнитный усили ный усилитель (ЭМУ); ОУ-об- тель (МУ) — двигатель посто мотка управления; Ко-компен- янного тока (рис 10.19). Двига тель постоянного тока М вклю-

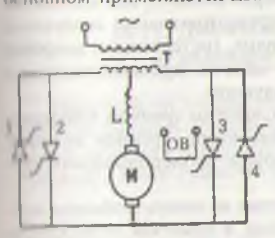
натом в цепь рабочей обмотки. При изменении тока в обмотке принисния ш, изменяется сопропиление и токи рабочей обмотви В результате изменяется скојин га вращения двигателя.

4. Система тиристорный превари пователь (ТП) — двигатель ин тиянного тока (рис. 10.20). Типисторный преобразователь - это Рис 10.19 Система МУ-ДПТ: принляемый выпрямитель. Измении напряжение на его выходе, ш-рабочая обмотка; М-двиножно изменять скорость вращения двигателя постоянного тока.



ш -обмотка управления; гатель постоянного тока.

Горможение двигателей постоянного тока. Для этого в и поином применяются два способа:



Pwi 10.20. Система ТП-ДПТ (тиристорный преобразователь-двиформатор; 1,2,3,4-тиристоры; М линатель постоянного тока.

1. Динамическое торможение - при этом обмотка якоря отключается от сети и подключается на сопротивление. Якорь по инерции продолжает вращаться. В якоре и сопротивлении возникает ток. Согласно закону Ампера возникают силы, направленные против направления вращения якоря. Якорь при этом быстро останавливается сам. Чем патель постоянного тока): Т-транс- меньше сопротивление, тем больше ток и тем быстрее останавливается двигатель. Этот способ широко применяется,

ник для торможения необходимо только сопротивлеине и двигатель останавливается сам.

2 Торможение противовключением - для этого изменики направление тока в обмотке якоря. При этом электримагнитные силы также изменят свое направление и за пчинь короткое время скорость якоря станет равной нулю. В пот момент двигатель необходимо отключить от сети. В противном случае от станет вращаться в противополож-

ную сторону. Значит для этого способа необходима аппарату ра, выдающая сигнал при скорости якоря, близкой к нулкт Кроме того, в момент торможения э.д.с. якоря и ток булуг направлены одинаково, что является причиной возникном ния большого тока. Чтобы уменьшить этот ток последовательно с обмоткой якоря соединяют сопротивление. Все связано с большими потерями электрической энергии и усложнением аппаратуры торможения. Поэтому этот способ применяется редко

10.10. Потери электроэнергии и КПД

При работе любой электрической машины совершают ся потери электрической энергии. Эти потери совершают ся в сердечниках электрической машины, при трении, я проводах обмоток. Потери в сердечниках Р или магнитные потери возникают за счет перемагничивания сердечника якоря и полюсных наконечников, гистерезиса и вихревых токов. Эти потери зависят от частоты перемагничивания и максимальной магнитной индукции.

Механические потери обусловлены трением в подшип никах, трением шеток по коллектору, трением вращако шихся частей в воздухе. Эти потери пропорциональны ско рости вращения.

Электрические потери состоят из потерь в обмотке яко ря, в контакте шетки-коллектор, в обмотках возбуждении и добавочных полюсов.

$$P_{1} = I_{1}^{2} R_{1} + P_{11} + I_{2}^{2} R_{000} + I_{3}^{2} R_{1} + U R_{1}$$
 (10.3)

 $P_{_{s}} = I_{_{s}}^{*} \cdot R_{_{s}} + P_{_{us}} + I_{_{s}}^{*} \cdot R_{_{oof}} + I_{_{s}}^{*} \cdot R_{_{s}} + U_{_{s}} R_{_{s}}$. (10.32) Потери в щеточных контактах $P_{_{us}} = \Delta U_{_{us}} I_{_{s}}$ определяются падением напряжения в контакте щетка—коллектор, кого рый принят для графитовых щеток 2 В, для металло-гра фитовых щеток 0,6 В.

За счет реакции якоря и коммутации в обмотке якори с сердечниках возникают добавочные потери P_{ao6} . Эти по тери составляют (0,01+0,005) U. I. КПД для генератора

$$\eta_{s} = \frac{P_{s}}{P_{l}} = \frac{U \cdot I}{U \cdot I + (P_{s} + P_{uex} + P_{s} + P_{sob})} \cdot 100\%; (10.33)$$

ин электродвигателя

$$\eta_{\rm s} = \frac{P_{\rm s}}{P_{\rm t}} = \frac{U \cdot 1 + (P_{\rm c} + P_{\rm nex} + P_{\rm s} + P_{\rm sob})}{U \cdot 1} \cdot 100\%. \quad (10.34)$$

рие P_1 — полезная мощность машины; P_1 — полная мощность машины; U — напряжение между зажимами машины, 1 - ток, проходящий через машину

Зависимость КПД от нагрузки показана на рис 10.13. При малых нагрузках КПД небольшой, так как потери хопостого хода относительно Р, будут большими. С ростом ингрузки КПД также растет, так как потери холостого хода постоянны и практически на зависят от нагрузки. Вообще КПД составляет 70−93%. При этом большие цифры относится к мошным машинам.

10.11. Двигатели постоянного тока с цилиндрическим якорем

По устройству эти двигатели похожи на двухфазный асинаринный двигатель с полым немагнитным ротором (рис. 10.21). Между внешним и внутренним статором располагается поный якорь в виде стаканчика из пластмассы, на котором раз-

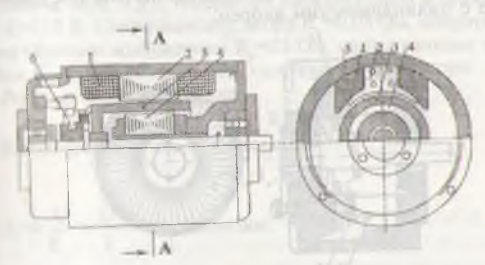


Рис. 10.21. Двигатель постоянного тока с цилиндрическим якорем: 1нолинка возбуждения; 2-полюса; 3-полый якорь; 4-внутренний статор; 5-станина; 6-коллектор.

мешается якорная обмотка, соединенная с коллектором. И готовляется также печатный якорь из медной фольги.

Эти двигатели облают следующими достоинствами.

1. Из-за отсутствия сердечника индуктивное сопротив ление якоря маленькое. Из-за малой массы якоря момент инерции будет небольшим. Поэтому двигатель может вра шаться с большой скоростью.

2. Отсутствие сердечников, применение постоянных магнитов вместо обмоток возбуждения является причиной

малых электрических потерь большого КПД.

3. Из-за небольшой индуктивности обмотки якоря улуч пается процесс коммутации, который проходит почти бет искрения.

10.12. Двигатель постоянного тока с дисковым якорем

Устройство двигателя показано на рис. 10.22. Межлу полюсными наконсчниками и кольцевыми магнигопроводами располагается цилиндрический якорь. Роль обмотки возбуждения выполняют постоянные магниты. Если якорь выполнен с печатной обмоткой, то коллектор не нужен, так как щетки сами скользят по проводникам якоря. Этог двигатель обладает достоинствами двигателя постоянного тока с цилиндрическим якорем.

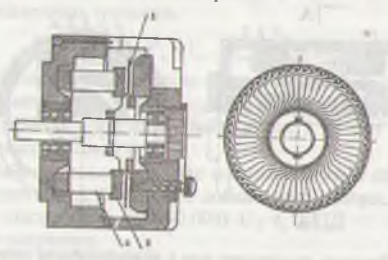


Рис. 10.22. Двигатель постоянного тока с дисковым якорем: 1-диск; 2-постоянный магнит; 3-наконечники полюсов.

Задачи

Задача 10.1. Скорость вращения двигателя постоянного нока n=1000 об/мин, магнитный поток Ф=2,0 10 2 B6, попоянный коэффициент с =10. Определить э.д.с. якоря.

Решение: 1) Э.д.с. якоря равна:

$$E=c_{e}\Phi n=10\cdot2,0\cdot10^{-2} \cdot 1000=200B$$

Задача 10.2. Магнитная индукция машины постояннопо тока В=1,0 Тл, длина якоря I=0,25 м, полюсное деление т=0,1 м. Определить магнитный поток машины.

Решение: в соответствии с формулой 10.3

$$\Phi = B \tau l = 1,0 \cdot 0,1 \cdot 0,25 = 0,025 B6.$$

Задача 10.3. Магнитный поток машины постоянного тока Ф=5 10 2 Вб. число пар полюсов p=2, скорость врашения n=1000 об/мин, число пар параллельных ветвей a=2, число активных проводников якоря N=120. Определить э.д.с.

Решение: в соответствии с формулой 10.9.

E =
$$\frac{\rho \cdot N}{60a} \Phi \cdot n = \frac{2 \cdot 120}{60 \cdot 2} \cdot 5 \cdot 10^{-2} \cdot 1000 = 100 B.$$

Задача 10.4. Э.д.с. генератора параллельного возбуждения E=118 В. Сопротивление якоря $R_s=0.05$ Ом, сопротивисние обмотки возбуждения R_μ =25 Ом, сопротивление нагрузки R = 2 Ома. Определить напряжение генератора.

Решение: Э.д.с. генератора

$$E=U+I_g\cdot R_g$$

В этой формуле ток $\mathbf{I}_{\mathbf{g}}$ неизвестен

гле
$$1_{\infty} = \frac{U}{R_{\infty}} = \frac{U}{2}$$
 —ток нагрузки;

гле
$$1_* = \frac{U}{R_*} = \frac{U}{2}$$
 —ток нагрузки; $1_* = \frac{U}{R_*} = \frac{U}{25}$ — ток возбуждения.

$$E = U + \left(\frac{U}{R_n} + \frac{U}{R_o}\right) \cdot R_o = U + 0.05 \left(\frac{U}{25} + \frac{U}{2}\right)$$

118 = U +
$$\frac{(2+25)}{1000}$$
 · U; U = $\frac{118000}{1027}$ = 114,9 B

Задача 10.5. Э.д.с. генератора параллельного возбужле ния Е=240 В, номинальный ток I =108 А, ток возбуждения [=2A. Определить электромагнитную мошность.

Решение: 1) ток якоря равен

 $I_{g} = I_{g} - I_{g} = 108 - 2 = 106 \text{ A};$ 2) электромагнитная мощность

Задача 10.6. На двигатель параглельного возбуждения подано напряжения U=220 В. Пусковой ток без пускового реостата I =275 А, э.д.с. якоря Е=210 В. Определить ток двигателя

Решение: 1) в момент пуска Е=0. Исходя из этого находим сопротивление якоря

U=E-I_n R_n=I_n R_n;
R_n =
$$\frac{U}{I_n} = \frac{220}{275} = 0.8 \text{ OM};$$

2) ток двигателя раве

$$1 = \frac{U - E}{R_{\text{M}}} = \frac{220 - 210}{0.8} = 12.5 \text{ A}$$

Задача 10.7. Ток якоря двигателя последовательного волбуждения I_n =18 A. сопротивление якоря R_n =0,3 Ом. сопротивление обмотки возбуждения R =0,2 Ом. Определить переменные потери.

Решение: 1. полнос сопротивление обмоток двигателя $R=R_{_{\rm H}}+R=0.3+0.2=0.5$ OM;

2) переменные потери равны:

$$\Delta P = 1$$
: $R = 18^{\circ} \cdot 0.5 = 162 \ Bm$.

Задача 10.8. Двухполюсный двигатель параллельного возбуждения подключен в сеть U=220 В. Ток, потребляемый пингателем I_1 =62 A, сопротивление обмотки возбуждения R 110 Ом, сопротивление якоря R₃=0,15 Ом, магнитный поток Ф=0,02 Вб, количество проводников якоря N=420, число параллельных вствей a=1. Определить э.д.с. якоря, скорость вращения двигателя, номинальный вращающий момент, КПД, сопротивление пускового реостата при $1_n=3$ 1, величину пускового тока при отсутствии пускового реостита.

Решение: 1) ток возбуждения

$$I_n = \frac{U}{R_n} = \frac{220}{110} = 2A;$$

2) ток якоря $I_s = I_1 - I_s = 62 - 2 = 60$ A; 3) э.д.с. якоря $E = U - I_n$ $R_n = 220 - 60$ 0,15=211 B; 4) вращающий момент двигателя

$$M = c_{*} \cdot \Phi \cdot I_{*} = \frac{\rho \cdot N}{2\pi a} \cdot \Phi \cdot I_{*} = \frac{1 \cdot 420}{2 \cdot 3.14 \cdot 1} \cdot 0.02 \cdot 60 = 80 \,\text{H} \cdot \text{M} \,,$$

іле р=1 т.к. двигатель двухполюсный;

5) скорость вращения двигателя

E = c_s · Φ · n, οπεωθα n =
$$\frac{E}{c_s \Phi} = \frac{E}{\rho N} = \frac{E}{60a} = \frac{E}{60a}$$

$$=\frac{211}{\frac{1.420}{60.1}\cdot 0.02}=1507 \text{ o6/mun;}$$

6) номинальная мощность

$$M_H = 9,55 \cdot \frac{P_u}{n_u}$$
; $P_u = \frac{M_u \cdot n_u}{9,55} = \frac{80 \cdot 1507}{9,55} = 12624$ Br:

- 7) мощность, потребляемая двигателем P=U-I=220-62=13640 Вт;
- 8) КПД при номинальной нагрузке

$$\eta = \frac{P_{\pm}}{P_{+}} = \frac{12264}{13640} = 0.925;$$

9) так как в момент пуска E=0, то $U=E+I_a(R_a+R_a)=I_a(R_a+R_a)$, где R_a — сопротивление пускового реосгата. Так как пусковой ток $I_a=3\cdot I_a$, то

$$3 \cdot I_n = \frac{U}{R_s + R_n}$$
, отсюда $R_n = \frac{U}{3 \cdot In} - R_n = \frac{220}{3 \cdot 62} - 0.15 = 1.05 \, Om$.

10) пусковой ток без пускового реостата равен

$$I = \frac{U}{R_b} = \frac{220}{0.15} = 1466 \text{ A}.$$

Задача 10.9. Двигатель последовательного возбуждения подключен в сеть U=220 В. Скорость врашения якоря 1500 об/мин, ток I_n =44 А, врашающий момент M=55 H М. Общее сопротивление обмоток якоря и возбуждения R=0,4 Ом Определить электромагнитную, полезную и потребляемую мощности, электрические потери в обмотках, магнитные и механические потери, КПД при номинальной нагрузке.

Решение: 1) э.д.с. якоря

2) электромагнитная мощность

$$P_{x} = E_{x} I = 202,4.44 = 8905,6 B_{T};$$

3) полезная мощность

$$P_1 = \frac{M \cdot n}{9,55} = \frac{55 \cdot 1500}{9,55} = 8638,6 \ Bm;$$

- мощность, потребляемая при номинальной нагрузке P_i=U_i·I_i=220-44=9680 Br;
- механические и магнитные потери ∆P_{six}+P_{si}=P_{si}-P₂=8905,6-8638,6=267 Вт;
- 7) КПД при номинальной нагрузке

$$\eta = \frac{P_{_T}}{P_{_I}} = \frac{8638.6}{9680} = 0.892.$$

TJIABA 11

ЭЛЕКТРИЧЕСКИЕ И МАГНИТНЫЕ ЭЛЕМЕНТЫ АВТОМАТИКИ

11.1. Системы автоматики

Человечество всегда стремится механизировать и автоматизировать свой труд. При механизации человек освобождается от тяжелого и изнуряющего, порой опасного труда, сохраняя за собой функции управления. При автоматизации производственных процессов функции управления и контроля выполняют устройства автоматики. Человек при этом участвует в предварительной настройке, регулировании и периодическом управлении автоматическими устройствами. Наука, изучающая средства и способы, освобождающие человека от непосредственного управления мащинами и механизмами, называется автоматикой

Автоматика состоит из следующих систем (рис. 11.1):

1. Системы автоматического контроля - они применяются для автоматического контроля различных процессов и параметров. Например, вести контроль ведичин тока на пряжения, давления и т.д. и выдавать сигнал при превышении их значений сверх допустимых значений. На рис. 11.1а показана функциональная схема системы автоматического контроля. Датчик измеряет параметр объекта и преобразует его в электрический сигнал. Усилитель усиливает этот сигнал и подаёт на исполнительный элемент. Исполнительный элемент может показать, записать величину контролируемого параметра, давать сигнализацию и производить отбор согласно этому параметру.

2. Системы автоматического управляения — в этих системах управляющий сигнал на управляемый элемент подаётся от руки или в автоматическом порядке (рис. 11.1, б). От управляющего элемента управляющий сигнал подаётся

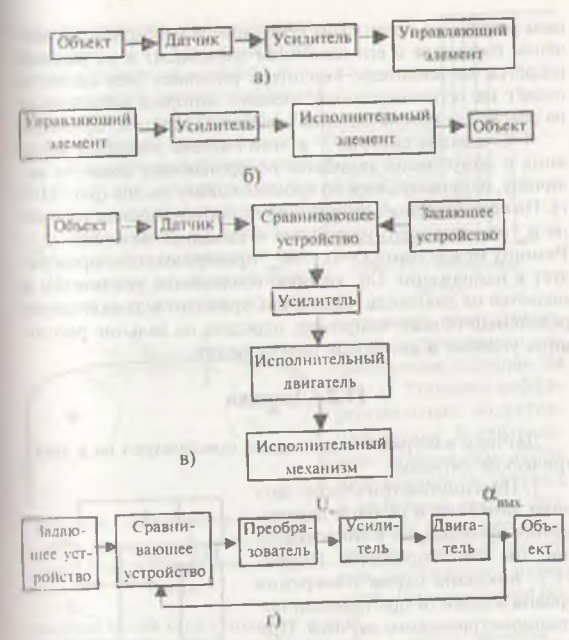


Рис. 11.1. Функциональные схемы систем автоматики: а) автоматическая система контроля; б) автоматическая система управления; в) автоматическая система регулирования; г) следящая система.

ни усилитель, который усиливает этот сигнал и подаёт на исполнительный элемент. Исполнительный элемент на объекте выполняет необходимую работу. Например, работа стинков с программным управлением задаётся при помоши программ, записанных на магнитных лентах, дисках.

 Системы автоматического регулирования – в этих системих автоматически поддерживается заданное значение паряметра (рис. 11. 1, в). Сигналы от задающего элемента и от штчика подаются на сравнивающий элемент. На сравниваюшем устройстве происходит сравнивание необходимого значения параметра с его истинным значением, и их разнина подаётся на усилитель. Усилитель усиливает этот сигнал и подаёт на исполнительный элемент, который воздействует на объект для восстановления заданного значения параметря

4. Следящая система — в этой системе выходная величина с допустимой ошибкой воспроизводит входную величину, изменяющуюся по произвольному закону (рис. 11.1, г). На сравнивающее устройство подаются входная величина $\alpha_{\rm m}$ от задающего устройства и выходная величина $\alpha_{\rm surv}$ ними $Q = \alpha_{\rm m} - \alpha_{\rm surv}$ преобразователь преобразует в напряжение Uo, которое усиливается усилителем и подаётся на двигатель. Двигатель приводит в движение управляемый объект: например, передача на дальние расстояния угловых и линейных перемещений.

11.2. Датчики

Датчики измеряют параметры и преобразуют их в электрические сигналы.

1. Потенциометрические датчики линейные и угловые перемешения преобразуют в сопротивление, ток или напряжение. На рис. 11.2. показана схема измерения уровня жидкости при помощи потенциометрического датчика. При изменении уровня жидкости движется движок потенциометра и в результате изменяется выходное напряжение U₂.

2. Ёмкостные датчики. В соот- рис. 11.2. Потенциометриветствии с формулой ческий датчик: 1-пробла;

$$C = \varepsilon \frac{S}{d}$$
 (11.1)

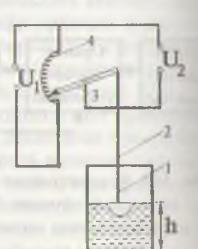


Рис. 11.2. Потенциометрический датчик: 1-пробка; 2-рычаг; 3-подвижный контакт; 4-потенциометр.

определения ёмкости конденсатора ёмкостные датчики можно выполнить, изменяя площадь обкладок S, расстояние между ними, диэлектрическую проницаемость. Например, ёмкостные датчики применяются для измерения уров

ня жидкостей (рис. 11.3), толщины ленты (рис. 11.4). При изменении уровня жидкости и толщины ленты изменяется диэлектрическая проницаемость, что приводит к изменению тока во внешней цепи.

3. Индуктивные датчики применяются для измерения силы, давления, различных перемещений. Они состоят из неподвижной катушки и подвижного якоря. Изменение положения якоря приводит к изменению воздуш-



Рис. 11.4. Схема измерения тольшины ленты при помощи емкостного датчика: 1-лента; 2-неподвижные электроды.

пожения якоря индуктивность одной катушки увеличивается, а другой уменьшается. Равенство токов нарушется и на выходе появляется напряжение, величина которого пропорциональна величине перемещения якоря.

4. Тензометрические датчики трис. 11.6) применяются для измерения деформации различных деталей. Затчик выполняется из тонкой, диметром 0,02-0,04 мм проволоки. Проволока в форме зигзага приклепмется между двумя листами бумаги

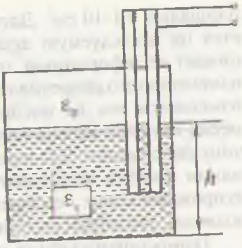


Рис. 11.3. Ёмкостный датчик.

ного зазора, индуктивности и индуктивного сопротивления катушки. На рис. 11.5 показан дифференциальный индуктивный датчик. В нейтральном положении якоря индуктивности катушек и величины токов, проходящих через них, одинаковы. Поэтому выходное напряжение равно нулю. При изменении по-

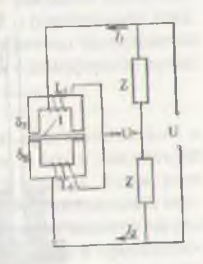


Рис. 11.5. Индуктивный датчик.

площалью 0,1-10 см³. Датчик наклеивается на исследуемую деталь и воспринимает сё деформацию, что приводит к изменснию его сопротивления. При этом изменяется ток во внешней цепи, измеряя который можно определить величину деформации. Для измерения деформации широко применяются также полупроводниковые тензорезисторы, тензодиоды, тензотранзисторы.

Термосопротивления изготовляются из тонкой медной или платиновой проволоки и применяются для измерения температуры. При изменении темпера-

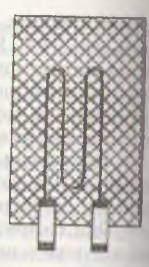


Рис. 11.6. Тензоментрический датчик

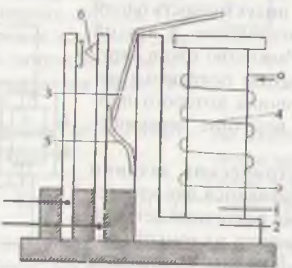
туры окружающей среды изменяется их сопротивление, измеряя которое можно определить температуру.

11.3. Реле

1. Нейтральное электромагнитное реле

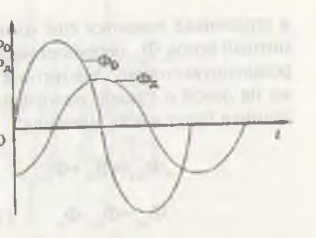
Одним из самых распространенных устройств в автоматике является реле. При подаче на реле входного сигнали выходной сигнал изменяется скачком.

На рис. 11.7. показано устройство нейтрального электромагнитного реле. Магнитная система состоит из сердечника, ярма и якоря. При прохождении тока через обмогку



Рыс. 11.7. Неягрельное электроматнитное реле: 1-сердечина. 2-ярмо; 3-якорь; 4-обмотка; 5-пружина; 6-контакт.

под действием которого обраниться их замы- обраниться их замы- обраниться их замы- обраниться или размыкаться. Контакты управляют размичными электрическими устройствами. Для уменьшения вихревых токов магнитыих система реле переменного тока выполняется из



Puc. 11.8. Графики основного и демпферного магнитных потоков.

тонких листов электротехнической стали. Переменный ток в секунлу сто раз меняет своё направление. Поэтому якорь сто раз в секунду стремится оторваться и вновь притянуться к сердечнику. В результате возникает шум. Для устранения шума сердечник по всему сечению или части его замыкается так называемым демпферным витком. Магнитный поток сердечника, пересекая этот виток, создаёт в нём ток. Магнитный поток Ф этого тока и основной магнитный поток Ф имеют рв гичные начальные фазы (рис. [1.8.). В момент прохождения основного потока Ф через ноль магнитный поток демпферного потока Ф через ноль магнитный поток демпферного витка Ф не будет равен нулю и будет держать якорь в притянутом состоянии.

Устройство и принцип работы нейтрального магнитнопо реле постоянного тока такое же, как и переменного тока. Отличием является то, что магнитная система выполняется птеплошной стали и нет необходимости в демпферном витке.

2. Поляризованное реле

Обычное электромагнитное реле нечувствительно к инправлению постоянного тока. Для этого в магнитную систему реле добавляется постоянный магнит. Такое реле инпывается поляризованным (рис. 11.9.). Постоянный магнит создаёт основной поток Φ_0 . Этот поток делится на два пинаковых потока Φ_0 1 и Φ_0 2, направленных в противопоминые стороны. Поэтому при отсутствии управляющего сигнала якорь будет расположен в середине воздушного промежутка. При подаче на обмотку управляющего сигнала

в сердечнике появится ещё один магнитный поток Φ_{γ} , направленный в определенную сторону. Магнитные потоки на левой и правой половинах сердечника будуг имсть значения:

$$\Phi = \Phi_{n} + \Phi$$

$$\Phi_{np} = \Phi_{n} - \Phi \qquad (11.2)$$

Так как магнитный поток на левой стороне сердечника будет сильнее, то якорь отклонится влево и замкнётся с левым контактом. Если изменить полярность управляющего сигнала, то якорь отклонится вправо и замкнётся с правым контактом.



Рис. 11.9. Поляризован ное реле: 1-обмотка; 2-полюса; 3-якорь; 4-подвижной контакт

3. Реле времени

У реле времени контакты замыкаются (размыкаются) с известным по времени запаздыванием. Известны следуюшие типы реле времени:

1. Электромагнитное реле времени - в нем время зназдывания создаётся часовым механизмом;

 Электропневматическое реле времени- в нем западывания создаётся пропусканием воздуха из цилиндра через отверстис, изменяя диаметр которого можно изменять время запаздывания;

 Электромашинное реле времени - в нем время запаздывания пропорционально числу оборотов двигателя;

Электронное реле времени - в нем время запаздывания пропорционально времени заряда и разряда конденсаторы

4. Магнитоуправляемые контакты (герконы)

На рис. 11.10 показаны устройства герконов. В стеклянную ампулу запаяны пластины из магнитного материала с высокой магнитной проницасмостью. Для получения хорошего контакта на концы пластин нанесены покрыгия из материала с высокой электропроводностью. Для предохран

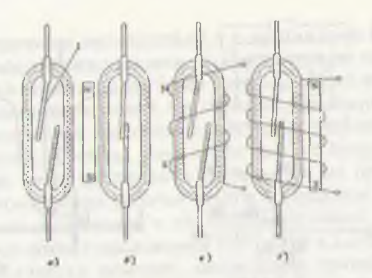


Рис. 11.10. Герконы.

нения контактов от окисления из ампулы выкачивается воздух и заполняется инертным газом. При поднесении к ампуле постоянного магнита пластины сближаются и контакты замыкаются (размыкаются) (рис. 11.10. a, б).

Вместо постоянного магнита можно использовать обмотку, намотанную поверх ампулы. При подаче тока на обмотку возникает магнитное поле, которое сближает пластины и замыкает контакты (рис. 11.10 в).

На рис. 11.10 г показано реле с обмоткой и постоянным магнитом. При отсутствии управляющего сигнала постоянный магнит замыкает контакты. При подаче управляющего сигнала возникающее магнитное поле размыкает контакты, так как магнитное поле постоянного магнита и обмотки направлены противоположно друг другу.

11.4. Магнитные усилители

Магнитные усилители устойчивы к вибрациям и механическим воздействиям и обладают большой мощностью. Они просты по устройству, надёжны в эксплуатации и недороги. Они бывают дроссельные и трансформаторные.

1. Простейший дроссельный магнитный усилитель (рис. 11.11) состоит из рабочей обмотки и обмотки управления. На рабочую обмотку через нагрузку подаётся переменный ток от сети. Обмотка управления питается постоянным током. Следовательно, в магнитных усилителях напряжённость магнитного поля создаётся токами рабочей обмотки и об-

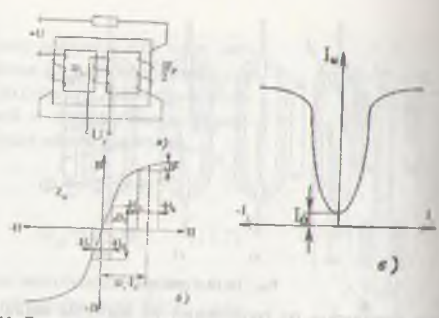


Рис. 11.11. Дроссельный магнитный усилитель: а) схема; б) кривая намагничивания сердечника; в) рабочая характеристика.

мотки управления. Ток нагрузки рабочей обмотки выполняет роль дроссельной заслонки. На рис. 11.11 б показани кривая намагничивания сердечника.

Известно, что намагничивающая сила:

 $F=I^*\omega=Hl,$

где F- намагничивающая сила; w- число витков обмотки; l- длина магнитных силовых линий

Число витков и длина магнитных силовых линий не меняется. Поэтому напряжённость магнитного поля пропорциональна току. При отсутствии тока в обмотке управ ления и изменении тока рабочей обмотки от -1_{1P} до $+1_{1P}$ напряжённость магнитного поля изменяется от - Н до + Н, а магнитная индукция изменяется на величину ΔB_i При прохождении тока І через обмотку управления напряжённость магнитного поля будет равна $l_b^*w_\mu(w_\mu$ - число витков обмотки управления). Если при этом ток рабочей обмотки изменить на такие же величины, то напряжённость магнитного поля изменится от +Н, до +Н,, а магнитная индукция изменится на величину ΔB^1 . Следовательно, в первом случае изменение магнитной индукции будет намного больше, чем во втором. Соответственно и э.д.с. самоиндукнии в рабочей обмотке в первом случае будет больше, чем во втором. Известно, что э.д.с. самоиндукции направлени

против причины, вызвавшей её, т.е. против тока. Если синусондальное напряжение сети не изменяется, то ток рабочей обмотки в первом случае будет меньше, чем во втором.

Изменяя постоянный ток обмотки управления, т.е. изменяя магнитное состояние сердечника, можно изменить ток рабочей обмотки. Пока сердечник не будет насыщен основная часть напряжения расходуется на преодоление э.д.с самоиндукции рабочей обмотки. При этом на нагрузке падение напряжения и ток будет маленьким. При переходе сердечника в насыщенное состояние э.д.с. самоиндукции практически исчезнет, напряжение полностью будет падать на нагрузке, и ток рабочей обмотки увеличится.

На рис. 11.11в показана рабочая характеристика — зависимость тока рабочей обмотки (тока нагрузки) $1_{\rm H}$ от тока обмотки управления $1_{\rm y}$ На рисунке видно, что с увеличением тока обмотки управления увеличивается ток рабочей обмотки. При этом изменение небольшого тока обмотки управления приводит к изменению большого тока рабочей обмотки. Следовательно, устройство работает как усилитель.

Принцип работы магнитного усилителя можно пояснить и по - другому. При переходе сердечника в насыщенное состояние абсолютная магнитная проницаемость сердечника уменьшается, это приводит к уменьшению индуктивности и индуктивного сопротивления рабочей обмотки:

$$L_{p} = \mu_{n} \frac{w^{2}_{p} S}{I (11.4)}$$

$$X_{rp} = 2\pi \cdot f \cdot L_{p}, \qquad (11.5)$$

тде ω_{p^-} число витков рабочей обмотки; S- сечение сердечника; 1- длина магнитных силовых линий; L_{p^-} индуктивность рабочей обмотки; X_{1p^-} индуктивное сопротивление рабочей обмотки.

При уменьшении индуктивного сопротивления увеличивается ток рабочей обмотки. Значит, насышая сердечник изменениями небольшого постоянного тока обмотки управления, можно производить изменения большого тока рабочей обмотки. 2. Трансформаторный магнитный усилитель (рис. 11.12) Синусоидальное напряжение подаётся на обмотку w_1 , обмотка w_2 соединяется с нагрузкой Z_H . В ненасыщенном состоянии сердечника ток обмотки w_1 изменяет магнитный поток сердечника в больших пределах. Этот поток создаёт в

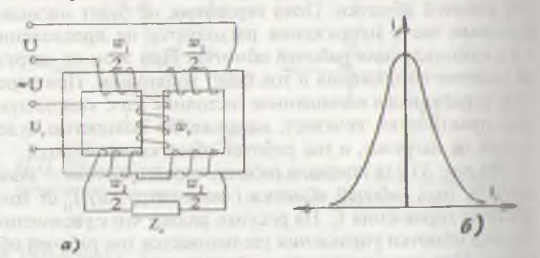


Рис. 11.12. Трансформаторный магнитный усилитель а) схема; б) рабочая характеристика.

обмотке w_1 э.д.с., создающая ток на нагрузке Z_{u} . Насколько будут большими изменения магнитного потока, настолько будут большими эдс в обмотке w_2 Увеличивая ток в обмотке управления w_y , можно насытить сердечник. В результате э.д.с. обмотки w_2 и ток нагрузки уменьшаются. Следовательно, с увеличением тока I_y обмотки управления ток нагрузки уменьшается. Рабочая характеристика - зависимость тока нагрузки от тока обмотки управления показана на рис. 11.126. Сравнивая рабочие характеристики дроссельного и трансформаторного магнитного усилителей, можно сделать вывод, что они являются зеркальными отображениями друг друга. Причиной этого является то, что э.д.с., возбуждаемая в цепи нагрузки в дроссельном магнитном усилителе, выполняет роль заслонки, а в трансформаторном магнитном усилителе — роль источника энергии для нагрузки.

11.5. Ферромагнитный стабилизатор напряжения

В стабилизаторах напряжения используются линейные и нелинейные элементы. В линейных элементах зависимость между током и напряжением имеет линейный характер. В

нелинейных элементах зависимость между током и напряжением имеет нелинейный характер. Например, активное сопротивление, конденсатор, ненасыщенный магнитный сердечник — это линейные элементы, а катушка с насыщенным сердечником — это нелинейный элемент.

Рассмотрим кривую зависимости между током и напряжением катушки с ферромагнитным сердечником (рис. 11.13а, б). В ненасышенном состоянии сердечника (участок ОА рис. 11.136) с ростом тока пропортионально ему растёт напряжение. С насышением сердечника с ростом тока рост напряжения (после точки В) замедляется. Этим свойством ферромагнитного сердечника пользуются в ферромагнитных стабилизаторах напряжения.

На рис. 11.13в показана упрошённая схема феррорезонансного стабилизатора напряжения. В качестве линейного лемента в этой схеме использован конденсатор. Напряжения $U_{\rm C}$ конденсатора и катушки $U_{\rm L} = U_{\rm BMX}$ сдвинуты между собой почти на 180° Поэтому входное напряжение $U_{\rm BX} = U_{\rm C}$. При этом не учтены активные сопротивления конденсатора и катушки, а также высшие гармонически состав-

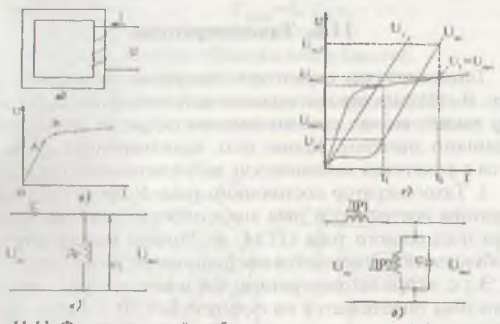


Рис. 11.13. Ферромагнитный стабилизатор напряжения: а) ферромагшитный сердечник с катушкой; б) зависимость между током и шпряжением катушки с ферромагнитным сердечником; в) схема простого ферромагнитного стабилизатора напряжения; г) графики, поясияющие принцип работы стабилизатора; д) схема стабилизатора напряжения с ферромагнитным контуром.

19 - 252

ляющие напряжений и токов. На рис. 11.13г показаны графики напряжений U_t и U_c По формуле $U_{\rm BX} = U_c - U_t$ начертим график входного напряжения Uвх Для этого находим несколько точек, соответствующих разницам ординат U и U, при одинаковых токах. Теперь по графикам находим значения входного и выходного напряжений, соответствующих токам I_1 и I_2 . Току I_1 на входе соответствует напряжение U_{BXI} , а на выходе U_{выхі}. Току I, на входе соответствует напряжение $U_{\rm BX2}$, а на выходе $U_{\rm BMX}$. Разница входных напряжений $\Delta U_{\rm BX} = U_{\rm BX2} - U_{\rm BX1}$ намного больше разницы выходных напряжений $\Delta U_{\rm BMX} = U_{\rm BMX2} - U_{\rm BMX1}$. Следовательно, при больших изменениях входного напряжения выходное напряжение изменяется очень мало, т.е. схема работает в качестве стабилизатора напряжения. Для повышения уровня стабилизации, увеличения клд, снятия высокочастотных колебаний применяются более сложные схемы. Одна из таких схем показана на рис. 11.3, д. В этой схеме в качестве линейного элемента использован дроссель Др, с ненасыщенным сердечником, а в качестве нелинейного элемента - резонансный контур L,С. Др, - это катушка с насыщенным сердечником.

11.6. Тахогенераторы

Тахогенераторы служат для измерения скорости вращения. В системах автоматического регулирования тахогенератор выдаёт сигнал при отклонении скорости вращения от заданного значения. Кроме того, тахогенераторы применяются в различных механических вычислительных операциях.

1. Тахогенератор постоянного тока. Устройство тахогенератора постоянного тока аналогично устройству генератора постоянного тока (11.14, а). Иногда вместо обмоток возбуждений применяются постоянные магниты (рис. 11.14, б). Э.д.с. якоря тахогенератора, как и в генераторе постоянного тока определяется по формуле Е=с, Ф п. Если тахогенератор не нагружен и магнитный поток Ф не изменяется, то зависимость между э.д.с. и скоростью линейна. Такая зависимость называется идеальной выходной характеристикой (рис. 11.14, в). В нагруженном тахогенераторе из-за реакции якоря, падения напряжения в проводах и щетках выходная характеристика становится нелинейной. Поэто-

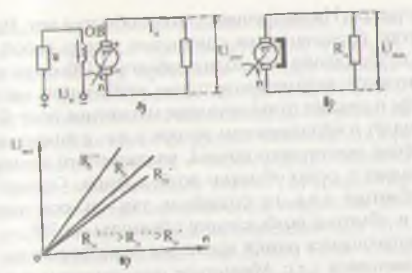


Рис. 11.14. Тахогенератор постоянного тока: а) с обмоткой возбуждения; б) с постоянным магнитом вместо обмотки возбуждения; в) выходные характеристики.

му сопротивление тахогснератора должно быть неизменным и и иссколько раз больше сопротивления обмотки якоря. Пыходное напряжение

EBNX=K-Unn.

гле К- постоянный коэффициент; U_в- напряжение обмотки возбуждения;

п- скорость вращения ротора.

2. Асинхронный тахогенератор (рис. 11.15) состоит из немагнитного в форме стаканчика ротора, внешнего и внут-

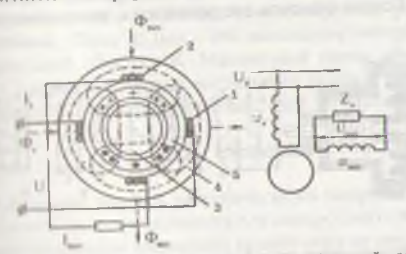


Рис. 11.15. Асинхронный тахогенератор: а) устройство; б) схема прининия 1-обмотка возбуждения; 2-выходная обмотка; 3-ротор; 4-внешний статор; 5-внутренний статор.

реннего статора. На внутреннем статоре обмотки нет. На внешнем статоре располагаются сдвинутые между собой на 90° обмотка возбуждения и выходная обмотка. Обмотка возбуждения питается переменным током стабильной частоты и амплитуды и создаёт пульсирующее магнитное поле Ф. Этот поток создаёт в неподвижном роторе э.д.с. и вихревые токи. Направление магнитного потока, создаваемого этими токами, совпадает с осью обмотки возбуждения. Однако в выходной обмотке э.д.с. не создаётся, так как оси выходной обмотки и обмотки возбуждения сдвинуты на 90°

Во вращающемся роторе кроме эдс трансформации создаётся вращающаяся э.д.с. Магнитное поле суммарной э.д.с. по направлению совпадает с осью выходной обмотки и создаёт в ней э.д.с., пропорциональную скорости вращения ротора.

11.7. Вращающиеся трансформаторы

Поворотные трансформаторы служат для получения напряжения, пропорционального углу α, sinα или соsα. Они применяются, например, в устройствах вычислительной техники для определения гипотенузы прямоугольного треугольника по его катетам. Вращающийся трансформатор (рис. 11.16.) состоит из статора и ротора. Их сердечники собираются из листов электротехнической стали. В пазах сердечников укладываются обмотки: S и K- это обмотки статора, A и B — обмотки ротора. Эти обмотки сдвинуты между собой на угол 90° Концы обмоток соединяются с зажимами, уста-

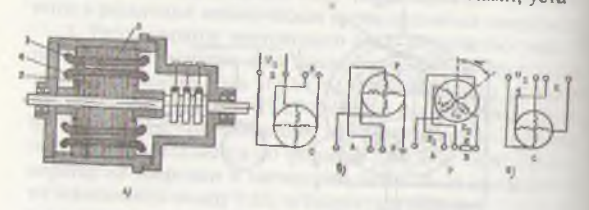


Рис. 11.16. Вращающийся трансформатор: а) устройство; б) схемы обмоток ротора и статора; в) схема соединений при нагруженном роторе: 1-статор; 2-ротор; 3-обмотки статора; 4-обмотки ротора.

полтенными на одной из боковых крышек. Концы обмотки статора соединяются непосредственно, а концы обмоток ротора через мягкие проволоки или при помощи контактных колен и щеток. Обмотка статора (рис. 11.16б) состоит из помогки возбуждения S и вспомогательной обмотки K. А и В тю косинусные обмотки ротора. Обмотки статора называти первичными, а ротора — вторичными. Обмотка возбуждения питается переменным током. По сравнению с обычным однофазным трансформатором вторичная обмотка (ротора) может поворачиваться на определенный угол. Ток обмотки возбуждения создаёт магнитное поле, которое перечекает обмотки ротора и создаёт в них э.д.с.

$$E = E_M \sin \alpha$$

 $E_B = E_M \cos \alpha$,

тие \mathbf{F}_{M} — максимальная величина э.д.с. ротора; α — угол поворота ротора.

Однако такая зависимость может быть при ненагруженном роторе. При наличии нагрузки по обмоткам ротора текут токи $i_{\rm i}$ и $i_{\rm i}$ создающие продольную $F_{\rm пр}$ и поперечную $F_{\rm non}$ помагничивающие силы (рис. 11.16в). Продольная намагничивающие сила, как в обычном трансформаторе, компенсируется увеличением тока в первичной обмотке. Поперечная намагничивающая сила $F_{\rm non}$ искажает магнитный поток трансформатора и синусоиду $E_{\rm i}$ и $E_{\rm i}$. Поперечная намагничивающая сила компенсируется различными способами. Один из них - это замыкание накоротко вспомотальной обмотки K. Магнитный поток этой обмотки будет направлен против магнитного потока, создаваемого поперечной намагничивающей силой, и компенсирует его.

11.8. Сельсины

Сельсины, являясь электрическими микромацинами перменного тока, применяются для синхронного поворота или ирашения двух или нескольких механически не связанных осей. Они работнот в режиме индикации и трансформатора.

На рис 11.17. показано устройство бесконтактного сель-

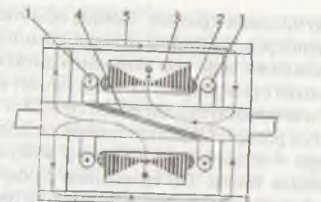




Рис. 11.17. Бесконтактный сельсин: 1-обмотка возбуждения; 2-обмотка синхронизации; 3-статор; 4-немагнитный слой; 5-магнитопровод.

хронизации. Обмотка синхронизации состоит из трёх одинаковых катушек, сдвинутых друг относительно друга на 120° Они установлены на кольцевых сердечниках. Обмотка возбуждения состоит из двух кольцевых катушек, соединённых последовательно и расположенных по бокам обмотки синхронизации. Ротор собирается из стальных листов и по диагонали разделён на две части слоем немагнитной прокладки. По назначению сельсины бывают: сельсиндатчик (СД), сельсин- приёмник (СП) и дифференциальный сельсин. Сельсин- датчик передаёт угловые перемещения, сельсин- приёмник показывает величину этих угловых перемещений. Дифференциальный сельсин- датчик (ДСП) и дифференциальный сельсин- приёмник (ДСП) показывают алгебраическую сумму угловых перемещений двух механически не связанных осей.

1. Работа сельсинов в режиме индикации (рис. 11.18)

В этом режиме сельсины применяются для дистанционного измерения угловых перемещений. Обмотки возбуждения сельсинов подключаются к сети переменного тока, обмотки синхронизации соединяются между собой. В данной схеме работает один СП. На практике могут быть несколько СП. Переменный ток в обмотках возбуждения создаёт пуль-

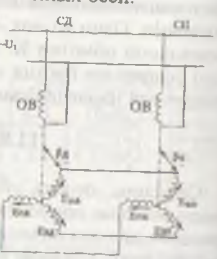


Рис. 11.18. Работа сельсинов в режиме индикации.

прикописе магнитное поле, которое создаёт в обмотках синхроничний э.д.с. Эти э.д.с. напрвлены противоположно друг другу. Полому при одинаковых угловых положениях сельсинов эти та с равны друг другу и в обмотках синхронизации, а также в полинительных проводах между ними, токи не возникают.

При повороте ротора СД на некоторый угол величина тл с в его обмотке синхронизации изменится, а в обмотке синхронизации СП не изменится. В результате в обмотках синхронизации и в соединительных проводах между ними по инкают уравнительные токи, создающие вращающий момент. Этот момент действует на роторы СД и СП и стремится установить их в одинаковые угловые положения. Но так как ротор СД соединён с осью редуктора или какого-по другого механизма, то момент не в силах повернуть ротор СД. В результате поворачивается ротор СП на тот же угол, что и ротор СД, так как на роторе СП установлена полько стрелка. Стрелка по шкале покажет угол СД.

2. Работа сельсинов в режиме трансформации (рис. 11.19) В этом режиме сельсины применяются для дистанционного управления поворотом или вращением механизмов и минин. Переменный ток от сети подаётся только на обмотку возбуждения СД, обмотка возбуждения СП соединяется у силителем. Обмотки синхронизации соединяются между сибой. Ротор СД новорачивается от руки или каким-либо механизмом. Ротор СП соединяется с редуктором.

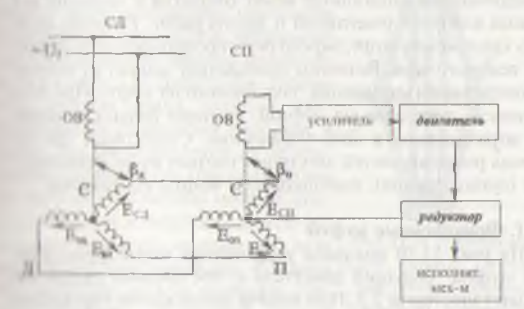


Рис. 11.19. Работа сельсинов в режиме трансформатора

Магнитное поле обмотки возбуждения СД создаёт в сто обмотке синхронизации э.д.с., которая по проводам передаётся на обмотку возбуждения СП. На СП магнитный поток обмотки синхронизации пересекает обмотку возбуждения и (как в трансформаторе) создаёт в ней э.д.с. При неподвижном роторе СД и когда ротор СП ещё не соединён с редуктором, величина этой э.д.с. будет максимальной. Однако перед каждым поворотом ротора СД величина э.д.с. обмотки возбуждения СП должна быть равна нулю. Для этого при неподвижном роторе СД ротор СП поворачивается на 90° и в этом положении соединяется с редуктором. После этого система будет готова к работе. Если после этого повернуть рогор СД на некоторый угол, изменится э.д.с. и магнитный поток в обмотках синхронизации сельсинов. В результате в обмотке возбуждения СП появится э.д.с., которая усиливается усилителем и подаётся на исполнительный двигатель. Двигатель приводит в движение редуктор, который выполняет две функции: 1) поворачивает исполнительный механизм на заданный угол для выполнения заданной работы; 2) одновременно поворачивает ротор СП на угол, на который повернулся ротор СД для восстановления равновесия системы.

11.9. Электромагнитные муфты

Электромагнитные муфты служат для соединения или разъединения вращающихся валов, открытия и закрытия различных клапанов и вентилей и других работ. Изменяя величину скольжения муфт, можно регулировать скорость вращения ведомого вала. Величина скольжения зависит от величины напряжения управления, подаваемого на муфту. При этом мощность, передаваемая муфтой, намного больше мощности, затрачиваемой в цепи управления. Существуют три основных разновидностей электромагнитных муфт: фрикционные (сухого трения), порошковые и муфты скольжения.

1. Фрикционные муфты

На рис. 11.20 показана упрощённая схема фрикционной муфты. Ведущий двигатель с постоянной скоростью вращает шестерни 2,3. При подаче напряжения управления на обмотку 12 электромагнита 13 его якорь 11 перемещаети в исно и прижимает фрикционный диск 15 к шем терис 2. В результате врапоние от ведущего вала 16, ше терию 2, диска 15, шеперии 10 передаётся на вепомый вал 9.

Иля вращения ведомото нача в другую сторону инприжение управления по настся на обмотку 5 элекгримагнита 6. При этом пьорь 7 прижимает фрикпинный диск 4 к шестер-В результате вращение ит велущего вала через ше-

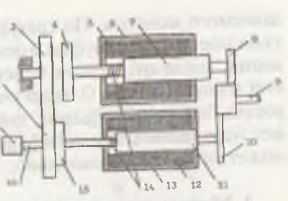


Рис. 11.20. Муфта сухого трения: 1-ведущий двигатель; 2.3-шестерии; 4.15-фрикционные диски; 5,12-обмотки; 6,13-элекгромагниты; 7.11-якоря; 8.10-шестерни; 9-ведущий вал; 14-пружины; 16-ведуппий вал

терию 3, фрикционный диск 4, шестерию 8 подаётся на водомый вал 9. На практике применяются более сложные, аниголисковые фрикционные муфты, передающие больиние прашающие моменты.

2. Порошковые муфты (рис. 11.21)

На ведущий и ведомый валы нанаминют стальные диски муфты. Пространство между дисками заполинется ферромагнитным порошком из карбонильного железа. Ферромагпитный порошок обычно применяты в смеси с разделителем- графиним, окисью пинка, тальком, слуа шинми для разделения порошка, а . тик же для предохранения их от слипання и комкования. При подаче тока ни катушку магнитное поле её спекиет порошок в твёрдую массу. В реи плате вращение от ведущего вала пере шется на ведомый вал. Изменяя муфта: 1-корпус; 2,4-стальны клушки, можно изменять степеть пердости порошковой массы и 5-контакты; 6-ферромагны намым изменять величину пере-

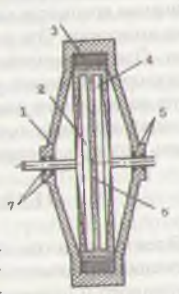


Рис. 11.21. Порошковая ные диски; 3-катушка;

давасмого момента. По сравнению с фрикционными муфтами порошковые муфты имеют меньше времени срабатывания, из-за отсутствия поверхностей трения мсханический износ меньше. Однако их нельзя применять при скоростях более 3000 об/мин, так как при этом порошок может переместиться к периферии зазора. Из-за этого муфтя может потерять управление.

3. Муфты скольжения

Принцип работы этих муфт похож на принцип работы асинхронных двигателей (рис. 11.22). На ведущем валу установлен индуктор, на ведомом валу - якорь. Индуктор с полюсными выступами имеет обмотку, на которую ток подаётся через контактные кольща. Якорь выполняется в виде короткозамкнутой обмотки, полого стакана. При подаче тока на обмотку индуктора и его вращения вращается магнитное

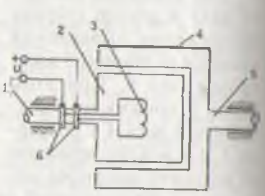
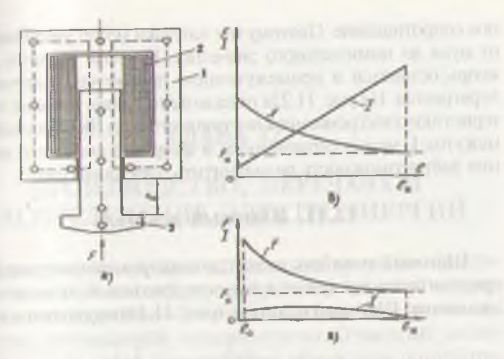


Рис. 11.22. Муфта скольжения: 1-ведущий вал; 2-индуктор; 3-обмотка; 4-якорь; 5-контактные кольца; 6-ведомый вал.

поле индуктора. Это поле пересекает якорь и наводит в'нём токи. При взаимодействии этих токов и магнитного поля индуктора возникает врашающий момент, который приводит во врашение якорь и связанный с ним ведомый вал. Изменяя величину тока индуктора, можно плавно регулировать скорость врашения ведомого вала.

11.10. Электромагниты

Электромагниты применяются для прямолинейного перемещения элементов различных устройств. Они бывают постоянного и переменного токов. На рис. 11.23 показано устройство однофазного электромагнита. Его сердечник и якорь выполнены из листов электротехнической стали. При прохождении тока через катушку возникает магнитное поле и сила F, которая втягивает якорь внутрь катушки. Якорь приводит в движение связанный с ним механизм. Зависи-



Рыс. 11.23. Электромагнит: а) устройство электромагнита; б) тяговая вириктеристика электромагнита переменного тока; в) тяговая характеристива электромагнита постоянного тока; 1-сердечник; 2-катушка; 3-якорь.

мость тяговой силы F от величины перемещения I якоря на выпастся тяговой электромагнитной характеристикой (рис. 11 236). В однофазном электромагните тяговая сила в конце бочьше, чем в начале в 1,5-2 раза. В начале движения якоря по ступный промежуток между сердечником и якорем буил наибольшим. Поэтому магнитный поток, индуктивность ватушки и индуктивное сопротивление будут наименьшичи Поэтому в начальный момент через катушку проходит нанбольший ток. В конце движения якоря индуктивное сопритивление катушки увеличивается, и поэтому ток уменьпистся в 5-15 раз. Однако якорь, не дойдя до конца, может и ниповиться в промежуточном положении. Причиной этого на петется то, что большой начальный ток может перегреть митушку и вывести электромагнит из строя. Для предотврапичния этого якорь снабжается пружиной, которая доводит икорь до конца. Для предотвращения колебаний якоря сершеник замыкается демпферным витком.

Тик как электромагниты постоянного тока питаются постоянным током, их сердечник и якорь выполняются из полицион стали, и демпферный виток не нужен. Катушка нектромагнита оказывает постоянному току только актив-

нос сопротивление. Поэтому ток катушки может увеличиваться от нуля до номинального значения. По этой причине, если якорь останстся в промежуточном положении, катушка не перегреется. На рис. 11.23в показаны тяговая и токовые характеристики электромагнита постоянного тока. Воздушный промежуток I₀ между сердечником и якорем в конце его движения даёт возможность размагнитить электромагнит.

11.11. Шаговый искатель

Шаговый искатель является электромеханическим распределителем и служит для последовательного включения элементов. Шаговый искатель (рис. 11.24) приводится в дви-

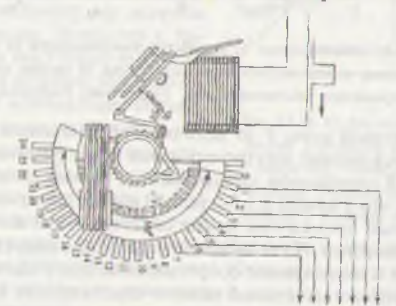


Рис. 11.24. Шаговый искатель: 1-якорь; 2-электромагнит; 3-неподвижные контакты; 4-подвижный контакты; 5-храновое колесо; 6-рычаг; 7-пружини

жение при помощи электромагнита постоянного тока. При подаче управляющего сигнала на обмотку электромагнити якорь притягивается к сердечнику, преодолевая силу обратной пружины. При этом рычаг скользит по зубцам хранового механизма, делая один шаг. При этом, щётка (подвижной контакт), замыкаясь с последующим неподвижным контактом подключает очередной исполнительный элемент. В настоящее время в технике применяются шаговые искатели типа ШИ-25/4, ШИ-25/8, ШИ-50/2.

ГЛАВА 12

ПРОИЗВОДСТВО, ПЕРЕДАЧА И РАСПРЕДЕЛЕНИЕ ЭЛЕКТРОЭНЕРГИИ

Производство электроэнергии и снабжение ею это единын процесс. В каждый данный момент времени количению производимой электроэнергии должно быть равно кончеству поставляемой электроэнергии. Отдельные электро напиши не могут бесперебойно обеспечить потребителей электроэнергией. Поэтому они объединяются в единую пергосистему. В результате обеспечивается постоянство напряжения и частоты, так как колебания нагрузок воспринимнотся сразу многими электростанциями.

Во можны следующие типы электростанций

КЭС – конденсаторные электростанции – они пред-

Т')Ц – теплоэлектроцентрали – в них кроме электроигризи производится пар и горячая вода.

ГРЭС — государственные районные электростанции — это прушная районного масштаба конденсаторные электростанции.

В КЭС, ТЭЦ, ГРЭС в качестве топлива могут использоваться уголь, торф, горючие сланцы, газ, мазут. КЭС и ГРЭС обычно располагаются близко к месторождению топлива.

АЭС — атомные электростанции — в них используется пергия, выделяемая при расшеплении ядер атомов тяженых элементов. Например, тепло, выделяемое при расшеплении ядер 1 кг урана эквивалентию количеству тепла, пыле иемого при сжигании 3000 т каменного угля.

1 - К — гидроэлектростанции — в них используется энер-

тыя поды рек, водохранилиш, приливов.

Нятеется следующая шкала напряжений переменного токи 220, 380, 660 В; 3, 6, 10, 20, 35, 110, 150, 220, 330, 500, 750, 1150 кВ.

Примерно 2/3 произведенной электроэнергии потребляет промышленность. Схемы снабжения электроэнергией промышленных предприятий зависят от их мощности и выполняются по ступенчатому принципу. На первой ступени напряжение подается на главную подстанцию, где напряжение 110-220 кВ понижается до 10-6 кВ. На второй ступени это напряжение подается на цеховые подстанции, где оно понижается до перяжений потребителей электроэнергии. На третьей ступени пониженное напряжение доводится до потребителей.

12.1. Схемы распределения электроэнергии между потребителями

Согласно правилам устройства электроустановок (ПУЭ) линии и сети бывают до 1000 В и свыше 1000 В.

На рис. 12.1. показана однолинейная схема подстанции с тремя распределительными устройствами напряжением 110-35/10 кВ. Открытое распределительное устройство (ОРУ) на 110 кВ выполнено с тремя шинами: I_{cm} и II_{cm}

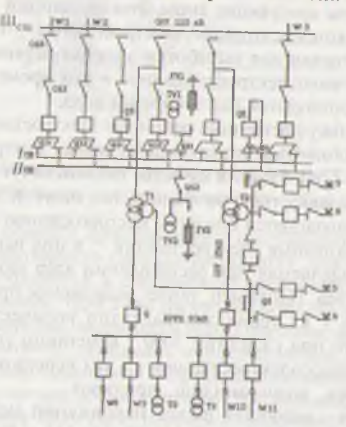


Рис. 12.1. Линейная схема подстанции на 110 (35) 10 кВт с тремя распределительными устройствами.

рабочие шины, III_{CM} — обходная шина, а также имеет притолинения к трем линиям электропередачи W_1 , W_2 , W_3 , W_4 , W_5 , W_4 , W_5 , W_4 , W_5 , W_5 , W_6 , W_7 , W_8 , $W_$

Открытое распределительное устройство (ОРУ) на 35 кВ имеет одну систему шин с двумя секциями I и II. Они могут сосдиняться друг с другом выключателем QC. От обмотки 35 кВ трансформатора T1 через секцию I питаются линги W_4 и W_5 . От обмотки 35 кВ трансформатора T2 через секцию II питаются линии W_6 и W_7 .

Комплектное распределительное устройство наружной установки КРУН состоит из двух секций I и I, подключенных к обмоткам 10 кВ трансформаторов Т1 и Т2. От первой секции питаются W8, W9 и трансформатор Т3. От второй секции питаются линии W10, W11 и трансформатор Т4. Трансформаторы Т3 и Т4 питают пониженным напряженисм различное оборудование и аппаратуру подстанции.

В рассмотренной схеме показаны только силовые цепи. Однико, любая энергосистема имеет средства контроля и управления этой системой.

Схема квартирной электропроводки показана на рис 12.2. Потребители питаются от магистральной линии трехфазного тока. В этой схеме счетчик Wh подключен на фазу A и нейтральный провод N. К счетчику через автоматические выключатели SF1 и SF2 подключены осветительная и розеточная пиши К осветительной линии подключены лампа EL1, выключатель S1, люстра с лампами EL2-EL4, выключатель S2, пиши ELS, выключатель S4 и лампы EL6, EL7 через выключатель S3. К розеточной линии подключены розетки X1 и X2.

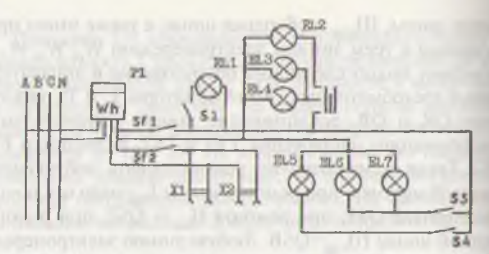


Рис. 12.2. Схемя взартирной электропроводки.

12.2. Расчет проводов

Напряжение потребителя бывает меньше напряжения источника за счет падения напряжения в проводах липпп при прохождении тока. Разница между напряжениями источника и потребителя называется падением напряжения

 $\Delta U=U,-U,$ где U, - напряжение источника; U - напряжение на потребителя.

Допустимое падение напряжения зависит от вида нагрут ки. Например, для силовых нагрузок допускается падение напряжения 6%, для осветительной сети - 2,5%. В противном случае снижаются пусковые и вращающие моменты двигателей, уменьшается световой поток осветительных устройсти Вообще, электропроводка должна обеспечивать бесперсбойную подачу электроэнергии потребителю, противопожарную безопасность и электрическую безопасность человека.

1. Расчет проводов по допустимому падению папряжения Падение напряжения:

$$\Delta U = U_1 - U = I R,$$
 (12.2)

где 1 — ток провода; R — сопротивление провода. Сопротивление провода:

$$R = \frac{2\ell}{\gamma \cdot S}$$

где I — длина линии; S — сечение провода; γ — удельная

В большинстве случаев падение напряжения выражаетпроводимость провода. ся в процептах к напряжению потребителя и его называют относительным падением напряжения:

$$U_{\tau} = \frac{\Delta U}{U} \cdot 100\% - (12.3)$$

Находим сечение провода:

$$\Delta U = 1 R = I \frac{2l}{\gamma \cdot S}, \qquad (12.4)$$

отсюда

$$S = \frac{21 \cdot l}{\Delta U \gamma} = \frac{2l \cdot 1 \cdot 100}{U_c \cdot U \cdot \gamma}$$
.

Если последнее выражение умножить и разделить на U, то получим

$$S = \frac{2 \cdot 100 \cdot P \cdot l}{U_1 \cdot U^2 \cdot \gamma},$$

гле P=U-I - могиность.

Для цепи однофазного переменного тока

В симметричной трехфазной системе падение напряжения в фазе

$$\Delta U_{\phi} = 1 \cdot R \cdot \cos \varphi$$
, (12.6)

тие 1 — линейный ток; $R=U\gamma S$ — сопротивление одного провода.

Тик как линейное напряжение больше фазного в $\sqrt{3}\,$ раз

Тик как линейное напряжение
$$\Delta U = \sqrt{3} \cdot \Delta U \Phi = \sqrt{3} \cdot I \cdot R \cdot \cos \Phi = \sqrt{3} \cdot I \frac{l \cdot \cos \Phi}{\gamma \cdot S}$$

$$S = \frac{\sqrt{3} \cdot l \cdot I \cdot \cos \phi}{\Delta U \gamma} = \frac{100 \cdot I \cdot \sqrt{3} \cdot l \cdot \cos \phi}{U_c \cdot \gamma \cdot U}$$

Умножив и разделив на U, получим

$$S = \frac{100 \cdot l \cdot P}{\gamma \cdot U_r \cdot U^2}$$

где $P = \sqrt{3}U \cdot l \cdot \cos \phi$ — активная мощность симметричной трехфазной системы.

2. Расчет сечения проводов по допустимому нагреву.

Потребители электрической энергии одновременно не включаются в сеть. Кроме того, двигатели все время не работают с полной мощностью. Поэтому при расчетах принимается во внимание не установленная мощность, а одновременно потребляемая потребителями мощность, которая называется расчетной мощностью. Отношение расчетной мощность и установленной называется коэффициентом потребности.

$$K_n = \frac{P_p}{P}$$
 или $K_n = \frac{I_p}{I}$, (12.8)

где P_p и I_p — одновременно используемая (расчетная) мощность и ток; P_y и I_y — установленные мощность и ток; K_n — коэффициент потребности.

Для осветительных нагрузок коэффициент потребности имеет следующие величины:

1. Для внешней осветительной сети К =1,0

2. Для домашней осветительной сети $K_n = 0.7 + 0.8$.

3. Для предприятий K =0,7÷0,9.

4. Для длительно работающих двигателей К =0,8.

Если в полъемных механизмах количество двигателей будет от 1 до 5, то K_n =0,8; от 5 до 10 K_n =0,65. Для двигателей, установленных на станках и работающих в повторно кратковременном режиме при количестве двигателей от 1 до 5 K_n =0,8; от 5 до 10 K_n =0,5.

Для сети с однофазным переменным и постоянным током расчетный ток для осветительных нагрузок

$$I_{y} = \frac{K_{x} - P_{y}}{U} = \frac{P_{p}}{U}$$
 (12.9)

Лля цепи с трехфазным током

$$I_{\mu} = \frac{K_{\mu} \cdot P_{\nu}}{\sqrt{3} \cdot U} = \frac{P_{\mu}}{\sqrt{3} \cdot U}$$
 (12.10)

Для двигателя постоянного тока величина номинального тока

$$I_{*} = \frac{P_{*}}{U \cdot \eta}$$
 (12.11)

Номинальный ток трехфазного двигателя

$$I = \frac{P}{\sqrt{3} \cdot U \cdot \cos \varphi \cdot \eta}$$
 (12.12)

тие η - КПД двигателя.

Величины η и соѕф для двигателей берутся из справочников и каталогов. Для двигателей малой мощности (до 10-12 кBT) произведение $\eta \cdot \cos \phi$ можно взять 0.7-0.8.

Расчетный ток двигателей

$$l_p = K_n \cdot l_n = K_n \cdot l_y . \tag{12.13}$$

Сечения проводов определяются из таблиц по допустимому нагреву. В таблицах даются сечения проводов при длительно допустимых токах, величины которых не должны пыть менес расчетных токов

1 ≥1 (12.14)

 l_{ai} — длительно допустимый ток.

12.3. Расчет плавких вставок предохранителей

Плавкие вставки должны предохранять провода от токов коротких замыканий и перегрузочных токов. При прохождении токов больших чем расчетные плавкие вставки должны перегорать. Номинальный ток плавкой вставки $\mathbf{I}_{\mathrm{scr}}$ должен быть равным или больше расчетного тока защиты линии

Номинальный ток плавкой вставки для одного двига теля рассчитывается следующим образом:

а) исходя из номинального тока двигателя

$$I_{\text{per}} \ge \alpha I_{\text{R}}; \tag{12.15}$$

б) исходя из пускового тока

$$I_{\text{min}} \ge \frac{I_n}{\beta} = \frac{K_1 \cdot I_n}{\beta} \tag{12.16}$$

где l_n — номинальный ток двигателя; l_n — пусковой ток двигателя;

α - коэффициент, зависящий от режима работы двигателя (при длительном режиме α=1, повторно-кратковрс менном режиме $\alpha = 1.25$);

в - коэффициент, учитывающий условия пуска (при нормальных условиях β =2,5, при тяжелых β =1,6+2);

К, - кратность пускового тока.

Для группы работающих двигателей ток плавкой вставки:

$$I_{nm} = \frac{\Sigma I_{nm} + (I_n - I_n)}{2.5},$$
 (12.17)

где 🔀 сумма номинальных токов одновременно работающих двигателей.

12.4. Действие электрического тока на организм

Степень поражения током зависит от силы тока и его частоты, а также пути прохождения его в организме. Ток частотой 25-50 Гц сильно действует на организм человека. При токе 25 миллиампер начинаются судороги, и человек не может разжать пальны, которыми от охвагил токовый провод. В соответствии с правилами техники безопасности ток 50 миллиампер считается опасным для человека. Сопротивление организма человека составляет от 800 до 10000 Ом. Например, если сопротивление организма человека составляет 1200 Ом, то для него является опасным напряжение в

U=I R=0,05·1200=60 B.

Мощность источника при этом

P=U-I=60 0,05=3 B_T.

Г.сни мощность источника при этом будет намного меньшей, то поражение током высокого напряжения от такого петочника будет менее опасным, так как ток будет маленьвим. Для сухих помещений считается опасным напряжение 65 В, в помещениях с относительной влажностью 75%-16В, в помещениях с относительной влажностью 100%, металлических кабинах, котлах - 12 В.

12.5. Меры по предупреждению поражения током человека

Для предохранения человека от поражения током при соприкосновении с устройствами, находящимися под напряжением, применяются защитная одежда, ограждения, блокировки, защитное заземление.

1.Защитное заземление.

При нарушении изолящии проводов металлические чаети электроустановок окажутся под высоким напряжением. При прикосновении этой части происходит поражение ноком человека, стоящего на земле. Для предупреждения пого металлические части электроустановок соединяются племлей (рис. 12.3). Заземление выполняются из стальных груб, лент и угольников. Они забиваются в землю на необходимую глубину и соединяются между собой стальными лентами сваркой. Сопротивление заземления не должно пре-

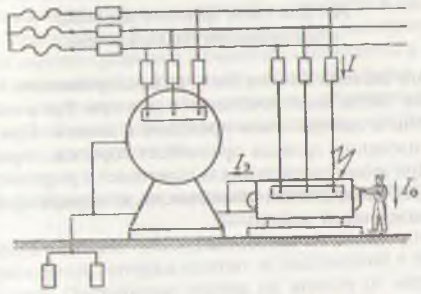


Рис. 12.3. Схема защитного заземления.

вышать 4-10 Ом. Сопротивление человека, соприкоснувшегося с металлической частью электроустановки, оказывается соединенным параллельно сопротивлению R_o заземления. Так как сопротивление человека намного больше сопротивления заземления, то через него будет проходить очень маленький ток, безопасный для человека.

2. Защитное заземление четырехпроходной цени с трехфазным током (рис.12.4)

Если в рассмотренной (рис. 12.3) схеме заземления трехпроводной системы один линейный провод коснется металлический части, то предохранитель может не сработать.

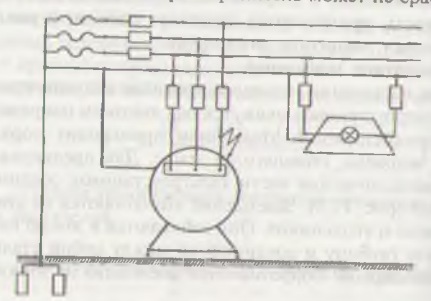


Рис. 12.4. Схема защитного заземления четырехпроводной трехфазной цепи.

Для этого система должна быть четырехпроводной. Металлические части электроустановки должны быть надежно соединены с нейтральным проводом и землей. При нарушении изоляции провода произойдет короткое замыкание фазы. При этом предохранитель перегорает и разрывает цень этой фазы. Такая схема называется также четырехпроводная сеть с заземленной нейтралью.

ГЛАВА 13

ЭЛЕКТРОПРИВОД И АППАРАТУРА УПРАВЛЕНИЯ

Электромеханическая система, предназначенная для мениизации и автоматизации рабочего процесса называется исктроприводом. В состав электропривода входят двигатель, рабочий механизм, передающее и управляющее устройства. Управляющее устройство управляет работой электропривода. Папример, регулирует величину напряжения и частоты, мощность рабочего механизма, скорость вращения двигателя, направление его вращения. Передающее устройство может быть илотовлено в виде редуктора. Тогда при помощи передающего устройства можно изменять скорость вращения привода.

В настоящее время электроприводы делятся на три группы: 1) групповые, 2) индивидуальные, 3) многодвигательные. В групповом приводе один двигатель через передаточные устройства управляет работой многих механизмов. В индивидуальном приводе рабочий механизм приводится в лижение своим двигателем. Однако элементы рабочего механизма через системы передач приводятся в движение ме двигателем. В многодвигательном электроприводе киждый элемент рабочего механизма приводится в движение своим двигателем. Например, в универсальных станках инпиндель, суппорт и другие элементы приводятся в движение своим двигателем. В тяжелых станках каждый механизм имеет свой двигатель.

13.1. Нагрев и охлаждение электродвигателей

Работа каждого электродвигателя связана с потерями мектроэнергии, которые состоят из постоянной и переменной частей. Постоянные потери не зависят от нагрузки — по потери, связанные с трением в подшилниках, вентиля-

цией, это потери в стали. Переменные потери зависят от величины нагрузки и они расходуются на нагрев обмоток.

Вообще, с ростом нагрузки увеличивается температура двигателя. Разница между температурой двигателя и темпе ратурой окружающей среды называется перегревом:

$$\tau = t - t_0, \tag{13.1}$$

где т - температура перегрева;

t - температура двигателя;

 t_0 — температура окружающей среды. При расчетах тем пература окружающей среды берется t₀=40°C.

Температура перегрева зависит от изоляшии проводов обмоток. Например температура пере- т, грева для синтетических органических пленок равна 80°С, хлоп-т, чатобумажной изоляции - 65°C.

На рис.13.1. показаны графики нагрева двигателей при различных нагрузках. В начальный момент температура двигателя равна температуре окружающей среды. В это время почти все тепло расходуется на нагрев двигателя и поэтому личных постоянных нагрузках. кривые графика круго идут вверх.

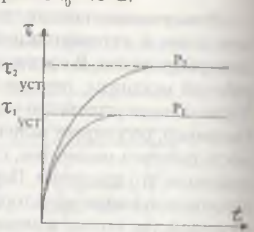


Рис. 13.1. Графики нагрева электродвигателей при раз-

Чем больше температура двигателя, тем больше тепла передается в окружающую среду и нагрев двигателя замедляется. Через определенное время количество выделенного тепла и ко-

Рис. 13.2. Графики нагрева электродвигателей при раз-

личество тепла, передающегося в окружающую среду уравновешиваются. При неизменной нагрузке температура двигателя принимает установившееся значение. Каждой нагрузке соответствует своя установившаяся температура і Чем больше нагрузка, тем выше график нагрева. (увеличением начальной темпсратуры время нагрева двигатели до установившейся температуры личных начальных температурах. уменьшается (рис. 13.2).

Время охлаждения двигателя т винсит от способов вентиляции и ета массы. Обычно применяются пентиляторы, вытягивающие горячий воздух из двигателя. В двигатених с независимой вентиляцией возлух для охлаждения подается от наружных вентиляторов. Этот способ применяется только для мощных пвигателей. На рис. 13.3 приведены 6 графики охлаждения двигателей.

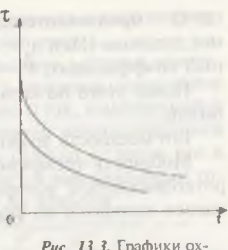


Рис. 13.3. Графики охлаждения двигателей.

13.2. Режимы работы электродвигателей и расчет их мощностей

Процесс изменения нагрузки рабочего механизма опрелеляет его режим работы. Для учета этих изменений необходимо иметь диаграмму нагрузки. График изменения правиающего момента или мощности во времени называется нагрузочной диаграммой. Электродвигатели могут рабоппь в следующих режимах: 1) продолжительный, 2) кратковременный, 3) повторно-кратковременный.

1. Продолжительный режим.

этот режим рассмотрим при постоянной и изменяюшенся нагрузке. При постоянной нагрузке температура нерегрева постепенно достигает установившегося значения. В пом режиме работают вентиляторы, насосы, компрессоры и некоторые станки.

Если нагрузки двигателя не изменяются, то его мошнисть можно вычислить при помощи определенных формул, а затем по справочникам подобрать необходимый двивиель. При этом необходимо выполнить условие:

$$P \ge P$$
 . Сис P_n — номинальная мошность двигателя; $P_{\text{мех}}$ — мощность мехпизма.

Например, мощность двигателя вентилятора находится по следующей формуле:

$$P_{s} = \frac{Q \cdot H \cdot 10^{-1}}{\eta_{s} \cdot K_{e}} \kappa Bm , \qquad (13.2)$$

Если двигатель обладает жесткой механической харак теристикой

$P=M \omega \equiv M$

Поэтому эквивалентную мощность двигателя можно определить по следующей формуле

$$P_{in} = \sqrt{\frac{P_{i}^{2} \cdot t_{n} + P_{i}^{2} \cdot t_{i} + P_{i}^{2} \cdot t_{i} + P_{i}^{2} \cdot t_{i} + P_{n}^{2} \cdot t_{n} + P_{i}^{2} \cdot t_{i}}{K_{1}(t_{n} + t_{r}) + t_{1} + t_{2} + ... + t_{n}}}.$$
 (13.7)

Эквивалентная мощность должна быть равна или меньше номинальной мощности

$P \ge P$

2. Выбор монциости двигателя при кратковременном режиме работы.

Так как в этом режиме время работы двигателя очень короткое, то двигатель за это вре-т
мя не успевает нагреться до температуры установившегося значения

(рис. 13.5). За время паузы двигатель успевает остыть ло температуры окружающей среды. В этом режиме работают двигатели зажимных устройств станков, подъемных мостов, шлюзовых устройств и т.д.

Двигатели крагковременного режима работы выпускаются на стандартное время работы: 10,30,60 и 90 мин.

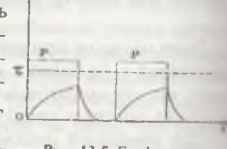


Рис. 13.5. График нагрузки электродвигателя при кратковременном режими работы.

Потери электрической энергии во время работы двигателя должны быть меньше потерь электроэнергии за время, указанное в паспорте.

Если график нагрузки будет одноступенчатым, двигатель подбирается по каталогу в соответствии с мощностью и временем работы, указанным в графике. При этом мощность двигателя, выбранная по каталогу, должна быть ранной или чуть больше указанного в графике.

Если график нагрузки будет многоступенчатым, то расчет двигателя ведется по формулам эквивалентного токи, момента, мощности и в соответствии с найденным значе

нием, а также согласно его скорости и времени работы подбирается из каталога. Во всех случаях необходимо выполнять условия:

 $P_{_{\rm MS}} \!\! \leq \!\! P_{_{\rm H}}, \; M_{_{\rm MS}} \!\! \leq \!\! M_{_{\rm H}}, \; I_{_{\rm MS}} \!\! \leq \!\! I_{_{\rm H}}$ 3. Расчет двигателя для повторно-кратковременного режима работы.

Этот режим характеризуется передованием периодов работы и пауз. В период работы двигатель не успевает нагреться до установившегося значения температуры, а во время паузы не успевает остыть до температуры окружающей среды (рис.13.6). В пом режиме работают электродингатели кранов, лифтов, польемников, ряд двигателей прокатных станов. В паспортах пыких двигателей указана продольмительность включения (ПВ).

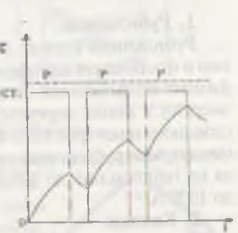


Рис. 13.6. График нагрузки электродвигателя при повторно-кратковременном режиме работы.

$$\Pi B = \frac{t_1 + t_2 + \dots + t_n}{t_1 + t_2 + \dots + t_n + t_0} \cdot 100\%, \tag{13.8}$$

иле $t_1+t_2+...+t_n$ — общее время работы двигателя; t_n — время имузы; $t_1+t_2+...+t_n+t_n$ — время цикла.

Электродвигатели выпускаются на стандартное ПВ=15, 40, 60 %, при этом ПВ=25% считается номинальным.

Время цикла повторно-кратковременного режима не полжно превышать 10 мин. Для расчета находим эквиваченнию мощность по формуле 13.7. Потом в соответствии иманным ПВ из каталога для крановых двигателей нахоним двигатель номинальной мощности. Если найденное ПВ пре соответствует стандартному необходимо сделать перерисчет Р зв. на стандартное ПВ:

$$P_{\text{max}} = P_{\text{max}} \sqrt{\frac{\Pi B 1}{\Pi B 2}}, \qquad (13.9)$$

где ПВ1 - заданное ПВ; ПВ2 - стандартное ПВ; Р найденное по формуле 13.7. значение Р

13.3. Аппаратура ручного управления

1. Рубильники.

Рубильники служат для включения и отключения однофазных и трехфазных потребителей электрической энергии в цепях переменного и постоянного токов (рис. 13.7). В большинстве случаев рубильники применяются на напряжение до 500 В и на ток до 1000 А.



2. Киопки.

Рис. 13.7. Рубильник

Кнопки применяются для подключения, отключения и переключения потребителей электроэнергии (рис. 13.8). При нажатии кнопки, включающей потребители, ее контакты замыкаются. При нажатии отключающей кнопки сё контакты размыкаются. Переключающая кнопка имеет и размыкаю-

шие и замыкающие контакты.

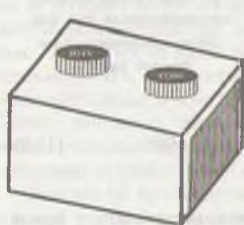


Рис. 13.8. Кнопка

3.Пакетные выключатели и переключатели.

Они служат для включения и переключения потребителей электроэнергии одновременно и

нескольких электрических цепях (рис. 13.9). Состоят они из подвижных и неподвижных контактов. Неподвижные контакты закреплены на выполненных из изоляционного материала кольцах (пакетах). Подвижные контакты укреплены на четырехугольной оси. К неподвижным контактам пол ключаются провода от сети, а к подвижным - потребите ли электроэнергии.

Подвижные контакты, попарно замыкаясь охватывают сверху и снизу неподвижные контакты.

4. Пусковые реостаты.

Назначение и схемы подключения пусковых реостатов были рассмотрены выше. Все реостаты состоят из стандарт-

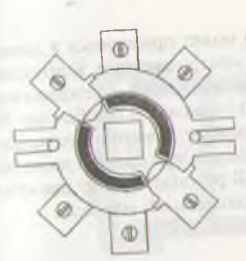




Рис. 13.9. Пакетный выключатель

ных элементов, представляющих собой сопротивления, выполненные на изоляционной основе. Материалом для проволоки реостатов служат константан, манганин, нихром, фехраль и сталь. Один из элементов реостата показан на рис. 13.10. Основой для намотки проволоки в них служат фарфоровые полуцилиндры, закрепленные на стальной пластинке.

5. Контроллеры.

Контроллеры - это аппараты, служанние для переключения двигателей включения и отключения пусковых реостатов, изменения направления враще-

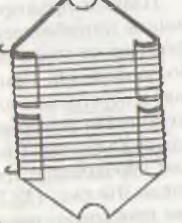


Рис. 13.10. Элемент реостата.

ния двигателей. Контроллер - многоступенчатое, контактное

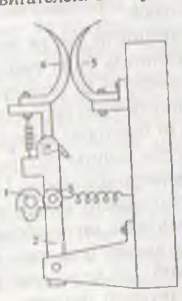


Рис. 13.11. Устройство одного элемента кулачкового контроллера: 1-кулачок; 2-рычаг; 3-колечко; 4-подвижный контакт; 5-неподвижный контакт.

переключающее устройство. Оно может приводиться в движение при помощи руки, ноги или электродвигателя. Контактны система состоит из нескольких пар подвижных и неподвижных контактов. Контроллеры бывают кулачковые и барабанные. На рис. 13.11. показано устройство одного элемента кулачкового контроллера. При повороте оси контроллера кулачок также по ворачивается и давит на колесо. В результате рычаг движется вправо, замыкая подвижный и неподвижной контакты.

13.4. Аппаратура защиты

1. Плавкие предохранители.

Плавкие предохранители служат для защиты потребителей электроэнергии и проводов от токов персгрузок и коротких замыканий. При коротких замыканиях и перегрузках плавкая вставка предохранителя перегорает и цепь потребителя разрывается. По устройству различают пробковые и трубчатые предохранители. На рис. 13.12 показано устройство пробкового прелохранителя.

Электрические двигатели в момент пуска кратковременно потребляют боль- Рис. 13.12. Пробковый шой ток. С переходом в нормальный режим ток становится равным номинальной



предохранитель:

величине. Поэтому обычные предохранители для их защиты непригодны. Причина: если предохранитель будет рассчитан на пусковой ток, то он не защитит двигатель от перегрузок в нормальном режиме: если предохранитель будет рассчитан на номинальный ток, то в момент пуска от перегорит и двигатель невозможно будет запустить. Поэтому для защиты электродвигателей применяются инерционные предохранители (рис. 13.13). При токах перегрузки тепло от нагревательного элемента передается к легкоплавкому спаю. Расплавляясь, он освобождает деталь, которая перемещается влево и разрывает цень тока. При токах короткого замыкания легкоплавкий спай не успевает расплавиться, так как плавкая вставка перегорает быстрес.

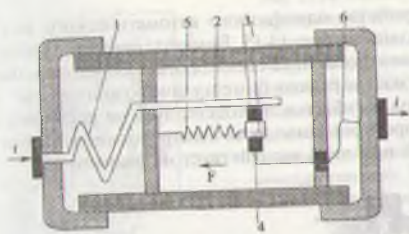


Рис. 13.13. Инершионный предохранитель: 1-нагревательный элемент; пластина; 3-легкоплавкий спай; 4-деталь; 5-пружина; 6-плавкая вставка.

2. Автоматические выключатели.

Автоматические выключатели пыполняют функции рубильников и предохранителей. Они включаются от руки и обеспечивают защиту электрических цепей от перегрузок и коротких замыканий. Они могут также разрывать цепь при понижении напряжения до определенного минимыльного значения (при наличии ка- Рис. 13.14 Схема однопотушки минимального расцепителя). люсного воздушного ав-Рассмотрим принцип работы однополюсного автомата максимального 2-якорь; 3-крючок; 4-прутока (рис. 13.14). При максимальном токе электромагнит притягивает к жины размыкаются контакты.



жина; 5-контакт

себе якорь, который освобождает крючок. Под действием пру-

В настоящее время для защиты потребителей и сети применикится различные автоматические выключатели. В них установлены биметаллическая пластина или электромагнит, либо оба вместе. При токах перегрузки биметаллическан пластина изгибается и отключает автомат, действуя на распепитель. При токах короткого замыкания электромагнит приводит в движение якорь, который воздействует на распенитель и автомат отключается.

Устройство однофазного автоматического выключателя показано на рис. 13.15. Биметаллическая пластина и обмотка электромагнита соединяются последовательно. Токи перегрузки нагревают биметаллическую пластину, которая при этом изгибается и воздействует на расцепитель. При токах короткого замыкания электромагнит втягивает якорь, который при этом воздействует на расцепитель.



Рис. 13.15. Однофазный автоматический выключатель: 1-электромагнит; 2-биметаллическая пластина; 3-кнопка отключения; 4-кнопка включения; 5-расцепитель.

13.5. Аппаратура релейно-контакторного управления

1. Реле и контакторы.

Реле применяется для коммутации электрических цепей с током до 5 ампер, контакторы — от 5 до 4000 ампер. Устройство и принцип работы реле рассмотрены ранее в параграфе 11.3. Схема, поясняющая устройство и принцип работы контактора, приведена на рис 13.16.

При нажатии кнопки П (пуск) через обмотку контактора проходит ток, который создает магнитный поток в сердечнике контактора. В результате якорь, преодолев силу возвратной пружины, притягивается к сердечнику и замыкает главные контакты, через которые подается ток на двигатель Д. Одновременно замыкаются вспомогательные контакты, через которые подается ток на обмотку контактора, что дает возможность отпустить кнопку П (пуск). При нажатии кнопки С (стоп) катушка обесточивается, и якорь под воздействием возвратной пружины размыкает главные



Рис. 13.16. Схема, поясняюшая принцип действия контактора: 1-катушка; 2-сердечник; 3-якорь; 4-возвратная пружина; 5-главные контакты; 6-вспомогательные контакты; 7-дугогасящая камера; 8-изоляционные перегородки; 9-металлические пластины; 10-стальной сердечник; 11-катушка; 12-пластины-полюса.

контакты. При размыкании главных контактов между ними образуется дуга, которая гасится в дугогасящей камере. Изолиционные перегородки камеры растягивают дугу, а метиллические пластины рассеивают образовавшиеся при иом ионизированные газы.

Быстрый выход дуги с контактов в камеру обеспечивается системой магнитного дутья. Для этого на сердечнике рисположена катушка, соединенная последовательно с главными контактами, а по бокам сердечника расположены пластины-полюса. Магнитное поле, создаваемое катушкой при помощи полюсов, подводится к зоне горения дуги в кимере. При взаимодействии магнитного поля катушки и тока луги появляются силы, которые загоняют дугу в камеру.

Устройства, управляющие работой короткозамкнутых шинхронных двигателей называются магнитными пускателями. Магнитные пускатели состоят из трехполюсных контакторов, токовых реле, служащих для защиты двигателя при превышении тока.

В настоящее время широко применяются магнитные нускители типа ПМЕ, ПМА, АП, ПВИ.

13.6. Схемы управления электродвигателями

 Управление асинхронным двигателем с короткозамкнутым ротором.

Схема реверсивного управления асинхронным двигатечем с короткозамкнутым ротором приведена на рис. 13.17. В

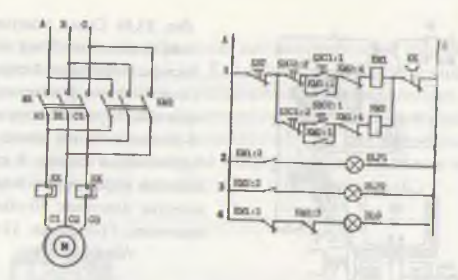


Рис. 13.17. Реверсивная схема управления асинхронным двигателем с короткозамкнутым ротором.

схему входят двигатель (М), контакторы (КМ1, КМ2), кнопки (SBC1, SBC2, SBT), лампы (HLRI, HLR2), тепловое реле (КК).

Для вращения двигателя в одном направлении нажимается кнопка SBC1. При этом кнопка замыкает свои контакты SBC1:1, подключенные в цепь обмотки контактора КМ1, размыкает контакты SBC1:2, подключенные в цепь обмотки контактора КМ2. Контактор КМ1 срабатывает и выполняет следующие функции:

1. Замыкает силовые контакты КМ1, через которые на двигатель подается трехфазный ток. При этом двигатель начинает работать.

2. Замыкает вспомогательные контакты KM1:1, через которые поступает ток на обмотку контактора KM1. Это позволяет отпустить кнопку SBC1.

3. Размыкает контакты КМ1:4, отключающие цепь обмотки контактора КМ2 при работе контактора КМ1.

 Замыкает контакты КМІ:2, включающие лампу HLRI, которая сигнализирует о том, что двигатель включен в сеть.

5. Размыкает контакты КМІ:3, отключающие лампу HLG, которая загорается, когда двигатель не включен в сеть. Для останова двигателя надо нажать кнопку SBT, которая размыкает цепь обмотки контакторов КМІ и КМ2. При этом размыкаются силовые контакты КМІ, и двига-

тель отключается от сети. В результате двигатель останавливается и При перегрузках токовое реле КК разрывает свои контакты и тикже разрывает цепь обмоток контакторов КМ1 и КМ2.

Для прашения двигателя в другую сторону нажимается впогка SBC2. Его контакты SBC2:1 подключают обмотку контактора КМ2 к сети, а контакты SBC2:2 отключают обмотку контактора КМ1 от сети. При этом силовые контакты КМ1 ризмыкаются, а силовые контакты КМ2 замыкаются, подключая двигатель к трехфазной сети. Однако теперь двигатель оулет вращаться в другую сторону. Причиной этого является то, что фазы В и С меняются местами, что приводит к изменению направления вращения магнитного поля двигателя.

Вспомогательные контакты КМ2:1, КМ2:2, КМ2:3, кМ2:4 контактора КМ2 выполняют такие же функции, что и вспомогательные контакты контактора КМ1 (см.п. 1–5).

2. Управление асинхронным двигателем с фазным рото-

Схема состоит из двигателя М, кнопок SB1, SB2, реле времени KT1, KT2, KT3, контакторов KM2, KM3, KM4, магнитного пускателя KM1, теплового реле KK.

Все реле времени с подачей тока срабатывают без выпержки времени, в при обесточивании их контакты возпришаются с выдержкой. При включении выключателя S

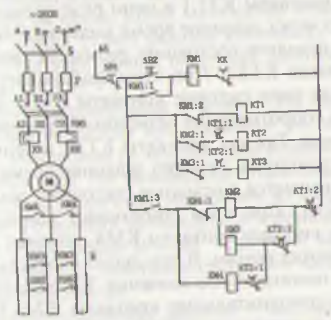


Рис. 1.3.18. Схема управления асинхронным двигателем с фазным ротором.

ток от фазы А, контакты КМ1:2 и реле времени КТ1 поступает на нейтральный провод N. При этом срабатывает тепловое реле КТ1, замыкает свои контакты КТ1:1 и размыкает КТ1:2. После этого срабатывает реле КТ2, замыкает свои контакты КТ2:1 и размыкает КТ2:2. Теперь срабатывает реле КТ3 и замыкает свои контакты КТ3%: 1. Таким образом, цепь управления готова к запуску двигателя.

Для запуска двигателя нажимается кнопка SB2. Ток от фазы А через контакты SB2, обмотку магнитного пускателя КМ1, контакты теплового реле КК проходит на нейтральный провод N. При этом срабатывает магнитный пускатель и: 1) замыкает свои силовые контакты КМ1, через которые трехфазный ток подается на двигатель и он начинает вращаться; 2) замыкает дополнительные контакты КМ1:3 для подготовки к работе контакторов КМ2, КМ3 и КМ4; 3) замыкает дополнительные контакты КМ1:1, блокируя кнопку, что позволяет отпустить её; 4) размыкает свои контакты КМ1:2, размыкая цепь реле времени КТ1. Через заданное время выдержки КТ1 возвращается в исходное состояние, размыкая свои контакты КТ1:1 и замыкая КТ1:2. В результате этого срабатывает контактор КМ2, замыкая свои силовые контакты КМ2. Это ведет к уменьшению сопротивления резисторов, подключенных к обмотке ротора. В результате скорость двигателя возрастает.

Так как контакты КТ1:1 в цепи реле времени КТ2 разомкнуты, то через заданное время выдержки это реле возвращается в исходное состоящие, размыкая свои контакты КТ2:1 и замыкая КТ2:2. При этом срабатывает контактор КМ3, замыкая свои силовые контакты КМ3. Это ведет к уменьшению сопротивления резисторов с увеличению скорости двигателя. Так как контакты КТ2:1 в цепи реле времени КТ3 разомкнуты, то через заданное время выдержки это реле возвращается в исходное состояние, замыкая свои контакты КТ3:1. При этом срабатывает контактор КМ4, замыкая свои силовые контакты КМ4, которые накоротко замыкают обмотку ротора. В результате скорость двигателя возрастает до номинального значения. Контактор КМ4 размыкает свои дополнительные контакты КМ4:1, которые разрывают цепь контакторов КМ2 и КМ3.

ГЛАВА 14

электронные лампы

14.1. Электронная эмиссия. Катоды

В электронных лампах электрический ток создается за счет поболных электронов. С появлением полупроводниковых приборов применение электронных ламп стало ограниченным.

Во всех электронных лампах источником свободных электронов является катод. Явление выхода электронов из катода называется электронной эмиссией. Существуют следошие виды электронных эмиссий:

1. Термоэлектронная эмиссия — это явление выхода электронов из нагретого металла (катода). В нагретом катоде корость движения электронов увеличивается. При этом ристет количество электронов, выходящих из катода. При отсутствии внешнего электрического поля эти электронов гобираются около катода, так как их притягивают образовилинеся положительные ионы катода. Часть электронов попращаются на катода. Когда количество электронов, вымлящих из катода, станет равным количеству возвращающихся на катод электронов, наступает динамическое равновесие (рис. 14.1 в).

2. Вторичная электронная эмиссия — это явление выхоти электронов из катода при ударении об него быстрых первичных электронов (и ионов). Под воздействием удара из катода вылетают так называемые вторичные электроны. Япление выхода вторичных электронов из катода при бомпрлировке его ионами используется в ионных приборах.

3 Фотоэлектронная эмиссия — явление выхода электронов из катода под действием света. Это явление испольнуется в фотоэлементах.

4 Электростатическая эмиссия — это явление выхода поктронов из катода под действием сильного электричес-

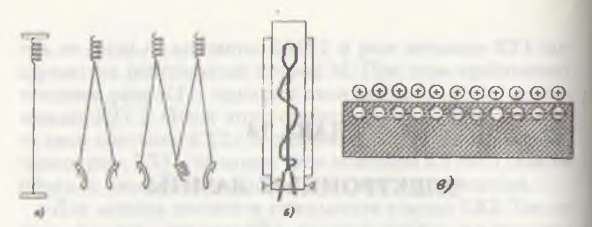
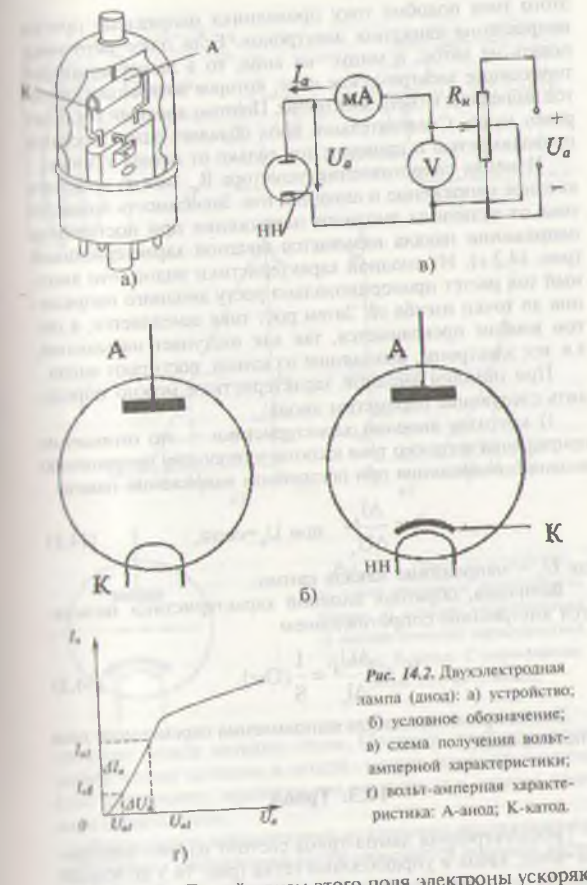


Рис. 14.1. Катоды электронных ламп: а) катоды непосредственного нагрева; б) катоды косвенного нагрева; в) электронный процесс на поверхности катода при его нагреве: 1-нить накала; 2-катод.

кого поля. Катоды бывают непосредственного и косвенного нагрева. Катод непосредственного нагрева (рис. 14.1а) выполняется из проволоки гугоплавкого металла. Нить катода нагревается током (обычно постоянным). Они нагреваются быстро и уже через 2-3 с. начинают излучать электроны. Их нельзя нагревать, пропуская переменный ток, так как в этом случае анодный ток начнет изменяться в соответствии с частотой этого тока. Катоды косвенного подогрева (рис. 14.6) изготовляются в виде металлического цилиндра, на наружную поверхность которого наносится активированный (обычно оксидный) слой. Этот слой уменьшает работу (температуру) выхода электронов. Например, оксидный слой уже при температуре 600°C начинает излучать электроны. Ток (обычно переменный) пропускается через нить накала, теплом которого нагревается катод. Так как катоды косвенного подогрева обладают большой инерцией, то их можно подогревать переменным током.

14.2. Двухэлектродная лампа (рис. 14.2)

Двухэлектродная лампа-диод состоит из анода и катода, размещенных в металлическом или стеклянном баллоне, из которого выкачан воздух. Для изучения принципа работы диода воспользуемся схемой на рис. 14.2 в. Подав анодное напряжение между анодом и катодом полюсом к аноду и минусом к катоду, создадим электрическое поле между



электродами. По действием этого поля электроны ускоряют свое движение к аноду и создают анодный ток $\mathbf{l_a}$. Движение

этого тока подобно току проводника направлено против направления движения электронов. Если плюс источника подать на катод, а минус—на анод, то в лампе возникает тормозящее электрическое поле, которое возвращает на катод вышедшие из него электроны. Поэтому анодный ток будет равен нулю. Следовательно, диод обладает односторонней проводимостью и проводит ток только от катода к аноду.

Изменяя сопротивление резистора R₃, можно изменять анодное напряжение и анодный ток. Зависимость анодного тока от величины анодного напряжения при постоянном напряжении накала называется анодной характеристикой (рис. 14.2 г). Из анодной характеристики видно, что анодный ток растет пропорционально росту анодного напряжения до точки изгиба её. Затем рост тока замедляется, а потом вообще прекращается, так как наступает насыщение, т.е. все электроны, выходящие из катода, достигают анода.

При помощи анодной характеристики можно определить следующие параметры диода:

1) крутизну анодной характеристики — это отношение приращения анодного тока к соответствующему приращению анодного напряжения при постоянном напряжении накала

$$S = \frac{\Delta I_*}{\Delta U_*} \quad \text{при } U = \text{const.}$$
 (14.1)

где U_{κ} — напряжение накала катода.

Величина, обратная анодной характеристики называется внутренним сопротивлением

$$R_{_1} = \frac{\Delta U_*}{\Delta I_*} = \frac{1}{S}(O_M). \tag{14.2}$$

Диоды применяются для выпрямления переменного тока в постоянный.

14.3. Триод

Трёхэлектродная лампа-триод состоит из трёх электродов-анод, катод и управляющая сетка (рис. 14.3 а). Управляющая сетка выполняется из никелевой проволоки в виде спирали вокруг катода. Значит, электроны из катода на анол

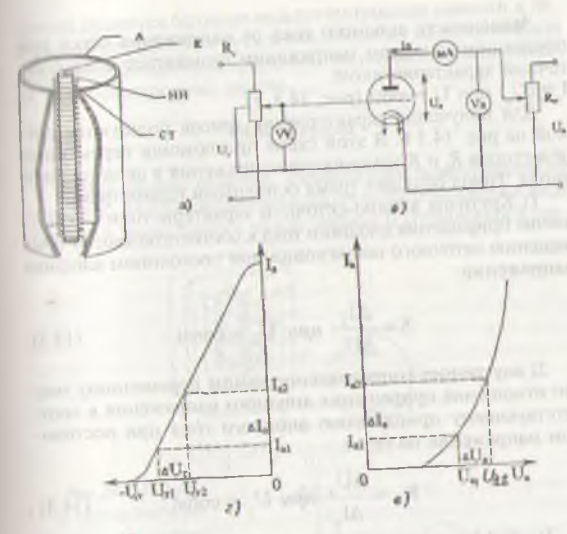




Рис. 14.3. Триод: а) устройство; б) схема получения характеристик триода; в) анодная характеристика; г) анодно-сеточная характеристика. А-анод; К-катод; С-управляющая сетка; НН-нить накала.

проходят между витками сетки. Поэтому, изменяя напряжение между катодом и сеткой, можно изменять количество электронов, пролетающих на анод, т.е. можно изменять анодный ток.

Зависимость анодного тока от анодного напряжения при постоянном напряжении сетки называется анодной характеристикой.

 $1 = f(U_a)$ при $U_c = \text{const}$ (рис. 14.3 в).

Зависимость анодного тока от напряжения сетки при постоянном анодном напряжении называется анодно-сеточной характеристикой:

 $I_a = f(U_c)$ при $U_a = \text{const}$ (рис. 14.3. г).

Для получения характеристик триода пользуются схемой на рис. 14.3 б. В этой схеме при помоши переменных резисторов R_a и R_a изменяются напряжения в цепях сетки и анода. Триод обладает трёмя основными параметрами:

 Крутизна анодно-сеточной характеристики — отношение приращения анодного тока к соответствующему приращению сеточного напряжения при постоянном анодном напряжении

 $S = \frac{\Delta I_*}{\Delta U} npu \ U_* = const \ ; \tag{14.3}$

2) внутреннее сопротивление лампы переменному току это отношение приращения анодного напряжения к соответствующему приращению анодного тока при постоянном напряжение на сетке

$$R_{i} = \frac{\Delta U_{i}}{\Delta I_{a}} npu \ U_{i} = const;$$
 (14.4)

 коэффициент усиления лампы это отношение приращения анодного напряжения к соответствующему приращению сеточного напряжения при постоянном приращении анодного тока:

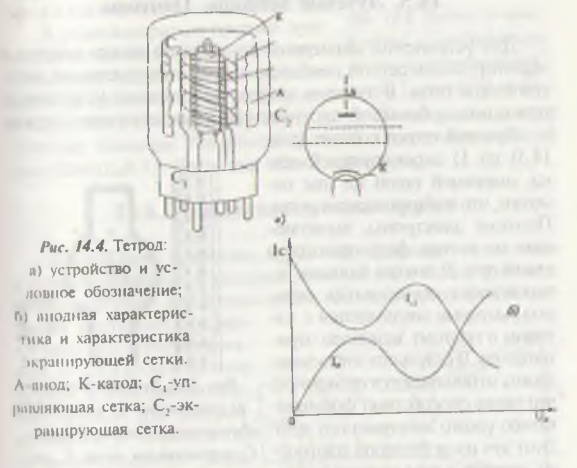
$$\mu = \frac{\Delta U}{\Delta U} npu \Delta I_s = const.$$
 (14.5)

Триоды применяются в электронных усилителях и генераторах. Способность триода усиливать сигналы можно объяснить следующим образом. Анодный ток лампы зависит от анодного и сеточного напряжений. Сетка ослабляет действие анода. Насколько толстой будет сетка, настолько будет сильней ее воздействие. Одни и те же изменения анодного тока можно достичь как большими изменениями напряного напряжения, так и небольшими изменениями напряжения сетки. Поэтому в электронных усилителях, подавая небольшой входной сигнал в цепь сетки, управляют большим выходным сигналом (анодным током). Недостатками

приода являются большие междуэлектродные емкости и небыльной коэффициент усиления. Поэтому на практике для шмучения больших коэффициентов усиления применяются многоэлектродные лампы.

14.4. Тетрод

Тетрод состоит из анода, управляющей и экранирующей сегок (рис. 14.4 а). Экранирующая сетка изготовляется в виде спирали и располагается между анодом и управляющей сет-



кой. Экранирующая сетка уменьшает междуэлектродные емкости и увеличивает коэффициент усиления. На экранирующую сетку подается положительное напряжение, примерно $0.5\ U_{\rm s}$. Под воздействием положительных потенциалов анода и экранирующей сетки электроны с большой силой ударяются об анод и выбивают из него вторичные электроны. Так как скорость вторичных электронов небольшая, они притянивногся электродом (анодом или экранирующей сеткой) с большим положительным потенциалом. При работе лампы

анодное напряжение может изменяться в соответствии с изменением входного сигнала и в отдельные моменты может стать меньше напряжения экранирующей сетки. В эти моменты вторичные электроны притягиваются экранирующей сеткой. Это ведет к резкому увеличению тока экранирующей сетки и уменьшению анодного тока. Данное явление носит название динатронного эффекта (рис. 14.4 б). Динатронный эффект искажает форму усиливаемых сигналов. Поэтому тетроды в качестве усилительных ламп не применяются.

14.5. Лучевые тетроды. Пентоды

Для устранения динатронного эффекта между анодом и экранирующей сеткой необходимо создать тормозящее электрическое поле. В лучевом тетроде это явление устраняется при помощи большой плотности пространственного заряда.

Лучевой тетрод состоит (рис. 14.5) из 1) экранирующей сетки, имеющей такой же шаг намотки, что и управляющая сетка. Поэтому электроны, вылетающие из катода формируются в узкий луч; 2) внутри баллона установленых специальных экранов, которые соединяются с катодом и поэтому заряжены отрицательно. В результате этого электроны отталкиваются от экранов, что также способствует формированию узкого электронного луча. обозначение. А-анод; Э-экран; Этот луч из-за большой плотнос- С,-управляющая сетка; С,-экти зарядов в нем создает в пространстве эффект неподвижного

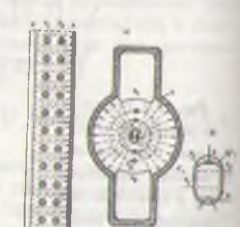


Рис. 14.5. Лучевой тетрод: а) устроиство; о) условное ранирующая сетка; К-катол.

отрицательного объемного заряда, который отталкивает назал на анод вторичные электроны. Тем самым устраняется динатронный эффект. Однако, при малых токах в лучевом тетроле также возникает динатронный эффект. Поэтому лучевые тетроды применяются в качестве усилительных ламп большой монности (например, 6П36С, 6П45С).

Для устранения динатронного эффекта в пентодах между анодом и экранирующей сеткой устанавливается защитная сетки, которая соединяется с катодом и имеет относительно большой шаг намотки. Так как сетка заряжена отрипательно, то она будет отталкиипть назад на анод вторичные элекпроны. Защитная сетка улучшает характеристики лампы. Пентоды имеил большой коэффициент усиления, достигающий нескольких тысяч. Поэтому они широко применяются в высокочастотных усилителях.

В радиоаппаратуре широко применяются комбинированные и многоссточные лампы. В баллонах таких лими располагаются по несколько сетка; С,-зашитная сетка.



Рис. 14.6. Пентод: А-анод; К-катод; С,-управляющая сетка; С,-экранирующая

комплектов рассмотренных выше ламп. Поэтому они имеют двойные названия. Например, двойной диод-триод, двойной диод-пентод и т.д. Часто они имеют один катод.

14.6. Электронно-лучевые трубки

Электронно-лучевыми трубками называют электровакуумные приборы, в которых используется поток электронов в виде луча или пучка лучей. По принципу фокусиро-

вания и отклонения разпичают электростатические и электромагнитные грубки. В электростатических трубках для фокусирования и отклонения луча используется электрическое поле, а в электромагнитных - магнитное поле. Электронно-лучевая трубка с электрическим отклонением состоит из колбы, электронной пушки системы отклонения и экрана (рис. 14.7). На части стенки колбы изнутри нанесен графитовый

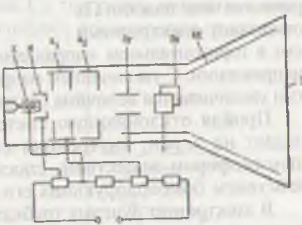


Рис. 14.7. Электростатическая электронно-лучевая трубка: К-катод; М-модулятор; А,-первый анод; А,-второй анод; АК-аквадаг: Э-экран; П, П -отклоняющие пластины.

слой, называемый аквадагом, который заряжен положительно. Поле аквадага увлекает за собой вторичные электроны, выбиваемые из экрана. Электронная пушка, состоящая из катода, модулятора и двух анодов (A₁ и A₂), из электронного потока формирует узкий луч. Электроны, вышелшие из подгревного катода, проходят через отверстие модулятора, выполненного в виде цилиндра. Изменяя отрицательный потенциал модулятора, можно управлять плотностью электронного потока, а, следовательно, яркостью экрана. Первый анод, находясь под положительным потенциалом в несколько сотен вольт, уско-

ряет движущийся от катода поток электронов. Второй анод, находящийся под положительным потенциалом несколько тысяч вольт, еще больше ускоряет поток электронов и формирует узкий электронный луч. Выйдя из поля второго анода, электронный луч попадает в отклоняющую систему, состоящую из двух пар пластин Пх и Пу. Электрическое поле пластин Пх отклоняет электронный

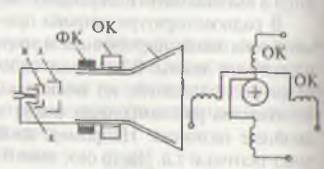


Рис. 14.8. Электронно-лучевая трубка с электромагнитным отклонением: К-катод; М-модулятор; А-анод (первый); ФК-фокусирующая катушка; ОК-отклоняющая катушка; АК-аквадаг (второй анод).

луч в горизонтальном направлении, а Пу — в вертикальном направлении. С увеличением напряжения отклоняющих пластин увеличивается величина отклонения электронного луча.

Пройдя отклоняющую систему, электронный луч попадает на экран, внутренняя сторона которого покрыта люминофором-веществом, способным светиться под воздействием бомбардирующих его электронов.

В электронно-лучевых трубках с электромагнитным отклонением роль второго анода выполняет аквадаг. Оба анода служат для ускорения электронного потока. В отклоняющей системе вместо пластин применяются катулики (рис. 14.8), которые установлены у горловины колбы. Иногда устанавливается также фокусирующая катушка, которая служит для дополнительной фокусировки электронного потока.

ГЛАВА 15

ГАЗОРАЗРЯДНЫЕ ПРИБОРЫ

15.1. Виды газового разряда

Процесс прохождения тока через газовую среду называется газовым разрядом. Несамостоятельным газовым разрядом называется возникновение заряженных частиц под воздействием света или нагревания катода. Если разряд возникает только под воздействием напряжения, приложенного между электродами, то он называется самостоятельным газовым разрядом. Вольт-амперная характеристика пазового разряда показана на рис. 15.1. При увеличении напряжения между анодом и катодом до значения Uз ток в нени прибора будет небольшим, так как он в это время создается только за счет электронов, вышедших из катода (рис. 15.1. часть Оа кривой). Когда напряжение станет равным напряжению зажитания Uз ток резко возрастает, так кик (точка а) атомы газа начинают ионизироваться, от них

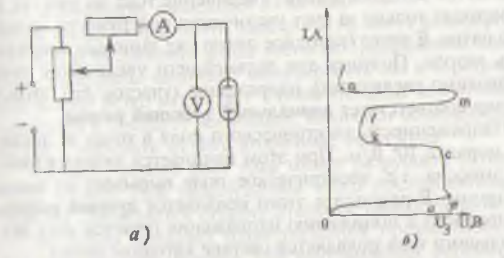


Рис. 15.1. Вольт-амперная характеристика газового разряда и схема её получения: а) скема получения газового разряда; б) вольт-амперная характеристика газового разряда.

отделяются один или несколько электронов, а сам атом превращается в положительный ион. Отделившиеся электроны увеличивают ток в газе. Некоторые электроны соединяются с нейтральными атомами, что приводит к образованию отрицательных ионов. Одновременно с ионизацией идет процесс образования нейтральных атомов, называемый рекомбинацией. При увеличении тока напряжение немного падает (рис. 15.1 б, часть а в с кривой). Это объясняется тем, что при увеличении тока возрастает падение напряжения на внутреннем сопротивлении прибора. Электроны из катода и отрицательные ионы двигаются к аноду, иоложительные ионы — к катоду. Положительные ионы, ударяясь об катод, нагревают его и выбивают из него вторичные электроны, которые, двигаясь к аноду, ионизируют газ. Поэтому ток в анодной цепи резко возрастает.

Часть Оав кривой разряда соответствует темновому разряду, который можно определить лишь по показаниям приборов.

Части СК кривой разряда соответствует тлеющему разряду. При этом напряженность над поверхностью катода сильно увеличивается. Электроны, обладая большой энергией, интенсивно ионизируют газ. Одновременно усиливается процесс рекомбинации, и лампа начинает светиться.

Структура поверхности катода всегда будет различной. Поэтому ионизация над поверхностью катода на различных участках будет различной. На участках, где усиливается ионизация, будет увеличиваться температура, и над ними появляется катодное пятно. Увеличение тока на участке к/ происходит только за счет увеличения поверхности катодного пятна. В точке / катодное пятно уже занимает всю площадь катода. Поэтому для дальнейшего увеличения тока необходимо увеличивать напряжение (участок /m). Этому участку соответствует аномальный тлеющий разряд.

Напряженность электрического поля в точке m достигает порядка 108 В/м. При этом начинается автоэлектронная эмиссия, т.е. электрическое поле вырывает из аноли электроны. В результате этого появляется дуговой разряд, что приводит к понижению напряжения (участок mn). Изза большого тока появляется светлое катодное пятно.

Кроме вышеуказанных разрядов бывают коронный и ис кровой разряды. Коронный разряд возникает на поверхности проводов тонкого диаметра и на заостренных частях проводов, так как в этих условиях легко достичь больших инпряженностей электрического поля. Для получения искрового разряда необходимо увеличивать напряжение между лиумя электродами до величины пробивного напряжения. Искровой разряд усиливает движение воздуха между электродами и резко увеличивает давление. Поэтому при разряле появляется свойственный ему характерный шум.

15.2. Газотрон

Газотрон — это двухэлектродный газоразрядный прибор, выполненный в виде стеклянного баллона, заполненного

ипертным газом или парами ртути. Каголы могут быть подогревными (в газотронах большой мощности) и прямого накала. Анод выполняется в виде диска из мсталла или графита. В мощных газотронах анод выполняется в виде чаши, накрывающей катод. Для уменьшения работы выхода электронов поверхность катода покрывается барием или цезием (рис. 15.2). При нормальном напряжении накала и постепенном увеличении иапряжения анода ток в анодной цели будет очень мал, так как в этот момент он обеспечивается только за счет электронов, вышедших из катода.

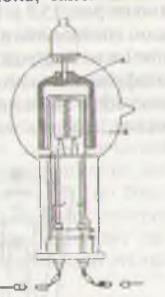


Рис 15.2 Газотрон

Из-за малой скорости эти электроны не могут ионизировать газ. Когда напряжение анода достигнет напряжения зажигания, электроны начинают ионизировать газ и в результате ток лампы резко возрастает. Положительные ионы, образовиниеся в процессе ионизации, начинают бомбардировать катод и выбивать из него вторичные электроны.

Однако, резкий рост тока может разрушить активный слой катода. Для недопущения этого последовательно с лампой соединяется ограничительное сопротивление.

Газотрон обладает односторонней проводимостью и поэтому он применяется для выпрямления переменного тока в постоянный. Достоинством газотрона перед диодами и кенотронами является меньшее падение напряжения в нем (не более 10 вольт) и очень маленький обратный ток. Поэтому газотроны широко применяются в высоковольтных выпрямителях. Недостатком газотронов является необходимость разогрева катода перед работой.

15.3. Тиратрон (рис. 15.3)

Тиратрон — это трехэлектродный газоразрядный прибор, широко применяющийся в устройствах автоматики. Существуют тиратроны с накаленным катодом (несамостоятельный дуговой разряд) и холодным катодом (тлеющий разряд). Устройство тиратрона с накаленным катодом показано на рис. 15.3 а. Баллон тиратрона заполняется инертным газом (низковольтные приборы), парами ртуги (высоковольтные) или водородом (импульсные приборы). Поверхность вольфрамового катода покрывается барием или цезием. Анод чаше всего выполняется из никеля, сетка — в виде диска из никеля, графита или молибдена с отверстиями.





Рис. 15.3. Тиратрон: а) тиратрон с накаленным катодом: А-анод, К-катод, С-сетка; б) общий вид тиратрона с колодным катодом: А-анод, К-катод, УЭ-управляющий электрод.

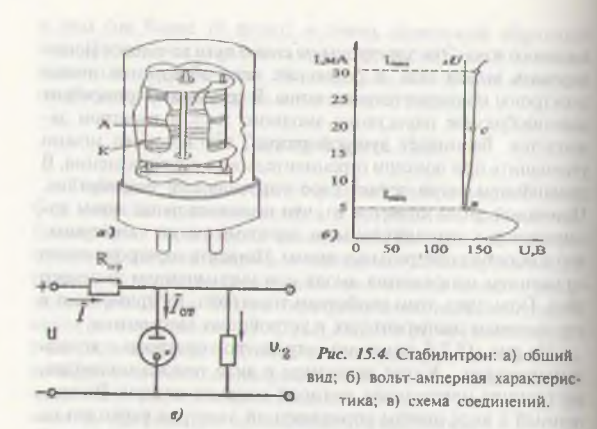
При подаче на анод положительного по отношению к катоду потенциала, на сетку — большого отрицательного потенциала электрическое поле сетки будет препятствовать движению электронов к аноду. При уменьшении отрицательного потенциала сетки количество электронов, достигающих анода, увеличивается, что ведет к увеличению

пподного тока. Эти электроны на своём пути начинают ионишровать атомы газа, в результате чего образуются новые электроны и положительные ионы. В результате происходит апиинообразное нарастание анодного тока и тиратрон зажитается. Возникает дуговой разряд, ток которого можно уменьшить при помощи ограничительного сопротивления. В дшънейшем сетка теряет свое управляющее воздействие. Причиной этого является то, что положительные ионы содинияются с отрицательными зарядами сетки (электронами) и образует нейтральные атомы. Погасить тиратрон можно снижением напряжения анода или уменьшением анодного тока. Пользуясь этим свойством тиратрона, их применяют в управляемых выпрямителях и устройствах автоматики.

На рис. 15.3 б показано устройство тиратрона с холодным катодом. Катод выполнен в виде полого цилиндра, внутренняя поверхность которой покрыта цезием. Выполненный в виде шайбы управляющий электрод укреплен на юрце анода, который выполнен в виде цилиндрической стойки. На анод подается положительное напряжение, величина которой меньше напряжении зажигания, но больше напряжения горения. Если на управляющий электрод подать положительный импульс, то в лампе возникает тлеющий разряд. Чтобы погасить тиратрон необходимо отключить анодное напряжение.

15.4. Стабилитрон (рис. 15.4)

Стабилитрон — это двухэлектродный с холодным катодом прибор тлеющего разряда, служащий для стабилизаши напряжения постоянного тока. Внутренняя поверхность
катода, выполненного в виде полого цилиндра, покрыта
пктивным слоем. Анод в виде цилиндрической стойки успновлен в центе катода. Рабочий режим соответствует прямолинейной части вольтамперной характеристики лампы (рис. 15.4 б). Схема подключения стабилитрона показапа на рис. 15.4. в. Последовательно со стабилитроном подключается ограничительное сопротивление. Параллельно
стабилитрону подключается нагрузка R_и Часть входного
пипряжения падает на ограничительном сопротивлении, а
остольная часть на самом стабилитроне (U_{ве} = U_{ве} + U_{се}). Вход-

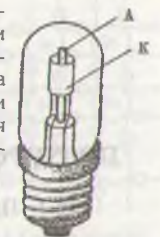


ное напряжение не должно быть меньше напряжения зажигания стабилитрона и должно быть больше напряжения стабилизации. При увеличении входного напряжения ток на стабилитроне и ограничительном сопротивлении также увеличивается. На стабилитроне напряжение почти не изменяется. При уменьшении входного напряжения ток в цепи уменьшается, падение напряжения на ограничительном сопротивлении уменьшается, а напряжение стабилитрона не изменяется. Таким образом, напряжение на нагрузке, подключенной параллельно стабилитрону, не изменяется. Стабилитроны выпускаются на напряжение от 70 вольт до 1 кВ и на токи от 5 до 30 мА.

15.5. Неоновая лампа

Неоновая лампа — это тлеющего разряда газоразрядная лампа (рис. 15.5). Лампа представляет собой стеклянный баллончик, заполненный инертным газом. Внутри баллони установлены два металлических электрода. Неоновые лампы применяются как индикаторы наличия напряжения переменного и постоянного тока. В цепи переменного тока

наблюдается попеременное свечение электродов с частотой переменного тока. В цепи постоянного тока свечение происходит только у одного из электродов. Неоновая лампа может светиться также при ее размещении в сильном электрическом поле. Неоновая лампа иногда применяется в генераторах пилобразного напряжения.



15.6. Лампа дневного освещения

Лампа представляет собой стеклянную трубку, из которой выкачан воздух. С внутренней стороны трубка покрыта тонком

Рис. 15.5. Неопован пампи.

слоем люминофора. Трубка заполняется артоном или парами ртути. На концах трубки установлены проволочные электроды (рис.15.6.). В схему лампы входят дроссель ДР, стартер Ст и конденсатор С. Стартер представляет собой маленькую неоновую лампу, один из электродов которой представляет собой биметаллическую пластину.



Рис. 15.6. Газосветная лампа (лампа дневного света): Др-дроссель; Ст-стартер: 1-биметаллическая пластина; 2-электроды стартера; 3-электроды лампы.

При подключении в сеть между электродами возникает разряд. При этом биметаллический электрод быстро нагревается и замыкается с другим электродом. После их замыкания в неоновой лампе разряд прекрашается и электроды размыкаются. Во время разряда стартера электроды лампы успевают нагреться, возникает электрические разряд и лампа загорается. Тавнутри лампы начинает светиться частично фиолетовым, но

польшей частью ультрафиолетовым светом. Лучи этого света, пилая на люминофор, преобразуются в дневной видимый свет. Поэтому они называются лампами дневного света. Они дают рашномерный, глазу приятный свет. К тому же они экономичны и по этим причинам широко применяются на предприятиях, в организациях, в жилых помещениях.

ГЛАВА 16

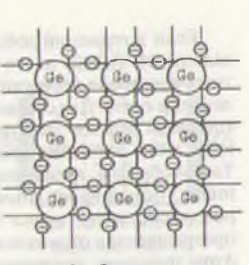
ПОЛУПРОВОДНИКОВЫЕ ПРИБОРЫ

16.1. Проводимость полупроводников

По степени электропроводности полупроводниковые материалы занимают промежуточное положение между проводниками и диэлектриками. Разница между процессами возникновения электропроводности в проводниках и полупроводниках очень большая. Например, при нагревании проводников их сопротивление увеличивается, а в полупроводниках уменьшается. При температуре близкой к абсолютному нулю удельное сопротивление проводников уменьшается и они могут перейти в сверхпроводимость, а удельное сопротивление полупроводников увеличивается и приближается к удельному сопротивлению диэлектриков. Если в чистый металл добавить примесь, то удельное сопротивление полученного сплава увеличивается. Если в полупроводник добавить примесь, то его удельное сопротивление резко уменьшается. Кроме того, на проводимость полупроводников влияют внешнее электрическое поле и лучи. В электронике применяются такие полупроводниковые материалы, как германий, кремний, теллур, арсенид галлия.

Проводимость любого вещества обеспечивается движением валентных электронов. Металлы (проводники) обладают высокой электропроводностью, так как у них всегда есть свободные электроны. В полупроводниках все валентные электроны связаны кристаллической решеткой и поэтому не могут принимать участия в создании тока. Например, в четырехвалентном германии каждый атом стремиться связаться с четырьмя другими атомами (рис.16.1). При этом четыре свободных электрона каждого атома создают связи со свободными электронами четырех соседних атомов. Такая связь называется парноэлектронной (ковалентной).

Однако, под действием света, тепла энергия свободных электронов может стать достаточной, чтобы они оторвались от атома. В результате в полупроводнике проянляются беспорядочно движущееся электроны. Под действием внешнего электрического поля свободные электроны приобретают направленное движение и соудают электронную проводимость. Рис. 16.1. Связи в кристал-В атомах, из которых отделились лической структуре германия. свободные электроны, образуют-



ся свободные (вакантные) места, называемые дырками. Дырку может занять другой свободный электрон, отделившийся от соседнего атома. В результате образуется другая дырка, которую может занять другой свободный электрон и т.д. Таким образом, под воздействием внешнего электрическо-10 поля дырки двигаются в направлении, противоположном движению электронов. Значит, дырки перемещаются вместе с положительным зарядом. В полупроводниках электропроводность, связанная с движением дырок, называется лырочной проводимостью. Электропроводность чистых, беспримесных полупроводников называется собственной элекгропроводностью.

16.2. Проводимость примесных полупроводников

Для создания полупроводниковых приборов применяются примесные полупроводники, так как их электропроводность намного больше чем у собственных полупроводников. Например, если в германий добавить пятивалентный мышьяк, то четыре его валентных электрона с четырьмя птомами германия образует ковалентные связи (рис. 16.2 а). Пятый валентный электрон мышьяка, являясь лишним в пруктуре связей, слабо связан с узлом и под действием тепповых колебаний огрывается от ядра и становится свободным электроном. Примесь мышьяка увеличивает электронную проводимость и называется донорной примесью. Элекгронная проводимость называется п-проводимостью (от перnoth буквы слова negatiiv-отрицательный).

Если в германий добавить трехвалентный индий, то его три валентных электрона образуют три ковалентные связи. Для создания четвертой связи берется электрон у соседнего атома германия (рис. 16.2 б). Таким образом, трехвалентный атом индия, получивший лишний электрон у соседнего атома германия, превращается в отрицательный ион. Атом германия, потерявший электрон, превращается в дырку. Таким образом, германий, обогащенный трехвалентным индием, создает дырочную проводимость, называемую р-проводимостью (о первой буквы слова positive-положительный). Примесь, создающая дырочную проводимость, называют акцепторной.

Носители зарядов, определяю- кая структура примесного щие электропроводность примесно- полупроводника: а) с дого полупроводника, называются ос- норной примесью; б) с акновными носителями зарядов (элек- цепторной примесью. троны в п-полупроводнике, дырки в р-полупроводнике)

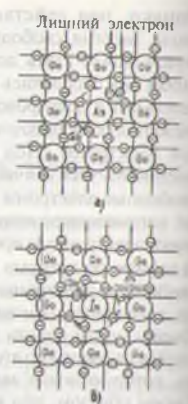


Рис. 16.2. Кристалличес

Носители зарядов противоположных знаков в этих полупроводниках называются неосновными носителями зарядов.

16.3. Электронно-дырочный переход

Электронно-дырочный переход (сокращенно р-п переход) является основным элементом полупроводниковых приборов. Он образуется при контактном соединении р и п полупроводников (рис. 16.3).

Электроны из п-области переходят в р-область и начинают рекомбинировать с дырками этой области. Точно так же дырки из р-области переходят в п-область и начинают рекомбинировать с электронами. Таким образом, в р-п переходе кратковременно возникает диффузионный ток (диф фузионным током называется движение основных носите лей зарядов из мест с большей их концентрацией в места с меньшей концентрацией).

Когда электроны уходят из п-области, там остаются нескомпсисированные положительные аряды донорных примесей. Когда дырки уходят из р-области, 🛭 там остаются нескомпенсированные отрицательные заряды акцепторных примесей. Таким образом, между р и п областями возникает разность потенци-

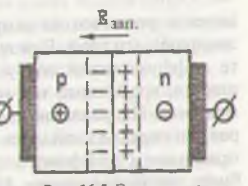


Рис 16.3. Электроннодырочный переход

алов, называемая потенциальным барьером. Возникает электрическое поле, направленное от п-области к р-области. Это поле препятствует диффузии основных носителей зарядов. В результате этого диффузионный ток резко уменьшается.

В п-области наряду с электронами имеются неосновные носители - дырки. Аналогично, в р-области имеются электроны. Под действием электрического поля потенциального барьера неосновные носители двигаются к гранине р-п перехода, образуя дрейфовый ток (дрейфовым током называется ток, создаваемый движением неосновных носителей зарядов под действием электрического поля).

При отсутствии внешнего электрического поля диффузионный и дрейфовые токи практически равны и поэтому сумма зарядов, проходящих через p-n переход равна нулю. Таким образом, на границе р-п перехода из-за малого количества носителей зарядов образуется слой, обедненный подвижными носителями, и называется он запирающим слоем.

Подключим источник тока плюсом к п-области, мину-

n 0

Рис. 16.4. Электронно-дырочный переход при обратном включении.

сом к р-области (рис.16.4.). В этом случае поля внешнего источника и потенциального барьера складываются. Поэтому количество основных носителей зарядов, способных преодолеть отталкивающее лействие результирующего поля уменьшается. Основные носители зарядов будут смешаться в разные стороны от границы р-п перехода. Это ведет к увеличению ширины запирающего слоя. В результате диффузионный ток уменьшается, дрейфовый ток не изменяется. Направление тока через р-п переход совпадает с направлением дрейфового тока и будет очень маленьким. Называется этой ток обратным током р-п перехода.

Рис. 16.5. Электроннодырочный переход при прямом включении.

Теперь подключим источник

прямом включении.

тока плюсом к р-области, а минусом к п-области (рис. 16.5.).

В этом случае поле внешнего источника тока будет направлено против поля потенциального барьера и уменьшит его. Диффузия основных зарядов через р-п переход усиливается, что ведет к увеличению диффузионного тока и уменьшению дрейфового тока. Направление результирующего тока будет совпадать с направлением диффузионного тока. Такое подключение называется прямым подключением р-п-перехода, и ток будет называется прямым током. В полупроводниках концентрация основных носителей зарядов на несколько порядков выше, чем концентрация неосновных носителей. Поэтому пря-

мой ток будет больше обратного тока в сотни тысяч раз. Таким образом, р-и-переход при прямом подключении проводит ток, а при обратном подключении не пропускает ток, т.е. он обладает односторонней проводимостью.

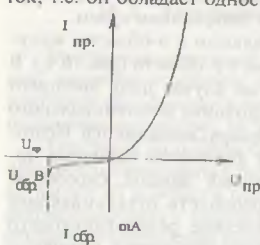


Рис. 16.6. Вольт-амперная характеристика электронно-дырочного перехода.

Зависимостью. Зависимостью. Зависимостью тока р-п-перехода от напряжения, приложенного к нему, называется вольт-амперной характеристикой перехода (рис. 16.6). Она состоит из прямой и обратной ветвей. Начальная часть прямой ветви нелинейна. Это объясняется тем, что при малых прямых напряжениях имеется небольщой потенциальный барьер, ток через переход определяется разностью диффузионного и

дрейфого тока. Но уже при десятых долях вольта сопротивпение p-п-перехода исчезает, и прямой ток определяется только активным сопротивление p и n-областей. Поэтому эта часть прямой ветви имеет линейный характер.

При увеличении обратного напряжения U_{cop} ток через p-n-переход будет небольшим (микроамперы), так как сопротивление перехода очень большое. Когда обратное напряжение превышает некоторое значение U_{cop} называемое пробивным, то обратный ток резко возрастает, так как происходит пробой перехода. Различают электрический и тепловой пробой. Электрический пробой для перехода не опасен и при уменьшении обратного напряжения переход восстанавливает свои свойства. При тепловом прбое переход разрушается от перегрева.

16.4. Полупроводниковые диоды

Полупроводниковым диодам называют прибор с двумя полупроводниковыми областями разного типа электропронодности и одним p-n-переходом. Они бывают точеные и плоскостные.

На торце стеклянного корпуса точеного диода (рис. 16.7) крепится кристалл германия или кремния плошадью 1 мм² и толщиной 0,5 мм. К кристаллу приткнута стальная или бронзовая игла, легированная акцепторной примесью.

Для формовки прибора через иглу и кристалл пропускают импульсы большего тока. При этом конец иглы расплавляется и часть акцепторной примеси переходит в крис-

талл. Вокруг иглы образуется точечная область с дырочной проводимостью. Между кристаллом и этой областью обратуется электронно-дырочный переход. Максимальный прямой ток точенного диода равен 16 мА, максимальное обратное папряжение 50 В. Из-за малой плошади перехода междуэлектродная емкость будет мала (приблизительно 1 пФ).



Рис. 16.7. Точечный диод: 1-зажим; 2-стеклянный корпус; 3-полупроводниковый кристалл; 4-пружина

Плоскостные диоды изготовляются методом сплавления или диффузии. При методе сплавления в донорный полупроводник при температуре 500°С вплавляется таблетка с акцепторной примесью. При этом между кристаллом и таблеткой создается р-п-переход. При диффузионном методе, например, кристалл с донорной примесью помещается в газовую среду с акцепторной примесью. Молекулы акцепторной примесь внедряются внутрь кристалла и создают область с электропроводимостью, противоположной электроводности кристалла. Кристалл германия (рис. 16.8) установлен на держателе, к которому приварен нижний электрод. Верхний электрод соединен с индием через внутренний электрод.



Рис. 16.8. Плоскостный германиевый диод: 1-кристалл германия; 2-кристалл индия; 3-кристаллодержатель; 4-верхний и нижний зажимы; 5-внутренний зажим; 6-металлический корпус; 7-стеклянный изолятор.

Вольт-амперная характеристика диода является основной характеристикой диода и похожа на характеристику р-п-перехода. Основными параметрами диода являются: максимальный прямой ток $I_{\rm пр.м}$ и падение напряжения на диоде $U_{\rm пр}$ максимальное обратное напряжение $U_{\rm обр.м.}$ и обратный ток $I_{\rm обр.м.}$, максимальная мощность рассеяния $P_{\rm pac.}$, меж дуэлектродная емкость, допустимая частота, интервал рибочей температуры. По целевому назначению диоды бывнот выпрямительные, высокочастотные, импульсные, опорные (стабилитроны) и др.

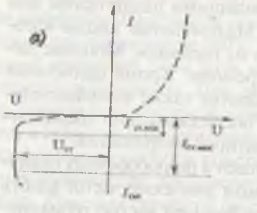
Выпрямительные диоды служат для выпрямления переменного тока в устройствах электропитания. Они бываю миломошные, не требующие отвода тепла, и мощные, рис-

считанные на работу с теплоотводящими радиаторами или принудительным охлаждением. Маломощные диоды изготовляются как из кремния, так и из германия. Мошные диоды изготовляются только из кремния. Кроме одиночных выпрямительных диодов выпускаются также выпрямительные столбы, состоящие из ряда последовательно соединенных диодов для повышения обратного напряжения.

Высокочастотные диоды работают в разнообразных радиоэлектронных устройствах в широком диапазоне частот вплоть до десятков и сотен мегагери. Это большей частью германиевые точечные диоды. Но выпускаются также германиевые плоскостные с миниатюрными р-п-переходами (микросплавные, меза-диоды и др.) и кремниевые с особо малыми обратными токами. Высокочастотные диоды имеют герметичные стеклянные или металлические корпуса с гибкими выводами.

Импульсные диоды применяются в быстродействующих импульсных и логических устройствах. Основной особенностью этих диодов является то, что при изменении полярности напряжения, резком воздействии перепада напряжения (импульса) время рассасывания зарядов очень маленькое (несколько десятых долей наносекунды). Для ускорения переходных процессов кроме снижения междуэлектродных емкостей применяется легирование полупроводника золотом.

Полупроводниковые стабилитроны - это диоды с резким нарастанием обратного тока в точке пробоя и нормированным значением пробивного напряжения. Поэтому они применяются в схемах для стабилизации постоянного напряжения. В германиевых диодах электрический пробой быстро переходит в тепловой. Поэтому в качестве стабилитронов применяются только кремниевые диоды, которые устойчивы к тепловому пробою. На рис. 16.9 приведена вольт-амперная характеристика кремниевого стабилитрона и схема его подключения. Как видно из характеристики при обратном напряжении, равном пробивному U____ исходит электрический пробой перехода. При этом наблюдается резкое возрастание обратного тока при почти неизменном уровне обратного напряжения. В связи с этим в скемах стабилизации стабилитрон подключается в обратном направлении. Параллельно стабилитрону подключается нагрузка $R_{\rm H}$, последовательно — ограничительное (бал-



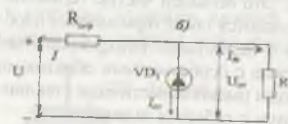


Рис. 16.9. Полупроводниковый стабилитрон: а) вольт-амперная характеристика; б) схема соединений.

ластное) сопротивление $R_{_{\text{огр.}}}$ Если входное напряжение $U_{_{\text{в}}}$ увеличится, то это приведет к увеличению тока через стабилитрон и R ... Избыток входного напряжения падает на $R_{_{010}}$, а напряжение на выходе (на нагрузке $R_{_{11}}$), равное $U_{_{010}}$ не изменяется. Для увеличения напряжения стабилизации можно стабилитроны соединять последовательно.

Варикап - полупроводниковый диод, применяемый в качестве конденсатора, емкость которого зависит от приложенного к нему обратного напряжения (барьерная емкость). Варикапы широко применяются в схемах автоматической настройки частоты, амплитудной и частотной модуляции, в схемах параметрических усилителей.

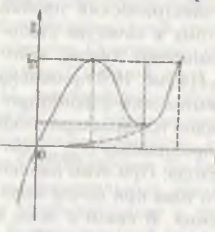


Рис. 16.10. Вольт-амперная характеристика тунельного диола

Туннельный диод - это полупроводниковый диод с высокой концентрацией примеси с узким р-п-переходом (0,01 мкм), в котором на прямой ветви вольт-амперной характеристики имеется участок с отрицательной дифференциальной проводимостью (рис. 16.10). Туннельные диоды применяются для усиления и генерирования колебаний в широком диапазоне частот и как переключательный элемент.

На рис. 16.11 приведены условные обозначения диодов. Для обозначения диодов применяются буквы и цифры. Первая буква или цифра определяет материал полупроводника: 1 или Г - германий, 2 или К - кремний, 3 или А — арсенид галлия. На втором месте стоит буква, определяющая назначение лиода: Д - выпрямительный, А - высокочастотный,



Рис. 16.11. Условные обозначения диодов: 1-выпрямительный диод; 2-высокочастотный диод; 3-варикап; 4-стабилитрон; 5-тунельный диод.

В – варикап, С – стабилитрон, И – туннельный, Ф – фотодиод, II — выпрямительный столб, Л — светодиод. Третий элемент состоит из трех цифр, показывающих область применения: если 101-199, 201-299 и 301-399, то эти диоды имеют средний выпрямленный ток до 0,3 А, от 0,3 до 10 А, свыше 10 А; если 401-499-это высокочастотные диоды; 501-599 — импульсные диоды; 601—699-варикапы. Четвертый элемент — буква, указывающая разновидность диода данного типа.

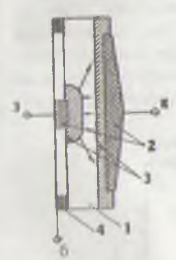


Рис. 16.12. Биполирный р-п-р транзистор: 1-германиевая пластинка; 2-таблетки индия; 3-р-п пе-

16.5. Биполярные транзисторы

Биполярным транзистором называется полупроводниковый прибор с тремя полупроводниковыми слоями и двумя р-п-переходами, в котором ток между переходами обусловлен движением неосновных носителей зарядов. Действие биполярного транзистора связано с использованием носителей обоих знаков (электронов и дырок) - откуда и название биполярный. Они бывают германиевые и кремниевые. На рис. 16.12 изображен плоскостной германиевый транзистор. На пластину п-германия с двух сторон вплавлены таблетки реходы; э-эммитер; индия При этом образуются две р-обк-коллектор; 5-база. ласти Между этими областями и оставшейся частью германия образуются два р-п-перехода. Тонкий слой кристалла германия называется базой. Область, с которой входят заряды в базу называется эммитером. Область, которая притигивает заряды с базы называется коллектором. Толщина базы делается меньше диффузионной длины не основных носителей (расстояние, которое проходит заряд перед рекомбинацией, называется диффузионной длиной). Если в качестве базы применить п-германий или кремний, эмиттерный и коллекторной области выполнить из донорного материала, то образуется транзистор типа р-п-р.

Если в качестве базы применить р-германий или кремний, эмиттерный и коллекторной области выполнить из донорного материала, то образуется гранзистор типа п-р-п. Принцип работы этих транзисторов одинаков, только источник тока подключается к одноименным электродам с разными полюсами.

1. Принцип работы

Принцип работы биполярного транзистора рассмотрим на примере транзистора р-п-р, соединенного по схеме с общей базой (рис. 16.13). При такой схеме включения переход эмиттер-база будет включен в прямом направлении, а переход база-коллектор-в обратном направлении. Начинается переход дырок с эмиттера на базу, а электронов с базы на эмиттер. Концентрация дырок в эмиттере намного больше концентрации электронов в базе. Поэтому встречный поток электронов будет небольшим. Часть дырок соединя-

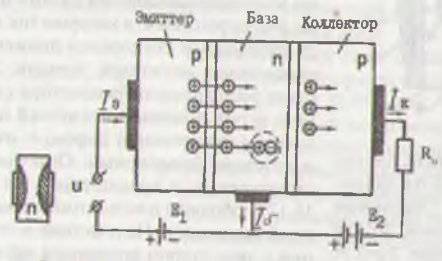


Рис. 16.13. Схема, поясняющая принцип работы биполярного транзистора.

виси с электронами. Уменьшение электронов компенсируется новыми электронами, поступающими на базу из внешней цепи, т.е. возникает ток базы. Большая часть дырок под вининем электрического поля $\mathbf{E}_{\mathbf{k}}$ переходит с базы на колтектор, образуя ток коллектора. Таким образом, для токов правъистора можно написать следующее соотношение.

 $I = I_{\kappa} + I_{6}$ или $I_{6} = I_{9} - I_{\kappa}$. (16.1)

При неизменном напряжении коллектора (U_k =const) отношение приращений токов коллектора и эмиттера на-

$$\alpha = K_i = \frac{\Delta I_k}{\Delta I_s}$$
 npu $U_s = const.$ (16.2)

При соединении транзистора с общей базой коэффициент усиления по току меньше единицы и составляет ст. 0,9-0,95. Изменения тока базы (входного тока) приводит к соответствующим изменениям тока коллектора (выходного тока). Так как эмиттерный переход включен в прямом направлении, а коллекторный — в обратном направлении, то на ток коллектора входное напряжение воздействует сильнее чем выходное.

Зависимость между переменными составляющими токон и напряжений выражается формулой

U = I R и U
$$_{\text{вых}} = I_{\text{к}} R_{\text{ц}} = \alpha I_{\text{s}} R_{\text{ц}}.$$
 (16.3)

Хотя коэффициент усиления по току меньше 1., коэффициенты усиления по напряжению и мощности могут лостигать больших значений. Сопротивление эмиттерного перехода переменному току при его прямом включении мостигает несколько десятков Ом, а сопротивление колекторного перехода при обратном включении несколько сот килоОм. Поэтому в выходную цепь транзистора можно подключить нагрузку большого сопротивления ($R_k >> R_{ax}$). Коэффициент усиления по напряжению

$$K_{ij} = \Delta U_{\text{skr}} / \Delta U_{\text{sk}} = \Delta I_{k} R_{k} / \Delta I_{s} R_{\text{sk}} = \alpha \Delta I_{s} R_{s} / \Delta I_{s} R_{\text{sk}} =$$

$$= \alpha R_{k} / R_{\text{sk}} > 1.$$
(16.4)

Кожфициент усиления по мощности

$$K = K_{u} = \alpha \alpha R_{k}/R_{a_{k}} = \alpha^{2}R_{k}/R_{a_{k}} >> 1.$$
 (16.5)

2. Статические режимы биполярных транзисторов (рис. 16. 14).

Обычно один из электродов является входной ценью, другой – выходной цепью транзистора. Третий электрод является общим для входной и выходной цепей. На входную цепь подключается источник входного сигнала, к выходной цепи-нагрузка. В зависимости от того, какой электрод является общим для входной и выходной цепей, различают три схемы включения транзистора: с общей базой ОБ, с общим эмиттером ОЭ и с общим коллектором ОК. Схема с ОБ была изучена выше при изучении принципа работы транзистора. На рис. 16.14, б приведено семейство входных и выходных характеристик транзистора по схеме с ОБ. За-

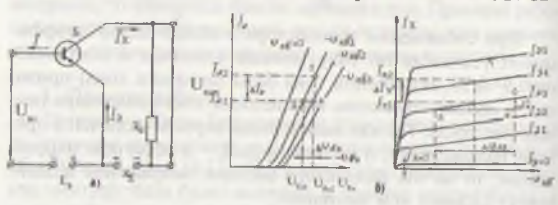


Рис. 16.14. Схема соединения транзистора с общей базой: а) схема соединения; б) входные и выходные характеристики.

висимость тока эмиттера от напряжения эмиттер-база при постоянном напряжении коллектор-база называется входной характеристикой

 $l = f(U_s)$ при $U_{\kappa s} = const.$ Зависимость тока коллектора от напряжения коллектор-база при постоянном токе эмиттера называется выходной характеристикой

 $I_{\kappa} = f(U = \kappa \delta)$ при $I_{\kappa} = const.$

Входные характеристики алогичны прямой ветви вольтамперной характеристики диода (так как эмиттерный переход включен в прямом направлении). Из выходных характеристик можно сделать вывод, что напряжения коллектор-база слабо влияют на ток коллектора.

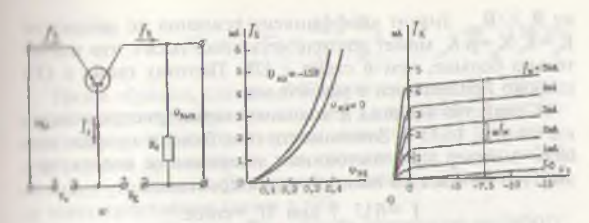


Рис. 16.15. Схема соединения транзистора с общим эмиттером: а) схема соединения; б) входные и выходные карактеристики.

На рис. 16.15 а показана схема с ОЭ. Источник входного сигнала подключается к цепи база-эмиттер, нагрузка R, и источник тока - к цепи эмиттер-коллектор. Входное сопротимление схемы с ОЭ по сравнению со схемой с ОБ значительно больше и составляет несколько сотен Ом. Причиной пого является то, что входным током схемы будет ток базы, который намного меньше токов коллектора и эмиттера. Выходное сопротивление схемы велико и доходит до ста килоом.

Отношение прирашений токов коллектора и базы при постоянном напряжении коллектора определяет коэффишнент усиления по току:

$$\beta=\Delta$$
 I / Δ I при U = const.

| 1 вк как | = | + | 1 в, то |

$$\beta = \frac{\Delta l_{\kappa}}{\Delta l_{\gamma} - \Delta l_{\kappa}} = \frac{\Delta l_{\kappa} / \Delta l_{\gamma}}{\Delta l_{\gamma} / \Delta l_{\gamma} - \Delta l_{\kappa} / \Delta l_{\gamma}} = \frac{\alpha}{1 - \alpha}.$$
 (16.6)

Коэффициент усиления по напряжению

$$K_{*} = \frac{\Delta U_{***}}{\Delta U_{***}} = \frac{\Delta I_{*} \cdot R_{*}}{\Delta I_{\delta} \cdot R_{**}} = \frac{\alpha}{1 - \alpha} \cdot \frac{R_{*}}{R_{**}}$$
(16.7)

гле α - коэффициент усиления по току схемы с ОБ; R_в, входное сопротивление схемы с ОЭ; R, - сопротивление нагрузки.

Таким образом, коэффициент усиления по напряжеппю К может быть равным нескольким сотням, поскольку $R_{_{\parallel}}{>}>R_{_{bcl}}$ Значит коэффициент усиления по мошности $K_{_{\parallel}}{=}K_{_{\parallel}}K_{_{\parallel}}{=}\beta\,K_{_{\parallel}}$ может достичь несколько тысяч, что значительно больще, чем в схеме с ОБ. Поэтому схема с ОЭ широко применяется в усилителях.

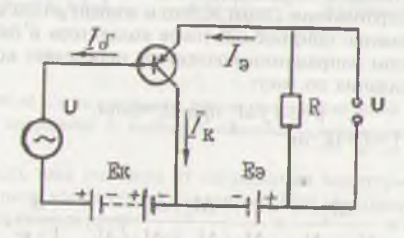
Семейство входных и выходных характеристик показаны на рис. 16.15 б. Зависимость тока базы от напряжения база—эмиттер при постоянном напряжении коллектор—эмиттер называется входной характеристикой

 $1 = f(U_1)$ при $U_{\kappa_3} = const.$

Зависимость тока коллектора от напряжения коллектор—эмиттер при постоянном токе базы называется выходной характеристикой

 $I_{\kappa} = f(U_{\kappa 3})$ при I =const.

На рис. 16.16 приведена схема включения биполярного транзистора с ОК. Источник входного сигнала подается в цепь база—коллектор, нагрузка R_n— в цепь коллектор—эмиттер. Входное сопротивление равно нескольким килоОм. Коэффициент усиления по току



Рыс. 16.16. Схема соединения транзистора с общим коллектором.

$$K_{i} = \frac{\Delta I_{s}}{\Delta I_{s}} = \frac{\Delta I_{s}}{\Delta I_{s} - \Delta I_{s}} = \frac{\Delta I_{s} / \Delta I_{s}}{\Delta I_{s} / \Delta I_{s} - \Delta I_{s} / \Delta I_{s}} = \frac{1}{1 - \alpha}$$
(16.8)

Так как эмитгерный переход включен в прямом направлении, то его сопротивление будет маленьким и его можно не принимать в расчет. Поэтому коэффициент усиления по напряжению

$$K_{u} = \frac{U_{xx}}{U_{xx}} = \frac{\Delta I_{x} \cdot R_{x}}{\Delta I_{x} \cdot R_{x}} = 1$$
 (16.9)

Таким образом, схема с ОК почти не изменяет напряжение входного сигнала и поэтому ее называют эмиттерным повторителем. Эмиттерные повторители в большинстие случаев применяются для согласования между собой каскадов усилителей. Для проверки схемы с ОК пользуются карактеристиками схемы с ОЭ.

Биполярные транзисторы выполняют такую же работу, что и вакуумные триоды. Однако, между ними есть большия разница: ламповый обычно работает при отсутствии тока на управляющей сетке, а в транзисторе через управляющий электрод—базу всегда проходит ток.

16.6. Полевые транзисторы

Полевой транзистор — это полупроводниковый прибор, усилительные свойства которого обусловлены потоком основных носителей, протекающих через проводящий канал, управляемый электрическим полем. Действие полевого траншетора обусловлено носителями одной полярности в протольном электрическом поле. Управление значением тока через канал осуществляется поперечным электрическим полем (а не током, как в биполярных транзисторах). Потому и называются они «полевыми» транзисторами.

Характерной особенностью полевого транзистора явпиется высокий коэффициент усиления по напряжению и

высокое входное сопротивление.

Применяются две разновидности полевых транзисторов с затвором в виде р-п-перехода и с изолированным итвором. Устройство и схема соединений полевого траншегора с затвором в виде р-п перехода показано на рис. 16-17. Прибор состоит из пластины п-кремния. К ее торцам присосдинены два металлических контакта, называемых стоком и истоком. Последовательно с ними подключаются источник питания E_0 и нагрузка $R_{\rm s}$. Полярность источника питания должна быть такая, чтобы поток основных носителей зарядов (в канале п-типа электронов) перемещался от истока к стоку. На противоположные грани введены ак-

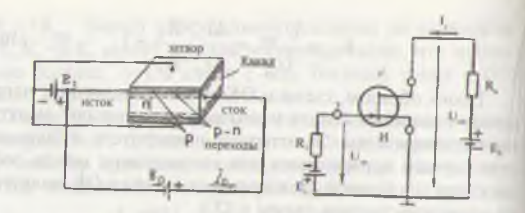


Рис. 16.17. Устройство и схема включения полевого транзистора с затвором в виде р-л-перехода.

цепторные примеси. Поэтому эти стороны пластины превращаются в р-области. Соединенные электрически они образуют электрод, называемый затвором. Между каналом и затвором образуются два р-п-перехода. К затвору прикладывается обратное напряжение, которое создает поперечное электрическое поле. При изменении этого напряжения происходит расширение или сужение переходов. Это приводит к изменению сопротивления канала и проходящего через него тока. При напряжении затвора $U_{_{10}}=0$ ток стока 1 имеет максимальное значение (этот ток называется тоте имеет максимальное значение (этот ток называется током насыщения $I_{\text{сме}}$). С увеличением величины обратного напряжения затвора (U_{in}) р-п переходы расширяются, уменьшая сечение канала. В результате уменьшается ток стока. При напряжении запирания U_{м.мап} сечение канала и ток через него уменьшается практически до 0. При этом сток и исток оказываются изолированными друг от друга. На рис. 16.18 а показана стокозатворная (входная) характеристика, отражающая рассмотренный выше процесс

 $I = f(U_{_{JH}})$ при $U_{_{CH}} = const$,

где I_c – ток стока; U_m напряжение затвора; U_m напря-

жение между стоком и истоком.

Зависимость тока стока от напряжения между стоком и истоком при постоянном напряжении $U_{_{38}}$ называется выходной (стоковой) характеристикой (рис. 16.18 б).

 $I_c = f(U_{ch})$ при $U_{3H} = const.$

Если подавать на сток положительное относительно истока напряжение и увеличивать его ток стока нелинейно растет. При этом проводимость канала уменьшается и рост

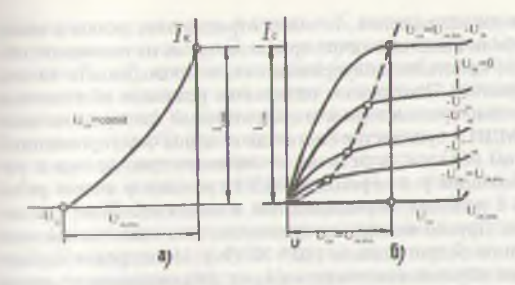


Рис. 16.18. Входные (а) и выходные (б) характеристики полевого транзистора с затвором в виде р-и перехода

тока замедляется. Когда напряжение стока достигнет напряжения насышения $U_{cu} = U_{cu, risc}$ канал на стоке полностью перекрывается ток стока достигает величины І насыщения. V истока сечение канала остается прежним, так как U_м(0)=0.

На рис. 16.19 показано устройство полевого транзистора с изолированным затвором. На кремниевой пластине р-типа спънают сильнолегированные области с электропроводноснью п*-типа (каналом п-типа), служащие стоком и истоком. После этого поверхность пласины подвергается термообработке. В результате на поверхности пластины появляется тонкий изоляционный слой толинной 0,1 мкм из Si02. На

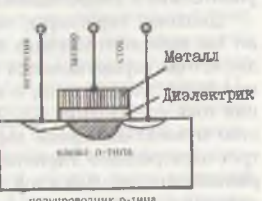


Рис. 16.19. Полевой транзистор с изолированным затвором.

поверхность изоляционного слоя наносится металлический стой, служащий затвором. Пока на затвор не подано напряжение сток и исток отдалены друг от друга изоляционным слоем. При подаче на затвор отрицательного напряжении относительно истока часть электронов вытесняется из кинали и его проводимость уменьшается. Этот режим назыинется режимом обеднения. Если на затвор подать положительное напряжение, то концентрация электронов в канале увеличивается за счет привлечения их из пассивной области кристалла полупроводника, и проводимость канала возрастает. Этот режим называется режимом обогащения. Полевые транзисторы с изолированным затвором называют МДП - транзистор (метал-диэлектрик-полупроводник). Таким образом, в отличие от полевого транзистора с управляющим р-п-переходом МДП транзистор может работать с нулевым, отрицательным и положительным смещением. Другим важным их преимуществом является высокое входное сопротивление (1010-1015Ом). Их широкое применение обусловлено также малыми собственными шумами.

16.7. Тиристоры

Тиристор - полупроводниковый прибор с тремя и более р-п-переходами, двумя устойчивыми состояниями, вольт-амперная характеристика которого имеет участок отрицательного сопротивления.

Диодные тиристоры, называемые динисторами, имеют два вывода от крайних областей структуры. Включение динистора осуществляется путем увеличения напряжения между его электродами, а выключение - путем уменьщения тока до значения 1 На рис. 16.20 показано устройство и вольт-амперная характеристика четырехслойного трех-электродного тиристора. Для усиления действия управляющего сигнала слой, к которому подключен управляющий электрод, выполняется более тонким, чем другие.

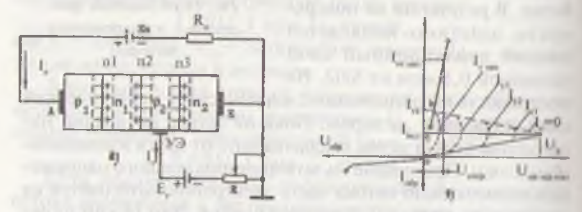


Рис. 16.20. Четырехслойный трёхэлектродный тиристор: а) схема включення; б) вольт-амперная характеристика.

Маталлические контакты А (анод) и К (катод) соединены с миттерными слоями. Π_1 и Π_2 — это эмиттерные переходы. Средние слои П, и Р, представляют собой базовые области. К базе п. подключен металлический контакт, называемый управляюшим электродом УЭ. Переход П, называется коллекторным. Гели ток в цепи УЭ равен нулю, а между анодом и катодом приложено постоянное напряжение, то переходы П, и П, булут включены в прямом направлении, а П,-в обратном. Так кик переход П, будет закрыт, то его сопротивление будет большим Практически все приложенное напряжение будет падать ин П., Поэтому тиристор будет закрыт и через него будет промушть очень маленький ток. На сопротивление перехода П, инияют два противоположных процесса. Первое, с увеличением обратного напряжения сопротивление П, возрастает, так ник основные носители зарядов уходят в разные стороны от перехода, т.е. в переходе П, уменьшается количество основных посителей зарядов. Второе, увеличение прямого напряжения в переходах П, и П, увеличивает количество основных носителей, приходящих к переходу П,, что уменьшает сопротивление этого перехода. Когда напряжение тиристора достигнет величины напряжения включения и станет чуть больше его, ничинает преобладать второй процесс. Тиристор открывается и ток его резко возрастает. Уменьшается сопротивление П,, уменьшается также падение напряжения на нем. Открытию пиристора соответствует участок Оа вольт-амперной характеристики. Открытому состоянию тиристора соответствует участок ба, который похож на прямой участок вольт-амперной апрактеристи кремниевого диода. Уменьшение напряжения с ростом тока показывает наличие отрицательного сопротивления на участке аб характеристики.

Для закрытия тиристора необходимо уменьшить ток до

пеличины тока удержания I_{уа}. Подав на управляющий электрод положительное наприжение, на базу Р, можно ввести дополнительные заряды электроны. За счет рекомбинации пробивное напряжение и сопротивление перехода П, уменьшаются. Это приводит к уменьшению напряжения открытия тиристора. Чем больше будет ток управляющего электрода, тем меньше булет величина напряжения открытия тиристора. Тиристор открывается в течение 10 мксек. После открытия управляющий электрод не может оказать никакого воздействия на работу тиристора. Поэтому для открытия тиристора достаточно подать на УЭ кратковременный импульс.

При подаче обратного напряжения переходы П, и П, будут включены в обратном направлении, а П, — в прямом направлении, и тиристор будет закрыт. При этом обратные ветви вольт-амперных характеристик тиристора и диода похожи между собой.

Тиристоры применяются в автоматических системах, электронике, выпрямителях, статических преобразователях,

Условные обозначения транзисторов и тиристоров приведены на рис. 16.21. Для обозначения транзисторов и тиристоров пользуются буквами и цифрами. Первая буква или цифра определяет материал прибора: цифра 1 или буква Германий, цифра 2 или буква К — кремний, цифра 3 или буква А — арсенид галлия. На втором сте стоит буква, определяющая тип прибора: Т — бинолярный транзистор, П—полевой транзистор, И—динистор, У—тиристор.

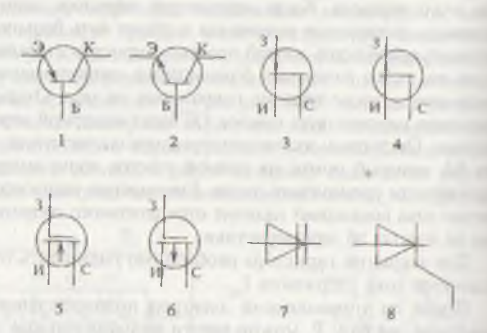


Рис. 16.21. Условные обозначения транзисторов и тиристоров: 1биполярный транзистор p-n-p; 2-биполярный транзистор n-p-n; 3полевой транзистор с затвором в виде p-n перехода и каналом n-тина; 4-полевой транзистор с затвором в виде p-n перехода и каналом pтипа; 5-полевой МДП транзистор с каналом n-типа; 6-полевой МДП транзистор с каналом p-типа; 7-динистор; 8-тиристор.

Задачи

Задача 16.1. При изменении прямого напряжения от 0,3 вольта до 1,0 прямой ток изменяется от 3 мА до 18 мА. Определить дифференциальное сопротивление диода. Решение: дифференциальное сопротивление диода равно:

$$R_1 = \frac{\Delta U}{\Delta I} = \frac{1.0 - 0.3}{(18 - 3) \cdot 10^{-3}} = \frac{0.7 \cdot 10}{(18 - 3) \cdot 10^{-3}} = \frac{0.7 \cdot 10^{3}}{15} = 46.7 \,\text{Om}$$

 $3a\partial a$ ча 16.2. Обратный ток коллектора транзистора К1312 A равен 12 мкА, напряжение коллектора Uк=14 В.

Определить обратное сопротивление коллекторного перехода.

Решение: обратное сопротивление коллекторного перекода равно:

$$R_{\text{max}} = \frac{U_s}{I_{\text{moff}}} = \frac{14}{12 \cdot 10^{-6}} = 1,166 \text{ mOm}.$$

Задача 16.3. В транзисторе КТЗ 40 12 А ток базы 1₆=0,6 мА, напряжение коллектора U₃=10 В. Пользуясь 30 выходными характеристиками, определить выходное сопротивление грпизистора (рис. 16.22).

Решение: 1) из характеристики находим ток коллектора соответствуюний току базы I_6 =0,6 мА. I_s =24 мА

хиший току базы $I_6 = 0.6$ мА. $I_k = 24$ мА 2) выходное сопротивление транзистора



Рис. 16.22. Рисунок к задаче 16.3.

 $R_{\text{BMA}} = \frac{U_{\text{K}}}{I_{\text{L}}} = \frac{10}{24 \cdot 10^{-1}} = 417 \text{ Om.}$

Задача 16.4. Транзистор КТ312 А соединен по схеме с общим эмиттером. Ток коллектора $I_{\rm s}$ =33 мА, ток базы I_6 =0,8 мА. Пользуясь семейством выходных характеристики, определить наприжение коллектора и мощность рассеяния коллектора.

Решение: 1) из выходной характеристики находим напряжение коллектора, соответствующее току базы $I_6 = 0.8$ мA, U = 10 B;

2) мощность рассеяния коллектора

$$P = U_{e} I = 10.33 \cdot 10^{3} = 330 \text{ mBt}.$$

Задача 16.5. В полупроводниковом стабилитроне Д814 А при токе стабилизации $I_{\rm cr}=6~{\rm mA}$ напряжение изменилось с 7 до 8,2 вольта. Определить изменение прямого сопротивления стабилитрона.

Решение: изменение прямого сопротивления стабилитрона равно:

$$\Delta R_{\text{inp}} = \frac{\Delta U_{\text{inp}}}{I_{\text{c}}} = \frac{8,2-7}{6 \cdot 10^{-3}} = \frac{1,2 \cdot 10^{3}}{6} = 200 \text{ Om}.$$

ГЛАВА 17

фотоэлектронные приборы

Электронные приборы, электрические свойства которых изменяются под действием падающего на них светового излучения, называются фотоэлектронными. Различают внешний и внутренний фотоэффект. При внешнем фотоэффекте под действием светового потока фотокатод излучает электроны. На внешнем фотоэффекте основаны работа электровикуумных и ионных фотоэлементов, фотоэлектронных умножителей, передающих телевизионных трубок.

Сушность внутреннего фотоэффекта состоит в том, что и искоторых полупроводниках по действием светового потока происходит ионизация атомов. В результате возникают повые заряды, увеличивающие электропроводность полупроводника. На внутреннем фотоэффекте основаны работа фоторезисторов, фотодиодов, фототранзисторов и др.

17.1. Фотоэлементы с внешним фотоэффектом

Электровакуумный фотоэлемент представляет собой стеклянную колбу, из которой выкачан воздух. На часть поверхности колбы изнутри наносится слой серебра (никеля), на который наносится светочувствительный слой. Чапие всего применяются кислород-цезиевые и сурьмяно-пелиевые катоды. Иногда катоды выполняются не на стекле баллона, а в виде отдельной пластины. Анодом служит кольпо из никеля, располагаемое в центре баллона, или сетка, располагаемая вблизи пластинчатого катода. Такое устройство анода не препятствует прохождению света на китод. В газонаполненных (ионных) фотоэлементах колба впролияется разреженным газом (например, аргоном) при ливлении около 30 Па (рис. 17.1). При попадании на поверанность катода светового потока атомы светочувствитель-

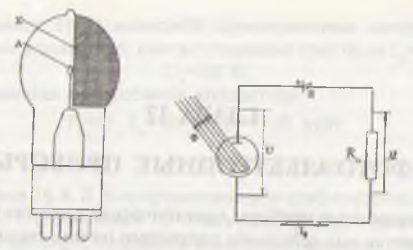


Рис. 17.1. Электронный фотоэлемент: а) общий вид; б) схема включения.

ного слоя ионизируются. При подключении источника напряжения между анодом и катодом возникает электрическое поле, под воздействием которого свободные электроны из катода движутся к аноду, создавая анодный ток. Величина этого тока пропорциональна силе светового потока и всличине напряжения между анодом и катодом.

Зависимость фототока от напряжения при постоянной силе светового потока называется вольт-амперной характеристикой фотоэлемента (рис. 17.2).

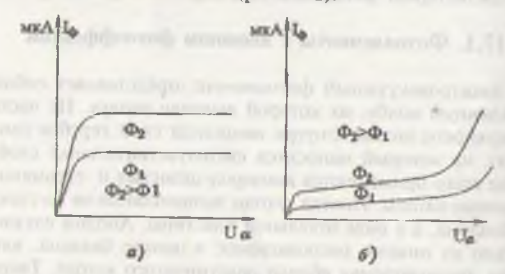
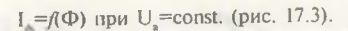


Рис. 17.2. Вольт-амперные характеристики фотоэлементов с внешним фотоэффектом: а) электронный фотоэлемент; б) ионный фотоэлемент.

 $I_{\phi} = f(U_{\phi})$ при $\Phi = \text{const.}$ Зависимость фототока от величины светового потока при постоянном напряжении называется световой характеристикой



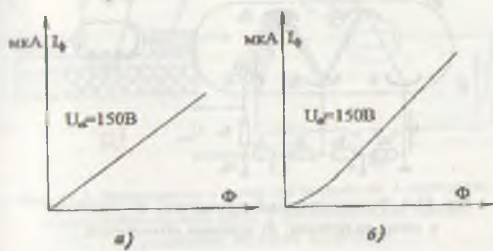


Рис. 17.3. Световые характеристики фотоэлемента с внешним фотоэффектом: а) электронный фотоэлемент; б) иопный фотоэлемент.

Вольт-амперная характеристика ионного фотоэлемента после горизонтальной линии резко поднимается вверх, что связано с резким увеличением тока при наступлении ионишии газа внутри колбы (рис. 17.2 б). Световая характеристика электронного фотоэлемента имеет линейный характер, что связано с позрастанием тока при ионизации газов. Отношение прирашения фототока к соответствующему приращению световото потока называется чувствительностью фотоэлемента.

$$S = \frac{\Delta I_{\Phi}}{\Delta \Phi} \, \text{m} \kappa A / \, \text{n} M$$

Чувствительность электронного фотоэлемента составляет $S=20+120\,$ mk A/лм, ионного $-150+250\,$ mk A/лм.

Для увеличения чувствительности (фотоэлектронной импесии) применяются фотоэлектронные умножители (рис. 17 4). Их фототок усиливается за счет вторичной электронной эмиссии. В них кроме анода и катода расположены вторичные эмиттеры, называемые динодами, количество которых может быть от 10 до 14. Для нормальной работы фотоумножителя напряжение между соседними динодами полжно быть 50—150 В. Электроны, вышедшие из фотокатоля пол действием света, ускоряются электрическим полем первого динода, ударяются об него и выбивают из него иторичные электроны. Эти электроны ускоряются полем

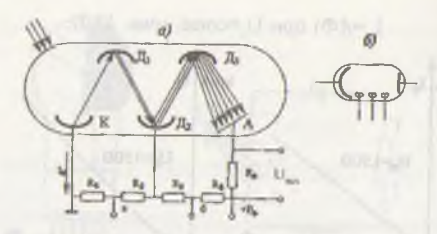


Рис. 17.4. Фотоэлектронный умножитель: а) устройство и схема включения; б) условное обозначение.

второго динода, ударяются об него и также выбивают из него вторичные электроны. Этот процесс продолжается до тех пор, пока вторичные электроны последнего динода не достигнут анода. Количество вторичных электронов каждого динода больше вторичных электронов, вылетевших с предыдушего динода. Отношение количества вторичных электронов к количеству первичных называется коэффициентом вторичной эмиссии δ. При п динодах расчетный коэффициент усиления фотоумножителя равен $K=\delta^n=(3+8)^n=10^6+10^7$. Однако, действительный коэффициент усиления намного меньше, так как ток вторичной эмиссии ограничен отрицательным объемным зарядом, окружающим диод. При помощи фотоумножителей можно усилить очень маленькие световые потоки (до 10-9_{лм}). Усиление ещё меньших световых потоков ограничивается темновым током. Ток, создаваемый термоэлектронной эмиссией фотокатода и электростатической эмиссией динодов при отсутствии светового потока, называется темновым током. Фотоумножители применяются в телевидении, ядерной физике, астрономии и др.

17.2. Фоторезистор

Фоторезистором называется резистор, электрическое сопротивление которого зависит от освещенности (рис 17.5). На подложку из слюды, керамики или стекла наносится светочувствительный полупроводниковый слой (селен, сернистый свинец, сульфид кадмия, селенид кадмия). К это-

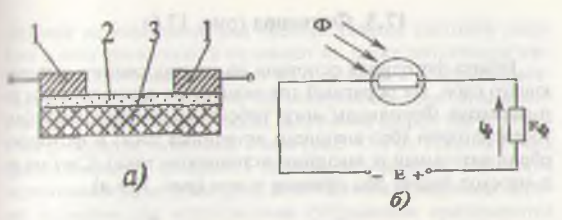


Рис. 17.5. Фоторезистор и схема его включения: 1-электроды; 2-полупроводниковый слой; 3-диэлектрическая основа: а) устройство; б) схема включения.

му слою прикрепляются контакты. Для предохранения светочувствительного слоя от влаги, механических разрушений он покрывается прозрачным лаком.

При отсутствии света через фоторезистор проходит «темновой» ток, возникающий под действием радиолучей, космических лучей и собственной проводимости полупроподника. При освещении фоторезистора в результате ионимпии атомов появляются дополнительные электроны и дырки. Поэтому сопротивление фоторезистора уменьшается и ток в цепи увеличивается. Разница между световым и темповым токами называется фототоком

$$I_{\phi} = I_{c} - I_{1}$$

гле l_{a} — фототок; l_{a} — световой ток; l_{a} — темновый ток.

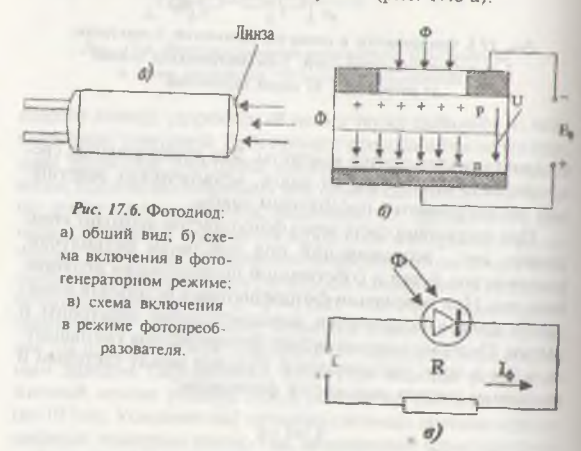
Зависимость фототока от напряжения при постоянном световом потоке называется вольт-амперной характериспикой фоторезистора $I_{\phi} = f(U)$ при $\Phi = const.$ Фоторезисторы бывают: $\Phi CA - B$ нем в качестве полу-

Фоторезисторы бывают: ФСА – в нем в качестве полупроводника применяется сернистый свинец, ФСК – сернистый кадмий, ФСД – селенид кадмия.

Недостатками фоторезисторов является большая инершионность, нелинейность световой характеристики, завиенмость сопротивления от температуры. Фоторезисторы широко применяются в электронике, автоматических устройствах, вычислительной технике и др.

17.3. Фотодиод (рис. 17.6)

Работа фотодиода основана на использовании запирающего слоя. Их обратный ток зависит от освещенности рп-перехода. Фотодиоды могут работать в двух режимах: фотогенератором (без внешнего источника тока) и фотопреобразовательный (с внешним источником тока). Свет на рп-переход падает под прямым углом (рис. 17.6 а).



Фотогенераторный режим. При отсутствии светового потока напряжение p-n-перехода создает потенциальный барьер. При этом через диод ток не проходит. При освещении p-n-перехода в результате ионизации атомов появляются дырки и электроны. Под действием напряжения потенциального барьера дырки переходят в p-область, где они являются основными носителями. Электроны остаются в n-области. Таким образом, в результате освещения p-n-перехода возрастает концентрация дырок в p-области и электронов в п-области, что приводит к появлению фото-э.д.с. При подключении к фотодиоду нагрузки в цепи появится фототок (рис. 17.6 б, в). Фотодиоды в фотогенераторном

режиме используются для преобразования световой энернии в электрическую, и называют их также солнечным элементом. Они изготовляются из пластины с п-проводимостью с примесью кремния. На поверхность пластины наносится примесь бора методом вакуумной диффузии и создается р-область толщиной 2 мкм (рис. 17.6 б). Из солнечных фотоэлементов создаются солнечные батареи, служащие источником электроэнергии на космических кораблях. Кроме кремния для изготовления фотодиодов применяются германий, селен и др.

Фотопреобразовательный режим (рис. 17.6 в). В этом режиме последовательно с нагрузкой и фотодиодом в запирающем направлении подключен источник тока. При неосвещенном фотодиоде в нем проходит темновой ток. При освещении фотодиода в результате ионизации атомов р-п-перехода появляются дополнительные дырки и электроны. Под действием электрического поля внешнего источника тока неосновые носители р и п областей создают электрический ток.

17.4. Фототранзистор

Фототранзистор - это трехслойный полупроводниковый прибор с двумя р-п-переходами. Его особенностью явинется способность усиления фототока под действием света. Фототранзистор изготовляется в виде плоскостного германиевого или кремниевого бинолярного транзистора. Наибольшая эффективность достигается при перпендикулярном направлении светового потока переходу коллектор-база и при освещении базовой области. Для достижения светового потока базы эмиттерная область выполняется тонкой. На рис. 17.7 показаны общий вид фототранзистора и схемы подключения. Рассмотрим работу транзистора при отключенной базе (рис. 17.7, б). Под действием света в базе возникают дырки и электроны. Дырки являются неосновными носителями зарядов и под действием коллекторного напряжения переходят на коллектор, образуя фототок 1, Электроны двигаются к эмиттерному переходу. По из-за потенциального барьера не все электроны могут его преодолеть и поэтому в базе происходит накопленис тлектронов, что приводит к снижению потенциального ба-

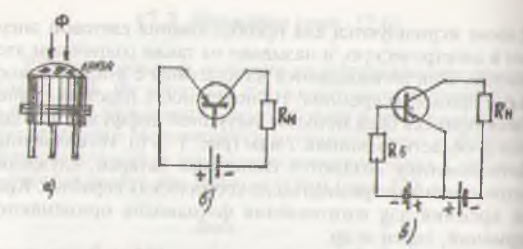


Рис. 17.7. Фототранзистор: а) общий вид; б) схема включения с изолированной базой; в) схема включения с общим эмиттером.

рьера. В результате увеличивается поток дырок из эмиттера в базу. Это, в свою очередь, ведет к увеличению фототока I_{ϕ} , т.е. происходит усиление первичного фототока, возникающего в базе. Поэтому чувствительность фототранзисторов значительно больше, чем у фотодиодов и составляет 0,5-1 А/лм. На рис 17.7, в показана схема подключения фототранзистора с общим эмиттером.

В последнее время большее применение находят полевые фототранзисторы. Они обладают более высоким входным сопротивление, высокой чувствительностью (до десятком А/лм).

Фототранзисторы применяют в фототелеграфии, фотометрии, фототелефонии, вычислительной технике и т.д.

17.5. Фототиристор

Фототиристором называется фотогальванический приемник излучения с тремя и более р-п-переходами. В его вольт-амперной характеристике имеется участок отрицательного дифференциального сопротивления (рис. 17.8). При отсутствии света и управляющего тока фототиристор заперт и через него проходит только темновой ток. Под действием света в слоях тиристора образуются электроннодырочные пары, число которых с глубиной проникновения света убывает по экспоненциальному закону. Зависимость фототока от светового потока называется световой характеристикой (рис 17.8, б). По достижении фототока величины $I_{вкл}$ (тока включения) фототиристор из закрывеличины $I_{вкл}$ (тока включения)

374

того состояния переходит в открытое. С этого момента прописходит резкое увеличение фототока. Чтобы закрыть фотогиристор надо уменьшить его ток до величины тока выключения ($I_{\text{отка}}$). Зависимость выходного тока от анодного напряжения при различных световых потоках называется нольт-амперной характеристикой (рис. 17.8, в). При этом $\Phi_1 > \Phi_2 > \Phi_3 > \Phi_0$ и $U_{\text{вкл 3}} < U_{\text{вкл 1}} < U_{\text{вкл 1}} < U_{\text{вкл 1}}$.

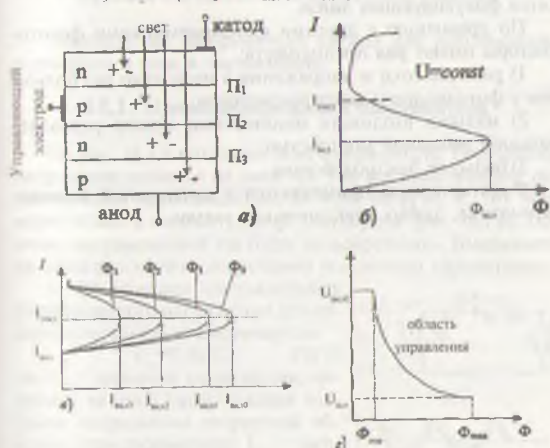


Рис. 17.8. Фототиристор: а) устройство; б) световая характеристика; в) вольтампериая характеристика; г) характеристика управления.

Значит, с увеличением светового потока напряжение открывания фототиристора уменьшается. На рис. 18.8 г показана характеристика управления фототиристора — зависимость напряжения включения $\mathbf{U}_{\text{вкл}}$ от светового потока. Из нее видно, что рабочая область фототиристора ограничивается пороговым световым потоком $\mathbf{\Phi}_{\text{пор}}$ и световым потоком спрямления. Пороговый световой поток определяет минимальный световой поток, к которому нечувствителен фототиристор. Максимальный световой поток $\mathbf{\Phi}_{\text{епр}}$ определяет спрямление характеристики фототиристора в характеристику диода.

С увеличением температуры вольт-амперные характеристики фототиристора изменяются, обратные и темновой токи

растут, напряжение включения $U_{\text{вкл}}$ уменьшается. Корпус фототиристора такой же, как и у обычного тиристора. С одной стороны в корпусе делается окно, которое закрывается специальным защитным стеклом. В некоторых фототиристорах для усиления светового потока ставится фокусирующая линза.

По сравнению с другими фотоприемниками фототиристоры имеют ряд преимуществ:

1) рабочие токи и напряжения в несколько раз больше чем у фотодиодов и фототранзисторов;

2) малыми входными мощностями можно управлять большой выходной мошностью;

3) большое быстродействие.

Фототиристоры применяются в импульсной технике, автоматике, любых электрических схемах.

ГЛАВА 18

ЭЛЕКТРОННЫЕ ВЫПРЯМИТЕЛИ

Электронные выпрямители служат для выпрямления переменного тока в постоянный

18.1. Однополупериодный выпрямитель

На рис. 18.1 а показана схема выпрямителя. Переменное напряжение подается на диод VД. Так как диод обладает односторонней проводимостью, то через нагрузку R_н ток проходит только в положительный полупериод (рис. 18.1 б). Поэтому выпрямленный ток будет пульсирующим. Выпрямители характеризуются следующими основными параметрами:

1. Постоянная составляющая ныпрямленного напряжения для одпополупериодного выпрямителя

 $U_0 = 0.45 \cdot U_2$, (18.1) где U, - значение напряжения, поланное на диод (действующее значение напряжения вторичной обмотки трансформатора); U - выпрямленное напряжение.

2. Обратное напряжение - это напряжение, приложенное к диоду в отрицательный полупериод

 $U_{\text{обр. s}}=3,14\cdot U_{\text{o}},$ (18.2) риодный выпрямитель: - максимальное значепис обратного напряжения. Зна-



Рис. 18.1. Однополупетоков и папряжений.

чит, при выборе диодов их обратное напряжение должно быть более 3,14 U_o ($U_{oбp,a} > 3,14 \ U_o$). Если такого диода ист, то можно соединять последовательно необходимое количество диодов.

3. Значение выпрямленного тока. Для однополупериодпого выпрямителя

$$I_0 = 0.318 \cdot I_2,$$
 (18.3)

где I_1 — действующее значение тока вторичной обмотки. При выборе диода необходимо выполнить условие $I_1 < I_2$ (I_3 — значение тока, который можно пропустить через диод). При отсутствии такого диода можно параллельно соединить необходимое количество диодов.

4. Коэффициент пульсации:

$$K_n = \frac{U_{ni}}{U_n} \qquad (18.4)$$

где U_{IM} — амплитуда основной гармоники выпрямленного напряжения. Для однополупериодного выпрямителя K_n =1,57, что является крупным недостатком этого выпрямителя.

18.2. Двухполупериодные однофазные выпрямители

1. Мостовой однофазный выпрямитель.

Среди двухполупериодных выпрямителей широкое применение получила мостовая схема (рис. 18.2). Схема состоит из трансформатора и четырех диодов. В одну из диагоналей моста подключена вторичная обмотка трансформатора, а во вторую — нагрузка $R_{_{\rm H}}$ В положительный полупериод открыты диоды $V \mathcal{I}_{_{\rm T}}$, и $V \mathcal{I}_{_{\rm T}}$ и ток идет по цепи: диод $V \mathcal{I}_{_{\rm T}}$, нагрузка $R_{_{\rm H}}$, диод $V \mathcal{I}_{_{\rm T}}$, вторичная обмотка трансформато-

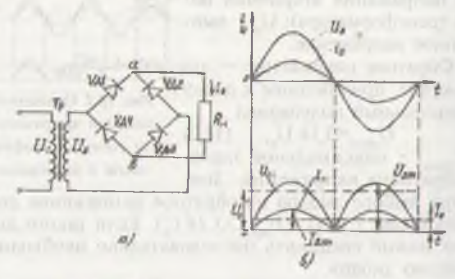


Рис. 18.2. Двухполупериодный мостовой выпрямитель: а) схема; б) графики токов и напряжений.

ра. В отрицательный полупериод открыты диоды VД, и $VД_4$, и ток идет по цепи: диод $VД_3$, нагрузка R_{\shortparallel} , диод $V\dot{L}_4$, вторичная обмотка трансформатора. Таким образом, на нагрузке направление тока не изменяется.

Параметры выпрямителя:

выпрямленное напряжение

$$U = 0.9 \cdot U_{1},$$
 (18.5)

гле U_1 — напряжение, поданное на мост (действующее значение напряжения вторичной обмотки);

2) значение выпрямленного тока

$$=0,636\cdot1,$$
; (18.6)

3) обратное напряжение

$$U_{obp.st} = 1,57 \cdot U_0;$$
 (18.7)

4) коэффициент пульсации

$$K = 0.67.$$
 (18.8)

2. Двухполупериодный выпрямитель со средней точкой окс. 18 3)

Во вторичной обмотке трансформатора выведена средняя точка. Диоды VД, и VД, подключены к концам вторичной обмотки трансформатора. Нагрузка R, подключена межлу средней точкой вторичной обмотки трансформатора и обмотки точкой диодов. В положительный полупериод открывается диод VД, и ток идет по цепи: диод VД, нагрузка R,

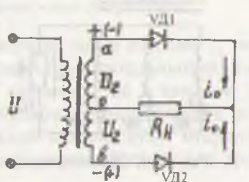


Рис. 18.3. Двухполепериодный выпрямитель со средней точкой.

точка О и точка a вторичной обмотки трансформатора. В отрицательный полупериод ток идет по цепи: диод $VД_{2}$, нагрузка R_{n} , точки О и б вторичной обмоток трансформатора. Таким образом, направление тока через нагрузку R_{n} не измениется. График тока и напряжения такие же, как у мостоного выпрямителя. Величина обратного напряжения в этой схеме в два раза больше, чем у мостового выпрямителя.

Другие параметры такие же, как у мостового выпрямителя. Преимуществом этой схемы является то, что вместо 4-х диодов применяются 2 диода.

18.3. Трехфазные выпрямители

Трехфазные выпрямители используются для устройств средней и большой мощности. Схема и графики напряжений трехфазного однополупериодного выпрямителя приведены на рис. 18.4. Вторичная обмотка трансформатора соединена звездой. К её свободным концам подсоединены диоды $VД_1$, $VД_2$, VJ_3 , B течение $\frac{1}{3}$ периода напряжение одной из фаз будет наибольшим. Поэтому в это время будет открыт тот диод, который подключен к этой фазе.

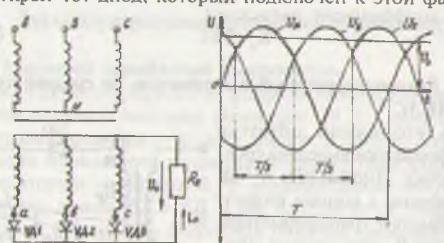


Рис. 18.4. Однополупериодный трехфазный выпрямитель.

Параметры выпрямителя:

1. Значение выпрямленного тока

$$I_0 = 0.827 \cdot I_2$$
. (18.9)

Так как через каждый диод ток проходит в $\frac{1}{2}$ периода. то средний выпрямленный им ток равен $\frac{1}{2} = \frac{1}{2} \sqrt{3}$.

2. Выпрямленное напряжение

$$U_0 = 1,17 \cdot U_2$$
, (18.10)

где U_1 – действующее значение фазного напряжения вторичной обмотки трансформатора.

3. Обратное напряжение

$$U_{o6p.m.} = 2,09 \cdot U_{o}$$
 (18.11)

4. Коэффициент пульсации

 $K_n = 0.25.$ (18.12)

Схема трехфазного мостового выпрямителя показана на рис. 18.5. Она состоит из двух однополупериодных трехфазных выпрямителей, питающихся от одних и тех же вторичных обмоток трансформатора. Диоды $VД_1$, $VД_2$, VJ_3 , сосиненные катодами, образуют катодную группу и относятся к первому выпрямителю. Диоды VJ_4 , VJ_5 , VJ_6 , сосиненные анодами, образуют анодною группу и относятся к второму выпрямителю.

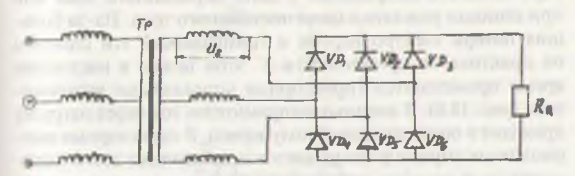


Рис. 18.5. Трехфазная мостовая схема выпрямителя

Диоды катодной группы проводят ток в течение ¹/, периода, когда на аноде наибольший положительный потенниял. Диоды анодной группы проводят ток в течение ¹/, периода, когда на катоде наибольший отрицательный потенциал. Следовательно, в каждый момент будут открыты одновременно два диода: один из катодной группы, а другой—из анодной группы.

Основные параметры схемы:

1. Значение выпрямленного тока

$$I_0 = 1, 2 \cdot I_2,$$
 (18.13)

гле 1, - действующее значение тока вторичной обмотки

2. Выпрямленное напряжение

$$U_0 = 2.34 \cdot U_2$$
, (18.14)

где U, — действующее значение напряжения вторичной обмотки.

3. Обратное напряжение

$$U_{o6p.M} = 1,05 \cdot U_0. \tag{18.15}$$

4. Коэффициент пульсаций

(18.16)

Указанные параметры соответствуют соединению обмоток трансформатора по схемс звезда—звезда и треугольник—звезда.

18.4. Тиристорные выпрямители

В диодных выпрямителях для изменения выпрямленного напряжения необходимо при помощи автотрансформатора изменять напряжение в цепи переменного тока или при помощи реостата в цепи постоянного тока. Из-за больших потерь электроэнергии и громоздкости эти способы на практике не применяются. С этой целью в настоящее время применяются тиристорные управляемые выпрямители (рис. 18.6). В диодных выпрямителях ток через нагрузку проходит в положительный полупериод. В тиристорных выпрямителях тиристор открывается и пропускает ток в положительный полупериод, начиная с момента подачи сигна-

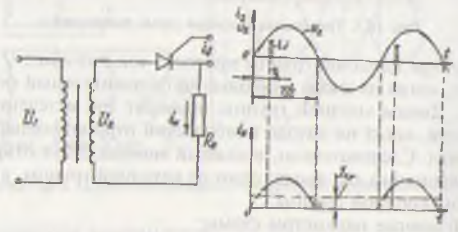


Рис. 18.6. Тиристорный выпрямитель: а) схема; б) графики токов и напряжений.

ла на управляющий электрод. В соответствии с рис. 18.6 б управляющий импульс подается в каждый положительный полупериод и запаздывает на время t. Поэтому ток через нагрузку проходит не в течение всего полупериода а за меньшее время, равное $T/_2$ - t_1 . Значит, среднее значение выпрямленного тока (напряжения) уменьшается. Таким образом, подавая импульсы на управляющий электрод в различные моменты времени, можно изменять средние значения тока и напряжения на нагрузке.

18.5. Электрические фильтры

Электрические фильтры служат для сглаживания пульсаций выпрямленного напряжения. Электрические фильтры бывают простые однозвенные и сложные, представляющие собой сочетание индуктивности, конденсаторов, резисторов. Конденсатор C_{ϕ} , включенный параллельно напрузке, представляет собой простейший емкостный фильтр (рис. 18.7). При повышении выпрямленного напряжения

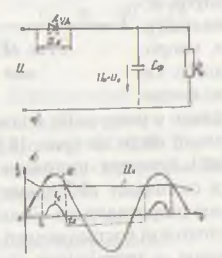


Рис. 18.7. Конденсаторный фильтр: а) схема; б) графики тока и напряжения.

конденсатор заряжается и разряжается на нагрузку, когда напряжение на ней становится меньше напряжения конденсатора. Поэтому напряжение на нагрузке изменяется в меньших пределах, чем при отсутствии конденсатора. Сглаживание пульсаций выполняется при условии X_c<<R_n. При выполнении этого условия большая часть переменной составляющей выпрямленного напряжения, минуя нагрузку, замыкается через конденсатор. Емкостный фильтр применяется при небольших нагрузках.

Индуктивный фильтр представляет собой катушку с сердечником, включаемую последовательно с нагрузкой. Переменная составляющая выпрямленного тока создает в мигнитопроводе дросселя магнитный поток, индушируюний э.д.с. самоиндукции, препятствующую изменению тока и цепи. Это ведет к уменьшению пульсаций выпрямленного напряжения. Сглаживающее действие пульсаций выпрямленного напряжения выполняется при условии $X_L >> R_{\mu}$,

т.е. индуктивное сопротивление дросселя должно быть значительно больше сопротивления нагрузки. Индуктивны фильтры применяются при больших нагрузках.

Рассмотренные выше простейшие однозвенные фильтры не могут обеспечить получение необходимых коэффициентов пульсаций. Поэтому на практике в качестве сглаживающих фильтров используются сочетания индуктивности и емкости, например, Г-образный фильтр. Он состоит из дросселя, соеди-

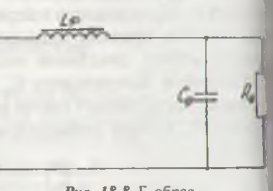


Рис. 18.8. Г-образный фильтр.

ненного последовательно с нагрузкой, и конденсатора, подключенного параллельно нагрузке (рис. 18.8). Индуктивнос сопротивление $X_L = 2\pi \Gamma L$ дросселя постоянной составляющей выпрямленного тока оказывает небольшое, а переменной составляющей большое сопротивление. Емкостное сопротивление $X_L = V/\pi f \cdot C$ постоянной составляющей выпрямленного тока оказывает большое, а переменное составляющей иебольшое сопротивление. Все это ведет к значительно большему уменьшению переменной составляющей напряжения на нагрузке, чем при однозвенных фильтрах.

Задачи

Задача 18.1. В однополупериодном выпрямителе через диод проходит ток I_0 =100 мА. Амплитудное значение напряжения, приложенное к диоду U_{2M} =282 В. Определить сопротивление нагрузки.

Решение:

П

ла

VП

ПО.

нал

MC.

раз

лич

1) величина выпрямленного напряжения равна

$$U_{a} = \frac{U_{o6p...}}{\pi} = \frac{U_{2a}}{\pi} = \frac{282}{3,14} = 90B;$$

2) сопротивление нагрузки

$$R_{\pi} = \frac{U_{\circ}}{I_{\bullet}} = \frac{90}{100 \cdot 10^{-1}} = 900 \cdot O_{M}.$$

384

Задача 18.2. В мостовом выпрямителе (рис. 18.2) через каждый диод проходит ток I_0 =10 мА. Сопротивление нагрузки $R_{\rm h}$ =400 Ом. Определить амплитуду переменного напряжения на нагрузке.

Решение:

1) величина выпрямленного напряжения

$$U_0 = I_0 R_0 = 100 \cdot 10^{-3} \cdot 400 = 40 B.$$

Амплитуда переменного напряжения

$$U_{\text{obp,N}} = \frac{U_{\circ} \cdot \pi}{2} = \frac{40 \cdot 3{,}14}{2} = 62{,}8\,B_{\odot}$$

Задача 18.3. Действующее значение напряжения вторичной обмотки трансформатора трехфазного однополупериодного выпрямителя U,=150 B.

Определить величину выпрямленного напряжения и обратного напряжения.

Решение:

выпрямленное напряжение

2) обратное напряжение

$$U_{o6p.M} = 2,09 \cdot U = 2,09 \cdot 175,5 = 367 \text{ B}$$

18.6. Расчет выпрямителей

Рекомендации.

При малых мощностях (до 1000 В-A) и малых выходных напряжениях (до 600 В) желательно применять однофазные двухполупериодные выпрямители, выполненные по схеме моста и с выводом средчей точки. При нагрузке в несколько киловатт и напряжении не выше 1000 В желательно применять трехфазные однополупериодные выпрямители. При малых и высоких напряжениях, средних и больших мошностях широко применяются выпрямители, выполненные по трехфазной мостовой схеме. При этом вторичные обмотки трансформаторов в этой схеме желательно соединять звездой для исключения уравнительных токов, уменыпающих КПД.

18.6.1. Расчет выпрямителей с емкостной нагрузкой

Выпрямители с емкостной нагрузкой применяются при токах нагрузки не более 1,0 ампера. Электрический фильтр в них начинается с конденсатора. Порядок расчета:

1. Задаются следующие исходные данные: напряжение U и частота f тока сети, напряжение U_{nu} и ток I_{nu} нагрузки, коэффициент пульсации выпрямленного напряжения К,, рабочий диапазон температур ΔT окружающей среды.

2. Выбираем схему выпрямителя и фильтра. Для выбора схемы выпрямителя руководствуемся вышеприведенными рекомендациями. Если коэффициент фильтрации К = К пау К, вы не превышает 25, то выбираем однозвенный фильтр с входным конденсатором. Если коэффициент К, фильтрации значительно превышает 25, то желательно выбрать многозвенный фильтр. Коэффициент пульсации на входном конденсаторе может быть 5-15% (для частот 400 и 50 Гц).

3. Выходное напряжение выпрямителя с учетом падения напряжения на дросселе фильтра можно определить по формуле

 $U_0 = U_{00} [1 + 0.01(\Delta U_0/U_{00})\%]$ где ($\Delta U_{\bullet}/U_{ou}$) % — относительное падение напряжения на дросселе, берется из табл. 18.1.

Таблица 18.1 Значения относительных падений напряжения на дросселе

Час- тота.	93	Рон, Вт													
Γυ	10	20	30	40	50	60	70	100	200	350	500	600	700	800	
50	10,3	10	9,7	9,5	9,4	9,1	8,8	8,2	7	6	5,3	4,6	3,7	3,0	∆ Uф/ Ион%
400	7	6,4	6,0	5,6	5,4	5,3	5,0	4.4	3.5	3	2,5	8,1	1,8	1,5	∆ Uф/ Оон%

4. По табл. 18.2 определяем основные параметры диодов: $I_{\text{пр-ср}}$ —среднее значение прямого тока диода: $U_{\text{обр.н.n}}$ повторяющее импульсное обратное напряжение; $I_{\text{пр-ип}}$ — повторяющийся импульсный прямой ток (приблизительно),

который после расчета выпрямителя уточняется в соответствии с табл. 18.2. По табл. 18.3. выбираем тип диода. Его основные параметры должны быть больше величин, найденных выше. При отсутствии необходимых диодов можно использовать имеющиеся, применив параллельное или поспеловательное соединение их. При этом число соединяемых последовательно диодов

$$n_{_{nocn.}} = \frac{U_{_{o6\;\text{\tiny N.R.}}}}{U_{_{o6p\;\text{\tiny N.R.}}}}; \quad n_{_{\rm occ.}} = \frac{I}{I_{_{\rm occ.}}}$$

количество диодов

 $n_{\text{дел.}} = n_{\text{посл.}} \cdot n_{\text{пар}} \cdot K_{\text{д}},$ гле $K_{\text{д}} = \text{число диодов в выбранной схеме.}$ Для обеспечения равенства обратных напряжений диодов при их последовательном соединении они шунтируются рези-

средней мощности (0,3KJ шверышх ≤5 A). R ш=15+100 кОм для мощных диодов (1 5 A). R ш=10+15 кОм.
После выбора типа диода из таблицы 18.3 выписываем спедующие основные параметры диода: I_{пр.ср мах}-максимальпый средний прямой ток; $U_{\text{обримма}}^{\text{пр.ср. мах}}$ -максимальное импульснюе обратное напряжение; $U_{\text{пр.ср.}}^{\text{пр.ср. мах}}$ -среднее прямое напряжение. пис (падение напряжения на диоде в прямом направлении).

5. Определяется дифференциальное (внутреннее) сопро-

тивление диодов (одного плеча схемы):

$$\mathbf{r}_{\mathsf{m} \Phi} = \frac{\mathbf{U}_{\mathsf{sp},\Phi}}{3\mathbf{I}_{\mathsf{sp},\Phi}}$$

гле U_{пр.ср} - среднее прямое напряжение диода (табл.18.3);

при выпрямленный прямой ток (табл.18.2).

Определяется активное сопротивление обмоток трансформатора, приведенное к вторичной обмотке:

$$r_{\tau_p} = \frac{K_{_{\infty}} \cdot U_{_{\circ}}}{I_{_{\circ}} \cdot f \cdot B} \cdot \sqrt{\frac{S \cdot f \cdot B}{U_{_{\circ}} \cdot I_{_{\circ}}}} \; ,$$

гле К коэффициент, зависящий от схемы выпрямления, определяется по табл. 18.2.

S — число стержней трансформатора: для броневых магнитопроводов S=1, для стержневых (П-образных) S=2, для трехфазных трансформаторов S=3; U_o - напряжение на выходе выпрямителя; І - ток нагрузки; В - магнитная индукция в магнитопроводе трансформатора (берется из табл. 7.1); f - частота напряжения сети.

Если в трансформаторе имеются дополнительные обмотки активное сопротивление обмоток уточняется по формуле:

$$r_{_{TP}}=\frac{r_{_{TP}}}{2}\Biggl(1+\frac{P_{_{2}}}{P_{_{1}}}\Biggr)$$

где r_{то} — активное сопротивление, рассчитанное по предыдущей формуле; Р, - полная мощность вторичной обмотки трансформатора (определяется по табл. 18.2); Р - габаритная мошность трансформатора (определяется по табл. 18.2).

Если для выпрямителя использован стандартный трансформатор, то активное сопротивление его обмоток определяется по формуле

$$r_{r_p} = r_1 + r_i \left(\frac{U_1}{U_1}\right)^2$$

где г, - сопротивление фазы вторичной обмотки; г, - сопротивление первичной обмотки; U, - напряжение вторичной обмотки; U, - напряжение первичной обмотки.

7. По табл. 18.2. определяем активное сопротивление фазы выпрямителя го.

8. Определяется индуктивность рассеяния обмоток трансформатора, приведенное ко вторичной обмотке

$$L_{p} = 0.5K_{L} \frac{S \cdot U_{o}}{I_{o} \cdot f \cdot B} \sqrt{\frac{U_{o} \cdot I_{o}}{S \cdot f \cdot B}}$$

гие коэффициент 0,5 соответствует значению S=2 (вторичини обмотка располагается на 2-х стержнях). Если S=1, то пот коэффициент будет равен 1.

К, - коэффициент, зависящий от схемы выпрямителя (определяется согласно табл. 18.2).

9. Определяется соотношение активных и реактивных сопротивлений фазы выпрямителя

$$\varphi = \operatorname{arctg} \frac{\omega \cdot L_{\perp}}{r_{\perp}}$$

10. Определяется вспомогательный параметр А

$$A = \frac{I_{\circ} \cdot \pi \cdot r_{\circ}}{m \cdot U}$$

где m — число импульсов выпрямленного напряжения (табл.

11. По табл. 18.4 находим значения коэффициентов В, Д. F в зависимости от коэффициента А и угла ф.

12. По табл. 18.5 находим значение коэффициента Н в нвисимости от значений А, т и угла ф.

13. По табл. 18.2 уточняем значение повторяющегося

импульсного прямого тока $\mathbf{I}_{np,n,n}$.

14. Согласно табл. 18.2. находим электрические параметры (U,, I,, I, и P,).

15. Проверяем выбранный диод по обратному напряже-

$$U_{obj,x} = \sqrt{2} \cdot U_{\pm}.$$

Если найденное значение обратного напряжения больше обратного напряжения диода, то необходимо выбрать другой диод.

16. Определяется входная емкость фильтра

$$C_{\scriptscriptstyle \parallel} = \frac{100H}{K_{\scriptscriptstyle \rm BBX}\% r_{\scriptscriptstyle \rm o} \cdot f},$$

гле K_{n,a_3} — коэффициент пульсации фильтра, начинающеной с конденсатора, обычно K_{n,a_3} берется 5—15%. Н — коэффициент (находится по табл. 18.5).

По табл. 18.6 выбираем ближайший стандартный конденсатор и для него находим коэффициент пульсации.

$$K_{n,m=6} = \frac{H \cdot 100}{r_o \cdot C_1 \cdot f}$$

Номинальное напряжение конденсатора $\mathsf{C}_{_{1}}$ должно быть больше рабочего напряжения

$$U_{c_1} > U_{pa6} = \sqrt{2} \cdot U_{1}$$

17. Определяется коэффициент фильтрации фильтра

$$K_{\phi} = \frac{K_{nm} \%}{K_{nm} \%}$$

где $K_{n,n} = \kappa$ оэффициент пульсации нагрузки, дается в за-

18. В выпрямителях с емкостной нагрузкой в большинстве случаев применяется LC-фильтр. Произведение LC определяется по формуле.

$$L \cdot C = 10(K_{\phi} + 1)/m^2$$
 для $f = 50$ Ги; $L \cdot C = 0.16(K_{\phi} + 1)/m^2$ для $f = 400$ Ги;

Исходя из величины LC и С₁ определяем индуктивность дросселя

$$L = \frac{LC}{C}$$

По табл. 18.7. выбираем необходимый дроссель. 19. Проверяем фильтр на отсутствие резонанса

$$2\omega_{pes} < 2m \cdot \omega$$

где $\omega_{_{\rm per}}=1/\sqrt{LC}$ рад/с — резонансная угловая частота, $\omega=2\pi f$ - угловая частота.

20 Проверяем выходное напряжение выпрямителя

$$U_{os} = U_{o} - \Delta U_{o} = U_{o} - r_{L} \cdot I_{o}$$

где г, - активное сопротивление выбранного дросселя; $\Delta U_{\phi} = r_{L} \cdot l_{0}$ — падение напряжения на дросселе.

21. Находим абсолютную погрешность как разность межпу правиным и найденным значениями напряжения на нагрузке. После этого определяем относительную погрешность

$$\gamma = \frac{\Delta U_{_{OH}}}{U} - 100\%.$$

Пример

1. Необходимо произвести расчет выпрямителя со слепующими исходными данными: напряжение сети U,=220 В. частота f=50 Гц, ток нагрузки 1 он =0,7 А, напряжение $U_{_{(1)}}$ =60 В, коэффициент пульсации нагрузки $K_{_{n,n}}$ =1,2%, рибочий диапазон температуры $\Delta T = -60 \div +80 C$. 2. Так как напряжение нагрузки $U_{nu}=60$ B, ток $I_{nu}=0,7$ A и

мошность $P_{\text{он}} = I_{\text{он}} \cup_{\text{он}} = 0,7.60 = 43 \text{ В А небольшие, то можно при$ менить однофазную мостовую схему. Для достижения заданного коэффициента пульсации на входе фильтра параллельно пштрузке подключается конденсатор С,. Так как частота тока $1-50~\Gamma$ и, то коэффициент пульсации на C_1 возьмем $K_{nax}=15\%$.

3. Напряжение на входе выпрямителя

$$U_0 = U_{00}[1 + 0.01(\Delta U_0 / U_{00})\%] = 60[1 + 0.01 \cdot 9.45] = 65.6 \text{ B}.$$

где $\Delta U_{\phi} / U_{\phi H} = 9,45\%$ взято из табл. 18.1.

4. В соответствии с табл. 18.2 определяем основные параметры диода:

$$I_{\text{пр.к.п.}} = 3.5 \cdot I_{\text{s}} = 3.5 \cdot 0.7 = 2.45 \text{ A;}$$

$$I_{\text{пр.с.p.}} = I_{\text{o}} / 2 = 0.7 / 2 = 0.35 \text{ A;}$$

$$U_{\text{обр.н.n}} = 1.5 \cdot U_{\text{o}} = 1.5 \cdot 65.6 = 98.4 \text{ B.}$$

В соответствии с этими значениями параметров по табл. 18.3 выбираем диод Д 231. Его основные параметры: $I_{\rm пр.cp} = 5$ A> $I_{\rm пр.cp} = 0,35$ A. $U_{\rm обр. н.мах} = 300$ B> $U_{\rm обр. н.л} = 98,4$ В $U_{\rm обр. н.л} = 1$ В. Так как параметры выбранного диода намного больше

нараметров выпрямителя, то в каждое плечо мостовой схемы полключаем по одному диоду. Схема выпрямителя будет иметь вид как на рис. 18.9.

5. Дифференциальное (внутреннее) сопротивление диодов (одного плеча).

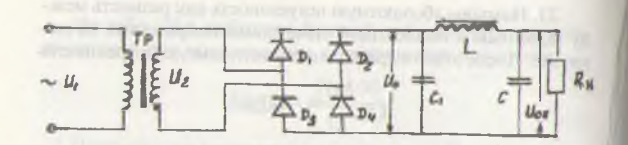


Рис. 18.9. К расчету выпрямителя с ёмкостной нагрузкой.

$$r_{\text{auxp}} = \frac{U_{\text{up cp}}}{3 \cdot I} = \frac{1}{3 \cdot 0.35} = 0.96 \text{ OM}.$$

6. Активное сопротивление обмоток трансформатора, приведенное к вторичной обмотке:

$$r_{_{TP}} = \frac{K_{_{_{_{}}}} \cdot U_{_{_{0}}}}{I_{_{_{0}}} \cdot f \cdot B} \sqrt{\frac{s \cdot f \cdot B}{U_{_{_{0}}} \cdot I_{_{0}}}} = \frac{3,5 \cdot 65,6}{0,7 \cdot 50 \cdot 1,38} \sqrt{\frac{I \cdot 50 \cdot I,38}{65,6 \cdot 0,7}} = 5,04 \text{ OM} \; .$$

7. Активное сопротивление фазы выпрямителя

 $r_{o}=2$ $r_{aii\phi}+r_{r_{p}}=2\cdot0.96+5.04=6.96$ Ом. 8. Индуктивность рассеяния обмоток трансформатора, приведенное к вторичной обмотке

$$L_{*} = 1 \cdot K_{t} \frac{S \cdot U_{o}}{I_{o} \cdot f \cdot B} \sqrt{\frac{U_{o} \cdot I_{o}}{S \cdot f \cdot B}} = 1 \cdot 5 \cdot 10^{-3} \frac{65.6 \cdot 1}{0.7 \cdot 50 \cdot 1.38} \sqrt{\frac{65.6 \cdot 0.7}{1 \cdot 50 \cdot 1.38}} = 6.1 \cdot 10^{-3} \Gamma_{H}$$

9. Соотнощение между активным и реактивным сопротивлениями фазы выпрямителя

$$\phi = \arctan \frac{\omega \cdot L_{p}}{r_{o}} = \arctan \frac{2 \cdot 3.14 \cdot 50 \cdot 6.1 \cdot 10^{-3}}{6.96} = \arctan \frac{0.316}{6.96}; \phi = 17^{\circ}.$$

10. Вспомогательный параметр А

$$A = \frac{I_o \cdot \pi \cdot r_o}{m \cdot U_o} = \frac{0.7 \cdot 3.14 \cdot 6.96}{2 \cdot 65.6} = 0.109.$$

11. По табл. 18.4 находим коэффициенты В, Д и F. B=1,12; Д=2,0; F=5,0.

12. По табл. 18.5 находим коэффициент Н:Н=25000. Примечание. При нахождении коэффициентов В, Д. F. Н необходимо применить метод интерполяции.

13. В соответствии с табл. 18.2 определяем значение попторяющегося импульеного прямого тока.

$$I_{\bullet\bullet} = \frac{I_{\circ} \cdot F}{2} = \frac{0.7 \cdot 5}{2} = 1.75 \,\text{A}(5 \,\text{A}).$$

14. В соответствии с табл. 18.2 определяем электрические параметры трансформатора:

$$U_1 = B \cdot U_0 = 1,12.65,6 = 73,5B; \ I_2 = I = I \frac{I_0}{\sqrt{2}} = 2 \frac{0.7}{1.41} = 1A;$$

$$I_1 = n_{21} \cdot I_2 = \frac{U_2}{U_1} \cdot I_2 = \frac{73.5}{220} \cdot 1 = 0.33 \text{ A};$$

$$P_r = 1.5 \cdot P_o = 1.5 \cdot 65.6 \cdot 0.7 = 68.9 \text{ BA}.$$

Согласно этим параметрам производится расчет трансформатора.

15. Проверяем диод по обратному напряжению

$$U_{obp} = \sqrt{2} \cdot U_z = 1,41 \cdot 73,5 = 103,6 \text{ B} < 300 \text{B}$$

Следовательно, диод выбран правильно. 16. Находим входную емкость фильтра

$$C_1 = \frac{100H}{K_{a,px}\% \cdot r_o \cdot f} = \frac{100 \cdot 25000}{15 \cdot 6,50} = 477$$
 мкф.

По табл. 18.6 подбираем конденсатор К50-22 емкостью 170 мкф и напряжением 160 В. Определим коэффициент пульсации для этого конденсатора

$$K_{***} = \frac{H \cdot 100}{r_0 \cdot C \cdot f} = \frac{25000 \cdot 100}{6,96 \cdot 470 \cdot 50} = 15,2\%$$

Номинальное напряжение выбранного конденсатора

$$U_{ci} = 160B > U_{pab} = \sqrt{2} \cdot U_z = 1,41 \cdot 73,5 = 103,6B$$
.

Коэффициент фильтрации фильтра

$$K_{\phi} = \frac{K_{\alpha,m}\%}{K_{n,n}\%} = \frac{15,2}{1,2} = 12,5$$
.

18. Произведение LC фильтра равно

L C=10
$$(K_{\phi}+1)/M^2=10 (12,5+1)/4=33,3 \Gamma_{\mu}MK\Phi$$
.

Индуктивность дросселя

$$L = \frac{L \cdot C}{C_1} = \frac{33.3}{470} = 0.071 \; \Gamma_H$$

При этом с целью унификации берем С=С $_1$ =470 мкф. По табл. 18.7 подбираем дроссель с L=0,08 Гн, r_L =8,6 Ом. 19. Проверяем фильтр на отсутствие резонанса

$$2 \cdot 1/\sqrt{LC} < 2 \cdot \omega \cdot m;$$

$$2 \cdot \frac{1}{\sqrt{0.08 \cdot 470 \cdot 10^{-1}}} < 2 \cdot 2\pi f = 628.$$

332<628

Следовательно, в фильтре резонанса не будет. 20. Определяем действительное напряжение на нагрузке

$$U_{ost} = U_{o} - r_{i} \cdot l_{o} = 65, 6 - 8, 6 \cdot 0, 7 = 59, 6 \text{ B}.$$

21. Относительная погрешность расчета

$$\gamma = \frac{\Delta U_{\text{\tiny oM}}}{U_{\text{\tiny o}}} \cdot 100\% = \frac{U_{\text{\tiny o}} - U_{\text{\tiny o}}}{U_{\text{\tiny o}}} = \frac{60 - 59.6}{60} \cdot 100\% = 0.66\%.$$

Таблица 18.2 Формулы расчета выпрямителя с емкостной нагрузкой

Схемы выпря- мителей Пара метры	Одно- фазная одно- полупе- риодная	Однофаз- ная двух- нолупе- риодная со средней точкой	Одно- фазная двухпо- лупе- риодная мостовая	Трех- фазная одно- полу- пери- одная	Трех- фазная двухпо- лупериод- ная мос- товая
Іприметр, связанный со всмой выпрямителя, m	I	2	2	3	6
реднее значение примого тока диода I	1,	lo/1	LO/2	10/3	10/3
Понторяющееся пыпульсное обратное папряжение U	3 U ₀	3.U _e	1,5 U _o	3 U ₀	1,5 U ₀
Повторяющийся импульсный прямой ток (приблизит) І _{тала}	11,	3,5 l _o	3,5 l _o	2,3-{	1,15 l _o
Повторяющийся импульсный прямой ток (угочисиный) 1	I _p F	$\frac{I_0 - F}{2}$	$\frac{I_0 \cdot F}{2}$	$\frac{I_0 \cdot F}{3}$	$\frac{I_0 \cdot F}{3}$
Параметр, связанный со кемой выпрямителя K,	2,3	4,7	3,5	6.9	4,5
Активное сопротивление филы выпрямителя г	r _{and} +r _{vp}	L ^{Tuф} +L th	$2r_{pq}+r_{q}$	T=0+T=	2r _{анф} +2r _п
Ппраметр, связанный со кемой выпрямителя K ₁	4,1 10 3	4,3 10 3	5,0 10 3	4.1 10 3	1,9 10 3
Действующее значение напряжения вторичной обмотки тр-ра U,	B U ₀	B U₀	B U ₀	B U ₀	$B\sqrt{\frac{U_0}{3}}$
Дваствующее значение тока во вторичной обмотке тр-ра I,	Д1,	$\frac{\underline{\mathcal{H}} \cdot \mathbf{I}_0}{2}$	$\frac{\mathcal{I} \cdot I_o}{\sqrt{2}}$	$\frac{\underline{\mathbf{H}} \cdot \mathbf{I}_0}{3}$	<u>Д·І</u> ₀
Пояствующее значение пока в первичной обмотке тр-ра I,	$a_{21} \sqrt{\frac{2}{1_2} - \frac{2}{1_0}}$	n ₂₁ l ₂ √2	$\mathfrak{n}_{21} \cdot \mathfrak{l}_2$	12 3	n ₂₁ l ₂
I абаритная моціность гр-ра Р	2 P ₀	1,8 P _o	1,5-P ₀	2P _o	1,2 P ₀
Полнан мощность вто-	2,15 P _o	2.15 P ₀	1,5·P ₀	2,15 P ₀	1,25-P

П р и м е ч а н и е. І. $n_{ij} = U_j/U_j$. 2 В трехфазной мостовой схеме вторичная обмотка трансформатора соединяется в звезду.

Таблица 18.3. Основные параметры выпрямительных диодов

Тип дио- да	Макс. сред- ний пря- мой ток	Макс. им- пульс- ное об- ратное напряж	Срел- нее пря- мое нап- ряже- ние U	Ин- тер- вал рабо- чих тем- пера- тур, °C	Тип дио- да	Макс. сред- ний пря- мой ток,	Макс. им- пульс- ное обрат- ное напр.	Сред- нее пря- мое напр. U	Ин- тервал рабо- чих темпе- ратур, °С
Д7А	0,3	50	0,5	-60+ +60	Д 243 А	10,0	200	1,0	-60++125
Д7В	0,3	150	0.5	-60+ +60	Д 245 А	10,0	300	1.0	-60++125
Д7Д	0,3	300	0,5	-60+ +60	Д 246 A	10.0	400	1,0	-60++125
д 7Ж	0,3	400	0,5	-60+ +60	Д 202 А	5,0	50	1.0	-60++130
Д 302	0,1	200	0,3	-60+ +60	Д 202 В	5,0	100	0,1	-60++130
Д 304	5,0	150	0,3	-60+ +60	Д 262 Д	6,0	200	1,0	-60++130
Д 305	0,01	50	0,35	-60+ +60	Д 202 Ж	5,0	300	1.0	-60++130
Д 207	0,1	200	1.0	-55+ +125	Д 262	5,0	400	0,1	-60++130
7 209	0,1	400	0,1	-55÷ +125	Д 202 М	5,0	500	1,0	-60++130
Д 211	0,1	600	1,0	-55+ +125	Д 202 Р	5,0	600	1,0	-60++130
Д 214 А	10,0	100	0,1	-60+ +130	Д 203 А	10,0	600	1.0	-60++100
Д 215	10,0	200	1,0	-60+ +130	Д 203 В	10.0	800	1,0	-60++100
Д 217	0,1	800	1,0	-60+ +125	Д 203 Д	10,0	1000	1,0	-60++100
МД 218	0,1	1000	1,0	-60+ +125	Д 266 A	10,0	400	1,35	-60++70
МД 218 A	0,1	1200	1,1	-60+ +125	Д 206 Б	10,0	500	1,35	-60++70
Д 226	0,25	300	1,0	-60+ +10	Д 206 В	10,0	600	1,35	-60++70
Д 229 л	0,5	400	1,0	-60+ +85	2Д 206 A	5,0	400	1,35	-60++85

Окончание табл. 18.3

5.0	300	1,0	-60++130	2Д206Б	5,0	500	1,35	-60++85
10.0	300	1,0	-60++130	2Д206В	5,0	660	1,35	-60++85
5.0	400	1,0	-60++130	2Д206А	5,0	800	1,0	-60++100
10,0	400	1,0	-60++130	2Д206Б	0,01	800		-60++160
2.0	400	1,0	-60++130	2Д206В	5,0	1000	1.0	-60++100
5.0	500	1.0	-60++130	2Д206Г	10,0	1000	1.0	-60++100
2,0	600	1.0	-60++130	2Д206Б	10.0	20	0,6	-60++100
10,0	100	1,0	-60++125	11511	1			
	10,0 5,0 10,0 2,0 5.0 2,0	10,0 300 5,0 400 10,0 400 2,0 400 5.0 500 2,0 600	10,0 300 1.0 5,0 400 1.0 10,0 400 1.0 2,0 400 1.0 5,0 500 1.0 2,0 600 1.0	10.0 300 1.0 -60++130 5.0 400 1.0 -60++130 10.0 400 1.0 -60++130 2.0 400 1.0 -60++130 5.0 5.0 1.0 -60++130 2.0 600 1.0 -60++130	10.0 300 1.0 -60+130 2 Д 206 В 5.0 400 1.0 -60+130 2 Д 206 А 10.0 400 1.0 -60+130 2 Д 206 Б 2.0 400 1.0 -60+130 2 Д 206 В 5.0 500 1.0 -60+130 2 Д 206 Г 2.0 600 1.0 -60+130 2 Д 206 Б	10,0 300 1.0 60+130 2 Д 206 B 5.0 5,0 400 1.0 60+130 2 Д 206 A 5,0 10,0 400 1.0 60+130 2 Д 206 Б 10,0 2.0 400 1.0 60+130 2 Д 206 Б 5,0 5.0 500 1.0 60+130 2 Д 206 Г 10.0 2.0 600 1.0 60+130 2 Д 206 Г 10.0	10,0 300 1.0 -60+130 2 \(\pi\) 2 \(\pi\) 2 \(\pi\) 6 \(\	10,0 300 1.0 -60++130 2 Д 206 В 5.0 660 1,35 5.0 400 1.0 -60++130 2 Д 206 А 5.0 800 1,0 10.0 400 1.0 -60++130 2 Д 206 Б 10.0 800 1,0 2.0 400 1.0 -60++130 2 Д 206 Б 5.0 1000 1.0 5.0 500 1.0 -60++130 2 Д 206 Г 10.0 100 1.0 2.0 600 1.0 -60++130 2 Д 206 Г 10.0 20 0.6

Таблица 18.4 Значения коэффициентов В, Д, F в зависимости от коэффициента А и угла ф

	В							D					F					
A		_					φ°					φ°						
	0'	15"	30°	45*	60°	75°	0.	15"	30"	45°	60"	75°	0°	15°	30,		_	-
0	0,7	0,7	0,72	0,73	0.75	0.76	4,2	4,0	3,5	2,8	2,6	2,3	_	$\overline{}$	_	-	_	-
0.02	0,82	0.84	0,87	0,89	0,92	1.01	2,62	2,48	2,35	2.25	2.18	1.95	8,6	7.4	7,0	6,3	5,7	5,0
0.04	0,91	0,92	0.94	0.97	1.04	1.16	2,35	2.25	2.2	2,07	1,94	1,82	7.0	6,4	5.9	5,2	4,7	4,15
0.06	0,97	1,00	1.02	1,06	1,15	1,27	2,25	2,2	2.06	1,97	1,85	1,78	6.2	5.9	5,3	4,7	4,3	3,9
0.08	1.04	1,06	1,08	1,14	1,22	1.38	2,15	2,05	1.97	1,85	1,80	1,75	5,85	5,5	5,0	4,5	4.0	3,75
D III	1.10	1,12	1,15	1,21	1,31	1,44	2,10	2,0	1,9	1,83	1,75	1,7	5,45	5,1	4.85	4.2	3,9	3,7
	1.16	_	_		_	-	2,05	1,95	1,88	1,80	1,70	1,63	5,15	4,95	4,6	4,05	3.8	3,6
0.14	1,20	1,23	1,27	1,36	1,48	-	2,0	1,9	1,85	1,77	1,68	1,62	4,95	4.85	4,4	4,0	3,7	3,45
n 16	1,26	1,29	1.34	1,43	-	e	1.95	1,85	1,8	1,74	1,67	1,6	4.75	4,7	4.2	3,9	3.6	3,3
0.18	1,32	1,35	1.40	1	-	-	1.92	1,87	1.78	1.72	1,65	1,58	4,6	4.5	4.1	3.85	3,5	3.2
Name and	1,37	_	_	-	1-	-	1,88	1,85	1,75	1,7	1,62	1.55	4,5	4,4	4.0	3,8	3,4	13,15

Параметры конденсаторов

Номи-	Электролитич			Оксидно-пол-	енсаторы
WATER-	ТИП кон	денсатора и	его номина	альная емкост	ь. мкф
жения. В	К 50-3Б	K 50-22	K 50-24	K 53-1	K-53-1
15	K 30-3D	1000, 20005000, 10000	47, 100, 470, 1000, 2200, 4700 10000	0,068; 0,1; 0,15; 0,22; 0,33; 0,47; 2,2; 3,3; 4,7; 6,8; 10; 15; 22; 33; 47,68	0,068; 0,1; 0,15; 0,22; 0,33;0,47; 0,68; 1,0; 1,5;2,2;3,3; 4,7; 6,8; 10; 15; 22;
25	10,20,50,100, 200,500,1000	680,1000. 2000,4700. 6800	22,47,100, 220,470, 1000,2200, 4700	1000000	
30				0,33; 0,047; 0068; 0,1;0,15; 1; 1,1;1,5; 2,12; 3,3;4,7 6,8; 10; 15; 22; 33.	
50	10,20,60,	220, 470, 1000, 220			1 0
63	1.00	10, 22, 47, 100, 220470, 1000, 220	SUPE III		
100	10.20,50,100	100,220			
	2,5; 10, 20	47, 100 220, 47	0 10; 22	17.10-44	
160	50, 200		47; 100 200	•	-
250	20,50	-		-	-
450	2,5,10,20		2,510,2	20	

18.5				75*	0	200	300	-		T			
				-09	0	230 200	600 450 300					-1	
Таблица		9		45	0	400	8	05.0001	96				Ti.
Tat		9=W	° D	0	0	009	800		50 150 900				1.19
			1	.0	0	1200	001	2100	2400	17			
				.5	0	1800	0000	000	200	2500			
				.09	0	2500	3000 2000	3500 2700 2100	5950 2500 2400	800 2300	6200	200	
AV	É			45	0	3000	3500 3	2000	0009	8000	9 0006	90005	0000
	эначения коэффициента гл в зависимости коэффициентов А и m, а также угла ф	m=3	8-	30	0	3000	4000	6300 5	7200 6	10300		8200 17000 13000 95000 6200	21000 18500 14000 10000
	же уг			15	0	3000	4000	0089	8000	120001	2000 1	70001	8500
	в завис Также			.0	0	3000	4000	7000	8500	13500	690 15000 12000	8200	10001
	m, a			75°	0	002	4000	9999	6400	0200	130001	177	2
	А и			.09	0	3100	4800	8000	8200	140001	190061		
	ИТОВ НТОВ	2	ф	45.	0	3600	2660	8500	1900	0009		0992	1/2
	чения коэффициент коэффициентов А и	m=2		30.	0	1200	6400	0006	0096	17300	25000 28000 26000 24000 21000	32300 29600 27660	2000
77	ффе		i	15°	0	4800	200	00 6	10,100	18700	200097	32300	35000
	KG			0	0	5400	8000	10000	11000	20000	28000	35000	00000
	1			15.	0	3000	0009	00001	00011	19500	25000		1
				.09	0	3000	0009 0009	0000	12500	22600	32000	43000	52900
		m=1		45,	0	3000		1000	1250	23-	32-800	44-	53-
		E	9	0	0	3000	6000	10-	12	23-	33-	45	54-
				15.	0	3000	6000 6000	00	125	240-	340-	460-	550- 00
				.0	0	3000	0009	10000	12500	0.08 24000 240-	35000	0,16 47000	0,2 57000
	10		<		0	10'0	0,02	0.03	0,04	0,08	0	0,16	70

398

Таблица 18.7 Унифицированные дроссели фильтр

	Индук	Ток	Сопро		T	T	I Tou	Con-	
№ дрос- селя	дрос- селя L Гн	под- магни чива- ния, А	тивле- ние обмот- ки, г Ом	Тип маг- нито про- вода	№ дрос селя		под- маг- ничи- вания А	ротив лении обмот	Тип маг- нитопро- вода
ДІ	80,0	0,32	19	Шл6х12,5	Д52	0.01	12,5	0.86	Шл25х40
Д2	0,16	0,22	35,5		Д53	0.02	4.4	0,35	Шл 20х20
ДЗ	0,3	0.16	63,5		Д54	0,02	1,1	2,08	Шл 18х16
Д8	0,08	0,8	8,6	Шл8х16	Д55	0,02	0.56	4.2	Шл 6х6,5
Д9	0,16	0,4	19,0		Д56	0,0005	16,5	0.017	Шл12х25
Д10	0,3	0.28	33,0		Д57	1.2	0.8	26	Шл 20х40
Д16	0,08	8,0	4,65	Шл10х20	Д58	40	0.085	3000	Шл10х20
Д17	0,16	0,56	10,6		Д59	0,0043	2,9	0.3	Шл 12х16
Д18	0,3	0,4	19.0		Д60	0,0005	10.0	0.015	Шл16х20
Д26	80,0	1,1	4,0	Шл12х25	Д61	0.02	3,0	0.16	Lilu 16x16
Д27	0,16	0,08	7		Д62	0,05	2,5	0,55	Шл 32х40
Д28	0,3	0.56	14,0		Д63	0.00125	0.56	0,12	Ш.16х6,5
Д34	0,08	1,4	2,6	Шл16х16	Д64	0,08	0,1	12	III 16x 6.5
Д35	0.16	1,0	5,3		Д65	0.0025	0.56	0,36	111,16,6,5
Д36	0,3	0,8	10,5		Д66	0.05	0,02	1,1	Шл10х10
Д43	80,0	2,2	1,85	Шл20x20	Д67	0.02	2	0,4	Шл6х12,5
Д44	0,16	1.6	3,7		Д68	0,008	1	_	Шл6х12,5
145	0,3	1,1	7,0		Д69	0.005	5,6	0,17	Шл16х16

Пример обозначения дросселя: Д8-0,08-0,56, где Д8номер дросселя, 0,08-индуктивность в Гн, 0,56 - ток подмагничивания в А.

18.6.2. Расчет выпрямителей с индуктивной нагрузкой

Обычно выпрямители с индуктивной нагрузкой применяются при токах нагрузки более 1,0 ампера. В них фильтр начинается с дросселя.

Порядок расчета:

1. Задаются следующие исходные данные: напряжение U, ести и частота f, напряжение U_{os} и ток I_{os} нагрузки, коэффиниент пульсации K_{ms} , рабочий диапазон температур $\Delta T^{\circ}C$.

2. При выборе схемы выпрямителя пользуемся рекомендациями, данными выше. Для выбора схемы фильтра находим его коэффициент фильтрации

$$K_{\phi} = \frac{K_{nm}}{K}$$

где $K_{_{n.m.}}$ — коэффициент пульсации выпрямителя, берется из пібл. 18.9; $K_{_{n.m.}}$ — коэффициент пульсации на нагрузке. При $K_{_{\varphi}} < 25$ берется однозвенный фильтр, при $K_{_{\varphi}} > 25$

берется многозвенный фильтр.

1. По табл. 18.8 находим падение напряжения на дросселе фильтра и определяем выходное напряжение выпрямителя по формуле

$$U_0 = U_{0B} + \Delta U_L$$

гле $\mathbb{U}_{_{\mathrm{OH}}}$ — напряжение на нагрузке (дается в задании); $\Delta\mathbb{U}_{_{\mathbf{L}}}$ падение напряжения на дросселе (находится по табл. 18.8).

Таблица 18.8 Значения надений напряжения на дросселе

Po BA	1 U (f =50 FW)	AU_(f = 400 [4)
10+30	(0,2+0,14) U _{pri}	(0,07+0,05) U _{on}
30-100	(0,14÷0,1) U	(0,05+0,035) U_
100+300	(0,1+0,07)·U	(0,035+0,025) U
300+1000	(0,07±0.05)-U	(0,025+0,018) U
1000+3000	(0,05+0,035) U	(0,018+0,012)·U
3000+10000	(0,035+0.025) U	(0,012+0,009) U

4. Согласно табл. 18.9. определяем основные параметры лиода: $\| - \|$ прямой средний ток, $\| - \|$ повторяющееся импульсное значение прямого тока, $\| U_{\text{обр и п}} - \|$ повторяющееся импульсное значение обратного напряжения (уточнястея после расчета выпрямителя).

По табл. 18.3 подбираем тип диодов. Если нет необходимого диода, то можно использовать имеющиеся, соединив их параллельно или последовательно (см.п. параграфа 18.6.1).

5. Находим активное сопротивление обмоток трансформатора, приведенное к вторичной обмотке:

$$\Gamma = \frac{\kappa_r \cdot U_{\circ}}{I_{\circ} f \cdot B} \sqrt{\frac{S \cdot f \cdot B}{U_{\circ} \cdot I}}$$

где К - коэффициент, зависящий от схемы выпрямителя (берется из табл. 18.9), определение остальных величин этой формулы производится согласно п.6 параграфа 18.6.1 или дается в задании.

6. Определяем индуктивность рассеяния обмоток, приведенное к вторичной обмотке

$$L_c = 0.5 \,\mathrm{K_L} \, \frac{\mathrm{S} \cdot \mathrm{U}}{\mathrm{I_o} \cdot f \cdot \mathrm{B}} \sqrt[6]{\frac{\mathrm{U} \cdot \mathrm{I}}{\mathrm{S} \cdot f \cdot \mathrm{B}}},$$

где К - коэффициент, зависящий от схемы выпрямителя (берется из табл. 18.9). Остальные параметры брать согласно п.6,8 параграфа 18.6.1.

7. По табл. 18.9 находим падение напряжения на активном сопротивлении обмотки трансформатора

8. По табл. 18.9 находим падение напряжения на реактивном сопротивлении обмотки трансформатора.

9. По табл. 18.9 находим падение напряжения на диоде 10. Определяем напряжение холостого хода выпрямленного напряжения

$$U_{oc} = U_o + \Delta U_{1p} + \Delta U_x + \Delta U_{1p} + \Delta U_L$$

где ΔU_{xy} и ΔU_{x} — падения напряжения на активном и реактивном сопротивлениях обмотки трансформатора; ΔU_{max} падение напряжения на диоде; ΔU_L — падение напряжения на дросселе фильтра.

11. Выбранный диод проверяем на обратное напряжение согласно формуле из табл. 18.9.

12. По формулам табл. 18.9 определяем параметры трансформатора: \mathbf{U}_{1x} , \mathbf{I}_{2} , \mathbf{I}_{1} , \mathbf{P}_{1} . По этим параметрам производится расчет трансформатора.

13. Минимальное значение индуктивности дросселя фильтра определяется по формуле:

$$L_{-} = \frac{2U_{o}}{(m^{2} - 1)m \cdot \pi \cdot f \cdot I_{o}}$$

где т - берется из табл. 18.9.

По найденному значению L из табл. 18.7 выбираем необходимый стандартный дроссель L

14. Находим произведение LC

$$L \cdot C = 10(K_{\phi} + 1)/m^2$$
,

где K_{ϕ} –коэффициенти фильтрации фильтра. 15. По найденному значению L-C находим емкость конденсатора С

$$C = \frac{L \cdot C}{L} M \kappa \phi ,$$

Из табл. 18.6 выбираем необходимый конденсатор.

16. Проверяем правильность найденного значения коэффициента фильтрации

$$K_{\phi} = \frac{L \cdot C \cdot m^2}{10} - 1$$

17. Проверяем фильтр на отсутствие резонанса

The
$$\omega_{per} = \frac{1}{\sqrt{LC}}; \omega = 2\pi f$$
.

18. Проверяем падение напряжения на выбранном дрос-

$$\Delta U_i = r_i \cdot I$$
.

Если это значение падения напряжения меньше найденно-10 ΔU, по таблице то дроссель выбран правильно. В противном случае необходимо изменить напряжение холостого хода.

Таблица 18.9 Формулы расчета выпрямителя с индуктивной нагрузкой

Схемы		Однофа 3-	Трехфаз-	Трехфаз
выпря	ная двухполу-		ная	ная
интелей		полупе-	однопо-	двухполу
	со средней	риодная	лупериод-	периодня
Параметры	точкой	Мостовая	ная	мостовая
Количество импульсов выпрямения m	2	2	3	6
Среднее значение прямого тока диода I	1,	10	103	I,
Повторящийся импульсный прямой ток диода і прямой ток диода і прямой ток диода і пряможня пр	10	10	10	10
Повторяющееся импульсное обратное напряжение на диоде U	3,14 U _e	1.57 U ₀	2.1 U ₀	1.05 U ₀
Параметр, зависящий от схемы выпряжления К,	1	5,2	6,6	2,5
Параметр, зависящий от схемы выпрямления L-10-3	5,5	6,4	3,3	0,1
Падение напряжения на активном сопротивлении обмотки тр-ра ΔU_m	1 _o ·r _p	I, t,	l _i r _e	21 _g ·r _p
Падение напряжения на реактивном сопротивлении обмотки тр-ра ΔU	2 J _o nL _r	21 ₀ - fT_ _p	31 ₀ f·L _p	61 ₀ fL,
Падение напряжения на диоде ΔU	U _{sp} .	2U ₁₀	Um	2U _{np}
Напряжение вторичной обмотки тр-ра U ₂	1,11 U ₀₁	1,11 U _{ax}	0,855U _o ,	0,43 U _{ox}
Гок вторичной обмотки тр- ра 1,	0,711,	I _o	0,581,	0,82 1,
Гок первичной обмотки Г,	n ₂₁ ·1 _o	n ₂₁ ·1,	1,47 n. l.	0,82 n, I,
абаритная мошностьтр-ра Р,	1.34 U.J.	1,11-U _{ox} -I _o	1,35-U 1	1,05 U I
Голная мошность поричной обмотки тр-ра Р,			1.5-U ₄ -1 _a	1,05 U ₀ ,1
Соэффициент пульсации %	67	67	25	5,7

Примечание. U - напряжение холостого хода выпрямителя; п - коэффициент трансформации грансформатора.

1. Требуется произвести расчет выпрямителя с индуктивной нагрузкой по следующим исходным данным:

Напряжение и частота тока сети U_1 =220 В, f=50 Γ ц, напряжение и ток нагрузки $U_{\rm or}$ =10 В, $I_{\rm or}$ =6 А, коэффици-ΔT=-60++80°C.

2. Так как напряжение $U_{o}=10B$ и мошность $P_{o}=1_{o}U_{o}=610=60$ ВА малы и ток $I_{o}=6$ А>1 А, то выбираем однофазную двухполупериодную схему выпрямителя со средней точкой. Так как $I_{\rm sf}=6$ A>IA, то входным элементом фильтра выбираем дроссель. Коэффициент фильтрации фильтра

$$K_{+} = \frac{K_{+++}}{K_{--}} = \frac{67}{2.7} \approx 24.8$$
.

3. По табл. 18.8 определяем падение напряжения на дросселе фильтра

$$\Delta U_{L} = U_{OH} \cdot 0,12 = 10 \cdot 0,12 = 1,2 \text{ B}.$$

Выходное напряжение выпрямителя равно:

$$U_0 = U_{OH} + \Delta U_1 = 10 + 1,2 = 11,2$$
 B.

4. В соответствии с табл. 18.9 определяем основные параметры диода:

среднее значение прямого тока диода

$$I_{mp.cp.} = \frac{1}{2} = \frac{6}{2} = 3 \text{ A}$$

— максимальный средний ток $I_{\omega,np} = 10$ A>3 A; — максимальное импульсное обратное напряжение

 $U_{\rm obj\, HM} = 100\,$ В>35,17 В; — среднее прямое напряжение $U_{\rm obj\, HM} = 1\,$ В. Так как основные параметры диода больше основных параметров выпрямителя, то в каждом плече схемы подключаются по одному диоду (рис. 18.10).

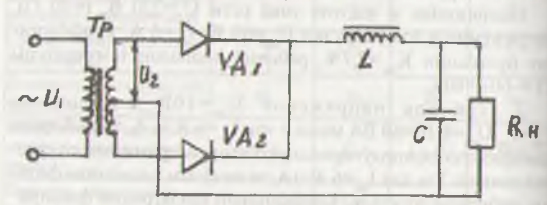


Рис. 18.10. К расчету выпрямителя с индуктивной нагрузкой.

Определяем активное сопротивление обмоток трансформатора, приведенное к вторичной обмотке.

$$\mathbf{r}_{\bullet} = \frac{\mathbf{k}_{\bullet} \cdot \mathbf{U}_{\circ}}{\mathbf{I}_{\circ} \cdot f \cdot \mathbf{B}} \sqrt{\frac{\mathbf{S} \cdot f \cdot \mathbf{B}}{\mathbf{U}_{\circ} \cdot \mathbf{I}_{\circ}}} = \frac{7 \cdot 11.2}{6 \cdot 50 \cdot 1.4} \sqrt{\frac{1 \cdot 50 \cdot 1.4}{11.2 \cdot 6}} = 0.183$$
Ома.

6. Определяем индуктивность рассеяния обмоток трансформатора, приведенное к вторичной обмотке

$$L_{e} = 1 \cdot K_{c} \frac{S \cdot U}{I_{o} \cdot f \cdot B} \sqrt{\frac{U \cdot I}{S \cdot f \cdot B}} = 5.5 \frac{10^{3} 11.2}{6 \cdot 50 \cdot 1.4} \sqrt{\frac{11.2 \cdot 6}{1 \cdot 50 \cdot 1.4}} = 1.5 \cdot \frac{10^{3} 11.2}{11.5} = \frac{10^{3} 11.2} = \frac{10^{3} 11.2}{11.5} = \frac{10^{3} 11.2}{11.5} = \frac{10$$

 $=0,143\cdot10^{-3}\Gamma_{\rm H};$

коэффициент S=1.

7. Падение напряжения на активном сопротивлении обмотки трансформатора

 $\Delta U_{TD} = I_{o} \cdot r_{TD} = 6.0,183 = 1,10 \text{ B}.$

8. Падение напряжения на реактивном сопротивлении $\Delta U_x = 2 \cdot I_0 \cdot f \cdot L_s = 2 \cdot 6 \cdot 50 \cdot 0,143 \cdot 10^3 = 0,0858B.$

9. Падение напряжения на диодах

$$\Delta U_{np} = U_{np} = 1 B$$

10. Величина выпрямленного напряжения при холос-

 $U_{_{CD}} = U_{_{0}} + \Delta U_{_{10}} + \Delta U_{_{10}} + \Delta U_{_{10}} + \Delta U_{_{10}} + \Delta U_{_{11}} = 11,2+1,1+0,0858+1+1,2=14,586B.$ 11. Проверяем выбранный диод по обратному напряжению

Следовательно, диод подобран правильно.

12. По табл. 18.9 определяем параметры трансформатора: напряжение вторичной обмотки

$$U_{2}=1,11\cdot U_{2}=1,11\cdot 14.586=16,19$$
 B.

Ток вторичной обмотки

$$I_0 = 0.71 \cdot I_0 = 0.71 \cdot 6 = 4.26 \text{ A}.$$

Коэффициенты трансформации
$$n_{21} = U_{2c}/U_1 = 16,19/220 = 0,0736;$$

ток первичной обмотки

Габаритная мощность трансформатора

$$P = 1,34 \cdot U_{ov} \cdot l_o = 1,34 \cdot 14,586 \cdot 6 = 117,27 \text{ B A}.$$

Минимальная индуктивность дросселя

$$L_{min} = \frac{2Uo}{(m^{2} - 1) \cdot m \cdot \pi \cdot f \cdot l_{o}} = \frac{2 \cdot 11.2}{(2^{2} - 1) \cdot 2 \cdot 3.14 \cdot 50 \cdot 6} = 0.004 \, Fu.$$

По табл. 18.7 выбираем стандартный дроссель Д52. Его параметры: индуктивность $L_{=}$ =0,01 Гн, ток I=12,5 A активное сопротивление r_L =0,086 Ом. 14. Произведение LC

$$LC = \frac{10(K_{\phi} + I)}{m^2} = \frac{10(24.8 + I)}{4} = \frac{258}{4} = 64.8 \text{ FH} \cdot \text{MKD}.$$

15. Емкость конденсатора

$$C = \frac{L \cdot C}{L_{-}} = \frac{64.8}{0.01} = 6480 \text{ мкф}.$$

По табл. 18.6 выбираем конденсатор К50-22. Его параметры: емкость с=6800 мкф, рабочее напряжение

$$U_{ox} = 25B \sqrt{2} \cdot U_{ox} = \sqrt{2} \cdot 14,586 = 20,56B.$$

16. Проверяем правильность найденного значения коэффициента фильтрации

$$K_{\phi} = \frac{L \cdot C \cdot m^2}{10} - I = \frac{0.01 \cdot 6800 \cdot 4}{10} - 1 = 26.2 \cdot 24.8$$

Следовательно, значения L и С найдены правильно. 17. Проверяем фильтр на отсутствие резонанса $2\omega_{\rm net}$ < m· ω ,

$$\omega_{\text{per}} = \frac{1}{\sqrt{LC}} = \frac{1}{\sqrt{0,01 \cdot 6800 \cdot 10^{-6}}} = 122 \text{ pag/c};$$

$$m\omega = 2 \cdot 2 \cdot 3,14 \cdot 50 = 628 \text{ pag/c}.$$

так как $2 \cdot \omega_{per} = 2 \cdot 122 = 244 < 628$, резонанса в фильтре не будет.

18. Падение напряжения в выбранном дросселе $\Delta U_{L} = r_{L} l_{0} = 0.086.6 = 0.516 B < 1.2 B.$

Следовательно, изменять напряжение холостого хода U₂, во вторичной обмотке не надо.

18.6.3. Расчет выпрямителя с активной нагрузкой без фильтра

В этих выпрямителях в большинстве случаев используются многофазные выпрямители. Порядок расчета аналогичен расчету выпрямителя с индуктивной нагрузкой. Формулы расчетов приведены в табл. 18.10. Поэтому данный выпрямитель рассмотрим на примере.

1. Исходные данные: напряжение сети U₁=220 В, частота f=50 Гц, выпрямленное напряжение U =110 В, ток нагрузки [=9А, коэффициент пульсации К =10%, рабочий режим температуры $\Delta T^{\circ}C = -60 + +80^{\circ}C$.

2. Так как мощность нагрузки $P_0 = U_0 I_0 = 110.9 = 990$ ВА и коэффициент пульсации К п.н = 10%, то выбираем трехфазную двухполупериодную мостовую схему (схему Ларионова, см. схему на рис. 18.5).

3. По табл. 18.10 находим основные параметры диода:

Среднее значение прямого тока

 $I_{\text{np.cp}} = I_{0/3} = 9/3 = 3A.$

Повторяющийся импульсный прямой ток

 $1_{np} = 1,05 \cdot 1 = 1,05 \cdot 9 = 9,45 \text{ A}.$

Повторяющееся импульсное обратное напряжение

 $U_{o6p.H.} = 1,05 \cdot U_{ox} = 1,05 \cdot 1,2 \cdot U_{o} = 138,6 \text{ B.}$ При этом для определения U предварительно вместо Uох взято значение 1,2. Uо.

По табл. 18.3 выбираем диод Д215 А. Его основные параметры:

максимальный средний прямой ток

 $I_{\text{млр}} = 10 \text{ A};$ максимальное импульсное обратное напряжение

U_{м.обр}=200 В; среднее прямое напряжение $U_{\text{пр ср}} = 1B$: рабочий диапазон температуры: -60++130°C;

схемы выпрямителя приведена на рис. 18.5.

4. Определяем активное сопротивление обмоток трансформатора, приведенное к вторичной обмотке:

$$r = \kappa_r \frac{U}{I_o \cdot f \cdot B} \sqrt[3]{\frac{S \cdot f \cdot B}{U_o \cdot I_o}} = 2.5 \frac{110}{9 \cdot 50 \cdot 1.3} \sqrt[3]{\frac{3 \cdot 50 \cdot 1.3}{110 \cdot 9}} = 0.315 Oм.$$

Значение В взято из табл.7.1.

5. Определяем индуктивность рассеяния обмоток трансформатора, приведенное к вторичной обмотке:

$$1_{-p} = 1 \cdot K_L \frac{S \cdot U_0}{I_0 \cdot f \cdot B} \sqrt[4]{\frac{U_0 \cdot I_0}{S \cdot f \cdot B}} = 10^{-3} \frac{3 \cdot 110}{9 \cdot 50 \cdot 1.3} \sqrt[4]{\frac{110 \cdot 9}{3 \cdot 50 \cdot 1.3}} = 0.84 \cdot 10^3 \, F_H$$

6. Падение напряжения на активном сопротивлении обмотки трансформатора

$$\Delta U_{rp} = 2 \cdot l_{o} \cdot r_{rp} = 2 \cdot 9 \cdot 0.315 = 5.64 \text{ B}.$$

7. Падение напряжения на реактивном сопротивлении обмотки трансформатора

$$\Delta U_x = 6 \cdot I_o f \cdot L_\rho = 6.9 \cdot 50 \cdot 0.84 \cdot 10^{-3} = 2.27 \text{ B}.$$

8. Падение напряжения на диодах

$$\Delta U_{np} = 2 \cdot U_{np} = 2 \cdot 1 = 2 \text{ B}.$$

9. Выпрямленное напряжение холостого хода $U_{n} = U_{n} + \Delta U_{m} + \Delta U_{n} + \Delta U_{n} = 110 + 5,64 + 2,27 + 2 = 119,91$ B.

Окончание табл. 18.10

 $U_{\text{обр}}=1.05 \cdot U_{\text{ох}}=1.05 \cdot 119.91=125.9 \text{ B} < 200 \text{ B}.$ Следовательно диод выбран правильно. По формулам табл. 18.10 находим параметры трансформатора: напряжение вторичной обмотки $U_{2x}=0.43 \cdot U_{\text{ox}}=0.43 \cdot 119.91=51.56 \text{ B};$ ток вторичной обмотки $I_{2}=0.82 \cdot I_{2}=0.82 \cdot 9=7.38 \text{ A};$ коэффициент трансформиции $n_{2}=U_{2x}U_{$

10. Обратное напряжение на диоде

 $n_{_{3}} = U_{_{3}}/U_{_{1}} = 51,56/220 = 0,238;$ габаритная мощность трансформатора $P = 1,05 \ U_{_{31}} = 1,05.119,91.9 = 1132,9 \ B.A.$ По этим параметрам рассчитывается трансформатор.

Таблица 18.10 Формулы расчета выпрямителя с активной нагрузкой без фильтра

Схемы выпрями- теля Параметры	Опнофазь	Однофаз- ная двух- полупс- риодная со средней точкой	Однофаз- ная двухно- лупериол- ная мос- товая	Трехфаз- ная одно- полупс- риолная	Трехфаз- ная двухнолу- пернол- ная мос- товая (ехе- ма Ларио- нова)
Число им- пульсов вып- рямленного напряжения, т	V (1	2	2	3	6
Срелнее зна- чение прямого тока диола,	I _q	I ₀ /2 .	1 _n /2	l _p /3	1 _n /3
Повторяю- шийся им- пульсный прямой ток лиода, 1	3.141,	1.57· I _u	1,57- I _n	1.21 [,	1,05 1,
Повторяю- шееся им- пульсное обратное нап- ряжение дио-	3,14-1	3,14 U _{.v.}	1.57·U _m	2,1 U.,	1,05 U _{st}

Коэффициент ехемы выпрямителя, Кг	5,2	7	5,2	6.6	2,5
Ко ффициент хемы выпря- мителя, К , ^{10,3}	12	5,5	6,4	3,3	0,1
Падение нап- ряжения на актив- ном сопротив- тении обмотки тр-ра, ΔU_m	t _o r _m	I _e e _e	I ₀ г _т	Ų.	2l₀·rm
Падение напряжения на индуктивном сопротивлении обмотки тр-ра, AU,	$(l_0 \pi f L_p)^2 / U_0$	2 l _g f L _p	2-1 ₀ f -L _p	3-l₀√ L₀	61 _n f L _p
Падение напряжения на диоде, AU ₂₈	Une	U _{ap}	2U _{iq}	Um	2U ₁₁₇
Напряжение вто- ричной обмотки, U ₃	2,22·U	1,11.U _{ex}	1,11 U _m	0,855 U _m	0.43 U _m
Гок вторичной обмотки, 1,	1,57 [,	0.785 [,	1.111 _n	0,58 l _a	0,82-1,
Гок періятчной обмотки. 1,	1,21-1 ₆ - n ₂₁	1.11 Ι _υ π ₃₁	LIII, n _{ii}	0,58 l _o n ₁₁	0,82 I, п,
Габаритная мощ- ность тр-ра, Рг	3,1 P _n	1,49 P _a	1,23 P ₀	1,37 P _o	1,05·P _o
Полная мощность обмотки тр-ра, Р,	3,5 P _q	1,74 P _o	1,23 P _n	1,51 P _n	1,05 P ₀
Коэффициент пульсации вып- рямителя К _{ият} , %	157	67	67	25	5,7

П р и м е ч а н и е: $U_{\rm int}$ — выпрямленное напряжение холостого хода; $n_{\rm 21}$ — коэффициент трансформации; $U_{\rm 2h}$ — фазное напряжение в многофазных системах; $P_{\rm int}$ — минимальная габаритная мощность вторичной обмотки.

ГЛАВА 19

ЭЛЕКТРОННЫЕ УСИЛИТЕЛИ

Электронным усилителем называется устройство, в котором, изменяя небольшой входной сигнал, можно с помощью внешнего источника питания изменять большие выходные сигналы. В настоящее время в электронных усилителях в качестве усилительного элемента в основном применяются транзисторы. Поэтому в этой главе будут рассмотрены полупроводниковые усилители. Основными параметрами усилителей являются:

1. Коэффициент усиления-отношение приращения выходного параметра к соответствующему приращению входного параметра. Например, по напряжению:

$$K_{*} = \frac{\Delta U_{*}}{\Delta U_{*}}.$$
 (19.1)

В многокаскадных усилителях общий коэффициент уси-

$$K=K_1K_2K_3...K_s$$

 K_{p} , K_{r} , K_{n} —коэффициенты усилении каскадов. Воспринимаемое человеческим ухом изменение звука пропорционально логарифму изменения энергии звука. Поэтому коэффициент усиления в большинстве случаев выражается в логарифмических единицах бел (Б). Один бел соответствует К=10. На практике чаще пользуются в 10 раз меньшей единицей, называемой децибел:

Таким образом, коэффициент усиления по напряжению в децибелах

$$K_{ab} = 10lg \frac{\Delta U_{max}}{\Delta U_{gas}}.$$
 (19.3)

Соответственно коэффициент усиления многокаскадпого усилителя равен

$$K_{ab} = K_{1ab} + K_{2ab} + K_{3ab} + ... + K_{nab}$$

Коэффициент усиления по мощности равен

$$K_{pab} = 20 \lg \left(\frac{\Delta U_{max}}{\Delta U_{sx}} \right)$$
 (19.4)

Действительно,

$$K_{\text{pals}} = 10 \, lg \left(\frac{\Delta P_{\text{max}}}{\Delta P_{\text{max}}} \right) = 10 \, lg \left(\frac{\Delta U_{\text{max}}^2}{\Delta U_{\text{s}}^2} \right) = 20 \, lg \left(\frac{\Delta U_{\text{max}}}{\Delta U_{\text{m}}} \right)$$

так как $P=U^2/R$.

2. Выходная мощность, выделяемая на нагрузке.

$$P_{\text{BMX}} = U_{\text{BMN}}^2 / R_{\text{H}} = U_{\text{M-BMX}}^2 / 2R_{\text{H}}. \tag{19.6}$$

Обычно пользуются величиной, называемой номинальной выходной мощностью. Максимальная мощность нагрузки, при которой погрешности усилителя не выходят за допустимые пределы, называется номинальной выходной мощностью.

3. Коэффициент полезного действия - это отношение выходной мощности к мощности электрической энергии, потребляемой усилителем.

$$\eta = \frac{P_{\text{\tiny MADA}}}{P_{\phi}} \tag{19.6}$$

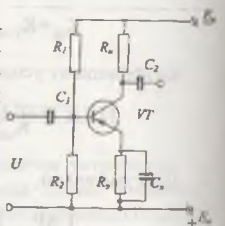
тие Р мощность электрической энергии, потребляемой усилителем.

4. Частотные искажения формы электрического сигнапа, связанные с тем, что усилитель на разных частотах усиливает сигнал неодинаково.

5. Фазовые искажения фазы выходного сигнала по отношению к фазе входного сигнала. Они связаны с наличием в усилителях индуктивностей и емкостей.

19.1. Предварительный каскад усилителя низкой частоты

Усилители, основанные на биполярных транзисторах, собираются обычно по схеме с общим эмиттером (рис.19.1). Для нормальной работы транзистора необходимо между эмиттером и базой подать постоянное напряжение примерно U 0,5 В, называемое напряжением смещения. Для получения этого напряжения обычно пользуются делителем напряжения R₁ R₂. Величины сопро- Рис. 19.1. Предваритель тивлений R, и R, находятся из сле- ный каскад усилителя дующих формул



назкой частоты.

$$R_1 = \frac{E - U_{do}}{I_a + I_a} \approx \frac{E}{I_a + I_a}; R_2 = U_{do}/I_a$$
, (19.8)

где Е — э.д.с. источника; $U_{\rm 63}$ — напряжение между базой и эмиттером; $l_{\rm g}$ — ток базы; $l_{\rm g}$ — ток делителя.

Конденсатор С, пропускает на вход усилителя только переменную составляющую входного сигнала. Резистор R., являясь нагрузкой коллектора, служит для выделения вы ходного сигнала. При изменении входного сигнала изменяется ток коллектора и падение напряжения на нагрузке. В результате изменяется выходной сигнал.

При изменении температуры изменяется ток транзистора. Например, при повышении температуры увеличивается ток транзистора. В результате изменяется рабочий режим транзистора. Для уменьшения влияния изменения температуры применяется схема температурной стабилизации. В приведенной схеме эту задачу выполняет резистор R, Падение напряжения на этом резисторе U₃=I₃ R₃ и U напряжение делители U_a=I_a R₂ направлены противоположно друг другу. По этому на пряжение эмиттер—база будет равно их разнице $U_{65} = U_{a} - U_{a}$

Следовательно, резистор R, создает отрицательную обратную связь по постоянному току. Например, при повышении температуры увеличивается ток транзистора, что ведет к увеличению U₃. Это ведет к уменьшению напряжения смещения базы и тока транзистора. Конденсатор С,, соединенный параллельно R, создает обратную связь по переменному току. На рабочих частотах усиливаемого сигнала сопротивление конденсатора должно быть намного меньше R_1 , т.е. $X_c << R_a$. Поэтому переменная составляющая усиливаемого сигнала проходит через С,, не падая на R.

Конденсатор С, пропускает на вход следующего каскада только переменную составляющую выходного сигнала первого каскада.

Расчет данного каскада можно также выполнить графическим путем (рис. 19.2). Для этого пользуемся входными и выходными характеристиками транзистора, соединенного по схеме с ОЭ. При известных сопротивлении на-

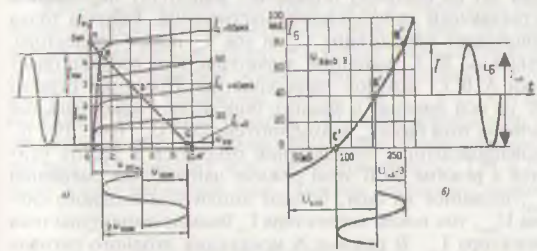


Рис. 19.2. Работа каскада транзисторного усилителя с общим эмиттером: а) выходные характеристики транзистора; б) входные характеристики транзистора.

грузки R, и напряжении источника э.д.с. Е, начертим нагрузочною линию. Напряжение источника падает на коллекторном переходе и нагрузке в цепи коллектора R_s:

$$E_{k} = U_{k} + I_{k} \cdot R, \qquad (19.9)$$

где U падение напряжения в коллекторном переходе; Ік ток коллектора.

При токе коллектора, равном нулю (I_{κ} =0),

 $E_{K} = U_{K0} + I_{K} R = U_{K0}, \text{ T.e.}$

все напряжение падает на коллекторном переходе. Если $U_{\kappa}=0$, то

 $E = U_n + I_n \cdot R = I_n \cdot R_n$

отсюла

$$I_{\kappa} = \frac{E\kappa}{R\kappa}.$$
 (19.10)

Отложив в масштабе U_{κ_3} на оси абсцисс ток I_{κ} , на оси ординат находим точки N и M. Соединив их, получим нагрузочную линию MN (рис. 19.2 а), которая пересекает выходные характеристики транзистора. На нагрузочной линии выбираем рабочую часть исходя из минимально допустимых искажений. Этому соответствует отрезок ВС. При изменении входного сигнала по синусоиде рабочая точка будет находиться на середине ВС (точка А). Проекция отрезка ВА на обсциссу определяет амплитуду переменной составляющей коллекторного напряжения. Рабочая точка А определят напряжение U_{κ_0} и ток I_{κ_0} покоя коллектора. Точкам А. В, С выходной характеристики соответствуют точки А',В',С' входной характеристики.Проекции отрезка В'А' на оси ординат и абсцисс определяют максимальные значения тока базы $I_{6\pi}$ и входного сигнала $U_{6\pi}$ (рис. 19.2 б). Вышеприведенные определения относятся к работе усилится в режиме А. В этом режиме напряжение смещения U_{бта}, поданное на базу, больше амплитуды входного сигнала U , ток покоя коллектора І больше амплитуды тока коллектора 1, В режиме А искажения входного сигнала будут наименьшими, но и коэффициент усиления будет также маленьким. В этом режиме работают усилители напряжения и маломощные выходные каскады.

19.2. Многокаскадные транвисторные усилители

Если для получения необходимого коэффициента усиления одного каскада недостаточно, то применяют многокаскадные усилители. При этом выходной сигнал предыдущего каскада на вход последующего каскада. На рис. 19.3 приведена схема двухкаскадного усилителя с резистивно-емкостной связью. Через конденсатор С, на вход

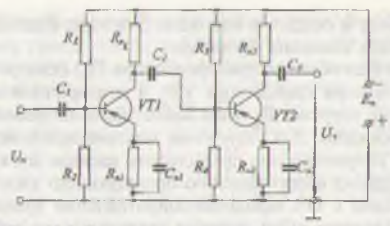


Рис. 19.3. Друхкаскадими тран исторным усилителя с ризистивно-емкостной связью.

второго каскада подается только переменная составляющая выходного сигнала первого каскада. Конденсатор C_3 подает на нагрузку только переменную составляющую выходного сигнала второго каскада. Задачи остальных элементов схемы такие же, как у разобранного в параграфе 19.2. предварительного каскада.

Кроме резистивно-емкостной связи в усилителях применяется также трансформаторная связь. На рис. 19.4 приведена схема двухкаскадного усилителя с трансформаторной связью. Первичная обмотка трансформатора TPI подключена в цель коллектора транзистора VT_1 и служит его нагрузкой. Вторичная обмотка TPI через конденсатор C_2 подключена на вход второго каскада. Ток коллектора транзистора VT_1 проходит чере первичную обмотку TPI и создает в нем магнитное поле, которое пересекает вторич-

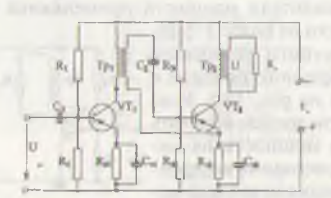


Рис. 19.4. Двухкаскадный транзисторный усилитель с трансформаторной связью.

ную обмотку и создает в ней э.д.с. Эта э.д.с. будет для второго каскада входным сигналам.

Первичная обмотка трансформатора Тр2 подключается в цепь коллектора транзистора $VT_{_2}$, а к вторичной обмотке подключена нагрузка R, (или может быть подключен вход третьего каскада). Для получения максимальной мощности выходное сопротивление предыдущего каскада должно быть равно входному сопротивлению последующего каскада. Однако, в схеме с ОЭ выходное сопротивление транзисторов большое (десятки кОм), входное сопротивление небольшое (сотни Ом). Поэтому выходной сигнал предыдущего каскада замыкается на малое сопротивление и передает ему малую мощность. При применении трансформаторной связи подбирая необходимый коэффициент трансформации, можно согласовать выходное сопротивление предыдущего каскада с входным сопротивлением последующего каскада. Кроме того, трансформаторная связь дает возможность применения источников тока с низкими напряжениями. Причиной этого является то, что падение напряжения в первичной обмотке меныне, чем на нагрузочном сопротивлении R

19.3. Выходной каскад низкочастотного усилителя

В качестве выходного каскада применяются обычно усилители мощности. К ним в качестве нагрузки могут быть подключены электромагнитное реле, электродвигатели или лругие исполнительные механизмы. Транзисторные усилители мошности могут быть однотакными и двухтактными. Одноактные усилители мощности применяются при вы-

ходной мощности не более 3-5 Вт. Схема одноактного усилителя мощности, собранного по схеме с ОЭ, приведена на рис. 19.5. Усилитель мошности должен выделять о максимальную мощность на нагрузке. Для согласования внутреннего сопротивления источника колебаний и сопротивления нагрузки применяется согласующий трансформатор. При каждой на-

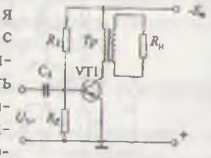


Рис. 19.5. Однотактный усилитель мощности.

грузке коэффициент трансформации трансформатора должен быть таким, чтобы на нагрузке выделялась максимальная мощность. Известно, что коэффициент трансформации трансформатора $K_1 = U_1/U_2$ и $I_1/I_2 = 1/KT$. Следовательно, $U_1 = U_2/KT$ и $I_1 = I_2/KT$.

Таким образом,

$$R_{n}^{T} = \frac{U_{1}}{I_{1}} = \frac{U_{2} \cdot K_{T}}{I_{2} / KT} = \frac{U_{2}}{I_{2}} K_{T}^{T} = R_{n} \cdot K_{T}^{2}, \quad (19.11)$$

где U, и U, - напряжения первичной и вторичной обмоток трансформатора; І, и І, - токи первичной и вторичной обмоток трансформатора; К, - коэффициент трансформа-

ции трансформатора; R_u^+ – сопротивление нагрузки, приведенное к первичной обмотке.

Таким образом,

$$K_{T} = \sqrt{R_{u}/R_{u}}.$$
 (19.12)

Для получения больших выходных мощностей применяются двухтактные выходные каскады (рис.19.6). Эти усилители могут работать в режиме усиления В. Как видно из гра-

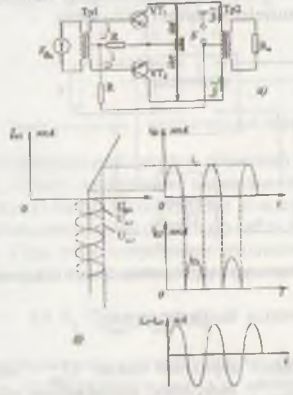


Рис. 19.6. Двухтактный усилитель мощности: а) схема; б) график работы.

фиков (рис. 19.6 б) входные сигналы $U_{\rm sx1}$ и $U_{\rm sx2}$ сдвинуты между собой на 180°. Поэтому в данный момент времени один из транзисторов открыт, а другой закрыт, и транзисторы пропускают токи поочередно. Через вторичную обмотку трансформатора и нагрузку $\mathbf{R}_{_{\rm S}}$ проходит сумма токов от обоих транзисторов. Соответственно и выходная мощность в два раза больше, чем в однотактном усилителе. Постоянные составляющие коллекторных токов $\mathbf{I}_{_{\rm KO2}}$ и $\mathbf{I}_{_{\rm KO2}}$ направлены встречно. Поэтому в трансформаторе \mathbf{T} подмагничивание отсутствует, что позволяет уменьшить габариты и вес трансформатора по сравнению с одноактной схемой.

19.4. Обратная связь в усилителях

Обратной связью называется подача части выходного сигнала на вход. Если направления сигнала обратной связи и входного сигнала совпадают, такую обратную связь называют положительной. В противном случае она называется отрицательной обратной связью. В усилителях используется отрицательная обратная связь. Функциональная схема усилителя с обратной связью показана на рис. 19.7. Отношение напряжения обратной связи к выходному напряжению называется коэффициентом обратной связи.

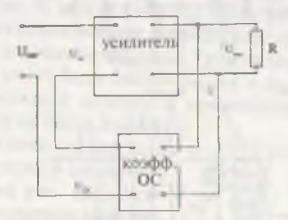


Рис. 19.7. Отрицательная обратная связь в усилителях.

$$\beta = U_{oc}/U_{max}, \qquad (19.13)$$

где β — коэффициент обратной связи; $U_{\rm sc}$ — напряжение обратной связи; $U_{\rm sc}$ — выходное напряжение усилителя.

420

При отрицательной обратной связи входной сигнал будет равен разности напряжений самого сигнала и обратной связи $U_{\rm ac} = U_{\rm cur} - U_{\infty}$. (19.14)

При отрицательной обратной свизи коэффициент усиления усилителя меньше, чем в усилителе без обратной связи:

$$K_{\infty} = \frac{K}{1 + K \cdot \beta}$$
 (19.15)

где К — коэффициент усиления без обратной связи; К — коэффициент усиления с обратной связью. Отрицательная обратная связь стабилизирует коэффициент усиления. Уменьшаются частотные, фазовые и нелинейные искажения. Схема усилителя с отрицательной обратной связью показана на рис. 19.8.

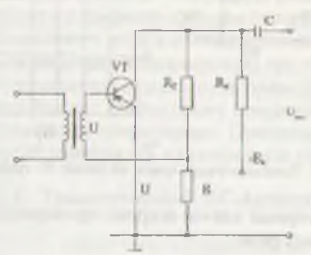


Рис. 19.8. Схема усилителя с отринательной обратной связью.

При этом напряжение сигнала обратной связи берется с резистора R₃. Если с изменением входного сигнала увеличивается потенциал базы, то потенциал коллектора уменьшается. Это уменьшение через обратную связь подается на базу транзистора. При этом напряжение входного сигнала и обратной связи будут направлены друг против друга.

19.5. Транзисторный ключ

Схема, включающая и отключающая цепь нагрузки под воздействием управляющего сигнала, называется транзисторным ключом. На рис. 19.9. приведена схема простейшего транзисторного ключа. Активная нагрузка R_{μ} подключена в

цепь коллектора. Управляющие импульсы на базу транзистора VT1 подаются через резистор R_6 При отсутствии импульсов (на схеме 19.9 б промежутки времени 0-t, t_z - t_z) эмиттерный переход закрыт, ток коллектора равен нулю. Поэтому падение напряжения на R_z также будет равно нулю. Напряжение коллектора будет равно напряжению источника — E_k . При подаче на вход схемы отрицательных импульсов транзистор открывается и по цепи коллектора проходит ток. Почти все напряжение источника подает на R_z , а напряжение коллектора практически будет равно нулю.

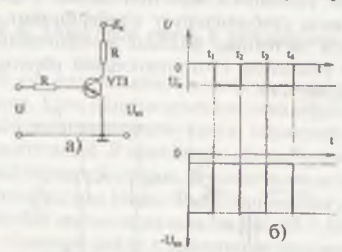


Рис. 19.9. Транзисторный ключ: а) схема; б) график работы.

Транзисторные ключи широко применяются в качестве бесконтактных реле.

ГЛАВА 20

ЭЛЕКТРОННЫЕ ГЕНЕРАТОРЫ И ИЗМЕРИТЕЛЬНЫЕ ПРИБОРЫ

Плектронным генератором называется устройство, преобразующее энергию источника постоянного тока в незазухающие электрические колебания необходимой формы и частоты.

По способу возбуждения генераторы бывают независимопо возбуждения и с самовозбуждением (автогенераторы). Генераторы независимого возбуждения усиливают колебания посторонних источников. Автогенераторы при помощи положительной обратной связи создают незатухающие колебания. Авпогенераторы бывают генераторами синусоидального колебания и выпульсными генераторами. Генераторы синусоидальных колебаний разделяются на генераторы типа LC и RC.

20.1. Транзисторный LC-автогенератор

На рис. 20.1. представлена схема транзисторного автогеператора с индуктивной связью. Конденсатор C_{κ} и катушка 1. образуют параллельный ко-

лебательный контур.

Конденсатор C_{κ} заряжается перез резистор R_{κ} и транзистор R_{κ} VI. После заряда конденсатор C_{κ} разряжается через катушку 1. Магнитное поле этой катушки пересскает катушку обратной связи L_{∞} и создает в ней L_{κ} которая подается в цень R_{κ} политер транзистора VT. Транзистор открывается, конденсатор C_{κ} вновь заряжается и

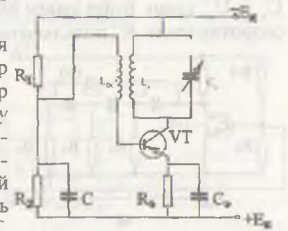


Рис. 20.1. Схема транзистор ного LC-генератора.

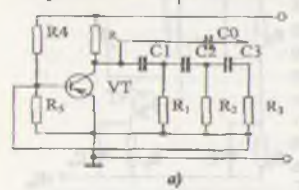
т.д. В результате в цепи коллектора и база-эмиттер возникают незатухающие гармонические колебания с частотой

$$f_0 = \frac{I}{2\pi\sqrt{LC}}$$

Так как обратная связь положительна, переменная составляющая тока коллектора усиливает колебания контура. Это приводит к увеличению переменной составляющей входного напряжения через катушку І. Для получения незатухающих колебаний в контуре положительная обратная связь должна быть сильной. Поэтому катушка обратной связи располагается на одном каркасе с І, или рядом с ней. Кроме того, фазы входного сигнала (на базе) и выходного (на коллекторе) должны быть сдвинутыми между собой на 180°.

20.2. Транзисторный RC-автогенератор

LC-генераторы применяются на частотах свыше $20~\mathrm{k}$ Гц, так как ниже этих частот габариты контура LC увеличиваются. Поэтому на частотах ниже $20~\mathrm{k}$ Гц применяются RC-генераторы (рис.20.2). Вместо колебательного контура в этой схеме подключен резистор, являющийся нагрузкой коллектора. Положительная обратная связь осуществляется при помощи 3-х цепочек RC. Напряжение коллектора состоит из активной $U_{\rm gl}$ и реактивной составляющей $U_{\rm cl}$. Ток $I_{\rm l}$ по фазе опережает по фазе напряжение $U_{\rm cl}$ на 90° и совпадает с $U_{\rm gl}$. Величины $R_{\rm l}$ и $C_{\rm l}$ можно подобрать такими, что между $U_{\rm k}$ и $U_{\rm gl}$ сдвиг будет равен 60° . (рис. $20.2~\mathrm{fo}$). На активное сопротивление $R_{\rm l}$ подключена цепь $R_{\rm l}$ $C_{\rm l}$. Величины $R_{\rm l}$ подключена цепь $R_{\rm l}$ $C_{\rm l}$. Величины $R_{\rm l}$ подключена цепь $R_{\rm l}$ $C_{\rm l}$. Величины $R_{\rm l}$ подключена цепь $R_{\rm l}$ $C_{\rm l}$. Величины $R_{\rm l}$ подключена цепь $R_{\rm l}$ $C_{\rm l}$.



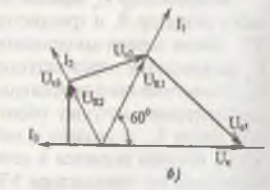


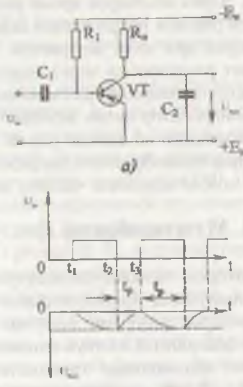
Рис. 20.2. Схема транзисторного RC-генератора: а) схема; б) векторная диаграмма.

мижно подобрать такими, чтобы сдвиг между U_R 1 и U_{R3} будет ринен 60°. В результате сдвиг фаз между U_{κ} и U_{R3} будет ринен 180°. Таким образом, выходное напряжение U_{R3} будет и притивофазе входному напряжению U_{κ} , тем самым сомыется положительная обратная связь. Если выполняется условие $C_1 = C_2 = C_3 = C$ 1 и $R_1 = R_3 = R_3$ 7, то частота колебаний генгратора находится из выражения

$$f_{\circ} = 1/2\pi - \sqrt{6R \cdot C} . \qquad (20.1)$$

20.3. Генератор импульсов нилообразного напряжения

В некоторых электронных устройствах, например, в исктронных осциллографах, управляемых тиристорных выпрямителях применяются импульсы пилообразного наприжения. Транзисторная схема такого генератора показа ип рис. 20.3 а. Первоначально транзистор VT открыт и нахолитея в насыщенном состоянии. Поэтому напряжение на коллекторе и конденсаторе С, равно 0. В момент времени t₁ (рис. 20.3 б) при подаче на базу положительного импульса



Рыс. 20.3. Траизисторный генератор импульсов пилообразного папряжения: а) схема; б) график напряжения.

транзистор закрывается и конденсатор С, начинает заряжаться Напряжение на конденсаторе возрастает в форме пилы. В конце запускающего импульса (в момент времени t₂) транзистор открывается, и конденсатор разряжается через эмиттер-колдектор транзистора, который входит в режим насыщения. Далее процесс повторяется. На рис. 20.4 а показана схема генератора импульсов пилообразного напряжения на неоновой дампе.

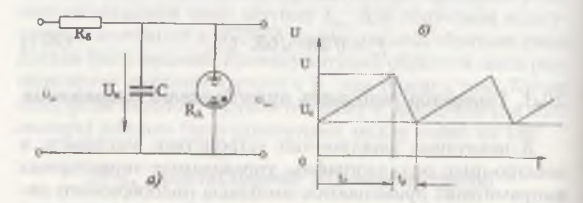


Рис. 20.4. Генератор импульсов пилообразного напряжения на неоновой лампе: а) схема; б) график напряжения.

При подаче напряжения конденсатор С заряжается через балластное сопротивление $R_{\rm g}$, и напряжение на нем возрастает (рис. 20.4 б). Через некоторое время напряжение конденсатора становится равным напряжению зажигания $U_{\rm 3}$ неоновой лампы, которая при этом загорается. После этого конденсатор начинает разряжаться через лампу. Разряд конденсатора продолжается до напряжения ташения лампы. При этом лампа гаснет и конденсатор вновь заряжается. Далее процесс повторяется. В результате на выходе схемы появляются незатухающие импульсы пилообразного напряжения. Изменяя величины $R_{\rm g}$ и C, можно изменять частоту импульсов.

20.4. Мультивибратор (рис. 20.5)

Мультивибратором называется электронный генератор, генерирующий импульсы прямоугольной формы. Наиболее широкое распространение получил симметричный мультивибратор, состоящий из двух одинаковых половин. В них используются одинаковые транзисторы, одинаковые резисторы $R_{\rm xi} = R_{\rm x2}, R_{\rm i} = R_{\rm x}$, и конденсаторы $C_{\rm i} = C_{\rm y}$. Однако, при подаче напряжения питания из-за наличия положи-

тельной обратной связи начнется процесс генерации, т.е. при увеличении тока в одном транзисторе, в другом он уменьшается. Например, начал увеличиваться ток коллектори гранзистора VT_1 . Это ведет к увеличению падения напряжения на $R_{\kappa 1}$ и приращению положительного потенцили на коллекторе VT_1 . Однако на конденсаторе напряжение миновенно измениться не может. Поэтому это прирашение прикладывается к базе транзистора VT_2 , запирая его. Это ведет к уменьшению тока коллектора VT_3 , уменьшению падения напряжения на $R_{\kappa 2}$ и увеличению отрицательного потенциала коллектора VT_2 . Этот отрицательной потенциал через конденсатор C_2 подается на базу VT_1 , уско-

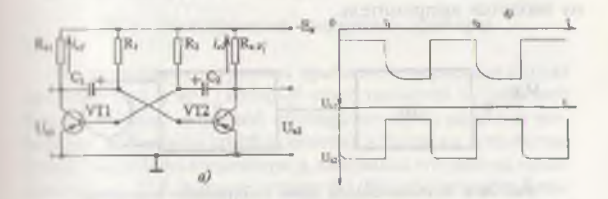


Рис. 20.5. Транзисторный мультивибратор: а) схема; б) график напряжения.

ряя его открытие. Этот процесс происходит лавинообразно и в результате транзистор VT, откроется, а VT, закроется.

Мультивибратор переходит в одно из своих временных устойчивых состояний. Описанные процессы на графике рис. 20.5 б соответствуют моменту времени t=0. После этого конпенсатор C, начинает заряжаться по цепи $\pm E_{\kappa}$, эмитгербизи VT_1 , C_2 , R_{κ} и $-E_{\kappa}$ до напряжения E_{κ} . Конденсатор C_1 ризрижается через резистор R_1 и транзистор VT_1 . В момент премени t_1 знаки напряжений конденсаторов меняются. В результате этого транзистор VT_2 отпирается, а VT_1 запирается. Таким образом, переходя из одного устойчивого состояния пругос, на выходе мультивибратора формируется напряжение почти прямоугольной формы. Это напряжение можнит спимать с коллектора любого транзистора.

20.5. Электронные аналоговые приборы

Эти приборы состоят из электронного преобразователя и магнитоэлектрического прибора. Они служат для измерения напряжения, частоты и других электрических величин. Они обладают большим входным сопротивлением и большой чувствительностью. На рис. 20.6 показана функциональная схема электронного вольтметра. Высокоомный делитель ДН обеспечивает большое входное сопротивление прибора и изменение пределов измерения. Усилитель усиливает измеряемое напряжение, повышая чувствительность прибора. Магнитоэлектрический прибор МП измеряет напряжение. Для измерения псременного напряжения в схему вводится выпрямитель.

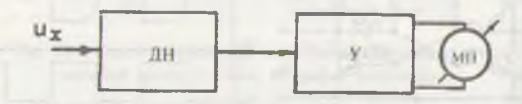


Рис. 20.6. Функциональная схема электронного вольтметра.

Схема измерителя частоты показана на рис. 20.7. Преобразователь П преобразует неизвестной частоты переменное напряжение в прямоугольные импульсы одинаковой амплитуды. Частота импульсов равна частоте измеряемого

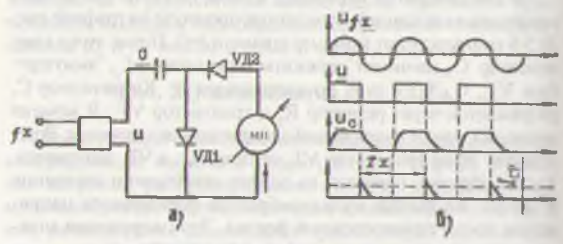


Рис. 20.7. Измеритель частоты: а) схема; б) рабочая диаграмма.

напряжения. При нарастании импульса конденсатор C зарижлется через диод $V Z_1$.

При спаде импульса конденсатор разряжается через диод VI на магнитоэлектрический прибор МП (рис.20.6 б). Сриднее значение разрядного тока определяется из следующего выражения:

 $I_{cn} = qf = C \cup_{c} f_{x}$

тие С — емкость конденсатора, q=С U — заряд конденсатора, t — напряжение конденсатора, f — неизвестная частота. При пен именных значениях С и U ток прямо пропорционален f. Таким образом, если шкалу прибора отградуировать в частоте, то неизвестную частоту можно измерять непосредственно.

20.6. Электронные цифровые приборы

В электронных цифровых приборах измеряемый сигнал преобразуется в код, который представляется в цифровой форме. Вообще, цифровой прибор состоит из входного устройства, цифрового преобразователя и счетного устройства. Схема цифрового вольтметра и диаграмма его работы покашны на рис. 20.8. Входное устройство (ВУ) обеспечивает большое входное сопротивление прибора. Управляющее устройство запускает генератор линейно измеряющего напряжения (ГЛИН). Напряжение этого генератора и измеряемое папряжение подаются на сравнивающее устройство СУ, Одновременно импульсы ГЛИНа подаются на сравнивающее устройство СУ, Когда напряжение ГЛИНа и измеряемое напряжение будут равны друг другу, а также когда напряжение ГЛИНа будет равно 0, сравнивающие устройства

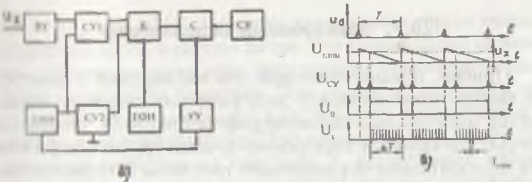


Рис. 20.8. Цифровой вольтметр: а) функциональная схема; б) рабочая диаграмма.

выдают сигналы $U_{\rm cy}$, которые открывают ключ К. В результате импульсы образцового генератора (ГОИ) через ключ подаются на счетное устройство (СУ). Время ΔT открытого состояния ключа определяется от момента, когда напряжение ГЛИНа и измеряемое напряжение равны, до момента, когда напряжение ГЛИНа будет равно 0 (на диаграмме $U_{\rm c}$). Число импульсов, проходящих через ключ за время ΔT , пропорционально величине измеряемого напряжения.

$$\Delta T = N \cdot T_{\text{\tiny rost}} = \frac{N}{f_{\text{\tiny ross}}},$$
 (20.2)

где N— число импульсов за время ΔT .

$$U = \Delta T tg\beta$$

где В — угол, определяющий скорость изменения напряжения ГЛИН.

Таким образом,

$$U_x = \Delta T \cdot tg\beta = \frac{N}{f} \cdot tg\beta$$

NUN

$$N = \frac{U_x \cdot f_{ron}}{tg\beta} = K \cdot U_x,$$

где
$$K = \frac{f_{-}}{\mathrm{tg}\beta}$$
 т.к. f_{-} и $\mathit{tg}\beta$ не изменяются.

Следовательно, число импульсов пропорционально величине неизвестного напряжения.

20.7. Электронный осциллограф

Прибор, предназначенный для наблюдения и контроля быстро изменяющихся электрических сигналов, называется электронным осциллографом (рис.20.9). Основной частью его является электронно-лучевая трубка (см. § 14.6). На горизонтально-отклоняющие пластины X подается пилообразное напряжение развертки. На вертикально-отклоняющие пластины У подается проверяемое напряжение. Пе-

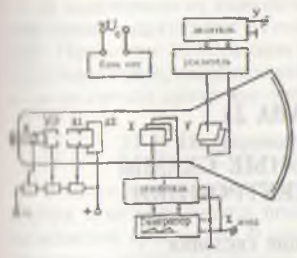
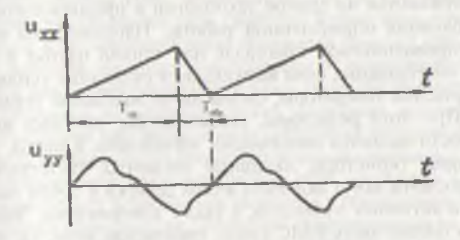


Рис. 20.9. Электронный осциллограф.

риод пилообразного напряжения должен быть равным или в целое число раз больше периода исследуемого напряжения. В начальный момент времени, когда напряжение пилообразной формы равно $U_{\rm o}$ на экране появляется светлое пятно. С ростом пилообразного напряжения пятно вырастает в горизонтальную линию слева направо за время $T_{\rm np}$. Это движение называется прямым хо-

лом луча. Напряжение развертки (пилообразное напряжение), лостигнув максимума, резко уменьшается до ${\rm U_o}$ за



Puc. 20.10. Графики напряжений, подаваемых на отклоняющие пластины осциллографа.

преми Т обр (рис.20.10). При этом луч движется справа налево, обращаясь опять в светлое пятно. Это перемещение называется обратным ходом луча. Этот процесс происходит с частотой напряжения развертки. При подаче исследуемого напряжения на вертикальные пластины луч перемещается в пертикальном направлении. При одновременной подаче напряжения развертки на пластины X, исследуемого напряжения — на У, на экране осциллографа получим полную развертку исследуемого напряжения.

ГЛАВА 21

ИНТЕГРАЛЬНЫЕ СХЕМЫ МИКРОЭЛЕКТРОНИКИ

21.1. Общие свеления

Одним из основных направлений развития электроники является уменьшение массы и размеров электронной аппаратуры. Большие изменения в этом направлении связаны с интегральными микросхемами. Интегральные микросхемы изготовляются по единой технологии и предназначены для выполнения определенной работы. Например, на одном полупроводниковом кристалле или тонкой пленке в качестве интегральных схем выпускаются различные усилители, импульсные генераторы, схемы вычислительной техники и т.д. При этом резисторы, конденсаторы, катушки индуктивности являются пассивными элементами, а диоды, гранзисторы, тиристоры-активные элементы. Интегральные микросхемы могут включать в себя десятки и сотни пассивных и активных элементов, а также компонентов. Элемент представляет часть ИМС (диод, транзистор, резистор и др.), выполненных неразрывно с кристаллом и его нельзя рассматривать как самостоятельное изделие. Компонент также является частью ИМС, но его можно выделить как самостоятельное комплектующее изделие (например, безкорпусные диоды, транзисторы в гибридной интегральной схеме).

Уровень развития ИМС определяется с помощью показате ля, называемого уровнем интеграции, который представляет собой суммарное число элементов и компонентов N, входящих в ИМС. Десятичный логарифм от уровня интеграции, округленный до ближайшего большего целого числа, называется сте пенью интеграции K=IgN. В соответствии с этой формулой ИМС с числом элементов и компонентов до 10 является ИМС 1-оп

степени интеграции, если N=11+100, то K-2 ит.д.

В швисимости от технологии изготовления интегральные схемы подразделяют на полупроводниковые и пленочные Пленочные ИМС, в свою очередь, подразделяются на инкопленочные, толстопленочные и гибридные, которые и сносм составе имеют как элементы, так и компоненты.

21.2. Полупроводниковые ИМС

В полупроводниковых ИМС все элементы выполнены внутри и на поверхности полупроводниковой подложки, низываемой кристаллом. В качестве кристалла обычно используется пластинка кремния, толщиной 30-50 мкм. Плоппль кристалла бывает обычно от 1,5х1,5 до 6х6 мм. На поверхности или в объеме этих пластинок путем введения примесей создаются различные элементы ИМС.

Причиной применения кремния при изготовлении попупроводниковых ИМС является то, что он при высоких температурах сохраняет свои свойства. Кроме того, при нагренянии в кислородной среде образуется диоксид кремния О', который защищает p-n-переходы от внешних воздействий и выполняет роль диэлектрика. В основе формирования элементов на подложке лежит планарная технология. на технология даёт возможность групповым методом обрабатынать одновременно несколько десятков подложек с сотними и тысячами полупроводниковых ИМС на каждой. Групповой метод дает возможность экономии и применения станпартизации производства. Элементы, изготовленные по плапарной технологии, имеют плоскую структуру: p-n-перехона и соответствующие контактные площадки выходят на озну плоскость подложки. После окончания технологического пикла подложки разрезают алмазным резцом или лаприным лучом на отдельные кристаллы, представляющие собой полупроводниковые ИМС. Элементы в кристалле изопированы друг от друга р-п-переходами, подключенными под обратное напряжение. Кремниевый переход при обратпом напряжении имеет очень высокое сопротивление (несколько мгОм), которое и выполняет роль изоляции.

Наиболее сложными и часто применяемыми элементами полупроводниковых ИМС являются транзисторы. На рис. 21 1, показано поперечное сечение биполярного транзистора типа р-п-р. Эмиттер и база представляют собой прямоугольники, что обеспечивает рациональное использование плошади кристалла. По двум сторонам эмиттера имеются контакты для присоединения к базе. Контакт к коллекторной области выполнен в виде прямоугольной рамки с разрывом, через который проходят металлизированные дорожки к эмиттеру и базе. Граница между коллектором п-типа

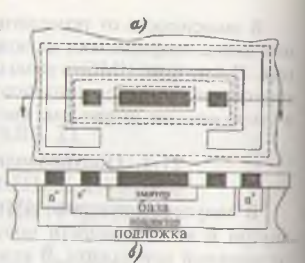


Рис. 21.1. Интегральный билолярный транзистор: а) топология; б) поперечное сечение.

и подложкой р-типа и границы двух других переходов выходят на поверхность пластины под окисной пленкой (на рис. 21.1. показаны пунктиром). Многослойные устройства транзисторов с несколькими р-п-переходами изготовляются путем диффузии в кристалл кремния донорных или акцепторных примесей. В большинстве случаев для изготовления полупроводниковых ИМС используются планарно-диффузионные и планарно-эпитаксиальные методы.

В качестве диодов применяются биполярные транзисторы в диодном включении, что является удобным для производства (рис. 21.2. а,б). У диодов с использованием коллекторного перехода обратное напряжение будет наи-

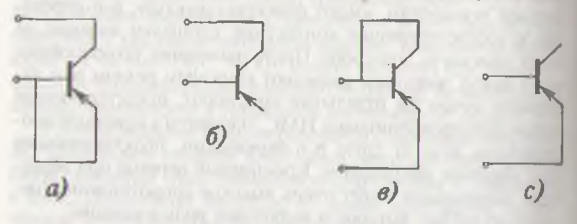


Рис. 21.2. Схемы применения интегральных биполярных транзисторов в качестве диодов: а, б) использование в качестве диодов коллекторного перехода; в,г) использование в качестве диода эмиттерного перехода

большим. У диодов с использованием эмиттерного перехо- по будет малый обратный ток и большое быстродействие.

Резисторы в полупроводниковых ИМС представляют собой тонкий слой полупроводника, образованный при диффузии и изолированный от остальной части кристалла. Такие резисторы называются диффузионными. Они изготовплотся, как правило, одновременно с изготовлением одпой из областей транзистора. Резисторы с малым сопротивпением создают при получении эмиттера, резисторы со средпим сопротивлением — при получении базы, резисторы с
большим сопротивлением — при получении коллектора. На
рис. 21.3, а показан резистор, выполненный при изготовлепии базы. п-слой служит для изолящии глубиной примерно 3
мкм р-слой определяет сопротивление резистора. На рис. 21.3,
6 показан резистор, выполненный при изготовлении коллектора. Изменяя толщину эпитаксиального слоя, можно по-

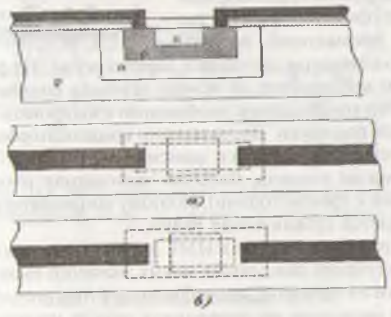


Рис. 21.3. Диффузионные резисторы, изготавливаемые при создании базы (а), коллектора (б).

пучить резисторы с различными сопротивлениями. Температурный коэффициент сопротивления у диффузионных решсторов бывает большим. Максимальное напряжение резисторов ограничивается напряжением пробоя p-n-перехода. Миксимальная мощность резисторов составляет 0,1-0,25 Вт. В кпчестве переменных сопротивлений могут быть использования полевые транзисторы, в которых, изменяя напряжение затвора, можно изменять сопротивление канала.

В качестве конденсатора в ИМС используется зарядная емкость, диффузионная емкость и емкость МДП- структуры. Интегральные конденсаторы формируются преимущественно на основе зарядных (барьерных) емкостей эмиттерного, коллекторного р-п-переходов биполярных транзисторов. (рис. 21.4). Конденсатор на эмиттерном переходе (рис.21.4 а) имеет наибольшую емкость и наименьше пробивное напряжение (единицы вольт). Емкость конденсатора на коллекторном переходе примерно в шесть раз меньше предылушей, но про-

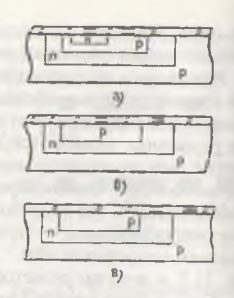
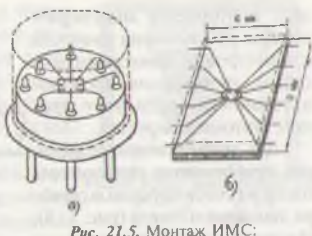


Рис. 21.4. Интегральные конденсаторы, основанные на переходах: а) эмиттербаза; б) база-коллектор; в) коллектор-подложка.

бивное напряжение составляет десятки вольт. На рис. 21.4 в приведен конденсатор на основе перехода коллектор-полложка. Эти конденсаторы необходимо изолировать от других элементов подложки. Недостатками конденсаторов на основе p-n-переходов являются зависимость емкости от напряжения, малая емкость, большая занимаемая площаль (по сравнению с транзисторами). Поэтому конденсаторы в ИМС используются сравнительно редко.

Еще реже используют в ИМС индуктивность из-за трудности получения даже самых малых значений индуктивности. Одним из основных способов получения индуктивности является нанесение на поверхность окисла кремния металлических спиралей. Изготовлять такие катушки просто, но они обладают малой индуктивностью. Например, плоская катушка с 20 витками с наружным диаметром 0,8 мм на частоте 80 мГц обладает индуктивностью 4,5 мкГ.

После изготовления всех элементов необходимо выполнить межэлементные соединения, а также контактные площадки. Для этого окисленную поверхность кремниевой пластины покрывают слоем осажденного алюминия толшиной 0,5-2 мкм, который после заключительной операции стравливается в ненужных местах. На поверхности полупроводника остается требусмый рисунок алюминиевых проводников шириной около 10 мкм и контактные плошадки. Контактные площадки с выводами корпуса соединяются в большинстве случаев с помошью золотых проволочек диаметром 25-50 мкм ультразвуковой или термокомпрессионной сваркой. На рис. 21.5. показан монтаж



Puc. 21.5. Монтаж ИМС:

- а) в круглом корпусе;
- б) в плоском корпусс

ИМС, на рис. 21.6. показана часть ИМС (транзисторный ключ).

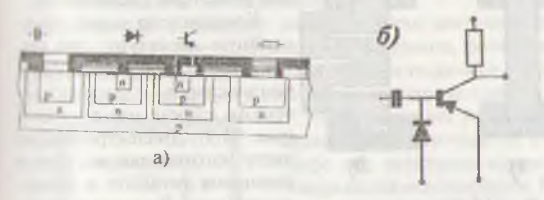


Рис. 21.6. Часть интегральной полупроводниковой схемы (транзисторный ключ): а) в разрезе: б) электрическая схема.

21.3. Толстопленочные ИМС

При толщине пленки 1 мкм и более ИМС считается полстопленочной. Обычно применяются пленки толщиной несколько десятком микрометров. В качестве подложки применяются специальное стекло (ситал), керамика или кварц. На подложку методом трафаретной печати наносится нижний слой (рис. 21.7). После этого трафарет убирается и нанесенный рисунок подвергается нагреванию до 600-900°С. Голишна слоя рисунка зависит от толщины трафарета. Занам накладывается следующий трафарет и наносится слой другой пасты. При изготовлении сложных схем этот процесс повторяется многократно. Для обеспечения точности параметров и повторяемости схемы, повышения производительности труда этот процесс автоматизируется,

Для изготовления резисторов применяются резистивные пасты из смеси порошков серебра, палладия и стекла (рис. 21.8). Изменяя содержание стекла

можно изменять сопротивление резистора. По конструкции резисторы изготовляются в виде прямоугольной формы. С по-



Рис. 21.8. Резисторы: а) малого сопротивления: б) большого сопротивления.

риала обкладок чаще всего применяют алюминий.

Катушки индуктивности, трансформаторы, конденсаторы большой емкости в толстопленочных ИМС выполняются навесными.

21.4. Тонкопленочные ИМС

копленочной если толщина пленки не более 1 мкм.

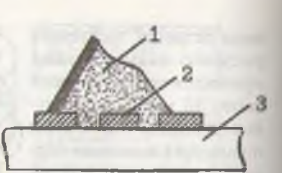


Рис. 21.7. Нанесение пасты на подложку: 1) паста; 2) графарет: 3-полложка

вышением частоты сопротивление резисторов уменьшается.

Конденсатор имеет трехслойную структуру: два металлических слоя (обкладки конденсатора) с диэлектрическим слоем межлу ними (рис. 21.9). Диэлектрическую пасту изготовляют из смеси порошков титанита и сегнетокерамики. В качестве мате-

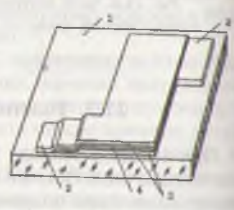
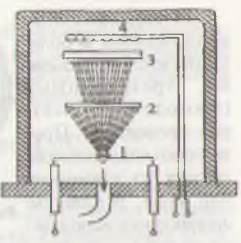


Рис. 21.9. Толстопленочный Принято считать ИМС тон- конденсатор: 1) подложка; 2-контактная площалка: 3-диэлектрический слой

В качестве подложки для тонкопленочных схем используют стекпо, керамику, ситалл. Для создания тонкой пленки на подложке используются методы вакуумного напыления, катодного распыления, химического осаждения, анодирования. При методе вакуумного напыления испаряемый металл осаждается на поверхности подложки, покрывая его тон- Рис. 21.10. Схема вакуумного ким слоем (рис. 22.10). Экран, ус- напыления: 1-испаряемый гановленный между металлом и металл; 2-экран; 3-подложка; подложкой, притягавает молекулы, не попавшие на подложку.



4-нагреватель подложки.

Меняя металл и графарет, можно за один цикл операций изготовить большое количество проводников, резисторов, конденсаторов. Для крепкого соединения подложки и пленки подложка нагревается специальным нагревателем.

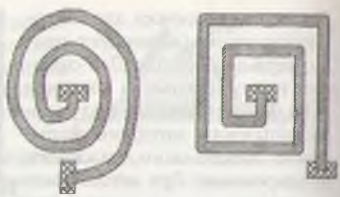
Рис. 21.11. Схема катодного дутья: 1-анод; 2-катод; 3-подложка: 4-металл.

При катодном распылении (рис. 21.11) инертный газ в камере под действием высокого напряжения ионизируется. Положительные ионы газа ударяются об катод (металл) и выбивают из него атомы, которые движутся к аноду (подложке), оседают на ней, образуя тонкую пленку.

Для изготовления резисторов применяются нихром, тантал, титан, кермет (смесь металла с керамикой). Для уменьше-

ния пределов изменения сопротивлений готовых резисторов предусмотрена их подгонка. Наиболее распространенными методами подгонки являются: подгонка с помощью струи но слуха, содержащей частица окиси алюминия (абразивная полгонка), термическая и лазерная. Тонкопленочные резисторы изготовляются в виде прямоугольной формы.

Тонкопленочные конденсаторы в большинстве случаев бывают трехслойными (проводник-диэлектрик-проводник). Проводники чаще изготовляются из алюминия или меди. В качестве *Рис.* 21.12. Тонкопленочные индуктивности диэлектрика использу-

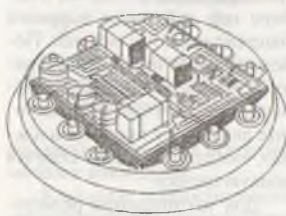


ют окислы металлов и сернистые соединения: SinO,, Т,О, и легкоплавкие стекла. Их толшина примерно равна 0,05 мкм.

Тонкопленочные индуктивности выполняют на подложке в виде круглой или прямоугольной спирали (рис. 21.12). Из-за большой индуктивности рассеяния и большой занимаемой площади индуктивности они мало применяются.

21.5. Гибридные ИМС

В гибридных ИМС пассивные элементы и все соединения представляют собой пленки из различных материалов.



Puc. 21.13. Гибридная микросхема.

а в качестве активных элементов применяют навесные полупроводниковые приборы (рис. 21.13). В качестве навесных элементов применяют также конденсаторы большой емкости, катушки и трансформаторы. Навесные элементы по возможности должны иметь маленькие размеры и сравнимы по размерам с тонкопленочными элементами. Например, ди-

оды и транзисторы имеют объем 1 мм3. Для увеличения надежности микросхем и уменьшения собственных шумов надо улучшать качество контактных соединений. Для получения хорошего контакта применяются лазерная техника, термокомпрессионная и ультразвуковая сварка. При этом навесные элементы соединяются с контактными площалками тонкими золотыми или позолоченными проволоками. Собранная микросхема помещается в металлический или пластмассовый корпус. Для правильного размещения микросхемы корпус имеет срез или выпуклость.

21.6. Оформление ИМС

Для защиты ИМС от ныли, влаги, механических воздействий они герметизируются, что существенно новышает их эксплуатационную надежность. Герметизацию ИМС осуществляют либо с помощью изоляционных материалов, либо размещением их в герметизированных корпусах. Для герметизации ИМС изоляционными материалами кристалл полупроводниковой или подложку гибридной ИМС покрынают слоем органического диэлектрика. Однако изоляционные материалы не обеспечивают належной зашиты от повышенной влажности. Самым надежным способом зашиты кристалла (подложки) является размещение их в герметизированный корпус (рис. 21.14). Различают следующие типы корпусов: металлостеклянные, металлокерамические,

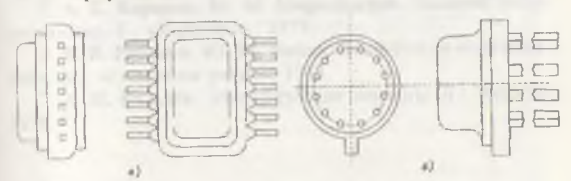


Рис. 21.14. Корпуса ИМС: а) четырехугольной формы; 6) круглой формы.

керамические и пластмассовые. Для правильной их установки на корпусе большей частью имеется срез.

21.7. Условные обозначения ИМС и их применение

Условные обозначения ИМС состоят из четырех элементов: Первый — цифра: 1, 5, 7 — полупроводниковый, 2, 4, 6, 8 — гибридный, 3 — обозначения других ИМС. Второй

элемент состоит из трех (от 000 до 999) или двух (от 00 до 99) цифр и определяет порядковый номер серии микросхем. Микросхемы широкого применения имеют в начале обозначения букву К. Третий элемент – две буквы – обозначает функциональное назначение схемы. Четвертый элемент обозначает порядковый номер разработки микросхемы в данной серии. Например, К144ИРІП - полупроводниковый резистор, в этой серии 1 - порядковый номер изготовления, корпус четырехугольный, пластмассовый. Из-за малых размеров и веса, высокой надежности, высокой стабильности, малого потребления электроэнергии ИМС широко применяются в автоматике, вычислительной технике, радио и телевизионной связи, различных научно-исследовательских работах. ИМС стали основой для создания микропроцессоров.

СПИСОК ЛИТЕРАТУРЫ

- 1. В.С.Попов, С.А.Николаев. Общая электротехника с основами электроники. М.: Энергия, 1976.
- 2. Электротехника. Под ред.А. Я. Шихина. М.: Высшая школа, 1991.
- 3. Ф.Е.Евдокимов. Теоретические основы электротехники. М.: Высшая школа, 1968.
- 4. Ю. А. Овечкин. Полупроводниковые приборы. М.: Высшая школа, 1979.
- 5. А. С. Каримов. М. М. Мирхайдаров. Назарий электротехника. Т., «Укитувчи», 1979.
- 6. В. В. Романов, Ю. М. Хашев. Химические источники
- тока. М.: «Советское радио», 1968. 7. А. И. Вольдек. Электрические машины. Л.: Энергия, 1978.

ОГЛАВЛЕНИЕ

Введение	3
ГЛАВА 1. Электрическое поле и диэлектрики 1.1. Напряженность электрического поля. Закон Кулона 1.2. Потенциал и напряжение 1.3. Электропроводность и электрический ток 1.4. Диэлектрин в электрическом поле 1.5. Электроизоляционные материалы 1.6. Электрическая ёмкость. Конденсаторы 1.7. Типы конденсаторов 1.8. Соединения конденсаторов 1.9. Энергия электрического поля Задачи	5 7 9 .10 .11 .13
ГЛАВА 2. Магнетизм и электромагнетизм 2.1. Магнитное поле 2.2. Параметры магнитного поля 2.3. Закон полного тока 2.4. Магнитное поле прямолинейного проводника с током 2.5. Магнитное поле коаксиального кабеля 2.6. Магнитное поле катушки с кольцевым сердечником 2.7. Магнитное поле иллиндрической катушки 2.8. Электрон в магнитном поле 2.9. Проводник с током в магнитном поле 2.10. Взаимодействие параллельных проводников с токами	18 19 21 22 23 24 24 25 26
2.11. Явление электромагнитной индукции 2.12. Э.д.с., наводимая в контуре 2.13. Принцип Ленца. 2.14. Потокосцепление катушки. Индуктивность 2.15. Э.д.с. самоиндукции 2.16. Энергия магнитного поля 2.17. Взаимная индукция 2.18. Намагничивание ферромагнитных материалов 2.19. Циклическое перемагничивание 2.20. Ферромагнитные материалы 2.21. Магнитные цепи и их расчет 2.22. Электромагниты 3адачи	28 29 31 31 33 33 35 36 38 40 42 42

ПАВА 3. Электрические цепи постоянного тока	
З 1 Электрическое сопротивление	9
3.2. Зависимость сопротивления от температуры	·U
3 Проводниковые материалы	1
3.4. Электрическая цепь и её элементы	3
3 5 3akoh OMa	0
3.6. Работа, энергия и мощность	0
7 3avon Twovig-Tehlia	D
3.8. Последовательное соединение сопротивлений Э	1
O Hanning Zayou Kunyrotha	8
3 10 Парадлельное соединение сопротивлении	00
3 11 Смещанное соединение сопротивлений В	U
3 12 Лва режима работы источников тока б) l
3.13. Второй Закон Кирхгофа	52
3 14 Поление напряжения в линиях передачи	
электрической энергии	3
or Henernysok	54
3 16 Расчет сложных электрических цепеи	30
3.17. Химические источники тока	59
Задачи	74
.70440 171	
ГЛАВА 4. Основные понятия по переменному току	
4.1. Получение синусоидального переменного тока	80
4.2 Параметры синусоидального переменного тока	8 i
4.3. Векторная лиаграмма	84
4.4. Спожение и вычитание векторных величин	85
Задачи	86
глава 5 Пени синуспилального невеменного тока	
5.1 Вредение	88
5.2. Пепь с активным сопротивлением	88
5 3 Пепь с индуктивностью	70
§ 4. Поверхностный эффект	93
5.5. Цепь с ёмкостью	94
\$ 6. Пепь с индуктивностью	
и активным сопротивлением	97
 Пень с активным сопротивлением и ёмкостью	77
5.8 Пепь с активным сопротивлением, индуктивностью	
н ёмкостью. Резонанс напряжений	Ul
5.9. Расчет разветвленной цепи методом	
проволимостей	04
5 10 Резонанс токов	06

	5.11. Коэффициент мошности	108
	5.12. Колебательный контур	
	Задачи	111
	ГЛАВА 6. Трехфазный ток	
	6.1. Получение трехфазного тока	119
	6.2. Соединение обмоток генератора звездой	121
	6.3. Соединение обмоток генератора треугольником	122
	6.4. Соединение приемников электроэнергии звездой	124
	6.5. Соединение приемников электроэнергии	
	треугольником	127
	6.6. Свойства линейных токов	127
	и линейных напряжений	120
		129
	6.7. Присоединение приемников электроэнергии	
	к трехфазной сети	130
	6.8. Вращающееся магнитное поле трехфазного тока	
	Задачи	132
	ГЛАВА 7. Трансформаторы	
	7.1. Устройство и принцип работы трансформаторов	138
	7.2. Холостой хол однофазного трансформатора	141
	7.3. Работа трансформатора под нагрузкой	143
	7.4. Режим короткого замыкания трансформатора	146
	7.5. Коэффициент полезного действия	
	трансформатора	147
	7.6. Трехфазные трансформаторы	
	7.7. Измерительные трансформаторы	149
	7.8. Параллельная работа трансформаторов	152
	7.9. Автотрансформаторы	153
	7.10. Сварочные трансформаторы	155
	7.11. Расчет трансформаторов	157
	Задачи	
	Эши 171	109
	ГЛАВА 8. Электрические измерения	
	и электронзмерительные приборы	
		173
	3.2. Классификация электроизмерительных приборов.	
	Условные обозначения на шкале	174
		174
		178
2		179
5	В.б. Приборы ферродинамической системы	160

	81
В Термоэлектрические приборы	82
9 Выпрямительные приборы	82
Погометры	183
11 Пифровые приборы	185
12 Регистрирующие приборы	185
3.13. Измерение тока и напряжения	187
3.14. Измерение мощности	189
3.15. Измерение активной мощности	
трехфазных цепях	191
В 16. Измерение реактивной мощности в трехфазной	
UCTEME	193
I / VI IMEDERNE SHEKIDA JEEKON SHOPINA HAMILIAN	194
В 18 Измерение сопротивлений	196
R 19. Измерение неэлектрических величин	
лектрическими методами	199
Залачи	201
ГЛАВА 9. Электрические машины переменного тока.	
Асинхронные электродвигатели	
9 1 Устройство асинхронного двигателя	200
9.2. Обмотка статора	208
9.3. Принцип работы асинхронного двигателя	210
9.4. Э.д.с. обмоток статора и ротора	211
9 5. Сопротивление и ток ротора	212
9.6. Вращающий момент асинхронного двигателя	213
9.7 Пуск асинхронных двигателей	216
9.8. Регулирование скорости вращения	
асинхронных двигателей	
9.9. Торможение асинхронных двигателей	222
9 10 Олнофазный асинхронный двигатель	223
9 11. Потери энергии и КПД асинхронных двигателей	225
9.12 Рабочие характеристики и коэффициент мощности	
асинхронных двигателей	226
9.13 Синхронные машины.	
Устройство и принцип работы	227
9.14 Симуронные генераторы	230
9.15. Вращающий момент синхронной машины	232
9.16 Синхронные двигатели	234
9 17 Асинхронный исполнительный двигатель	237
9 18 Паговые двигатели	238
Залячи	239

ГЛАВА 10. Машины постоянного тока	
10.1. Общие понятия	
10.2. Устройство машин постоянного тока	244
10.3. Устройство обмотки якоря	246
10.4. Э.д.с. якоря	248
10.5. Реакция якоря	249
10.6. Коммутация	250
10.7. Генераторы постоянного тока	
10.8. Момент на валу машины постоянного тока	259
10.9. Двигатели постоянного тока	260
10.10. Потери электроэнергии и КПД	270
10.11. Двигатели постоянного тока	
с цилиндрическим якорем	271
10.12. Двигатель постоянного тока с дисковым якорем	272
Задачи	273
ГЛАВА 11. Электрические и магнитные элементы автома-	гики
11.1. Системы автоматики	278
11.2. Датчики	280
11.3. Реле	282
11.4. Магнитные усилители	
11.5. Ферромагнитный стабилизатор напряжения	288
11.6. Тахогенераторы	
11.7. Врашающиеся трансформаторы	
11.8. Сельсины	293
11.9. Электромагнитные муфты	296
11.10. Электромагниты	
11.11. Шаговый искатель	300
A female and the second	
ГЛАВА 12. Производство, передача	
и распределение электроэнергии	
12.1. Схемы распределения электроэнергии	
между потребителями	302
12.2. Расчет проводов	
12.3. Расчет плавких вставок предохранителей	
12.4. Действие электрического тока на организм	308
12.5. Меры по предупреждению поражения током	
человека	309
ГЛАВА 13. Электропривод и аппаратура управления	
13.1. Нагрев и охлаждение электродвигателей	311
13.2. Режимы работы электродвигателей	
и расчет их мощностей	313

13.3. Аппаратура ручного управления	318
13.4 Ampanatypa зашиты	320
13.5. Аппаратура редейно-контакторного управления	322
13.6. Схемы управления электродвигателями	323
ГЛАВА 14. Электронные лампы	
14.1. Электронная эмиссия, Катоды	327
14.2 Лвухэлектродная лампа	328
14 3 TDMOR	220
14.4 Tempa	333
14.5 Пучевые тетролы. Пентоды	334
14.6. Электронно-лучевые трубки	335
The control of the state of	
ГЛАВА 15. Газоразрядные приборы	
15.1. Виды газового разряда	337
15.2. Газотрон	339
15.3. Тиратрон	340
15.4. Стабилитрон	341
15.5. Неоновая лампа	342
15.6. Лампа дневного освещения	343
13.0. Лампа дневного освещения п	
ГЛАВА 16. Полупроводниковые приборы	
16.1. Проводимость полупроводников	344
16.2. Проводимость примесных полупроводников	345
16.3. Электронно-дырочный переход	346
16.4. Полупроводниковые диоды	349
16.5. Биполярные транзисторы	353
16.6. Полевые транзисторы	359
16.7. Тиристоры	362
Задачи	365
эадачи	
ГЛАВА 17. Фотоэлектронные приборы	
17.1. Фотоэлементы с внешним фотоэффектом	. 367
17.2. Фоторезистор	. 370
17.3. Фоториод	. 372
17.4. Фототранзистор	373
17.5. Фототиристор	374
17.5. Фототиристор	
ГЛАВА 18. Электронные выпрямители	
18.1. Однополупериодный выпрямитель	. 377
18.2. Двухполупериодный выпрамитель	. 378
18.3. Трехфазные выпрямители	. 380
18.4 Тиристорные выпрямители	. 38:

18.5. Электрические фильтры	1 400
без фильтра	408
ГЛАВА 19. Электронные усилители	
19.1. Предварительный каскад усилителя низкой часто	
19.2. Многокаскадные транзисторные усилители	
19.3. Выходной каскад низкочастотного усилителя	
19.4. Обратная связь в усилителях	
19.5. Транзисторный ключ	421
ГЛАВА 20. Электронные генераторы	
и измерительные приборы	
20.1. Транзисторный LC-автогенератор	423
20.2. Транзисторный RC-автогенератор	424
20.3. Генератор импульсов пилообразного напряжения	
20.4. Мультивибратор	
20.5. Электронные аналоговые приборы	428
20.6. Электронные цифровые приборы	429
20.7. Электронный осциллограф	430
ГЛАВА 21. Интегральные схемы микроэлектроники	
21.1. Общие сведения	432
21.2. Полупроводниковые ИМС	433
21.3. Толстопленочные ИМС	437
21.4. Тонкопленочные ИМС	
21.5. Гибридные ИМС	
21.6. Оформление ИМС	
21.7. Условные обозначения ИМС и их применение	441
Список литературы	443
Список литературы	443

Нуритдин Абазович Халилов Ахмад Имерджанович Ханбабаев

ОБШАЯ ЭЛЕКТРОТЕХНИКА С ОСНОВАМИ ЭЛЕКТРОНИКИ

Ответственный за издание *Н. Халилов*Главный редактор *М. Миркомилов*Технический редактор *Т. Смирнова*Компьютерная верстка *Ш. Хазратовой*

ИБ № 4257

Подписано в печать 30.07.2004. Формат 84×108¹/₁₂ Печать офсетная. Усл. печ. л. 28,0 Уч.-изд. л. 28,0. Тираж 1000. Заказ № 252. Пена договорная. Договор № 100—2004.

Н дательско-полиграфический творческий дом имени Гафура Гуляма Узбекского агентства по печати и информации. 700129, Ташкент, ул. Навои, 30//700128, Ташкент, ул. У. Юсупова, 86.

Оригинал-макет набран в «ЦПИУЛ» при МВиССО РУз.

Халилов, Н.А., Ханбабаев, А.И.

X19 Общая электротехника с основами электроники/ А.И. Ханбабаев, Н.А. Халилов; МВ и ССО РУз. — Т., Изд.-политр. творческий дом им. Г. Гуляма, «ЦПИУЛ», 2004. — 452 с. 1. Соавт.

В книге излагаются основы электротехнических знаний с выделением в специальные главы теоретических и практических сведений по электронике.

Раскрываются такие понятия, как электрическое поле и электропроводимость, магнетизм и электромагнетизм, постоянный и переменный токи и их цени, грехфазный ток, дается описание видов и устройств трансформаторов, электроизмерительных приборов, электрических машин (двигателей) переменного и постоянного тока, принцип их действия и целевого назначения, а также систем автоматики. Приведены сведения о схемах распределения электроэнергии между потребителями и мерах безопасности.

В главах, посвященных электронике, рассматривается устройство, принцип действия и область применения электронных лами, газозарядных приборов, полупроводниковых и фотоэлектронных элементов, электронных выпрямителей, усилителей, генераторов и электронно-измерительных приборов, а также интегральных микросхем. Учебних предназначен для учащихся средних специальных учебных заведений и может быть использован студентами вузов неэлектри-

Учебник предназначен для учащихся средних специальных учебных заведений и может быть использован студентами вузов неэлектрическихь специальностей, а также более широкой аудитории, интересующихся и желающих пополнить свои знания сведениями из области электротехники и электроники.

ББК 31.2 + 32.85я723